

ÖĞRETMEN KİTAPLARI: 147

# ALTERNATİF AKIM DEVRELERİ ve TEOREMLERİ

Yazan

**İsmail COŞKUN**

Ankara Yüksek Teknik Öğretmen Okulu

Öğretim Üyesi



DEVLET KİTAPLARI

F. 90 Lira

DAĞITIM YERİ: İstanbul'da Devlet Kitapları  
ve illerde Millî Eğitim Bakanlığı Yaynevleri

MİLLÎ EĞİTİM BASIMEVİ — İSTANBUL 1979

*Ferit Baltacı*

*5-5-1986-VİAK*

ÖĞRETMEN KİTAPLARI:147

*Baltacı*

# ALTERNATİF AKIM DEVRELERİ ve TEOREMLERİ

**İsmail COŞKUN**

Ankara Yüksek Teknik Öğretmen Okulu  
Öğretim Üyesi

MİLLÎ EĞİTİM BASIMEVİ — İSTANBUL 1979

## ÖNSÖZ

Çağımızın en büyük özelliği her alandaki teknolojik gelişmeler olup milletlerin kalkınması ise bu gelişmelerle günlük yaşantıları arasındaki ilişkiye bağlıdır. Yani milletler teknolojiyi yaşayabiliyor ve yaratabiliyorsa yaşam düzeyleri yükseliyor ve çevrelerini daha iyi kontrol ediyorlar demektir. Teknolojik yönden gelişme uğraşısı içerisinde olan ülkemiz için teknolojik yaratıcılık o alanda uğraşı içinde bulunanların bilgi kaynaklarına bağlıdır.

Mesleki ve teknik öğretimde orta ve yüksek dereceli okullardaki öğretmen ve öğrenciler için kendi alanlarında yeni bilgiler içeren kitapların bulunması bazen büyük bir sorundur. Bu nedenle bu kitap alternatif akım devre ve teorileriyle ilgili olarak bilgilerini geliştirmek isteyenlere geniş olanaklar sağlayacaktır. Bunun için okuyucuların konuları daha iyi anlaması ve öğrendiklerinde kalıcılığın temini için konular anlatılırken örneklere ve her konunun sonunda problemlere geniş yer verilmiştir. Problemler seçilirken okuyucuların yeteneklerini geliştirmek için biri diğerinin tekrarı olmayacak şekilde seçildiğinden tümünün çözülmesine özen gösterilmiştir.

Konuların anlatılması sırasında ve problemlerde kusurlu olma olasılığı varsayılarak gelecekteki çalışmalarının kusursuz olmasına yardımcı olması bakımından okuyucuların uyarıları şükranla karşılanacaktır. Bu kitabın okuyucuların bilgi edinme gereksinmelerini karşılama ve daha ileri düzeydeki bilgileri için bir başlangıç olması dileğiyle saygılar sunarım.

Ekim 1978

İsmail COŞKUN

"Her hakkı saklıdır ve Millî Eğitim Bakanlığına aittir. Kitabın metin, ve şekilleri kısmen de olsa hiçbir surette alınıp yayınlanamaz.

Millî Eğitim Bakanlığı Talim ve Terbiye Kurulunun 29/11/1978 tarih ve 336 sayılı kararı ile kaynak kitabı olarak öğretmen kitapları serisinden bastırılması uygun görülmüş, Yayınlar ve Basılı Eğitim Malzemeleri Genel Müdürlüğünün 22/1/1979 tarih ve 671 sayılı emirleri ile birinci defa 10.000 adet basılmıştır.

## İÇİNDEKİLER

	<u>Sayfa</u>
Önsöz . . . . .	i
1 — Sinüsoidal alternatif akım . . . . .	1
1.1 — Giriş . . . . .	1
1.2 — Sinüsoidal (A.A.) gerilim üretimi . . . . .	2
1.3 — Tarifler . . . . .	5
1.4 — Sinüs eğrisi . . . . .	8
1.5 — Sinüsoidal gerilim veya akımın genel şekli . . . . .	12
1.6 — Faz ilişkileri . . . . .	15
1.7 — Ortalama değer . . . . .	19
1.8 — Efektive değer . . . . .	26
1.9 — Türev . . . . .	32
1.10— Sinüsoidal gerilim veya akımın R, L, C devrelerine olan etkileri . . . . .	34
1.11— Ortalama güç ve güç faktörü . . . . .	47
2 — Vektörler . . . . .	60
2.1 — Giriş . . . . .	60
2.2 — Dik bileşenler sistemi . . . . .	61
2.3 — Kutupsal form . . . . .	63
2.4 — Kompleks sayıların bir birine dönüştürülmesi . . . . .	65
2.5 — Kompleks sayılarda matematiki operatör . . . . .	70
2.6 — Vektörler . . . . .	80
3 — Seri ve paralel a.a. devreleri . . . . .	89
3.1 — Giriş . . . . .	89
3.2 — Empedans ve faz diyagramı . . . . .	89
3.3 — Empedansların seri bağlanması . . . . .	99
3.4 — Gerilim bölme kaidesi . . . . .	111
3.5 — Admitans ve süseptans . . . . .	116
3.6 — R, L — R, C ve R, L, C paralel a.a. devreleri . . . . .	123
3.7 — Akım bölme kaidesi . . . . .	133
3.8 — Eşdeğer devreler . . . . .	135

	<u>Sayfa</u>
4 — Seri-Paralel a.a. devreleri . . . . .	149
4.1 — Giriş . . . . .	149
4.2 — Örnek problemler . . . . .	150
4.3 — Ladder devreler . . . . .	163
5 — (a.a.) Seçilmiş konular ve analiz yöntemleri . . . . .	169
5.1 — Giriş . . . . .	169
5.2 — Bağımsız ve bağımlı kaynaklar . . . . .	171
5.3 — Kaynakların dönüşümü . . . . .	174
5.4 — Çevre akımları (Mesh) analizi . . . . .	180
5.5 — Çevre akımları analizi (Özel yaklaşım) . . . . .	185
5.6 — Düğüm noktaları analizi (Özel yaklaşım) . . . . .	192
5.7 — (a.a.) Köprü devreler . . . . .	200
5.8 — $\Delta$ — $\Upsilon$ ve $\Upsilon$ — $\Delta$ bağlı devreler . . . . .	212
6 — (a.a.) Devre teoremleri . . . . .	212
6.1 — Giriş . . . . .	212
6.2 — Superposition teoremi . . . . .	221
6.3 — Thevenin teoremi . . . . .	237
6.4 — Norton teoremi . . . . .	247
6.5 — Maksimum güç teoremi . . . . .	256
7 — (a.a.) Güç . . . . .	256
7.1 — Giriş . . . . .	257
7.2 — Omik devre . . . . .	259
7.3 — Görünen güç . . . . .	261
7.4 — İrdüktif devre ve rekatif güç . . . . .	264
7.5 — Kapasitif güç . . . . .	266
7.6 — Güç Faktörü . . . . .	269
7.7 — Toplam P, P <sub>q</sub> , P <sub>a</sub> . . . . .	281
8 — Rezonans . . . . .	281
8.1 — Giriş . . . . .	282
8.2 — Seri rezonans devreleri . . . . .	285
8.3 — Kalite faktörü . . . . .	287
8.4 — Z <sub>T</sub> ye karşın frekans . . . . .	291
8.5 — Seçicilik . . . . .	295
8.6 — V <sub>R</sub> , V <sub>L</sub> ve V <sub>C</sub> . . . . .	

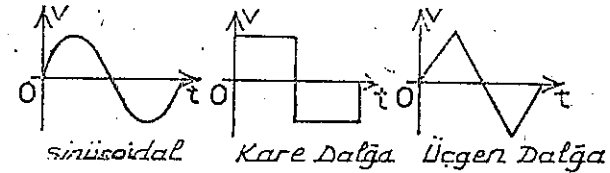
	<u>Sayfa</u>
8.7 — Örnekler . . . . .	297
8.8 — Reaktans tablosu . . . . .	300
8.9 — Paralel rezonans devresi . . . . .	301
8.10— Paralel rezonans devresi için seçicilik eğrisi . . . . .	304
8.11— Özet ve reaktans tablosu . . . . .	311
8.12— Örnekler . . . . .	312
8.13— Filtreler . . . . .	317
9 — Üç fazlı sistemler . . . . .	331
9.1 — Giriş . . . . .	331
9.2 — Üç fazlı alternatör . . . . .	332
9.3 — Yıldız bağlı alternatörler . . . . .	335
9.4 — Faz sırası . . . . .	338
9.5 — Yıldız bağlı alternatör ile yıldız bağlı yük . . . . .	340
9.6 — Yıldız-üçgen sistemler . . . . .	343
9.7 — Üçgen bağlı alternatör . . . . .	345
9.8 — Faz sırası (üçgen bağlı alternatör) . . . . .	347
9.9 — Üçgen-üçgen, Yıldız-yıldız üç fazlı sistemler . . . . .	348
9.10— Güç . . . . .	350
9.11— Üç vatmetre yöntemi . . . . .	355
9.12— İki vatmetre yöntemi . . . . .	356
9.13— Dengesiz üç fazlı dört telli yıldız bağlı yük . . . . .	359
9.14— Dengesiz üç fazlı üç telli yıldız bağlı yük . . . . .	360
10— Sinüs olmayan devreler . . . . .	370
10.1 — Giriş . . . . .	370
10.2 — Fourier serisi . . . . .	371
10.3 — Devrelerin nonsinüsoidal giriş tepkisi . . . . .	378
10.4 — Nonsinüsoidal eğrilerin toplanması ve çıkarılması . . . . .	384
11— İki uçlu parametreler (z, y, h) . . . . .	389
11.1 — Giriş . . . . .	389
11.2 — Z parametreler . . . . .	390
11.3 — Geçirgenlik parametreleri . . . . .	398
11.4 — Hybrid (h) parametreler . . . . .	403
11.5 — Giriş ve çıkış empedansları . . . . .	408
11.6 — Parametreler arasındaki dönüşümler . . . . .	411

# SİNÜSOİDAL, ALTERNATİF AKIM

## 1.1 GİRİŞ

Doğru akım devrelerinde akımın veya gerilimin büyüklüğü sabittir. Bu bölümdeki devre analizinde emk kaynaklarının akım veya gerilim büyüklüğü değişkendir. Özellikle kaynakların emk sını büyüklüğü zamana göre değişim gösterir ve genel olarak alternatif akım (AA) gerilimi diye anılır. Devre analizlerinde alternatif akım veya gerilim sözcükleri sinyallerin şeklini tam yansıtmadığı için yeterli değildir. Endüstride en çok kullanılan kaynaklara ait dalga şekilleri şekil 1.1 de görülmektedir.

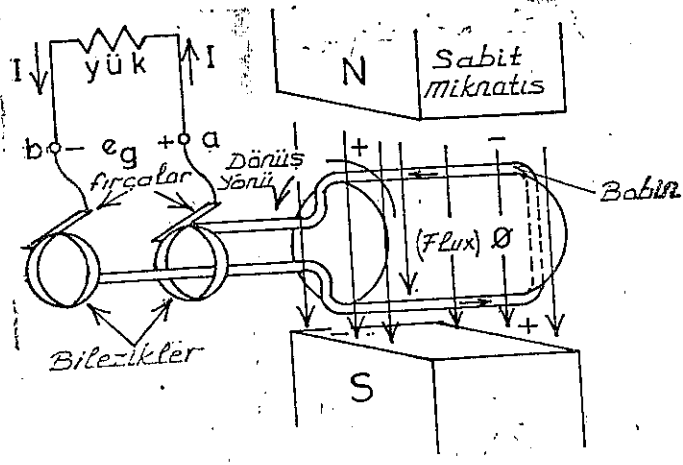
Alternatif sözcüğünden anlaşılıyor ki dalga şekli pozitif ve negatif iki seviye arasında değişiyor. Bundan dolayı bu terimin tam anlam kazanabilmesi için bu iki seviye arasında değişen dalga şekli sinüsoidal, kare dalga ve üçgen dalga sözcükleriyle birlikte söylenmelidir. Çünkü bu tip gerilim kullanma yerlerinin pek çoğunda karşılaşılır ve kısaca alternatif akım gerilimi veya akımı diye şüpheye düşülmeden anlaşılır. Diğer dalga şekillerinin söylenmesinde alternatif akım sözcüğü pek kullanılmayıp kısaca kare dalga emk kaynakları veya üçgen dalga emk kaynakları diye anılır.



Alternatif dalga şekilleri  
Şekil 1.1

## 1.2 SİNÜSİDAL (A.A.) GERİLİM ÜRETİMİ

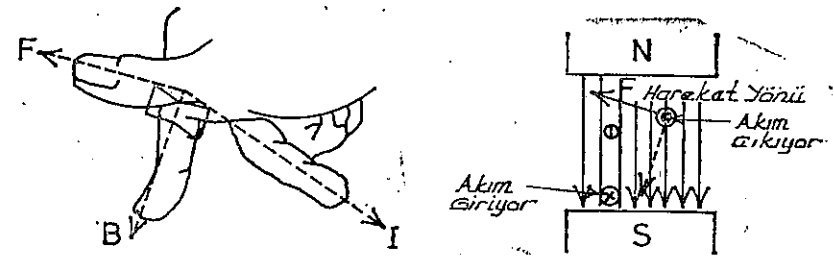
Sinüsoidal gerilim veya akımın karakterleri ve bunların R, L ve C elemanlı devrelere olan etkileri ve bunlara ait geniş bilgi bu bölümde verilecektir. İlk bunların nasıl üretildiğini inceliyelim. Elektrikle ilgilenenlerin alternatör veya generatörü bilmemeleri düşünülemez. Alternatörler elektromekanik cihazlar olup mekanik enerjiyi elektrik enerjisine dönüştürürler. Şekil 1.2 de bir A.A. generatörünün temel şeması görülmektedir. Bir alternatör başlıca iki bölümden meydana gelmiştir. Bunlar rotor ve stator dur. Rotor, stator denilen ve miknatıs kutuplarına sahip alternatör parçasının kutupları arasında dönen kısımdır. Miknatıs kutupları arasındaki rotor her hangi bir güç kaynağı tarafından döndürülecek olursa rotor üzerinde bulunan iletgenler stator tarafından meydana getirilen manyetik kuvvet hatlarını keserler ve bu kesme sonucu rotor iletgenlerinde bir gerilim indüklenir (meydana gelir). Alternatörün rotoru bir dizel veya benzin motoruyla döndürülebildiği gibi su kuvvetiyle de döndürülebilir. Manyetik akıyı meydana getiren stator alternatörün durumuna göre sabit bir miknatıstan yapılabileceği gibi bu bölümde bulunan silisli saçlardan yapılmış kutuplar üzerine bobin şeklinde iletgenler sarıp bu iletgenlerden doğru akım geçirmek suretiyle manyetik kutuplar meydana getirilebilir. Meydana gelen bu kutuplar arasında iletgenler döndürülecek olursa şekil 1.2 de görüldüğü gibi o iletgenlerde bir emk indüklenir. Dikkat edilirse her iletgende indüklenen emk bir birini takviye edecek yöndedir. Yani indüklenen terminal



Şekil 1.2

gerilimi bu iletgenlerde indüklenen gerilimlerin toplamına eşittir. Rotorun dönmesiyle çıkış terminali a ve b değeri sabit olan bir yüke bağlanabilir. Bu dönüşten dolayı indüklenen gerilimi dış devreye almak için bileziklere gereksinme vardır. Bilezikler daire şeklinde iletgen parçalarıdır. Sargılarda indüklenen gerilimi yüke uygulamak için dönen kısım ile duran kısım arasında bir geçiş vasıtasıdır. İndüklenen emk a ve b terminalleri arasında bir polariteye sahiptir. Böylece şekil 1.2 de görülen yönde bir I akımının geçmesine neden olur. Dikkat edilirse devreden geçen I akımının yönü ile indüklenen emk'nin yönü aynıdır. Böylece rotorun dönüş yönüne göre indüklenen emk'nin yönü veya devreden geçen akımın yönü bulunabilir.

Generatör için bu yön, sağ elin baş parmağı, işaret parmağı ve orta parmak bir birine 90° lik açı ile tutulur. Şekil 1.3 de görüldüğü gibi. Baş parmak kuvvet yönünde veya iletgenin hareket yönünde, işaret parmağı manyetik kuvvet hatları yönünde tutulursa ve terminallerde de bir yük bağlı ise orta parmak iletkenlerden veya yükten geçen akımın yönünü gösterir. Eğer terminallere bir yük bağlı değilse orta parmak indüklenen emk'nin yönünü gösterir. Parmakların tutuluşu şekil 1.3 te görülmektedir. Şekle dikkat edilecek olursa iletgenin ortasına konan nokta akımın o noktadan iletgeni terkettiği ve çarpı işareti ise akımın o noktadan iletgene girdiği anlamına gelir. Böylece üstteki iletgenin akım yönüyle alttaki iletgenin akım yönleri bir birinin zıttıdır. Bu iletgenlerin seri bağlanmış olmasının bir gereğidir. Ayrıca baş parmağın gösterdiği hareket yönü ile iletgenden geçen akım yönü de bir birinin zıttıdır.



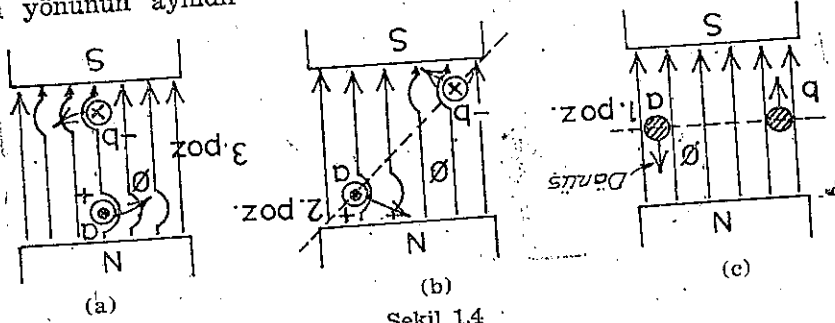
Şekil 1.3

Sağ el kaidesi.

Sağ el kaidesine göre bulunan akım yönü ve dönüş yönü

Aşağıdaki şekillerde görüldüğü gibi bir kaç pozisyon halinde bir bobinin manyetik alan içinde döndüğünü varsayalım ve meydana gelen

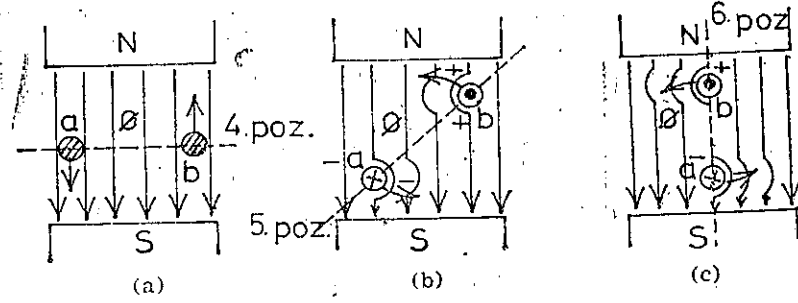
İndükleme geriliminin büyüklüğünü tesbit edelim. Şekil 1.4a da görülen iletgen 1. pozisyonda magnetik kuvvet hatları bu iletgen tarafından kesilmiyor. İletgen magnetik kuvvet hatları tarafından kesilmediği için indüklenen gerilim sıfırdır. İletgen pozisyon 1 den 2 ye doğru hareket ederken şekil 1.4b de görüldüğü gibi birim zamanda kesilen magnetik kuvvet hatları sayısı artar ve buna bağlı olarak bobinde indüklenen emk yükselir. 2. nolu pozisyonda meydana gelen akım ve a-b terminalindeki gerilimin polarite yönü sağ el kaidesi ile tesbit edilebilir. 3. nolu pozisyonda birim zamanda kesilen magnetik kuvvet hatlarının sayısı maksimum değere yükselir. Birim zamanda kesilen maksimum magnetik kuvvet hatları o bobinde maksimum emk ti indükler. İndüklenen bu gerilimin polaritesi ve akımın yönü 2. nolu pozisyondaki polarite ve akım yönünün aynıdır.



Şekil 1.4

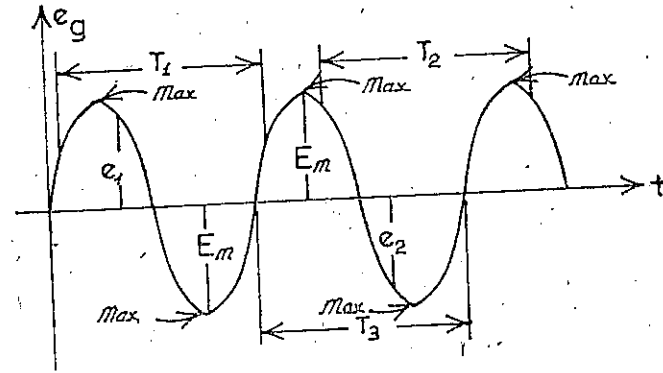
Bobin dönüşüne devam ederken pozisyon 4 de olduğu gibi indüklenen gerilimin polaritesi ve akımın yönü aynı kalmak şartıyla meydana gelen emk ti miktarında bir düşüş meydana gelir. Meydana gelen bu düşüşün nedeni ise birim zamanda kesilen magnetik kuvvet hatları sayısının azalmasındandır. A iletgeninin  $180^\circ$  dönmesi neticesinde elde edilen 4. nolu pozisyonda indüklenen emk tekrar sıfır olur. Bu anda birim zamanda kesilen magnetik kuvvet hatları sayısı sıfırdır.

Bobin 5 nolu pozisyona doğru dönerken meydana gelen indüksiyon emk sının büyüklüğü tekrar artış gösterir. Buna bağlı olarak indüksiyon emk sının yönü de değişir. Çünkü a iletgeni birinci yarı bölgeye göre yer değiştirmiştir. Şekil 1.5 te görüldüğü gibi iletgenin bulunduğu pozisyonlar bakımından 2. nolu pozisyon ile 5. nolu pozisyon ve 3. nolu pozisyon ile 6. nolu pozisyonlar bir birinin benzeridir. Değişik olan sadece a ile b iletgenlerinin yerleridir. Yani pozisyon 5 ve 6 da a iletgeni pozisyon 2 ve 3 e göre  $180^\circ$  lik bir dönüş yapmıştır. İletkenlerin bulunduğu pozisyonlarda indüklenen emk lar bir birinin eşiti ve ters yönlüdür.



Şekil 1.5

Şekil 1.4a, b, c pozisyonlarında indüklenen emk ile şekil 1.5a, b, c de indüklenen gerilimin şekli ve büyüklüğü grafik olarak şekil 1.6 da görülmektedir. Bu eğri dönen bobinin a ve b terminali arasında indüklenen emk nin zaman değişimine göre çizdiği bir eğridir.



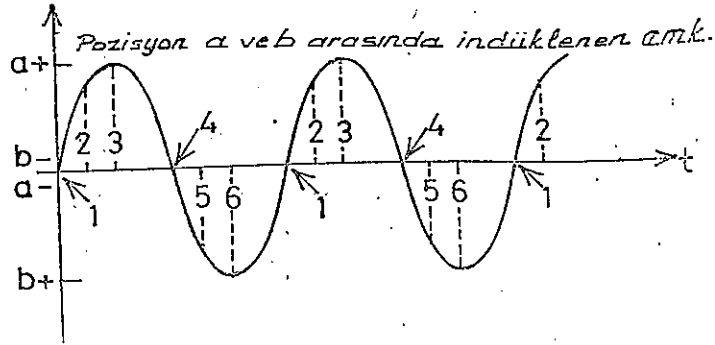
Şekil 1.6

Bobin dönüşüne devam ettiği sürece meydana gelen indükleme emk nin şekli bir dönüşte meydana gelen eğrinin şeklinin bir tekrarı olacaktır. Yani bobinin dönüşü neticesinde meydana gelen indüksiyon emk nin şekli A.A da sinüsoidal eğriyi meydana getirir.

### 1.3 TARİFLER

Şekil 1.7 de görülen sinüsoidal dalga şekli ve bu dalganın çeşitli bölümlerinin nasıl ifade edileceği görülmektedir. Bu terimler sinüsoidal olan her hangi bir dalga şekline de uygulanabilir.





Şekil 1.7

**DALGA ŞEKLİ:**

Değişken bir değerin (kıymetin) izlediği yoldur. Bu değer akım, emk gibi değerler olup bunların zaman gibi bir değişkenin fonksiyonu olarak ifade edilir. Değişken zaman, pozisyon, derece ve ısı gibi kıymetler olabilir.

**ANİ DEĞER:**

Eğrinin her hangi bir anındaki büyüklüğüdür. Ani değerler genel olarak ( $e_1$ ,  $e_2$ ) gibi harflerle gösterilir.

**BÜYÜKLÜK veya MAKSİMUM DEĞER:**

Eğrinin alması olduğu en büyük değerdir. Genel olarak E ile gösterilir.

**PERYODİK DALGA:**

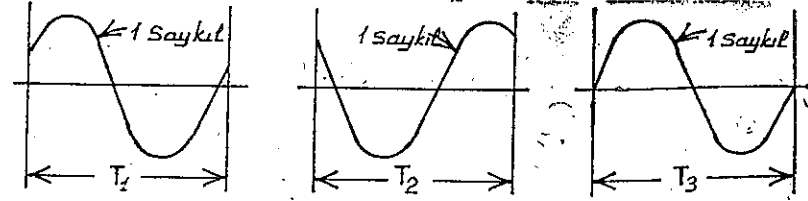
Eşit zaman aralıklarıyla eğrinin bir önceki şeklini tekrar etmesiyle elde edilen eğridir.

**PERYOT: (T)**

Şekil 1.7 deki gibi bir eğrinin  $360^\circ$  lik bir açı meydana getirmesi için geçen zamana bir periyot denir ve T harfiyle gösterilir. Başka bir ifadeyle eğrinin sıfırdan başlayarak pozitif maksimum sıfır, negatif maksimum ve tekrar sıfır olması için geçen zamana periyot denir.

**SAYKIL:**

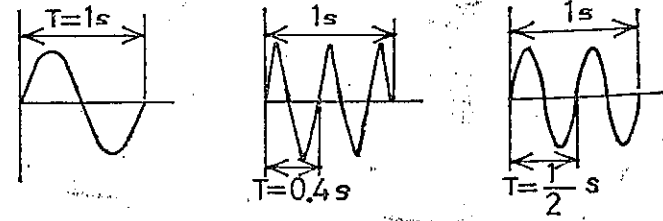
Bir periyotluk zaman geçmesiyle meydana gelen dalga şekline bir saykıl denir. Bir saykılık eğriler her zaman sıfırdan başlamıyabilir. Şekil 1.8 de çeşitli saykıldaki eğriler görülmektedir.



Şekil 1.8

**FREKANS: (F)**

Bir saniyede meydana gelen saykıl sayısına frekans denir. Şekil 1.9 a, b, c de bir saniyelik zaman içinde çeşitli frekansa sahip eğriler görülmektedir. Örneğin a da bir saniyede bir saykılık bir eğri meydana gelirken b de ise 2.5 saykılık bir eğri meydana gelmiştir. Uzun yıllar frekans birimi olarak saykıl kullanıldı (saniyedeki tekrar sayısı). Son zamanlarda hertz (hz) kullanılmaya başlandı.



Şekil 1.9

$$1 \text{ hertz (hz)} = 1 \text{ saykıl/saniye (c/s)} \quad (1.1)$$

Türkiye için standart frekans 50 Hz dir.

Aşağıdaki formüllerde görüldüğü gibi frekans ile periyot, biri diğerinin tersidir. Yani frekans artarsa periyot azalır veya periyot artarsa frekans azalır. Bu sonuç formül olarak

$$f = \frac{1}{T} \quad (1.2 a)$$

Formülde

f = frekans Hz

T = Zaman (saniye) sn

$$T = \frac{1}{f} \quad (1.2 b)$$

**ÖRNEK: 1.1**

Peryodik bir dalgaının periyodunu aşağıdaki frekans değerleri için bulunuz.

- a — 50 Hz  
b — 1000 Hz

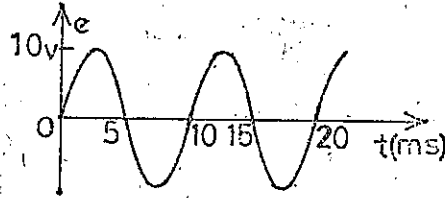
**Çözüm:**

$$a — T = \frac{1}{f} = \frac{1}{50} = 0.02 \text{ sn veya } 20 \text{ ms}$$

$$b — T = \frac{1}{f} = \frac{1}{1000} = 10^{-3} \text{ sn veya } 1 \text{ ms}$$

**ÖRNEK: 1.2**

Şekil 1.10 daki eğrinin frekansını bulunuz.



Şekil 1.10

**Çözüm:**

Şekilden  $T = 10 \text{ ms}$

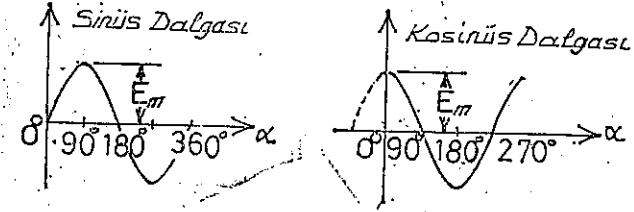
$$f = \frac{1}{T} = \frac{1}{10 \times 10^{-3}}$$

$$f = 100 \text{ Hz}$$

**1.4 SINÜS EĞRİSİ**

Elektrik devrelerinde sinüs eğrisinin önemi çok büyüktür. Çünkü diğer dalga şekillerine göre R, L ve C devrelerine eğer sinüs eğrisi tatbik edilirse bu dalga şekli devrenin karakterinden hiç etkilenmez. Yani devrenin karakteri eğrinin şekline etki etmez. Halbuki eğer devreye sinüs eğrisi olmayan bir eğri tatbik edilirse (kare veya üçgen) bu eğri çeşidi devrenin karakterinden etkilenir. Başka bir ifadeyle eğer dirence, bobine veya kondansatöre bir gerilim tatbik edilirse ve bu gerilimde sinü-

soidal ise buna bağlı olarak o devrede meydana gelen akımda sinüsoidal olur. Yani devrenin karakteristik yapısı meydana gelen akımın dalga şeklini etkilemez. Eğer böyle bir devreye kare veya üçgen dalgalı bir gerilim tatbik edilirse yukarıdaki durum olmaz. Yukarıda belirtilen devrelere (R, L, C) kosinüs eğrisi şekline sahip bir gerilim tatbik edilirse meydana gelen eğri şekli yine değişmez. Yani gerilimin eğrisinin şeklindedir. Çünkü sinüs eğrisi ile kosinüs eğrisi arasındaki fark sadece  $90^\circ$  lik açı farkıdır. Şekil 1.11 de sinüs ve kosinüs eğrileri görülmektedir. Bu eğrilerin çiziminde yatay eksen açısal değerler gösterilir. Bu değerler ya derece cinsinden veya radyan cinsinden olabilir. Pek çok elektrik formüllerinde  $\pi$  bir çarpan olarak bulunduğu için açıların ölçülmesinde radyan dereceye oranla daha çok kullanılır. Radyanla derece arasındaki oran aşağıdaki formüllerde görülmektedir.



Şekil 1.11

$$2\pi \text{ radyan} = 360^\circ$$

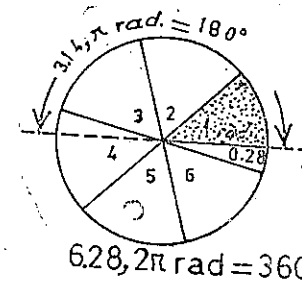
veya

$$(1.3a)$$

$$1 \text{ radyan} = 57.3^\circ$$

$$(1.3b)$$

Şekil 1.12 de derece ve radyan ölçü birimleri görülmektedir. Ayrıca bu iki birim sistemlerinin bir birine dönüştürülmesi aşağıdaki gibidir.



Şekil 1.12

$$\text{Radyan} = \frac{\pi}{180^\circ} \times \text{derece} \quad (1.4a)$$

$$\text{Derece} = \frac{180^\circ}{\pi} \times \text{radyan} \quad (1.4b)$$

Bu formüller yardımıyla bazı radyan değerlerini dereceye ve derece değerlerini de radyana çevirelim.

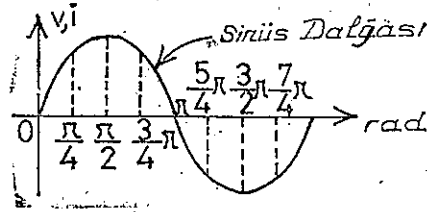
$$30^\circ : \text{Radyan} = \frac{\pi}{180} \times (30^\circ) = \frac{\pi}{6} \text{ radyan}$$

$$90^\circ : \text{Radyan} = \frac{\pi}{180} \times (90^\circ) = \frac{\pi}{2} \text{ radyan}$$

$$\frac{\pi}{3} : \text{Derece} = \frac{180^\circ}{\pi} \times \frac{\pi}{3} = 60^\circ$$

$$\frac{3\pi}{2} : \text{Derece} = \frac{180^\circ}{\pi} \times \frac{3\pi}{2} = 270^\circ$$

Sinüs eğrileri derece kullanarak çözülebileceği gibi şekil 1.13 de görüldüğü gibi radyan kullanarak da çözülebilir.

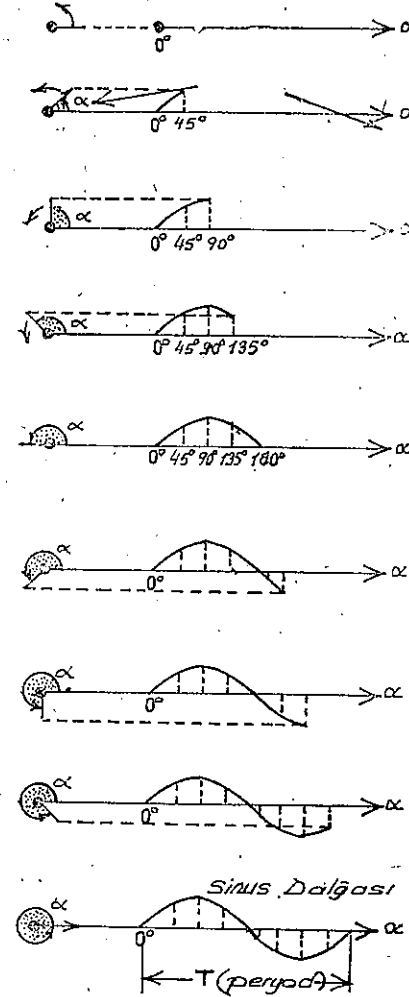


Şekil 1.13

Bir radyanlık vektörün merkeze göre hızına açısal hız denir. Yani açısal hız birim zamanda radyan olarak alınan mesafedir. Formül olarak açısal hız:

$$\text{Açısal hız} = \frac{\text{Alınan yol (rad)}}{\text{Zaman (sn)}} \quad (1.5)$$

Şekil 1.14 de bir dönüşle meydana gelen eğriyi veya bir periyot için gerekli zamanı gösteren çeşitli eğriler görülmektedir. Birim zaman aralığında yarı çapa eşit olarak alınan yol  $2\pi$  dir. Bu nedenle alınan yol  $2\pi$  olarak gösterilirse açısal hız aşağıdaki gibi ifade edilebilir.



Şekil 1.14

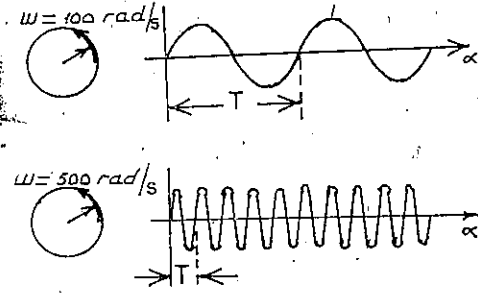
$$\omega = \frac{2\pi}{T} \text{ (rad/sn)} \quad (1.6)$$

Bu formülle ilgili olarak bir dönüşte meydana gelen sinüs eğrisinin frekansı ( $f = 1/T$ ) olduğuna göre açısal hız

$$\omega = \frac{2\pi}{T} \quad T = \frac{1}{f}$$

$$\omega = 2\pi f \text{ (rad/sn)} \quad (1.7)$$

Yukarıdaki formülden anlaşıldığı gibi indüklenen gerilimin frekansı yükseldikçe açısal hızda yükselir. Şekil 1.15 de değişik açısal hızlara ait dalga şekilleri görülmektedir.



Şekil 1.15

**ÖRNEK: 1.3**

Frekansı 50 Hz olan bir snüs eğrisinin açısal hızını bulunuz.

**Çözüm:**

$$\begin{aligned}\omega &= 2\pi f = 2 \cdot 3.14 \cdot 50 \\ &= 6.28 \cdot 50 \\ \omega &= 314 \text{ rad/sn}\end{aligned}$$

**ÖRNEK: 1.4**

Şekil 1.15b deki sinüs eğrisinin frekansını ve periyodunu bulunuz.

**Çözüm:**

$$\begin{aligned}\omega &= \frac{2\pi}{T} & T &= \frac{2\pi}{\omega} = \frac{2 \cdot 3.14}{50} = 12.6 \text{ ms} \\ f &= \frac{1}{T} = \frac{1}{12.6 \times 10^{-3}} = 79.3 \text{ Hz}\end{aligned}$$

**1.5 SINÜSİDAL GERİLİM veya AKIMIN GENEL ŞEKLİ**

Sinüsoidal bir eğrinin genel ifadesi aşağıdaki gibi ifade edilir.

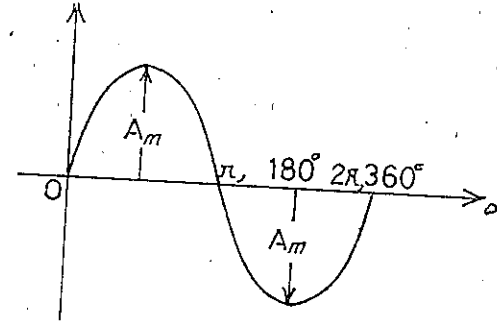
$$A_m \sin \alpha \quad (1.8)$$

**Formülde**

$$\begin{aligned}A_m &= \text{Eğrinin maksimum değeri} \\ \alpha &= \text{Yatay eksen için ölçü birimidir.}\end{aligned}$$

Şekil 1.16 daki şekilde

$$\alpha = \omega t \quad (1.9)$$



Şekil 1.16

Sabit zaman aralığı için açısal hızın büyüklüğü arttıkça eğrinin sayıklıda artar. Formül 1.9 da  $\alpha = \omega t$  olduğundan sinüs eğrisinin genel şekli aşağıdaki gibi ifade edilebilir.

$$A_m \sin \omega t \quad (1.10)$$

**Formülde**

$\omega t =$  Yatay eksenindeki ölçü birimidir.

Akım ve gerilim gibi elektriki büyüklüklere yukardaki formülü tatbik edersek

$$\begin{aligned}i &= I_m \sin \omega t = I_m \sin \alpha \\ e &= E_m \sin \omega t = E_m \sin \alpha\end{aligned}$$

**Formülde**

$m$  eğrinin maksimum değerini gösterir ( $i$ ) ve ( $e$ ) eğrinin zamana göre ani değeridir. Sinüs eğrisi yatay eksende zaman gösterilmek suretiyle de çizilebilir. Eğer zaman değişimine göre değişen değer sinüsoidal ise zaman ve gerilim veya akımın ani değerlerine göre de çizilebilir. Sinüsoidal olmayan eğriler için ani değer ve zamandan başka değerlerinde bilinmesine gereksinme vardır.

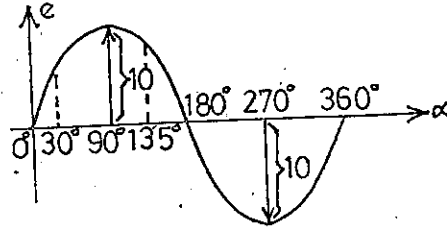
**ÖRNEK: 1.5**

Ani değeri  $e = 10 \sin 377 t$  olduğuna göre aşağıdaki çeşitli açılara göre sinüs eğrisinin şeklini çiziniz.

- a —  $\alpha$  derece  
b —  $\alpha$  radyan  
c — t zaman (sn)

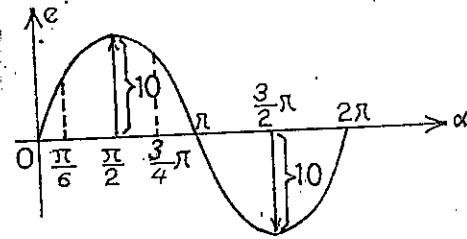
**Cözüm:**

a — Şekil 1.17



Şekil 1.17

b — Şekil 1.18



Şekil 1.18

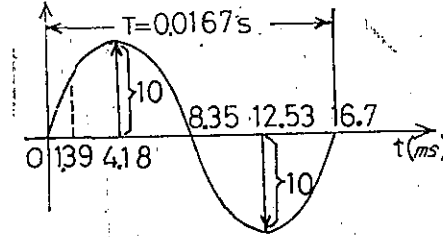
c —

$$\omega = \frac{2\pi}{T} \text{ veya } T = \frac{2\pi}{\omega} = \frac{6.28}{377} = 16.7 \text{ ms}$$

$$\frac{T}{2} = \frac{16.7}{2} \times 10^{-3} = 8.35 \text{ ms}$$

$$\frac{T}{4} = \frac{16.7}{4} \times 10^{-3} = 4.18 \text{ ms}$$

$$\frac{T}{12} = \frac{16.7}{12} \times 10^{-3} = 1.39 \text{ ms}$$



Şekil 1.19

## 1.6 FAZ İLİŞKİLERİ

Şu ana kadar gördüğümüz gibi sadece sinüs eğrisi  $\pi/2$  ve  $3\pi/2$  değerlerinde maksimum ve  $0, \pi$ , ve  $2\pi$  değerlerinde de 0 değeri alan bir eğri şekli olduğunu gördük. Şekil 1.17 deki egride sinüsoidal eğrinin değeri aşağıdaki gibidir. Yani

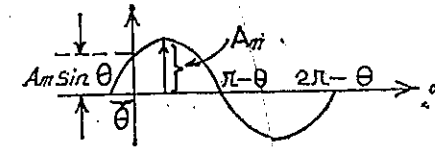
$$A_m \sin \omega t$$

bu eğri 0 değerinin sağ ve sol tarafına kaydırılacak olursa sinüs eğrisinin değeri  $\ominus$  kadar değişir. Buna göre dalganın şekli

$$A_m \sin (\omega t \mp \ominus) \quad (1.11)$$

$\ominus$  = derece veya radyan olarak eğrinin kaydırılması.

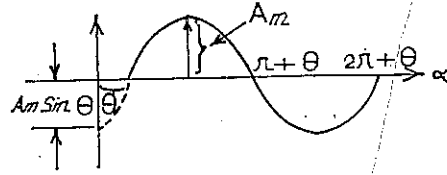
Eğer egrideki bu kayma dik eksenine göre sol tarafa doğru ise  $\ominus$  değeri pozitif, sağ tarafa doğru ise  $\ominus$  değeri negatif işaret alır. Bu değişim şekil 1.20 de görülmektedir.



Şekil 1.20

$$A_m \sin (\omega t + \ominus) \quad (1.12)$$

$\omega t = \alpha = 0^\circ$  değeri için eğrinin büyüklüğü  $A_m \sin \theta$  ile tesbit edilir. Eğer eğri şekil 1.21 deki gibi sağa doğru ise  $\theta$  değeri negatiftir.

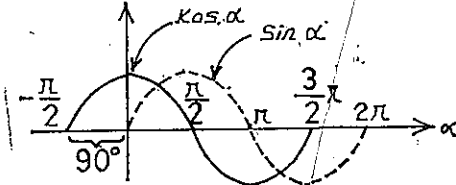


Şekil 1.21

$$A_m \sin (\omega t - \theta) \quad (1.13)$$

$\omega t = \alpha = 0^\circ$  için büyüklük  $A_m \sin (-\theta)$  dir. Büyüklük değeri trigonometrik olarak  $-A_m \sin \theta$  olarak yazılabilir.

Sinüs eğrisindeki bu kaydırmayı dikey eksene göre sol tarafa  $90^\circ$  olarak kaydırsak şekil 1.22 deki eğri elde edilir. Bu eğriye cosinüs eğrisi denir. Bu eğrinin değeri aşağıdaki gibi ifade edilir.



Şekil 1.22

$$90 = \frac{\pi}{2}$$

$$\sin (\omega t + 90^\circ) = \sin (\omega t + \frac{\pi}{2}) = \text{Cosinüs } \omega t \quad (1.14a)$$

$$\sin \omega t = \text{Cos } (\omega t - \theta) = \text{Cos } (\omega t - \frac{\pi}{2}) \quad (1.14b)$$

Sinüs eğrisinin dikey eksene göre sağa ve sola kaydırılmasıyla sinüs eğrisinin durumu ileri veya geri terimleri ile ifade edilir. Şekil 1.22 de cosinüs eğrisi sinüs eğrisine göre  $90^\circ$  ileridir. Başka bir ifadeyle sinüs eğrisi cosinüs eğrisine göre  $90^\circ$  geridedir. Eğrinin ileri veya geri durumuna göre meydana gelen  $90^\circ$  lik açığa iki eğri arasındaki faz açısı denir.

Sinüs ve cosinüs eğrileri ile ilgili trigonometrik ifadeler aşağıdaki gibidir.

$$\begin{aligned} \sin (-\alpha) &= -\sin \alpha \\ \cos (-\alpha) &= \cos \alpha \\ -\sin (\alpha) &= \sin (\alpha \mp 180^\circ) \\ -\cos (\alpha) &= \cos (\alpha \mp 180^\circ) \end{aligned} \quad (1.15)$$

Eğer her hangi bir dalganın büyüklüğü aşağıdaki gibi ifade edilirse

$$e = -E_m \sin \omega t$$

negatif işaret doğrudan doğruya bu eğrinin açısal değerini ilgilendirir. Yani eğrinin maksimum değeri ile ilgili değildir. Böylece yukarıdaki değer aşağıdaki gibi yazılabilir.

$$e = E_m (-\sin \omega t)$$

Çünkü  $-\sin \omega t = \sin (\omega t \mp 180^\circ)$  dir. Böylece ani değer aşağıdaki gibi yazılabilir.

$$e = E_m \sin (\omega t \mp 180^\circ)$$

Bu formüle göre  $180^\circ$  lik açı  $\omega t$  değerine ya eklenir veya çıkarılır. Buna göre

$$e = -E_m \sin \omega t = E_m \sin (\omega t + 180^\circ) = E_m \sin (\omega t - 180^\circ)$$

İki eğrinin aralarındaki ilişkiyi ileri veya geri diye tarif ederken faz farkı terimi kullanılır. Bu değer derece veya radyan olarak ifade edilir.

#### ÖRNEK: 1.6

Aşağıdaki sinüsoidal eğriler arasındaki faz farkını eğriler çizerek gösteriniz.

$$a - v = 10 \sin (\omega t + 30^\circ)$$

$$i = 5 \sin (\omega t + 70^\circ)$$

$$b - i = 15 \sin (\omega t + 60^\circ)$$

$$v = 10 \sin (\omega t - 20^\circ)$$

$$c - i = 2 \cos (\omega t + 10^\circ)$$

$$v = 3 \sin (\omega t - 10^\circ)$$

$$d - i = -\sin (\omega t + 30^\circ)$$

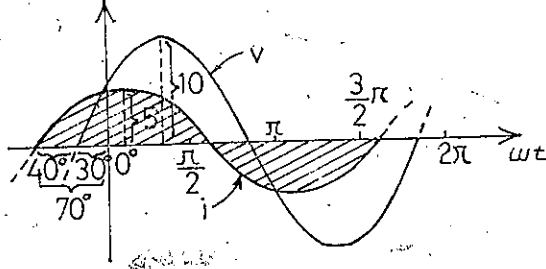
$$v = 2 \sin (\omega t + 10^\circ)$$

$$e - i = -2 \cos (\omega t - 60^\circ)$$

$$v = 3 \sin (\omega t - 150^\circ)$$

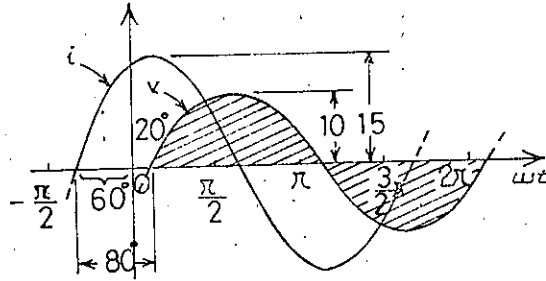
**Cözüm:**

a — i akımı v gerilimine göre  $40^\circ$  ileridir veya v gerilimi i akımına göre  $40^\circ$  geridir. Buna göre çizilen eğri şekil 1.23 de görülmektedir.



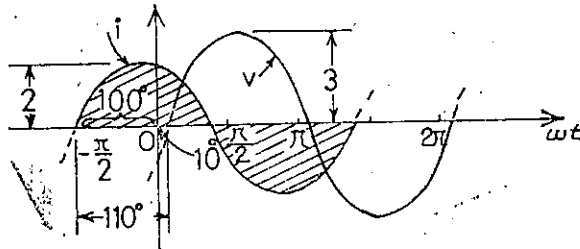
Şekil 1.23

b — i akımı v gerilimine göre  $80^\circ$  ileridir veya v gerilimi i akımına göre  $80^\circ$  geridir. Buna göre çizilen eğri şekil 1.24 de görülmektedir.



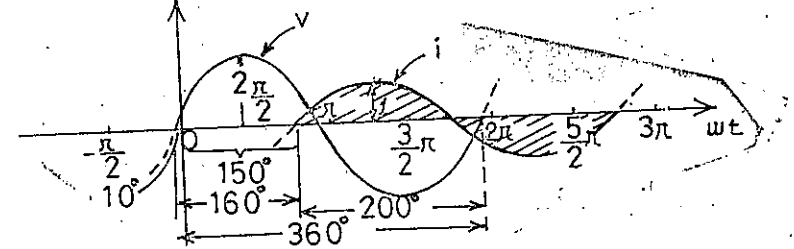
Şekil 1.24

c —  $i = 2 \cos(\omega t + 10^\circ) = 2 \sin(\omega t + 10^\circ + 90^\circ) = 2 \sin(\omega t + 100^\circ)$ . i akımı v gerilimine göre  $110^\circ$  ileridir veya v gerilimi i akımına göre  $110^\circ$  geridir. Buna göre çizilen eğri şekil 1.25 de görülmektedir.



Şekil 1.25

d —  $-\sin(\omega t + 30^\circ) = \sin(\omega t + 30^\circ - 180^\circ) = \sin(\omega t - 150^\circ)$   
v gerilimi i akımına göre  $160^\circ$  ileridir veya i akımı v gerilimine göre  $160^\circ$  geridir. Eğri şekil 1.26 dadır.



Şekil 1.26

**Başka bir method kullanarak**

$$-\sin(\omega t + 30^\circ) = \sin(\omega t + 30^\circ + 180^\circ) = \sin(\omega t + 210^\circ)$$

Bu durumda i akımı v gerilimine göre  $200^\circ$  ileridir veya v gerilimi i akımına göre  $200^\circ$  geridir. Bu soru için şekil 1.26 da çizilen dalga şekli doğrudur.

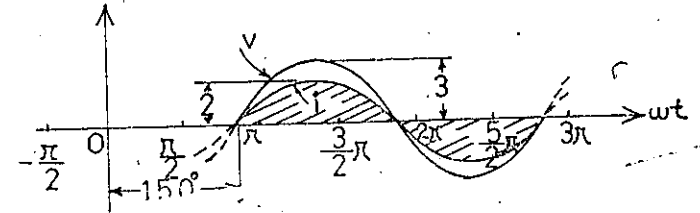
$$e — i = -\cos(\omega t - 60^\circ) = 2 \cos(\omega t - 60^\circ - 180^\circ) = 2 \cos(\omega t - 240^\circ)$$

Fakat

$$\cos \alpha = \sin(\alpha + 90^\circ)$$

$$2 \cos(\omega t - 240^\circ) = 2 \sin(\omega t - 240^\circ + 90^\circ) = 2 \sin(\omega t - 150^\circ)$$

Bu sonuca göre v ve i değerleri aynı fazdadır. Eğri şekil 1.27 dedir.

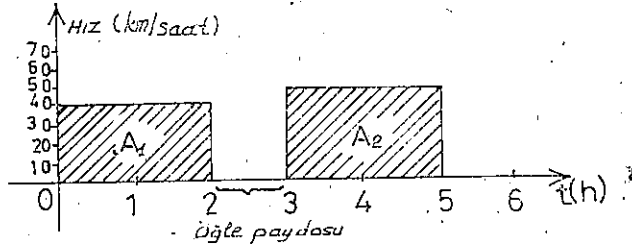


Şekil 1.27

**1.7 ORTALAMA DEĞER**

Değişik hızlarda 180 km yi 5 saatte giden bir şoförün bu süre zarfında yaptığı ortalama hızı bulmak istersek, bu sürede alınan yolun 5

te bölmek suretiyle her bir saat için ortalama hız bulunmuş olur. Şö-  
ün bu süre zarfında aldığı yolu şekil 1.28 deki gibi çizecek olursak  
eğriler altında kalan alanların ortalaması bize saatteki hızı verir.



Şekil 1.28

$$\text{Ortalama hız} = \frac{\text{Eğri altındaki alan}}{\text{Eğrinin uzunluğu}} \quad (1.16)$$

$$\begin{aligned} &= \frac{A_1 + A_2}{2} \\ &= \frac{40 \cdot 2 + 50 \cdot 2}{5} \\ &= \frac{180}{5} \\ &= 36 \text{ km/saat} \end{aligned}$$

Yukarıdaki formül akım ve gerilim gibi elektrikli değerlerde uygu-  
nır. Eğer G ortalama değeri ifade ederse

$$G \text{ (ortalama değer)} = \frac{\text{Alanların cebirsel toplamı}}{\text{Eğrinin uzunluğu}} \quad (1.17)$$

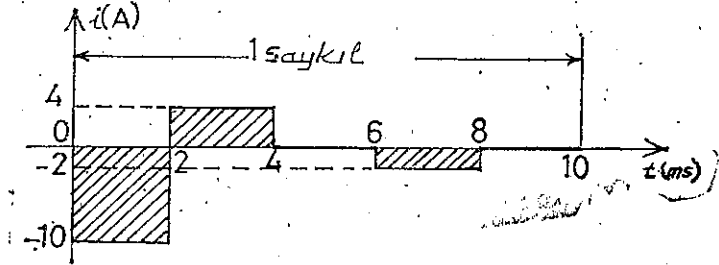
Alanların cebirsel toplamı yapılmalıdır. Çünkü bazı alanlar yatay  
ksenin altında bazıları da bu eksenin üst tarafında olabilir. Bu cebirsel  
oplamada yatay eksenin üst tarafında olan alanlar pozitif işaretlerle alt  
rafında olanlar ise negatif işaretlerle işaretlenirler. Her hangi bir gerilim  
veya akımın ortalama değeri de, ölçü aletinin gösterdiği değerdir.

Başka bir ifadeyle bir tam saykılın ortalama değeri onun da, eşiti-  
r. Elektrik ve elektronik devrelerde de, ve aa kullanıldığında göre bazan  
a ortalama değerini yani da, eşitini bulmak gerekli olabilir.

### ÖRNEK: 1.7

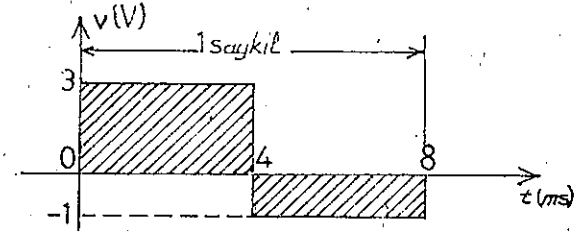
Bir tam saykıl için aşağıdaki eğrilerin ortalama değerlerini bulunuz.

a — Şekil 1.29



Şekil 1.29

b — Şekil 1.30

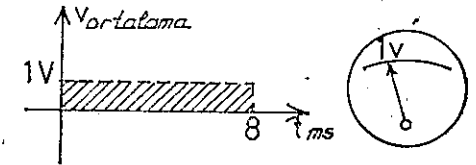


Şekil 1.30

Çözüm:

$$a - G = \frac{3 \cdot 4 - 1 \cdot 4}{8} = \frac{12 - 4}{8} = 1 \text{ volt}$$

Doğru akım voltmetresinin gösterdiği değer şekil 1.31'dir.



Şekil 1.31

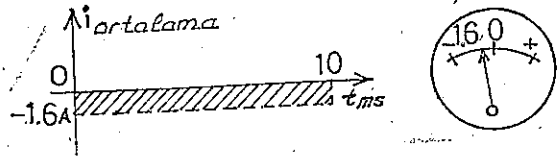


$$b - G = \frac{-10.2 + 4.2 - 2.2}{10} = \frac{-20 + 8 - 4}{10}$$

$$= -\frac{16}{10}$$

$$= -1.6 \text{ Amper}$$

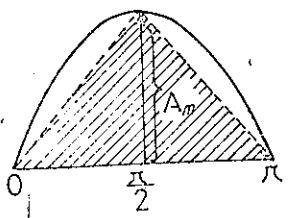
Doğru akım ampermetresi şekil 1.32 de görülen değeri gösterir.



Şekil 1.32

Yukardaki örneklerde eğrilerin altında kalan alanları basit olarak bulduk. Bu alanlar bulunurken eğriler sinüs eğrisi veya başka bir eğri şeklinde olabilir. Bu gibi hallerde alan başka bir yöntemle bulunabilir. Şekil 1.33 ve 34 de görülen eğrilerin altında kalan alanlar integral yöntemle bulunur. Ancak çok küçük bir hatyala bu şekilleri çeşitli üçgen şekillere bölüp bu şekillerin alanlarının toplamı büyük alanın toplamını verir.

Örneğin sinüs eğrisinin gerçek pozitif veya negatif alanı eğri  $2A_m$  ise yaklaşık olarak aşağıdaki gibi bulunur.

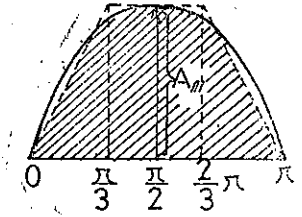


Şekil 1.33

$$\text{Alan (Taranmış)} = 2 \left( \frac{1}{2} bh \right) = 2 \left[ \left( \frac{1}{2} \right) \left( \frac{\pi}{2} \right) (A_m) \right] = \frac{\pi}{2} A_m$$

$$= 1.58 A_m$$

Bu alanı daha yaklaşık bir değerle bulmak için şekil 1.34 deki şekil kullanılır.



Şekil 1.34

$$\text{Alan} = A_m \frac{\pi}{3} + 2 \left( \frac{1}{2} bh \right) = A_m \frac{\pi}{3} + \frac{\pi}{3} A_m$$

$$= 1.05 A_m + 1.05 A_m$$

$$= 2.1 A_m \text{ olur.}$$

Bu değer eğrinin meydana getirdiği alana çok yakındır. Eğer eğrilerin şekli düzensiz ise bu yöntem ile alan bulma çok kullanılır. Eğer  $2A_m$  eğrisi biliniyorsa ve alanın tam olarak bulunması zorunlu ise integral yöntemi kullanılmalıdır. Bir sinüs eğrisinin pozitif kısmında meydana gelen alanın bulunması istenirse

$$\text{Alan} = \int_0^{\pi} A_m \sin \alpha \, d\alpha$$

Formülde,

$\int$  = İntegral işareti

$\pi$  ve 0 integral sınırları

$A_m \sin \alpha$  integrali alınacak fonksiyon

$d\alpha$  yukarıdaki değer  $\alpha$  değerine göre integralin alınacağını gösterir.

Alanın integralini alırsak

$$\text{Alan} = \int_0^{\pi} \sin \alpha \, d\alpha$$

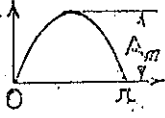
$$= A_m \left[ -\cos \alpha \right]_0^{\pi}$$

$$= -A_m (\cos \pi - \cos 0)$$

$$= -A_m [-1 - (+1)]$$

$$= -A_m (-2)$$

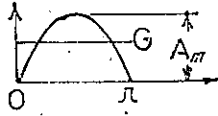
$$\text{Alan} = 2 A_m \quad (1.18)$$



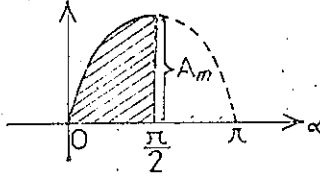
Yarım periyotluk zaman sonunda meydana gelen yarım dalgalık bir bölümün alanı  $2 A_m$  olarak bulunduğuna göre bunun ortalamasını bulmak için, bulunan bu alan eğrinin yatay eksenindeki uzunluğuna bölünür. Böylece

$$G = \frac{2A_m}{\pi}$$

$$G = 0.638 A_m \quad (1.19)$$



Şekil 1.35 deki eğrinin altında kalan alanın yarısını bulmak istersek



Şekil 1.35

$$G = \frac{2A_m/2}{\pi/2} = \frac{2A_m}{\pi} \text{ olur. Yani ortalama değer } 180^\circ \text{ lik saykılın}$$

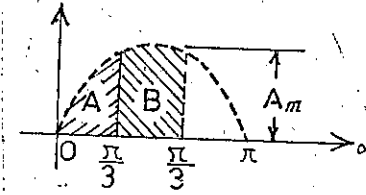
altında bulunan alana eşittir.

Şekil 1.36 daki eğrinin altında kalan alan için A alanının ortalaması

$$G = \frac{2A_m/3}{\pi/2} = \frac{2A_m}{\pi} ?$$

meydana gelen alan bu değere eşit değildir. Çünkü A alanı  $\neq$  B alanına, dolayısıyla

$$A \text{ alanı } \neq \frac{2A_m}{3}$$

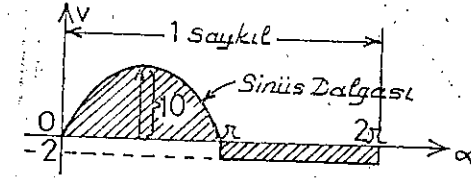


Şekil 1.36

### ÖRNEK: 1.8

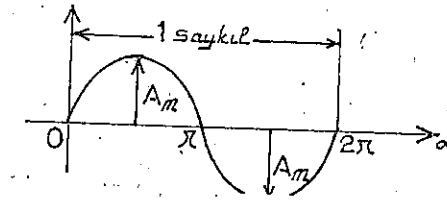
Aşağıdaki eğrilerin ortalama değerlerini bulunuz.

a — Şekil 1.37



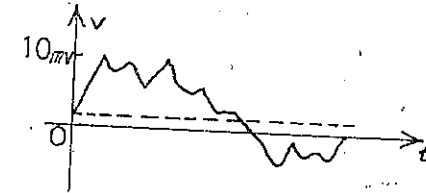
Şekil 1.37

b — Şekil 1.38



Şekil 1.38

c — Şekil 1.39



Şekil 1.39

Çözüm:

$$a - G = \frac{2 A_m}{2 \pi} - 2 \pi = \frac{20 - 2 \pi}{2 \pi} = \frac{10 - \pi}{\pi}$$

$$G = 2.18 \text{ v.}$$

$$b - G = \frac{2 A_m - 2 A_m}{2 \pi} = 0$$

c — Ortalama değer pozitif değerli ve 2 mv civarındadır. Problemin b bölümünden anlaşıldığı gibi normal bir sinüs veya kosünüs eğrilerinin ortalama değerleri sıfırdır. Çünkü pozitif ve negatif değerler bir birine eşittir.

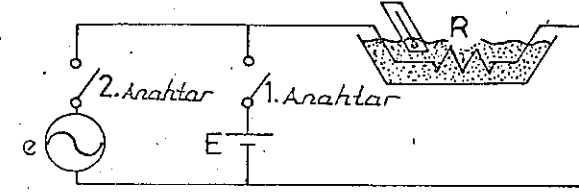
### 1.8 EFEKTİV DEĞER

Bu bölümde da. ve aa. değerlerinin her hangi bir yükte sarfedilen enerjiye göre aralarındaki ilişkileri inceleyeceğiz. Böylece her hangi bir dirençte sarfedilen da. enerjisi ile aynı değere sahip aa. nın değerini bulmaya yardımcı olacaktır. Burada şöyle bir soru akla gelebilir. Nasıl olur da sinüsoidal aa. değeri tam saykıl boyunca tek bir güç sarfeder. Çünkü net akım, yönlerinin farkından dolayı sıfırdır veya sinüsoidal eğride ortalama değer sıfırdır.

Dirençten geçen akımın yönü değişik olmakla beraber büyüklüğü her iki yön için bir birine eşit olduğu için her iki durumda da direnç üzerinde bir güç harcanır. Başka bir ifadeyle aa. da sinüs eğrisinin pozitif ve negatif kısmı için her hangi ani bir değerde direnç üzerinde bir enerji sarfı olur. Sarfedilen bu enerji aa. ani değerindeki kısmın büyüklüğü değişik olduğu için buna bağlı olarak sarfedilen güçte ani değere bağlı olarak değişir. Sonuç olarak sinüs eğrisi ister pozitif bölümde ister negatif bölümde olduğu için her iki durumda da direnç üzerinden sürekli olarak bir akım geçer. Böylece meydana gelen güç bu bölümlerden birisinde meydana gelen gücün iki katına eşit olur.

Alternatif akım ile doğru akımın bir direnç üzerinde meydana getirdikleri güç, akım ve gerilim değerlerini tesbit etmek için şekil 1.40 daki gibi bir deney yapılabilir. Bu deneyde su kabı içine daldırılan bir direncin iki ucu 1 ve 2 nolu anahtarlar yardımıyla doğru akım ve alternatif akım kaynaklarına bağlanır. Eğer 1 nolu anahtar kapatılırsa

devreden bir I akımı geçerse, direncin ve E geriliminin değeri belli olduğu için I akımı bulunur. Suyu daldırılan bir termometre ile suyun ısısı dolayısıyla direncin sarfettiği güç tesbit edilir. Aynı şekilde 1 nolu anahtar açılır ve 2 nolu anahtar kapatılırsa alternatif akımın gerilimine bağlı olarak  $I_{max}$  değerinde bir akım geçer. Böylece suyun ısısı veya aynı direncin sarfettiği güç tesbit edilir. Tesbit edilen bu ısı değerini da. ısı değerine eşit değerde tutmak için aa. giriş gerilimi değiştirilir ve ısılar bir birine eşit yapılır. Böylece direncin aa. da sarfettiği miktar da. da sarfettiği ısı miktarına eşit olup, yani sarfedilen güç ve direnç değerleri sabit olduğuna göre aynı değerde güç elde etmek için aa. nın gerilimi dolayısıyla akımı değiştirilir. Alternatif akımda her hangi bir ani değer için sarfedilen enerji aşağıdaki gibi bulunur.



Şekil 1.40

$$P_{aa} = (I_{aa})^2 R$$

$$= (I_m \sin \omega t)^2 R = (I_m^2 \sin^2 \omega t) R$$

Ayrıca

$$\sin^2 \omega t = \frac{1}{2} (1 - \cos 2 \omega t) \text{ olduğundan}$$

$$P_{aa} = I_m^2 \left[ \frac{1}{2} (1 - \cos 2 \omega t) \right] R$$

$$P_{aa} = \frac{I_m^2 R}{2} - \frac{I_m^2 R}{2} \cos 2 \omega t \quad (1.20)$$

Dirençte sarfedilen aa. nın ortalama değeri formülün ilk teriminin değerine eşittir. Çünkü kosünüs eğrisinin ortalama değeri sıfırdır. Alternatif akımın meydana getirdiği gücü da. nın meydana getirdiği güç değerine eşitliyecek olursak

$$P_{an} = P_{da}$$

$$\frac{P_{an}}{R} = I_{da}^2 R$$

$$I_m = \sqrt{2} I_{da}$$

ya

$$I_{da} = \frac{I_m}{\sqrt{2}} = 0.707 I_m \text{ olur}$$

esitlik şunu ifade eder. Bir doğru akımın (da) değeri alternatif akıma ya gerilimin maksimum değerinin  $1/\sqrt{2}$  veya 0.707 katına eşittir. Böylece da. eşiti sinüsoidal akımın veya gerilimin efektif değeri olarak alınır. Yani alternatif akımın veya gerilimin efektif değeri doğru akım veya gerilim değerine olan eşittir.

set olarak

$$I_{da} = I_{ef} = 0.707 I_m \quad (1.21 a)$$

ya

$$I_m = \sqrt{2} I_{ef} = 1.41 I_{ef} \quad (1.21 b)$$

$$I_{ef} = 0.707 I_m \quad (1.22 a)$$

ya

$$I_m = \sqrt{2} I_{ef} = 1.41 I_{ef} \quad (1.22 b)$$

Basit bir örnek olarak 10 amperlik doğru akımın yaptığı işe eşit şekilde bir işi 10 . 1.41 = 14.1 amperlik alternatif akım yapar. Her hangisi efektif değeri zamanı fonksiyonu olarak bulmak istersek aşağıdaki formül kullanılır.

$$I_{ef} = \sqrt{\frac{\int_0^T i(t)^2 dt}{T}} \quad (1.23 a)$$

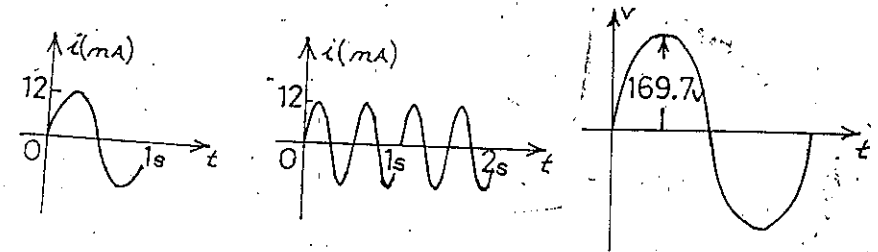
ya

$$I_{ef} = \sqrt{\frac{\text{Alan (A)} [i(t)^2]}{T}} \quad (1.23 b)$$

Yukarıdaki formüllerin ifade ettiği değere göre efektif değerin bulunması için ilk olarak fonksiyon  $i(t)$  nin karesi alınır. Bu değerin karesi alındıktan sonra eğri altındaki alan integral yöntemiyle bulunur. Bu iki değerin çarpımı T ye bölünür. (T = periyot veya bir saykılın yatay eksenindeki uzunluğu) Bu değerin T ye bölünmesiyle ortalama değer bulunur. Ortalama değerin kare kökü alınmak suretiyle efektif değer bulunmuş olur.

### ÖRNEK: 1.9

Şekil 1.41 deki sinüsoidal eğrilerin efektif değerlerini bulunuz.



Şekil 1.41

Çözüm:

$$a - I_{ef} = 0.707 \cdot (12 \times 10^{-3}) = 8.48 \text{ mA}$$

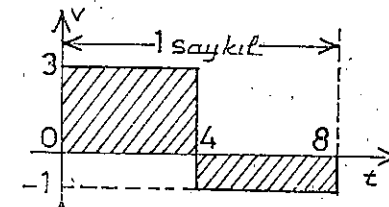
$$b - I_{ef} = 8.48 \text{ mA}$$

Dikkat edilirse a eğrisinin efektif değeri değişirken frekansının değişmediği görülüyor.

$$c - V_{ef} = 0.707 (169.7) = 120 \text{ volt}$$

### ÖRNEK: 1.10

Şekil 1.42 deki eğrinin efektif değerini bulunuz.



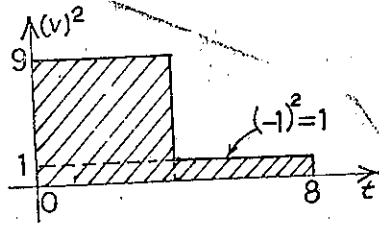
Şekil 1.42

**Çözüm:**

$v^2$  (şekil 1.43)

$$V_{ef} = \sqrt{\frac{9 \cdot 4 + 1 \cdot 4}{8}} = \sqrt{\frac{40}{8}}$$

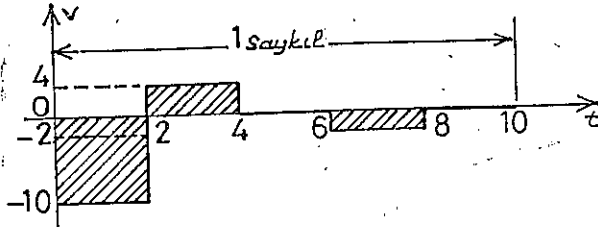
$$= 2.33 \text{ volt}$$



Şekil 1.43

**ÖRNEK: 1.11**

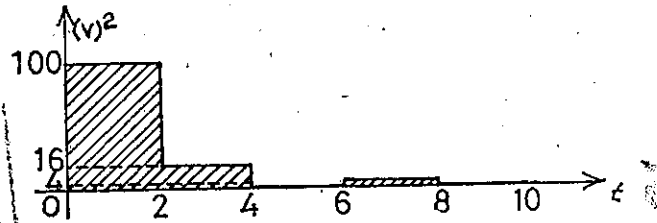
Şekil 1.44 deki eğride gerilimin efektif değerini bulunuz.



Şekil 1.44

**Çözüm:**

$v^2$  (şekil 1.45)



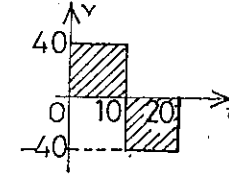
Şekil 1.45

$$V_{ef} = \sqrt{\frac{(100) \cdot 2 + 16 \cdot 2 + 4 \cdot 2}{10}}$$

$$= \sqrt{\frac{240}{10}} = 4.9 \text{ volt}$$

**ÖRNEK: 1.12**

Şekil 1.46 daki kare eğrinin ortalama ve efektif değerini bulunuz.



Şekil 1.46

**Çözüm:**

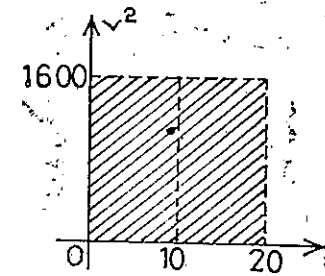
(Ortalama değer = 0 dir)

$v^2$  (şekil 1.47),

$$V_{ef} = \sqrt{\frac{1600 (10 \times 10^{-3}) + 1600 (10 \times 10^{-3})}{20 \times 10^{-3}}}$$

$$V_{ef} = \sqrt{\frac{32000 \times 10^{-3}}{20 \times 10^{-3}}} = \sqrt{1600}$$

$V_{ef} = 40 \text{ volt}$  (şekil 1.46 daki eğrinin maksimum değerine eşittir)



Şekil 1.47

Akım veya gerilim gibi sinüsoidal değerlerin efektif değerleri I veya E harfleriyle gösterilir. Bu harfler doğru akım veya alternatif akım için değişmez.

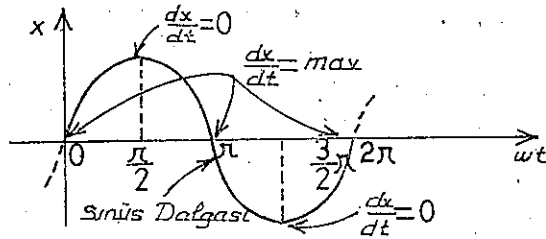
Bunların maksimum değerlerle karıştırılmaması için m harfi kullanılır. Yani  $I_m$  veya  $E_m$  veya  $I_m \sin \omega t$  gibi.

Dikkat: Bir sinüs eğrisinin pozitif kısmının efektif değeri bulunurken dikkat edilirse  $(2A_m)^2 = 4A_m^2$  değildir. Bu kare alanın integral yöntemiyle bulunması zorunludur.

### 1.9 TÜREV

Alternatif akım devreleri üzerindeki araştırmalara başlamadan evvel sinüs ve kosinüs eğrilerinin türevlerinin nasıl bulunulacağı öğrenilmelidir.

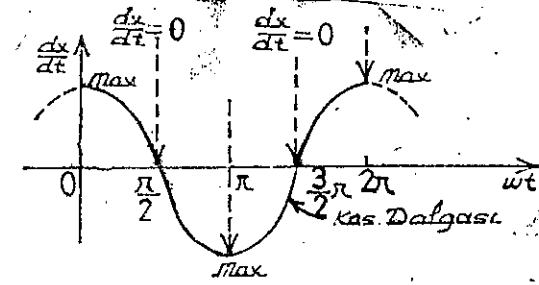
Türev  $dx/dt$  notasyonu şöyle tarif edilebilir. Türev  $dx/dt$ , (x) değerinin (t) zamana göre değişim oranıdır. Eğer x değeri her hangi bir zaman birimi için değişmezse, yani  $dx = 0$  olursa bunun türevinde sıfır olur. Sinüs eğrisinin  $dx/dt$  değeri sadece pozitif ve negatif tepe noktaları (max) değerleri, yani  $(\omega t = \pi/2)$  ve  $(3\pi/2)$  değerleri için sıfırdır. Şekil 1.48 de görüldüğü gibi çok kısa bir an için  $dx = 0$  dir.



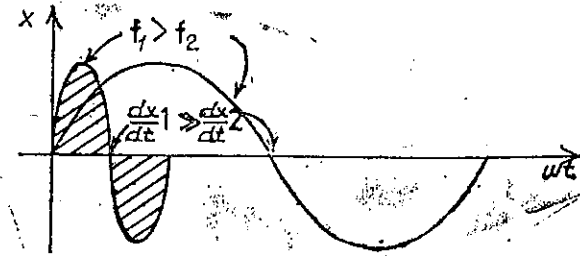
Şekil 1.48

Şekli 1.48 deki sinüs eğrisinde görüldüğü gibi x değerindeki en büyük değişim  $\omega t = 0, \pi$  ve  $2\pi$  değerlerinde olmaktadır. Bunun için bu noktaların türevi maksimumdur. Sinüs eğrisinin değeri maksimum ve minimum değerleri arasında değiştiği için türev değeri de max ve min değerleri arasında değişir. Şekil 1.48 de görülen sinüs eğrisinin türevini alacak olursak şekil 1.49 daki kosinüs eğrisi elde edilir. Böylece sinüs eğrisinin türevi kosinüs eğrisini verir.

Kosinüs eğrisinin tepe (maksimum) değeri doğrudan doğruya orijinal eğrinin frekansı ile ilgilidir. Frekans yükseldikçe sinüs eğrisinin türevi  $dx/dt$  de yükselir. Bu durum şekil 1.50 de görülmektedir.



Şekil 1.49



Şekil 1.50

Sinüs eğrisinin türevi doğrudan doğruya bu eğrinin değerinin diferansiyeli alınmak suretiyle bulunur. Buna göre

$$\frac{d}{dt} [E_m \sin (\omega t \mp \theta)] = \omega E_m \cos (\omega t \mp \theta) \quad (1.24)$$

$$x(t) = e(t) = E_m \cos (\omega t \mp \theta)$$

$$\frac{d}{dt} [E_m \cos (\omega t \mp \theta)] = -\omega E_m \sin (\omega t \mp \theta) \quad (1.25)$$

Şekil 1.48 deki sinüs eğrisinde  $\theta = 0$  ve  $x = x_m \sin \omega t$  olduğundan

$$\frac{dx}{dt} = \omega x_m \cos \omega t$$

veya

$$\frac{dx}{dt} = 2\pi f x_m \cos \omega t$$

Tepe değeri

Frekansın eğrinin tepe değerine olan etkisine dikkat edilmelidir. Daha önceden belirtildiği gibi frekans yükseldikçe türevin tepe değerinde yükselir.

### 1.10 SİNÜSOİDAL GERİLİM veya AKIMIN R, L ve C DEVRELERİNE OLAN ETKİLERİ

Om kanununun kapasitif, endüktif ve omik devrelere uygulandığını biliyoruz. Bu bölümde sinüsoidal bir gerilim veya akımın bu devrelere nasıl uygulanacağı araştırılacaktır.

#### DİRENÇ

Pratik olarak devreye tatbik edilen sinüsoidal gerilim veya akımın frekansı direnci etkilemez. Bu nedenle şekil 1.51 deki devrede R direncinin değeri sabit olarak varsayılır. Çünkü direnç frekanstan etkilenmez. Bu devreye om kanunu uygulanırsa

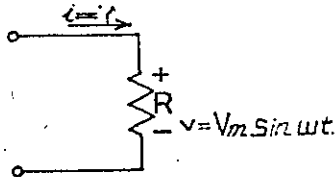
$$i = \frac{U}{R} = \frac{V_m \sin \omega t}{R} = \frac{V_m}{R} \sin \omega t = I_m \sin \omega t$$

$$I_m = \frac{V_m}{R} \text{ dir.}$$

i akımı verildiğine göre

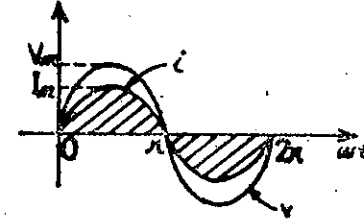
$$v = i R = (I_m \sin \omega t) R = I_m R \sin \omega t = V_m \sin \omega t$$

$$V_m = I_m R$$



Şekil 1.51

v ve i değerlerini şekil 1.52 de işaretlersek omik devrelerde akımla gerilim arasındaki açı farkı olmadığı için bu gibi devrelerde akımla gerilim aynı fazdadır denir.

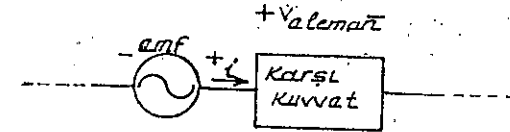


Şekil 1.52

#### ENDÜKTANS (Bobin)

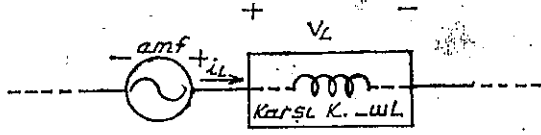
Şekil 1.53 de görülen seri devrede kapalı kutu uçlarındaki gerilim devrenin gerilim kaynağının (emk) nın değerine zıt yönde etkide bulunur. Yani devreden geçen akımın büyüklüğünü azaltır. Bu elemanın uçlarındaki gerilimin büyüklüğü doğrudan doğruya elemandan geçen akımın veya şarjın zıtlığı ile ilgilidir. Bundan önceki bölümde bu zıt kuvvet (karşı kuvvet) o devrenin direnci idi. Bu karşı kuvvet (direnç) z

$$R = \frac{V(\text{eleman})}{i} \text{ formülüyle bulunur.}$$



Şekil 1.53

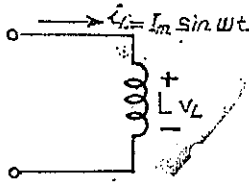
Bobin için daha önceki bölümlerde gördüğümüz gibi zıt emk (veya bobinin uçlarındaki gerilim) direkt olarak bobinin içinden geçen akımın değişimiyle ilgilidir. Sonuç olarak frekans yükseldikçe bobinden geçen akımın değişim oranı yükselir ve meydana gelen zıt emk geriliminin büyüklüğü artar. Meydana gelen gerilim bobinin iletgen sayısı arttıkça artar ve bu gerilim magnetik kuvvet hatlarının (flux) değişim miktarıyla da ilgilidir. Böylece zıt emk direkt olarak frekans (bobinden geçen sinüsoidal aa. açısal hızına) ve bobinin indüktansına bağlıdır. Şekil 1.54 de zıt emk in değeri  $V_L$  ve bobinden geçen akımın değeri ise  $i_L$  ile gösterilir.



Şekil 1.54

İndüktans  $L$  ve açısal hız  $\omega$  nun yükselmesiyle zıt emk  $V_L$  nin değeri de yükselir. Bu iki değer in çarpımı ( $\omega L$ ) bobinden geçen  $i_L$  akımına karşı koyan  $V_L$  zıt emk nin değerini yükseltir ve şekil 1.53 için devrenin emk sınır değişmediği halde zıt emk dan dolayı geçen  $i_L$  akımını azalır. Endüktif devrelerde meydana gelen zıt emk  $V_L$  nin değerine tesir eden faktörleri ve  $V_L$  nin hesaplanmasını incelyelim.

Şekil 1.55 deki devre için zıt emk  $V_L$  aşağıdaki gibi hesaplanır.



Şekil 1.55

$$V_L = L \frac{di_L}{dt} \text{ dir}$$

Bu denklemin diferansiyeli alınırsa

$$\frac{di_L}{dt} = \frac{d}{dt} (I_m \sin \omega t) = \omega L I_m \cos \omega t$$

$$V_L = L \frac{di_L}{dt} = L (\omega I_m \cos \omega t) = \omega L I_m \cos \omega t$$

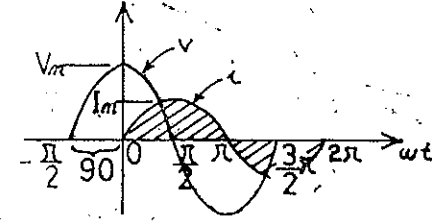
veya

$$V_L = V_m \sin (\omega t + 90^\circ) \text{ ve } V_m = \omega L I_m \text{ dir.}$$

Yukarıdaki formülden görüldüğü gibi  $V_L$  geriliminin tepe noktası değeri direkt olarak indüktans  $L$  ile açısal hız  $\omega$  nun değerine bağlıdır.

Bobinin uçlarında meydana gelen  $V_L$  gerilimi ile içinden geçen  $i_L$  değerlerine bağlı olarak şekil 1.56 daki eğriler çizilirse  $V_L$  gerilimi ile

$i_L$  arasındaki  $90^\circ$  lik faz farkı olduğu görülür ve  $V_L$  değeri  $i_L$  ye göre  $90^\circ$  ileridedir. Başka bir ifadeyle  $i_L$  akımı  $V_L$  geriliminden  $90^\circ$  geridedir.



Şekil 1.56

$$i_L = I_m \sin (\omega t \mp \theta)$$

$$v_L = \omega L I_m \sin (\omega t \mp \theta + 90^\circ)$$

Sinüsoidal aa. devrelerinde indüktörde meydana gelen ve akıma zıt kuvvet aşağıdaki bulunur.

$$\text{Etki} = \frac{\text{Sebepl}}{\text{Tepki}}$$

veya

$$\text{Tepki} = \frac{\text{Sebepl}}{\text{Etki}}$$

Bu değerler bundan önce bulunan formüllerde yerine konursa

$$\text{Tepki (zıt etki)} = \frac{V_m}{I_m} = \frac{\omega L I_m}{I_m} = \omega L$$

Bobinde meydana gelen karşı kuvvetin değerinin  $\omega L$  olduğu daha önceden vurgulanmıştı.

Endüktif devrelerde  $\omega L$  değeri reaktans (bobinin reaksiyonu) olarak anılır. Bu değer  $X_L$  harfleriyle gösterilir ve ohm olarak ölçülür.

$$X_L = \omega L \text{ (om)} \quad (1.26)$$

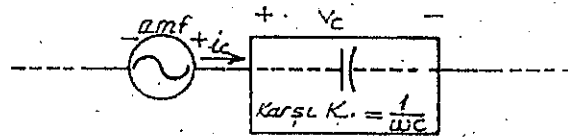
Böylece bobinlerde indüktif reaktans ( $X_L$ ) bobinden geçen akıma karşı koyan kuvvettir. Bu kuvvet kaynak ile bobinin magnetik alanındaki karşılıklı enerji değişiminin bir sonucudur. Başka bir ifadeyle reaktans direncin tersine olarak (direnç enerjiyi ısıya çevirir) elektrik enerjisini ısıya çevirmez.



## KONDANSATÖR

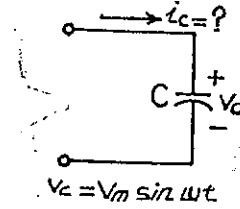
Şekil 1.54 deki bağlantıya dönüp devredeki bobini kondansatör ile değiştirelim. Aynı şekilde kondansatörden geçen  $i$  akımını kondansatör uçlarındaki gerilime bağlı olarak tesbit edelim. Böyle bir devrede devre elemanı uçlarındaki gerilim ve içinden geçen akım biliniyorsa devredeki karşı kuvvet bulunabilir. İndüktif devrelerde bobinden geçen akım ani olarak bir değişim gösteriyorsa bobin uçlarında zıt emk dediğimiz bir gerilim meydana gelir. Kapasitif devrelerde ise kondansatör uçlarındaki gerilim kondansatörde depo edilen şarja bağlıdır. Başka bir ifadeyle kondansatör uçlarındaki gerilimin ani değişimi kondansatörün bir plakasının depozit şarjı için zaman gereksinimidir. Formül olarak  $V = Q/C$  dir. Çünkü kapasite kondansatörün plakalarında depo edilen şarjın oranının bir ölçüsüdür. Kondansatörün uçlarındaki gerilimin değişimi için kapasite değerinin büyüklüğü kapasitif akımın büyüklüğü demektir. Yani kapasite akımının büyüklüğü plakalardaki depo edilmiş şarjın büyüklüğüne bağlıdır. Böylece kondansatör uçlarındaki gerilim ve kondansatörden geçen akım ( $i = C dv/dt$ ) dir. Bu formülden anlaşıldığı gibi kondansatörün uçlarındaki gerilimin değişiminin büyüklüğü kondansatörün akımının büyüklüğünü gerektirir. Yani gerilimin frekansının büyüklüğü şarj geriliminin değişim oranını büyültür. Böylece büyüyen değişim oranı daha fazla depolama meydana getirdiği için kondansatör akımı yükselir.

Bundan dolayı kondansatörün akımı direkt olarak uçlarındaki gerilimin frekansı (veya açısal hız) ve kondansatörün kapasitesine bağlıdır. Bu iki değerden her birinin değerindeki bir yükseliş kondansatör akımını yükseltir. Şekil 1.57 deki bağlantıda indüktif devrelerde olduğu gibi meydana gelen zıt kuvvetin değerini bulalım. Gerek indüktif devrelerde gerekse kapasitif devrede akımın yükselmesi buna karşı koyan kuvvetin azalması demektir. Kapasitif bir devrede akım  $i_c$ ,  $\omega$  ve  $C$  değerlerinin oranıdır. Bu  $i_c$  akımı  $\omega C$  veya  $1/\omega C$  değerine bağlıdır. Şekil 1.57 de karşı kuvvetin  $1/\omega C$  olduğu görülmektedir. Başka bir ifadeyle açısal hızın (veya frekansın) ve kapasitenin yükselmesi  $i_c$  akımına karşı kuvveti azaltır. Böylece  $i_c$  akımı bu değerlere bağlı olarak sınırlanır.



Şekil 1.57

Kondansatörün akımı, geri v. emk değeri ve kapasitenin zamana bağlı olarak değişimine eşit olduğuna göre bu akım şekil 1.58 deki devrede aşağıdaki gibi bulunur.



Şekil 1.58

$$i_c = C \frac{dv_c}{dt}$$

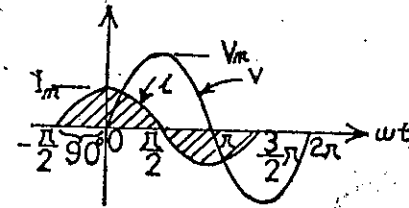
$$\frac{dv_c}{dt} = \frac{d}{dt} (V_m \sin \omega t) = \omega V_m \cos \omega t$$

$$i_c = C \frac{dv_c}{dt} = C (\omega V_m \cos \omega t) = \omega C V_m \cos \omega t$$

veya

$$i_c = I_m \sin (\omega t + 90^\circ) \quad \text{ve} \quad I_m = \omega C V_m \text{ dir.}$$

Dikkat edilirse  $i_c$  akımının tepe noktası direkt olarak  $\omega$  ve  $C$  değerleriyle ilgilidir.  $V_c$  ve  $i_c$  değerlerinin eğrileri çizilecek olursa şekil 1.59 daki eğriler elde edilir. Bunlardan görüldüğü gibi  $i_c$  akımı  $V_c$  gerilimine göre  $90^\circ$  ileridir veya  $V_c$  gerilimi  $i_c$  akımına göre  $90^\circ$  geridir.



Şekil 1.59

$$V_c = V_m \sin (\omega t \mp \theta)$$

$$i_c = \omega C V_m \sin (\omega t \mp \theta + 90^\circ)$$

$$\text{Tepki} = \frac{\text{Sebep}}{\text{Etki}} \quad \text{dir.}$$

Yukarıdaki değerleri bu formülde yerine koyarsak

$$\text{Tepki} = \frac{V_m}{I_m} = \frac{V_m}{\omega C V_m} = \frac{1}{\omega C} \quad \text{olur.}$$

$\frac{1}{\omega C}$  değeri kondansatörün reaktansı olarak anılır ve  $X_c$  harfleri ile gösterilir  $\omega$  om olarak ölçülür. Buna göre

$$X_c = \frac{1}{\omega C} \quad (\text{om}) \quad (1.27)$$

Kapasitif reaktans şarj akımına karşı koyan bir kuvvettir. Bu kuvvet kaynaktan kondansatörün elektrik alanı arasındaki enerji değişiminin bir sonucudur. İndüktansta olduğu gibi kondansatörde de enerji sarfedilmez.

Şekil 1.58 de görüldüğü gibi kapasitif devrelerde gerilim, indüktif devrelerde ise akım verilir. Her iki devre için bilinmeyen değer hesaplanırken bilinmeyen değerlerin integrali alınır. Buna göre indüktif devre için

$$v_L = L \frac{di_L}{dt}$$

$$i_L = \frac{1}{L} \int v_L dt \quad (1.28)$$

Kapasitif devre için

$$i_C = C \frac{dv_C}{dt}$$

$$v_C = \frac{1}{C} \int i_C dt \quad (1.29)$$

Her hangi bir elektrik devresinde giriş gerilimi ile akım arasındaki ilişkiye göre devre ya indüktif veya kapasitif olur. Eğer akım gerilime göre ileri ise devre kapasitif bir devredir. Eğer gerilim akıma göre ileri ise devre indüktif bir devredir. Çünkü şu ana kadar indüktif veya kapasitif devre için reaktansa ait formülü bulduk ve bu formülün değerini bulmak için türey veya integral kullanmaya gerek yoktur.

Basit olarak em konunu uygulamak suretiyle  $I_m = E_m / X_c$  (veya  $X_c$ ) değeriyle, akımla gerilim arasındaki faz ilişkisi bilinince ilgili problem kolayca çözülebilir.

### ÖRNEK: 1.13

Aşağıda direnç uçlarındaki gerilimin değeri verilmektedir. Direnç 10 om olduğuna göre akımın sinüsoidal ifadesini bulunuz. Akıma ve gerilime göre açı  $\omega t$  iken  $v$  ve  $i$  eğrisini çiziniz.

a —  $v = 100 \sin 377 t$

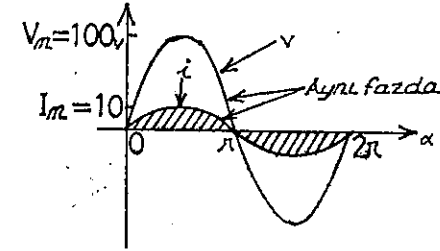
b —  $v = 25 \sin (377 t + 60^\circ)$

**Çözüm:**

a —  $i = \frac{V}{R} = \frac{100}{10} \sin 377 t$

$i = 10 \sin 377 t$

Akımla gerilim eğrisi şekil 1.60 da görülmektedir.

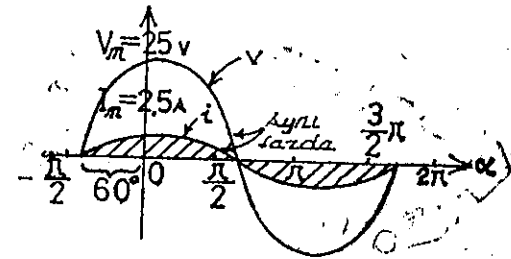


Şekil 1.60

b —  $i = \frac{V}{R} = \frac{25}{10} \sin (377 t + 60^\circ)$

$i = 2.5 \sin (377 t + 60^\circ)$

Akımla gerilim eğrisi şekil 1.61 de görülmektedir.



Şekil 1.61

**ÖRNEK: 1.14**

5 om luk direğnten geçen akım veriliyor. Direğnç uçlarındaki gerilimin sinüsoidal ifadesini yazınız.

$$i = 40 \sin(377t + 30^\circ)$$

**Çözüm:**

$$v = i \cdot R = 5 \cdot 40 \sin(377t + 30^\circ)$$

$$v = 200 \sin(377t + 30^\circ)$$

**ÖRNEK: 1.15**

0.1 H lik bir bobinden geçen akım veriliyor. Bobin uçlarındaki gerilimin sinüsoidal ifadesini bulunuz. v ve i değerlerine göre eğriyi çiziniz.

a —  $i = 10 \sin 377t$

b —  $i = 7 \sin(377t - 70^\circ)$

**Çözüm:**

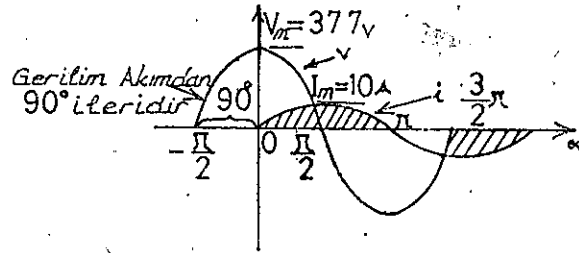
a —  $X_L = \omega L = 37.7 \text{ om}$

$$V_m = I_m X_L = 10 \cdot 37.7 = 377 \text{ volt}$$

İndüküf devrelerde gerilim akıma göre  $90^\circ$  ileridedir. Bunun için

$$v = 377 \sin(377t + 90^\circ)$$

Akım ve gerilim için çizilen eğriler şekil 1.62 dedir.



Şekil 1.62

$$b = X_L = 37.7 \text{ om}$$

$$V_m = I_m X_L = 7 \cdot 37.7$$

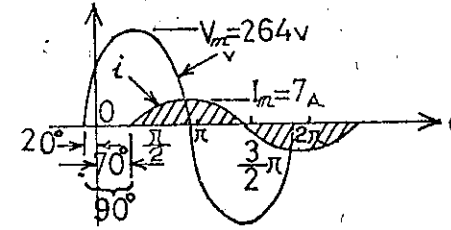
$$V_m = 264 \text{ volt}$$

Gerilimle akım arasında  $90^\circ$  lik açı olup gerilim akıma göre ileridedir. Böylece

$$v = 264 \sin(377t - 70^\circ + 90^\circ)$$

$$v = 264 \sin(377t + 20^\circ)$$

Akım ve gerilimle ilgili eğri şekil 1.63 dedir.



Şekil 1.63

**ÖRNEK: 1.16**

0.5 H lik bir bobinin uçlarındaki gerilim biliniyor. Akıma göre sinüsoidal ifadesi nedir.

$$v = 100 \sin 20t$$

**Çözüm:**

$$X_L = \omega L = 20 \cdot 0.5 = 10 \text{ om}$$

$$I_m = \frac{V_m}{X_L} = \frac{100}{10} = 10 \text{ Amper}$$

Akımla gerilim arasındaki açı  $90^\circ$  olup akım geridedir.

$$i = 10 \sin(20t - 90^\circ)$$

**ÖRNEK: 1.17**

1  $\mu$ f lik bir kondansatörün uçlarındaki gerilim veriliyor. Akım için sinüsoidal ifade nedir? Akım ve gerilim eğrisini çiziniz.

$$v = 30 \sin 400 t$$

**Çözüm:**

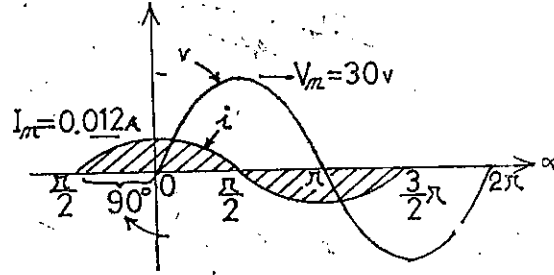
$$X_C = \frac{1}{\omega C} = \frac{1}{400 (1 \times 10^{-6})} = \frac{10^6}{400} = 2500 \text{ om}$$

$$I_m = \frac{V_m}{X_C} = \frac{30}{2500} = 0.012 \text{ Amper}$$

Akımla gerilim arasındaki açı  $90^\circ$  olup akım ileridir.

$$i = 0.012 \sin (400 t + 90^\circ)$$

Akım ve gerilimle ilgili eğri şekil 1.64 de görülmektedir.



Şekil 1.64

### ÖRNEK: 1.18

100  $\mu\text{f}$  lik bir kondansatörden geçen akım biliniyor. Kondansatörün uçlarındaki gerilimin sinüsoidal ifadesini bulunuz.

$$i = 400 \sin (500 t + 60^\circ)$$

**Çözüm:**

$$X_C = \frac{1}{\omega C} = \frac{1}{500 (100 \times 10^{-6})} = \frac{10^6}{5 \times 10^5} = \frac{10^6}{5} = 20 \text{ om}$$

$$V_m = I_m X_C$$

$$V_m = 400 \cdot 20 = 800 \text{ volt}$$

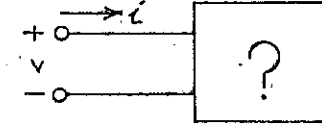
Akımla gerilim arasında  $90^\circ$  lik açı olup gerilim geridir.

$$v = 800 \sin (500 t + 60^\circ - 90^\circ)$$

$$v = 800 \sin (500 t - 30^\circ)$$

### ÖRNEK: 1.19

Aşağıdaki akım ve gerilim değerleri için devrenin indüktif, kapasitif veya omik olduğunu gösteriniz. Ayrıca, C, L veya R değerleri için verilerin yeterli olup olmadığını araştırınız. Şekil 1.65



Şekil 1.65

a —  $v = 100 \sin (\omega t + 40^\circ)$   
 $i = 20 \sin (\omega t + 40^\circ)$

b —  $v = 1000 \sin (377 t + 10^\circ)$   
 $i = 5 \sin (377 t - 80^\circ)$

c —  $v = 500 \sin (157 t + 30^\circ)$   
 $i = 1 \sin (157 t + 120^\circ)$

d —  $v = 50 \cos (\omega t + 20^\circ)$   
 $i = 5 \sin (\omega t + 110^\circ)$

**Çözüm:**

a — Akımla gerilim aynı açıya sahip, yani aynı fazdalar. Böylece devre omiktir.

$$R = \frac{V_m}{I_m} = \frac{100}{20} = 5 \text{ om}$$

b — Akımla gerilim arasında  $90^\circ$  lik açı olup gerilim ileridir. Böylece devre indüktiftir.

$$X_L = \frac{V_m}{I_m} = \frac{1000}{5} = 200 \text{ om}$$

$$X_L = \omega L = 200 \text{ om veya } L = \frac{200}{\omega} = \frac{200}{377}$$

$$L = 0.532 \text{ Henry}$$

c — Akımla gerilim arasında  $90^\circ$  lik açı olup akım ileridir, devre kapasitiftir.

$$X_C = \frac{V_m}{I_m} = \frac{500}{1} = 500 \text{ om}$$

$$X_C = \frac{1}{\omega C} = 500 \text{ veya } C = \frac{1}{\omega 500} = \frac{1}{(157) 500}$$

$$C = 12.7 \text{ } \mu\text{f}$$

$$d — v = 50 \cos (\omega t + 20^\circ) = 50 \sin (\omega t + 20^\circ + 90^\circ)$$

$$v = 50 \sin (\omega t + 110^\circ)$$

Akımla gerilim aynı fazdadır. Böylece devre omiktir.

$$R = \frac{V_m}{I_m} = \frac{50}{5} = 10 \text{ om}$$

Doğru akım devreleri için frekans sıfırdır. Çünkü akım ve gerilim aynı büyüklüğe sahiptir. Böylece doğru akım devresindeki bir bobinin reaktansı

$$X_L = 2 \pi f L = 2 \pi 0 L = 0 \text{ om}$$

Omik değeri sıfır olan bir bobin kısa devredir. Çok yüksek frekans değerleri için  $X_L \uparrow = 2 \pi f \uparrow L$  değeride çok yüksektir. İndüktörün bu özelliğinden dolayı bazı devreler için açık devre elemanı olarak kullanılır.

Kondansatörler doğru akım devrelerinde açık devre elemanı olarak kullanılabilir. Yani  $f = 0$  dır

$$X_C = \frac{1}{2 \pi f C} = \frac{1}{2 \pi 0 C} = \infty \text{ om}$$

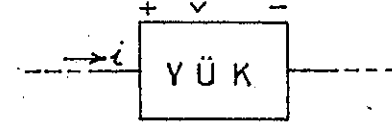
Çok yüksek frekans değerleri için kondansatörün  $X_C$  direnci azalır. Yani yüksek değerli frekanslarda kondansatör iletken duruma geçer veya kısa devre gibi rol oynar.

$$X_C \downarrow = \frac{1}{2 \pi f \uparrow C}$$

Formülden görüldüğü gibi frekans yükseldikçe kapasitif reaktans azalır ve kondansatör bazı devrelerde kısa devre elemanı olarak kullanılır.

### 1.11 ORTALAMA GÜÇ ve GÜÇ FAKTÖRÜ

Sinüsoidal devrelerde yüke giren gücün ani değeri aşağıdaki gibi bulunur. Böyle bir yük şekil 1.66 da görülmektedir.



Şekil 1.66

$$P = v \cdot i$$

Bu güç genel olarak ifade edilirse

$$v = V_m \sin (\omega t + \beta) \text{ ve}$$

$$i = I_m \sin (\omega t + \gamma) \text{ dir.}$$

$$P = v \cdot i = V_m \sin (\omega t + \beta) I_m \sin (\omega t + \gamma)$$

$$= V_m I_m \sin (\omega t + \beta) \sin (\omega t + \gamma)$$

Bu denklemin trigonometrik eşliğini yazarsak

$$\sin A \sin B = \frac{\cos (A - B) - \cos (A + B)}{2}$$

$$\sin (\omega t + \beta) \sin (\omega t + \gamma) = \frac{\cos [(\omega t + \beta) - (\omega t + \gamma)]}{2}$$

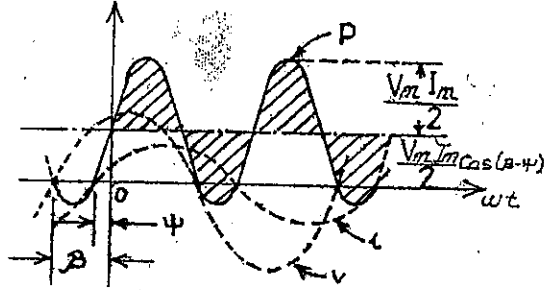
$$- \frac{\cos [(\omega t + \beta) + (\omega t + \gamma)]}{2}$$

$$= \frac{\cos (\beta - \gamma) - \cos (2 \omega t + \beta + \gamma)}{2}$$

$$P = \left[ \frac{V_m I_m}{2} \cos (\beta - \gamma) \right] - \left[ \frac{V_m I_m}{2} \cos (2 \omega t + \beta + \gamma) \right]$$

Akım, gerilim ve gücü aynı dikey ve yatay eksen üzerinde gösterecek olursak şekil 1.67 deki eğriler elde edilir. Yukarıda güç formülüne dikkat edilirse formülün ikinci faktörü cosinus eğrisinin büyüklüğü  $V_m I_m / 2$  dir. Ayrıca frekans gerilim veya akımın iki katıdır. Bu terimlerin ortalama değeri sıfırdır, böylece akımın her hangi bir yönü için enerji transferi olmaz. Formülün birinci bölümü ise sabit bir büyüklüğe sahip olup zamana bağlı değildir. Dolayısıyla belli bir enerji transferi eder. Transfer edilen bu enerji ortalama güç olarak anılır. Bu durum şekil 1.67 de görülmektedir. Ortalama veya gerçek güç o devreye bağlı yük tarafından sarfedilen güçtür. Formüldeki  $(\beta - \gamma)$  açısı akımla gerilim arasındaki faz açısıdır. Çünkü  $\cos(-\alpha) = \cos \alpha$  dir.

Ortalama gücün büyüklüğü gerilimin akıma göre ileri veya akımın gerilime göre geri olma haline bağlı değildir. Akımla gerilim arasındaki faz farkına  $(\beta - \gamma) = \theta$  denir. Aradaki negatif işaretin ortalama gücün büyüklüğüne her hangi bir fonksiyonu yoktur. Böylece güç



Şekil 1.67

$$P = \frac{V_m I_m}{2} \cos \theta \quad (\text{vat}) \quad (1.30)$$

Formülde

$P =$  ortalama güç vat olarak. Bu formül aşağıdaki gibi de yazılabilir.

$$P = \frac{V_m}{\sqrt{2}} \frac{I_m}{\sqrt{2}} \cos \theta$$

$$V_{et} = \frac{V_m}{\sqrt{2}} \text{ ve } I_{et} = \frac{I_m}{\sqrt{2}}$$

$$P = V_{et} I_{et} \cos \theta \quad (1.31)$$

Elde edilen bu formülü R, L, C devrelerine tatbik edelim.

## DİRENÇ

Tamamen omik devrelerde  $i$  akımı ile  $v$  gerilimi aynı fazdadır. Yani  $|\beta - \gamma| = 0$  ve  $\cos \theta = \cos 0^\circ = 1$  dir.

$$P = \frac{V_m I_m}{2} = V_{et} I_{et} \quad (\text{vat}) \quad (1.32)$$

$$I_{et} = \frac{V_{et}}{R} \text{ olduğundan}$$

$$P = \frac{V_{et}^2}{R} = I_{et}^2 R \quad (\text{vat}) \quad (1.33)$$

## İNDÜKTÖR (Bobin)

Tamamen indüktif olan devrelerde, gerilim akıma göre  $90^\circ$  ileride olduğu için  $|\beta - \gamma| = \theta = 90^\circ$  dir.

$$P = \frac{V_m I_m}{2} \cos 90^\circ = \frac{V_m I_m}{2} (0) = 0$$

İndüktif devrelerde ortalama güç veya bu eleman tarafından sarfedilen güç sıfırdır.

## KONDANSATÖR

Tamamen kapasitif devrelerde akım gerilime göre  $90^\circ$  ileride olduğu için  $|\beta - \gamma| = \theta = |-90^\circ| = 90^\circ$  dir.

$$P = \frac{V_m I_m}{2} \cos 90^\circ = \frac{V_m I_m}{2} (0) = 0$$

Kapasitif devrelerde ortalama güç veya bu eleman tarafından sarfedilen güç sıfırdır.

## ÖRNEK: 1.20

Aşağıdaki akım ve gerilim değerine göre devrede sarfedilen ortalama gücü bulunuz.

$$i = 5 \sin(\omega t + 40^\circ)$$

$$v = 10 \sin(\omega t + 40^\circ)$$

**Çözüm:**

Akım ile gerilim aynı fazda olduğu için bu devre tamamen omik bir levredir.

$$P = \frac{V_m I_m}{2} = \frac{10.5}{2} = 25 \text{ vat}$$

veya

$$P = \frac{V_m}{R} = \frac{10}{5} = 2 \text{ om}$$

veya

$$P = \frac{V_{et}^2}{R} = \frac{[(0.707)(10)]^2}{2} = 25 \text{ vat}$$

$$P = I_{et}^2 R = [(0.707)(5)]^2 (2) = 25 \text{ vat}$$

**ÖRNEK: 1.21**

Aşağıdaki giriş akım ve gerilim değerlerine göre sarfedilen ortalama gücü bulunuz.

$$a - v = 100 \sin(\omega t + 40^\circ)$$

$$i = 20 \sin(\omega t + 70^\circ)$$

$$b - v = 150 \sin(\omega t - 70^\circ)$$

$$i = 3 \sin(\omega t - 50^\circ)$$

**Çözüm:**

$$a - V_m = 100 \quad \beta = 40^\circ$$

$$I_m = 20 \quad \gamma = 70^\circ$$

$$\theta = |\beta - \gamma| = |40^\circ - 70^\circ| = |-30^\circ| = 30^\circ$$

$$P = \frac{V_m I_m}{2} \cos \theta = \frac{100 \cdot 20}{2} \cos(30^\circ) = 1000 (0.866)$$

$$P = 866 \text{ vat}$$

$$b - V_m = 150 \quad \beta = -70^\circ$$

$$I_m = 3 \quad \gamma = -50^\circ$$

$$\theta = |\beta - \gamma| = |-70^\circ - (-50^\circ)| = |-70^\circ + 50^\circ| = |-20^\circ| = 20^\circ$$

$$P = \frac{V_m I_m}{2} \cos \theta = \frac{150 \cdot 3}{2} \cos(20^\circ) = 225 (0.939)$$

$$P = 211 \text{ vat}$$

**GÜÇ FAKTÖRÜ**

Şekil 1.68'deki paralel devrenin frekansı ve elemanları aşağıdaki gibi seçilmiş olsun

$$i_1 = 50 \sin \omega t$$

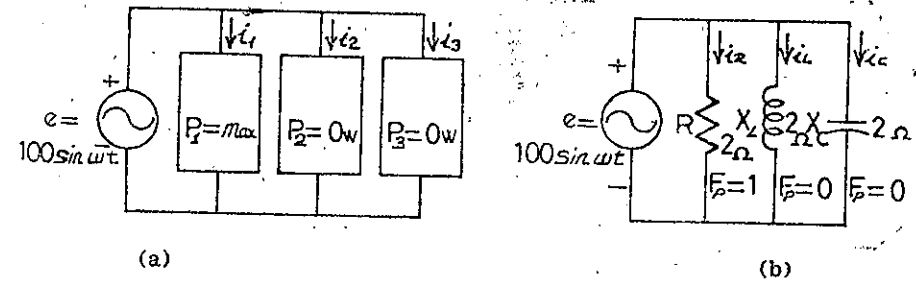
$$i_2 = 50 \sin(\omega t + 90^\circ)$$

$$i_3 = 50 \sin(\omega t - 90^\circ)$$

Şekildeki devrede her bir paralel kolda akım veya gerilimin tepe değeri veya etkin değerleri bir birine eşittir. Şekilde de gösterildiği gibi bu üç dirençten ikisinin gücü sıfırdır ve birinin gücü ise maksimumdur. Güç formülüne fazlarla ilgili veya akım ile gerilim arasındaki  $\cos \theta$  değişiktir.  $\cos \theta$  faktörü bu kol için güç faktörü olarak anılır ve sembol olarak  $F_p$  ile gösterilir.

$$\text{Güç faktörü} = F_p = \cos \theta$$

(1.34)



Şekil 1.68

Yükün reaktif değeri yükseldikçe güç faktörü azalır ve küçük değerli bir güç sarfeder. Yükün omik değeri yükseldikçe güç faktörü de yükselir ve sarfedilen gücün miktarı artar. Şekil 1.68'deki kapalı devrenin açık şekli yanda görülmektedir. Elektrik devrelerinde düşük güç faktöründen genellikle kaçınılır. Çünkü gerekli güç için çekilen akımın miktarı artar. Bu yüksek değerli akım o devredeki güç kayıplarını artırır. Sonuç olarak sistemin verimi azalır. Devrenin gerilimi ve akımıyla güç faktörü arasındaki ilişki aşağıdaki gibidir.

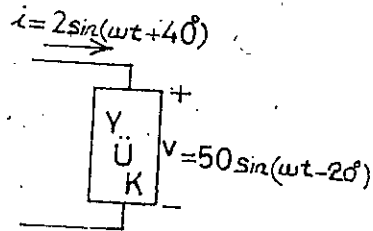
$$F_p = \cos \theta = \frac{P}{V_{et} I_{et}} \quad (1.35)$$

Güç faktörü yazılırken genellikle akımla gerilim ilişkileri faz farkı yönünden vurgulanır. Yeni ileri veya geri sözcüğü kullanılır. Bu ileri veya geri olma hali akımın yükü göre ileri ise yük ileri güç faktörüne sahiptir. Başka bir ifadeyle kapasitif devreler ileri güç faktörüne sahiptir. Eğer devre indüktif ise güç faktörü geridir.

### ÖRNEK: 1.22

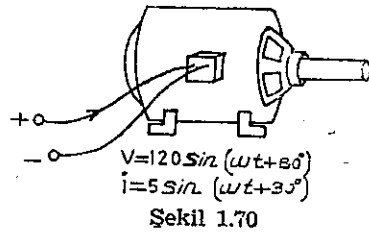
Aşağıdaki yüklerin güç faktörlerini bulunuz ve yüklerin ileri veya geri güç faktörüne sahip olduğunu vurgulayınız.

a — Şekil 1.69



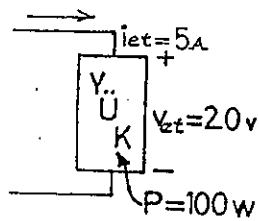
Şekil 1.69

b — Şekil 1.70



Şekil 1.70

c — Şekil 1.71



Şekil 1.71

### Çözüm:

a —  $F_p = \cos \theta = \cos 60^\circ = 0.5$  ileri

b —  $F_p = \cos \theta = \cos 50^\circ = 0.642$  geri

c —  $F_p = \cos \theta = \frac{P}{V_{et} I_{et}} = \frac{100}{20 \cdot 5} = \frac{100}{100} = 1$

Yük omik olduğu için  $F_p$  ne ileri nede geridir.

### PROBLEMLER

#### Bölüm 1.4

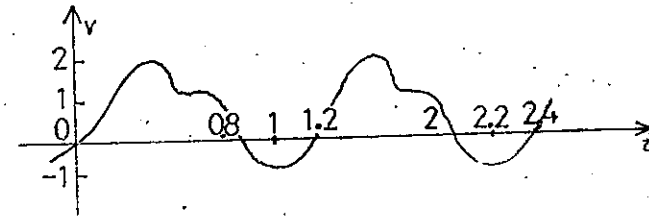
1 — Şekil 1.72 deki periyodik eğrilerin

a — Peryodunu (T)

b — Sayıkl sayısını

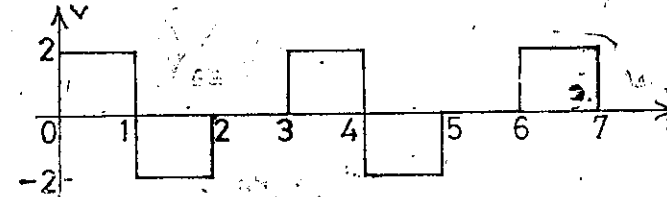
c — Frekansını

d — Maksimum büyüklük nedir bulunuz?



Şekil 1.72

2 — Problem 1 şekil 1.73 deki devre için tekrar ediniz.



Şekil 1.73

3 — Aşağıdaki frekansların periyotlarını bulunuz.

a — 25 Hz

b — 35 mHz

c — 55 kHz

d — 1 Hz



4 — Aşağıda periyotları verilen eğrilerin frekansını bulunuz.

- a — 1/60 sn  
b — 0.01 sn  
c — 34 msn  
d — 25 μsn

5 — 42 sayıklı 6 sn de tamamlayan eğrinin frekansı nedir?

### Bölüm 1.5

6 — Aşağıdaki dereceleri radyana çeviriniz.

- a — 45°                      c — 150°                      e — 173°  
b — 60°                      d — 270°                      f — 221°

7 — Aşağıdaki radyanları dereceye çeviriniz.

- a —  $\pi/4$                       c —  $5\pi/6$                       e —  $4\pi/3$   
b —  $\pi/6$                       d —  $7\pi/6$                       f — 0.55π

8 — Aşağıda frekansları belli eğrilerin açısal hızını bulunuz.

- a — 50 Hz                      c — 0.1 Hz  
b — 600 Hz                      d — 0,004 mHz

9 — Aşağıda periyotları belli eğrilerin açısal hızını bulunuz.

- a — 2 sn                      c — 0.5 sn  
b — 0.3 sn                      d — 1/25 sn

### Bölüm 1.6

10 — Aşağıdaki eğrilerin frekans ve büyüklüğünü bulunuz.

- a — 20 sin 377t                      d — 0.01 sin 942t  
b — 5 sin 754t                      e — -7.6 sin 43.6t  
c — 10<sup>5</sup> sin 10000t                      f — 1/42 sin 6.28t

11 — 5 sin 754t lik değeri yatay ekseninde gösteriniz.

- a — Açığı derece olarak  
b — Açığı radyan olarak  
c — Zaman (s)

12 — 10<sup>6</sup> sin 10000t lik değeri yatay ekseninde gösteriniz.

- a — Açığı derece olarak  
b — Açığı radyan olarak  
c — Zaman (s)

### Bölüm 1.7

13 — Sin (377t+60°) eğrisini aşağıdaki değerler için çiziniz.

- a — Açığı derece olarak  
b — Açığı radyan olarak  
c — Zaman (s)

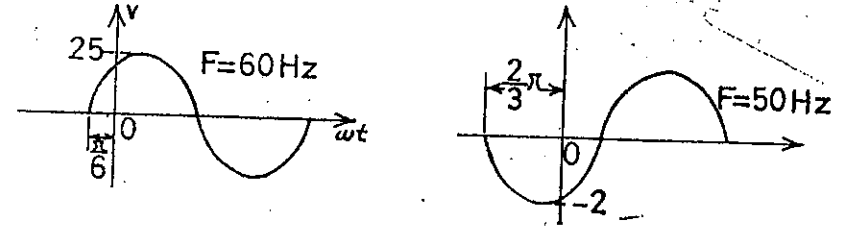
14 — Aşağıdaki değerlerin eğrilerini çiziniz.

- a — 50 sin (ωt+0)                      d — 4 cos ωt  
b — -20 sin (ωt+2°)                      e — 2 cos (ωt+10°)  
c — 5 sin (ωt+60°)                      f — -5 cos (ωt+20°)

15 — Aşağıdaki değerlerden akımla gerilim arasındaki ilişkileri bulunuz.

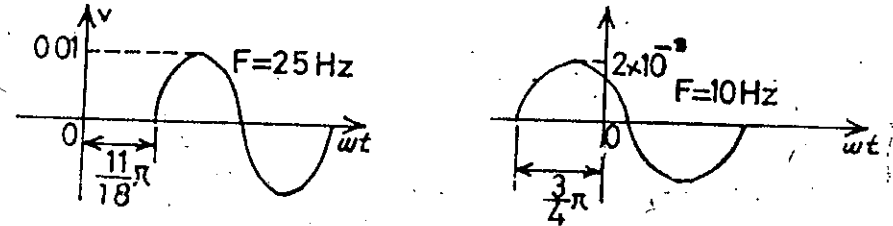
- a — v = 4 sin (ωt+50°)  
i = 6 sin (ωt+40°)  
b — v = 25 sin (ωt-80°)  
i = 10 sin (ωt-4°)  
c — v = 0.2 sin (ωt-65°)  
i = 0.1 sin (ωt+25°)  
d — v = 200 sin (ω-210°)  
i = 25 sin (ωt-60°)

16 — Şekil 1.74 deki eğrilerin analitik ifadeleri ile faz açılarını derece olarak bulunuz.



Şekil 1.74

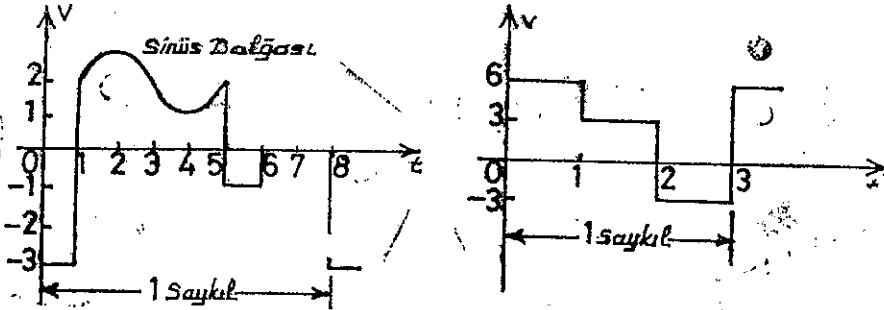
17 — Problem 16 yı şekil 1.75 için tekrar ediniz.



Şekil 1.75

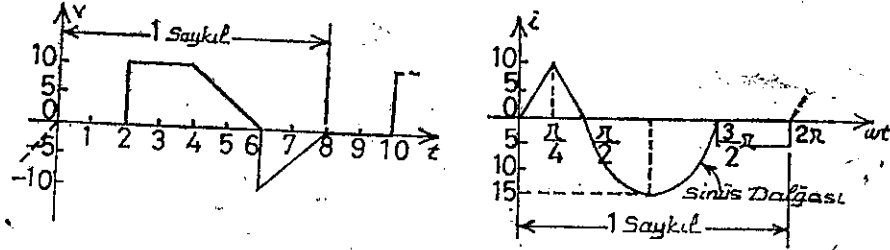
## Bölüm 1.18

18 — Şekil 1.76'deki periyodik eğrilerin ortalama değerini bulunuz.



Şekil 1.76

19 — Problem 1.18; şekil 1.77 için tekrar yapınız.



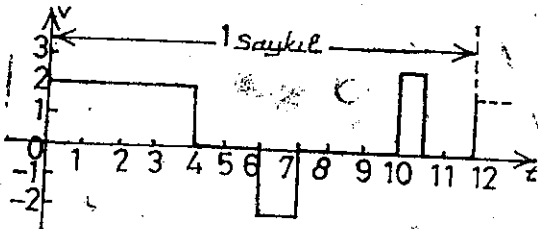
Şekil 1.77

## Bölüm 1.9

20 — Aşağıdaki sinüsoidal eğrilerin etkin değerini bulunuz.

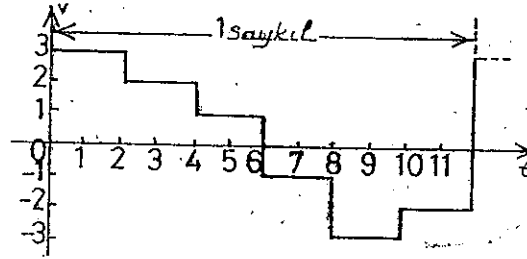
- a —  $v = 20 \sin 75t$   
 b —  $v = 7.07 \sin 377t$   
 c —  $i = 0.006 \sin(400t + 20^\circ)$   
 d —  $i = 1.76 \cos(377t - 10^\circ)$

21 — Şekil 1.78'deki periyodik eğrilerin etkin değerini bulunuz.



Şekil 1.78

22 — Problem 21'i şekil 1.79 için tekrar ediniz.



Şekil 1.79

23 — Aşağıdaki sinüsoidal ifadelerin türevini bulunuz.

- a —  $10 \sin 377t$                       c —  $0.05 \cos(157t - 10^\circ)$   
 b —  $0.6 \cos 754t$                     d —  $25 \cos(20 - 150^\circ)$

## Bölüm 1.11

24 — 5 ohm luk direncin uçlarındaki gerilim aşağıdadır.

Akımın sinüsoidal ifadesini bulunuz ve akımla gerilim eğrilerini çiziniz.

- a —  $150 \sin 377t$                       c —  $40 \cos(\omega t + 10^\circ)$   
 b —  $30 \sin(377t + 20^\circ)$               d —  $-80 \sin(\omega t + 40^\circ)$

25 — 2 H'lik bir bobinin om olarak reaktansını bulunuz.

- a — da. göre  
 b — Aşağıdaki frekans değerleri için  
 25 Hz, 60 Hz, 2000 Hz, 100000 Hz

26 — Aşağıdaki reaktans ve frekans değerine göre bobinin indüktansını bulunuz.

- a — 20 om —  $f = 2$  Hz  
 b — 1000 om —  $f = 60$  Hz  
 c — 5280 om —  $f = 1000$  Hz

27 — 0.1 H'lik bir bobin için akım verilmektedir. Gerilim için sinüsoidal ifadeyi bulunuz.

- a —  $30 \sin 30t$   
 b —  $0.006 \sin 377t$   
 c —  $5 \times 10^{-6} \sin(400t + 20^\circ)$   
 d —  $-4 \cos(20t - 70^\circ)$

28 — 5  $\mu\text{f}$  lık bir kondansatörün om olarak reaktansını bulunuz.

- a — da. için  
b — Aşağıdaki frekans değerleri için  
60 Hz, 120 Hz, 1800 Hz, 24000 Hz

29 — Aşağıdaki reaktansı verilen kondansatörlerin kapasitesini  $\mu\text{f}$  olarak bulunuz.

- a — 250 om —  $f=60$  Hz  
b — 55 om —  $f=312$  Hz  
c — 10 om —  $f=25$  Hz

30 — 1  $\mu\text{f}$  lık kondansatörün uçlarındaki gerilim biliniyor. Akımın sinüsoidal ifadesini bulunuz.

- a — 30 sin 200t  
b — 90 sin 377t  
c — -120 (374t+30°)  
d — 70 cos (800t-20°)

#### Bölüm 1.12

31 — Bir elemandan geçen akım ve uçlarındaki gerilim aşağıdaki gibidir.

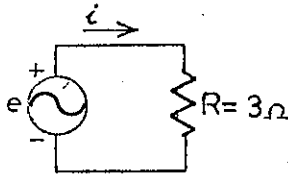
$$i=8 \sin (\omega t+40^{\circ}) \quad \text{ve} \quad v=48 \sin (\omega t+40^{\circ})$$

Gücü  $I^2 R$ ,  $(V_m I_m / 2) \cos \theta$  ve  $V I \cos \theta$  olarak bulunuz ve sonuçları karşılaştırınız.

32 — Ortalama gücü 100 vat ve gerilimi 150 v, akımı ise 2 amperdir. Güç faktörünü bulunuz. Eğer güç 0 vat ve 300 vat ise

33 — Şekil 1.80 de  $e=30 \sin (377t+20^{\circ})$  dir.

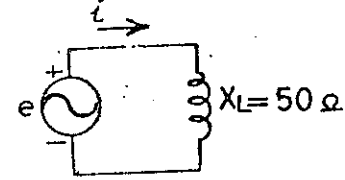
- a — Akımın sinüsoidal ifadesini  
b — Devrenin güç kaybını  
c — 6 sayıklık akım çekmesi için geçen süreyi bulunuz.



Şekil 1.80

34 — Şekil 1.81 de  $e=100 \sin (157t+30^{\circ})$

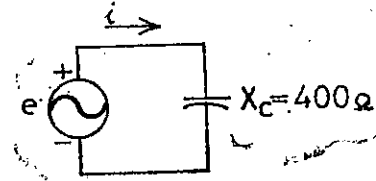
- a — Akımın sinüsoidal ifadesini  
b — İndüktansın değerini (L)  
c — Bobinin ortalama güç kaybını bulunuz.



Şekil 1.81

35 — Şekil 1.82 de  $i=3 \sin (377t-28^{\circ})$  dir.

- a — Gerilimin sinüsoidal ifadesini  
b — Kapasitenin (C) nin değerini  $\mu\text{f}$  olarak  
c — Kondansatörün ortalama güç kaybını bulunuz.



Şekil 1.82

# VEKTÖRLER

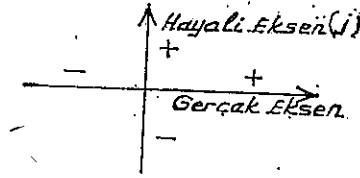
## 2.1 GİRİŞ

Elektrik devrelerinin analizinde akımların veya gerilimlerin cebirsel toplamalarını bulmak bazan gerekli olabilir. Alternatif akım devrelerinde bu elektriki büyüklüklerin vektörel olarak toplanmaları bu akımın sinüsoidal oluşu nedeniyle biraz zordur. Bu bölümde iki veya daha fazla akımın veya gerilimin cebirsel olarak nasıl toplanacağını inceleyeceğiz. Vektörlerin cebirsel olarak toplanmasında çeşitli yöntemler vardır. Bunlar noktaları taşımak suretiyle yapılan toplama, ve kompleks sayı sistemiyle yapılan toplama. Kompleks sayı sistemi kullanmakla cebirsel olarak yapılan işlemler daha çabuk, direkt ve daha doğrudur. Bundan sonraki bölümde sinüsoidal devrelerde cebirsel toplamamın veya kompleks sayılar tekniğinin nasıl yapılacağını göreceğiz. Bu teknik doğru akım devrelerinde kullanılan cebirsel toplamamın çok benzeridir.

Kompleks sayılar sistemi bir noktayı iki boyutlu ve iki referans eksenli bir sistem olarak düşünülebilir. Bu nokta orjinden geçen bir yarı çap vektörüyle çizilebilir. Bu referans eksenlerden birine yatay eksen veya gerçek eksen (real) denir. Diğer eksen ise dikey veya hayali (imaginary) eksen olarak anılır. Gerçek ve hayali eksenler şekil 2.1 de görülmektedir. Pek çok kompleks sayı sisteminde gerçek eksen olarak rezistans eksenini ve hayali eksen ise reaktans eksenini olarak anırlar. Bütün sayılar 0 dan  $\infty$  kadar olanlar gerçek ekseninde gösterilir. Gerçek ekseninde gösterilmeyen her hangi bir sayı hayali sayı olarak varsayılır ve dikey (hayali veya imaginary) ekseninde gösterilir. Kompleks alanda yatay veya gerçek (real) ekseninde bütün pozitif sayılar dikey eksenin yatay kesim noktasının sağ tarafında gösterilir. Negatif sayılar ise bu kesim noktasının sol tarafında gösterilir. Her iki eksenin bir birini kesim noktasına orjin noktası denir ve sıfır değerini ifade eder. Yatay eksene göre pozitif hayali sayılar üst tarafta negatif sayılar ise yatay eksenin

alt tarafında gösterilir. Her hangi bir sayının imaginary oluşu bu sayının önüne J harfi veya i harfi yazmak suretiyle vurgulanır.

Kompleks sayılar iki şekilde gösterilir. Bunlar dik bileşenler (Rectangular) ile kutupsal (Polar) bileşenler şeklindedir. Bunların her biri pozitif veya negatif alan da bir nokta olarak veya orjinden geçen bir vektör olarak gösterilebilir.



Şekil 2.1

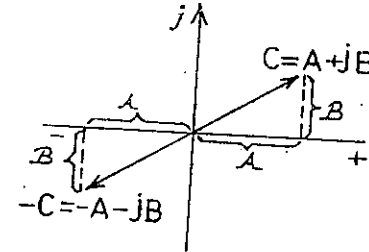
## 2.2 DİK BİLEŞENLER SİSTEMİ

Dik bileşenler sistemi aşağıdaki gibi ifade edilebilir.

$$C = A + jB \quad (2.1)$$

(2.1)

Negatif ve pozitif işaretlerin nasıl kullanıldığı şekil 2.2 de görülmektedir.



Şekil 2.2

### ÖRNEK: 2.1

Aşağıdaki kompleks sayıları kompleks alanda gösteriniz.

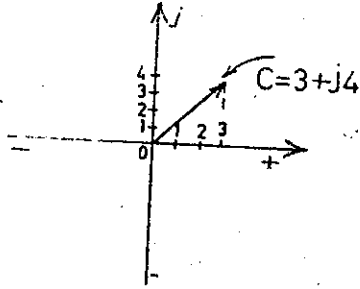
a -  $C = 3 + j4$

b -  $C = 0 - j6$

c -  $C = -10 - j20$

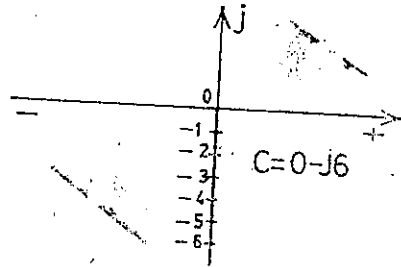
**Çözüm:**

a — Şekil 2.3



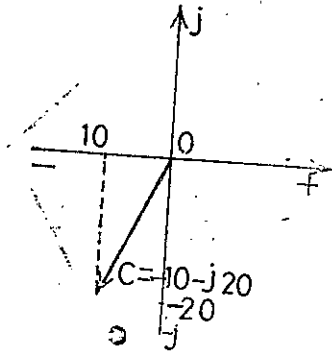
Şekil 2.3

b — Şekil 2.4



Şekil 2.4

c — Şekil 2.5



Şekil 2.5

### 2.3 KUTUPSAL FORM

Kutupsal form aşağıdaki gibi ifade edilir.

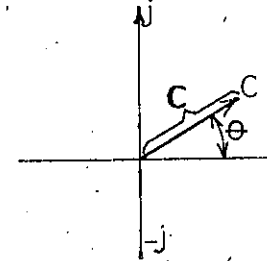
$$C = C \angle \theta \quad (2.2)$$

Formülde

$C$  = Büyüklük

$\theta$  = Pozitif gerçel eksenden itibaren saat ibresinin dönüşünün tersi-ne doğru ölçülen açıdır.

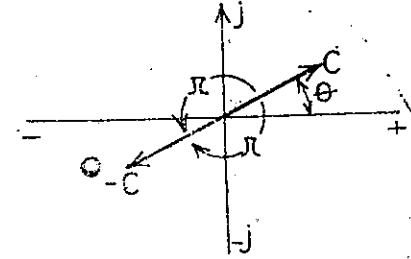
Bu açının nasıl ölçüleceği şekil 2.6 da görülmektedir.



Şekil 2.6

Negatif bir açının nasıl ölçüleceği şekil 2.7 de görülmektedir.

$$-C = -C \angle \theta = C \angle \theta \mp \pi \quad (2.3)$$



Şekil 2.7

**ÖRNEK: 2.2**

Aşağıdaki kompleks sayıları kompleks alanda gösteriniz.

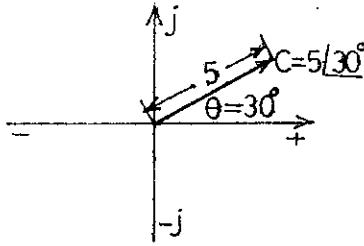
a —  $C = 5 / 30^\circ$

b —  $C = 7 / 120^\circ$

c —  $C = -4.2 / 60^\circ$

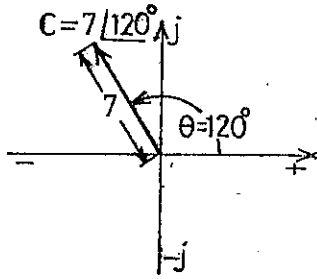
**Çözüm:**

a — Şekil 2.8



Şekil 2.8

b — Şekil 2.9

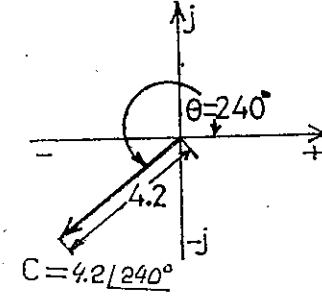


Şekil 2.9

c — Şekil 2.10

$$C = -4.2 / 60^\circ = 4.2 / 60^\circ \mp 180^\circ$$

$$= 4.2 / 240^\circ$$



Şekil 2.10

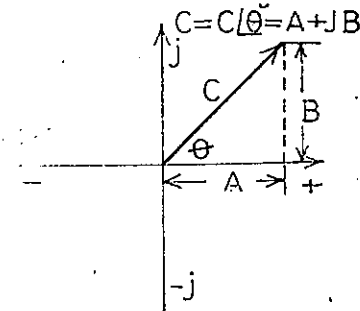
### 2.4 KOMPLEX SAYILARIN BİR BİRİNE DÖNÜŞTÜRÜLMESİ

Dik bileşenler formu ve kutupsal formlar aşağıdaki şekilde bir birine çevrilebilir.

$$C = \sqrt{A^2 + B^2} \quad (2.4 a)$$

$$\theta = \tan^{-1} \frac{B}{A} \quad (2.4 b)$$

Bu iki formülün ifadesi şekil 2.11 de görülmektedir.



Şekil 2.11

Polar formdan → Dik bileşenler formuna geçiş.

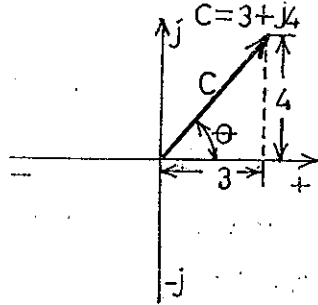
$$A = C \cos \theta \quad (2.5 a)$$

$$B = C \sin \theta \quad (2.5 b)$$

**ÖRNEK: 2.5**

Aşağıdaki kompleks sayıları dik bileşenler formundan kutupsal forma çeviriniz.

$$C = 3 + j4 \quad \text{şekil 2.12}$$



Şekil 2.12

**Çözüm:**

$$C = \sqrt{3^2 + 4^2} = \sqrt{25} = 5$$

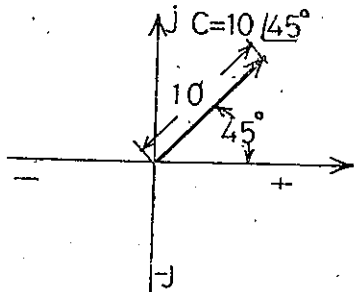
$$\theta = \tan^{-1} \frac{4}{3} = 53.13^\circ$$

$$C = 5 / 53.13^\circ$$

**ÖRNEK: 2.4**

Aşağıdaki kompleks sayıları kutupsal formdan dik bileşenler formuna çeviriniz.

$$C = 10 / 45^\circ \quad \text{şekil 2.13}$$



Şekil 2.13

**Çözüm:**

$$A = 10 \cos 45^\circ = 10 (0.707) = 7.07$$

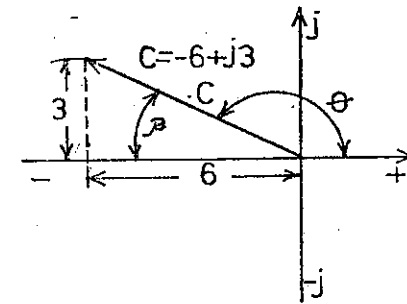
$$B = 10 \sin 45^\circ = 10 (0.707) = 7.07$$

$$C = 7.07 + j7.07$$

**ÖRNEK: 2.5**

Aşağıdaki kompleks sayıları dik bileşenler formundan kutupsal forma çeviriniz.

$$C = -6 + j3 \quad \text{şekil 2.14}$$



Şekil 2.14

**Çözüm:**

$$C = \sqrt{3^2 + 6^2} = \sqrt{45} = 6.7$$

$$\beta = \tan^{-1} \frac{3}{6} = 26.5^\circ$$

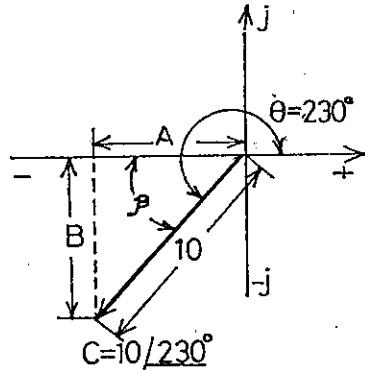
$$\theta = 180 - 26.5^\circ = 153.5^\circ$$

$$C = 6.7 / 153.5^\circ$$

**ÖRNEK: 2.6**

Aşağıdaki kompleks sayıları kutupsal formdan dik bileşenler formuna çeviriniz.

$$C = 10 / 230^\circ \quad \text{şekil 2.15}$$



Şekil 2.15

Çözüm:

$$\begin{aligned} A &= C \cos \beta = 10 \cos (230^\circ - 180^\circ) \\ &= 10 \cos 50^\circ = 10 (0.642) \\ &= 6.42 \end{aligned}$$

$$\begin{aligned} B &= C \sin \beta = 10 \sin 50^\circ \\ &= 10 (0.77) = 7.7 \end{aligned}$$

$$C = -6.42 - j7.7$$

Dik bileşenler formundan kutupsal forma çevirirken eğer hayali (ima-jary) bölümün gerçek (real) bölüme oranının büyüklüğü veya gerçek lümün hayali büyüklüğe oranı 10 dan büyük ise kutupsal formda C nin büyüklüğü genellikle bu iki değerden büyük olanına eşit alınır.  $\theta$  açısı bundan önceki örneklerde olduğu gibi hesaplanır.

ÖRNEK: 2.7

$1.2 + j14$  kompleks sayısını kutupsal forma çeviriniz. Şekil 2.16

Çözüm:

Büyüklüklerin oranı

$$\frac{14}{1.2} = 11.7 > 10$$

$$C = 14 \text{ (ikisinden en büyüğü alınır)}$$

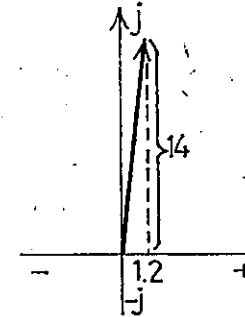
$$\theta = \tan^{-1} \frac{14}{1.2} = \tan^{-1} \quad (11.7)$$

$$\theta = 85.1^\circ \text{ böylece}$$

$$1.2 + j14 = 14 \angle 85.1^\circ \text{ olur}$$

veya

$$C = \sqrt{1.2^2 + 14^2} = \sqrt{1.44 + 196} \cong \sqrt{196} = 14$$



Şekil 2.16

Kutupsal formu dik bileşenler formuna çevirirken eğer orjinden itibaren iki kutup arasındaki açı kompleks sayı ve gerçek veya hayali eksen  $5.7^\circ$  den küçük ise dik bileşenler formun bileşenlerden büyük olanın büyüklüğü genellikle C nin büyüklüğüne eşit alınır. Diğer bileşen daha önceki örneklerde olduğu gibi bulunur.

ÖRNEK: 2.8

$2 \angle 88^\circ$  lik kutupsal formu dik bileşenler formuna çeviriniz. Şekil 2.7,

Çözüm:

$$\beta < 5.7 \text{ olduğundan}$$

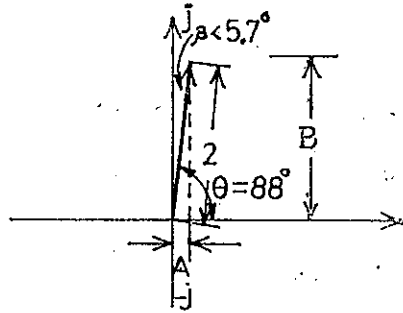
$$B \cong C = 2$$

$$\begin{aligned} A &= C \cos 88^\circ = 2 \cdot (0.035) \\ &= 0.070 \end{aligned}$$

$$2 \angle 88^\circ = 0.070 + j2$$

$$B = C \sin 88^\circ = 2 (0.9994) \cong 2$$





Şekil 2.17

## 2.5 KOMPLEX SAYILARDA MATEMATİKİ OPERATÖR

Komplex sayıların dört işleminde J veya i harfiyle gösterilen yardımcı elemanı (operatör) kullanılır. Bu operatörün complex sayılarda 1 kullanıldığını inceleyelim.

$$J = \sqrt{-1} \quad (2.6)$$

$$J^2 = -1 \quad (2.7)$$

$$J^3 = J^2 \cdot J = -1 \cdot J = -J$$

$$J^4 = J^2 \cdot J^2 = (-1) \cdot (-1) = 1$$

$$J^5 = J$$

Komplex sayıların karşılıklı birin (1) complex bir sayıya bölümüdür. Örneğin C nin karşılığını bulalım

$$C = A + JB \text{ ise}$$

$$\frac{1}{A + JB}$$

$$C / \theta \text{ ise } \frac{1}{C / \theta} \text{ olur}$$

dan başka

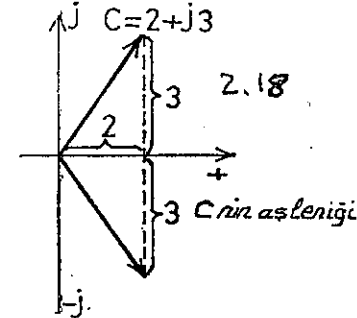
$$\frac{1}{J} = 1 \left( \frac{1}{J} \right) = \left( \frac{J}{J} \right) \left( \frac{1}{J} \right) = \frac{J}{J^2} = \frac{J}{-1}$$

$$\frac{1}{J} = -J \quad (2.8)$$

Dik bileşenler formunda complex sayıların bileşenlerinden birinin bulunması için hayali bölümün işareti değiştirilir veya ağıy iptal etmekle bulunur. Örneğin bileşenler,

$C = 2 + J3$  ise bu complex sayının eşleniği, bu sayının arasındaki işareti ters olanıdır. Başka bir ifadeyle bir complex sayının eşleniği demek o sayının hayali kısmı önündeki işaret değiştirilmek suretiyle elde edilen simetrik değerdir.

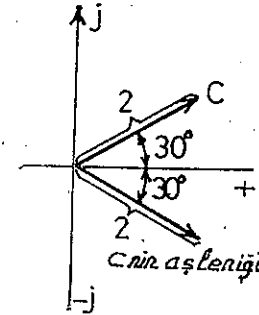
$$C = 2 + J3 \text{ eşleniği } 2 - J3 \text{ dür. Şekil 2.18}$$



Şekil 2.18

Bileşenler

$$C = 2 / 30^\circ \text{ ise bu sayının eşleniği } 2 / -30^\circ \text{ dur. Şekil 2.19}$$



Şekil 2.19

## KOMPLEX SAYILARIN DÖRT İŞLEMİ TOPLAMA:

İki veya daha fazla kompleks sayıların toplamı bu kompleks sayıların gerçek kısımlarının bir biriyle ve hayali kısımlarının bir biriyle toplanmasıyla bulunur.

Örneğin

$$C_1 = \mp A_1 \mp JB_1 \text{ ve } C_2 = \mp A_2 \mp JB_2 \text{ ise}$$

$$C_1 + C_2 = (\mp A_1 \mp A_2) + J(\mp B_1 \mp B_2) \quad (2.9)$$

### ÖRNEK: 2.9

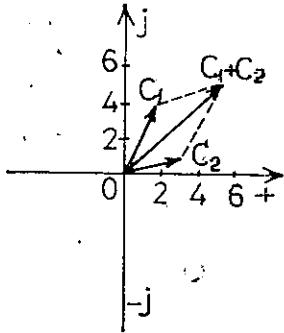
a —  $C_1 = 2 + J4$  ve  $C_2 = 3 + J1$

b —  $C_1 = 3 + J6$  ve  $C_2 = -6 + J3$

Çözüm:

a —  $C_1 + C_2 = (2 + 3) + J(4 + 1) = 5 + J5$

$$\begin{array}{r} 2 + J4 \\ 3 + J1 \\ \hline \downarrow \quad \downarrow \\ 5 + J5 \end{array}$$

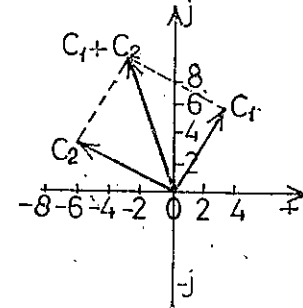


Şekil 2.20

b —  $C_1 + C_2 = (3 - 6) + J(6 + 3) = -3 + J9$  Şekil 2.21

veya

$$\begin{array}{r} 3 + J6 \\ -6 + J3 \\ \hline \downarrow \quad \downarrow \\ -3 + J9 \end{array}$$



Şekil 2.21

### ÇIKARMA:

Çıkarma işleminde de toplamada olduğu gibi gerçek ve hayali kısımlar ayrı ayrı düşünülür.

$$C_1 = \mp A_1 \mp B_1 \text{ ve } C_2 = \mp A_2 \mp B_2$$

$$C_1 - C_2 = [\mp A_1 - (\mp A_2)] + J[\mp B_1 - (\mp B_2)] \quad (2.10)$$

### ÖRNEK: 2.10

a —  $C_2 = 1 + J4$  ve  $C_1 = 4 + J6$

b —  $C_2 = -2 + J5$  ve  $C_1 = 3 + J3$

Çözüm:

a —  $C_1 - C_2 = (4 - 1) + J6(6 - 4) = 3 + J2$  Şekil 2.22

veya

$$\begin{array}{r} 4 + J6 \\ -1 + J4 \\ \hline \downarrow \quad \downarrow \\ 3 + J2 \end{array}$$

**ÖRNEK: 2.12**

a —  $C_1 = 2 + J3$  ve  $C_2 = 5 - 10$  değerlerini çarpınız.

b —  $C_1 = -2 - J3$  ve  $C_2 = 4 - J6$  olduğuna göre bu kompleks ayıların çarpımını bulunuz.

**Çözüm:**

$$a - C_1 \cdot C_2 = [2 \cdot 5 - 3 \cdot 10] + J[3 \cdot 5 + 2 \cdot 10] \\ = -20 + J35$$

$$b - \frac{-2 - J3}{4 - J6} \\ \frac{-8 - J12}{-8 - 18 + J(-12 + 12)}$$

$$C_1 \cdot C_2 = -26 = 26 / 180^\circ$$

Kutupsal formun çarpımında büyüklükler çarpılır ve açılar cebirsel olarak toplanır.

Örnek,

$$C_1 = C_1 / \theta_1 \text{ ve } C_2 = / \theta_2$$

$$C_1 \cdot C_2 = C_1 \cdot C_2 / \theta_1 + \theta_2 \quad (2.12)$$

**ÖRNEK: 2.13**

a —  $C_1 = 5 / 20^\circ$  ve  $C_2 = 10 / 30^\circ$  ise  $C_1 \cdot C_2 = ?$

b —  $C_1 = 2 / -40^\circ$  ve  $C_2 = 7 / 120^\circ$  ise  $C_1 \cdot C_2 = ?$

**Çözüm:**

$$a - C_1 \cdot C_2 = 5 \cdot 10 / 20^\circ + 30^\circ = 50 / 50^\circ$$

$$b - C_1 \cdot C_2 = 2 \cdot 7 / -40^\circ + 120^\circ = 14 / 80^\circ$$

Dik bileşenler formunda gerçek bir sayı ile kompleks bir sayının çarpımı, bu gerçek sayı ile kompleks sayının hem gerçek hem de hayali bölümü ayrı ayrı çarpılır. Örneğin,

$$10(2 + J3) = 20 + J30$$

ve

$$50 / 0^\circ (0 + J6) = J300 = 300 / 90^\circ$$

**BÖLME:**

Dik bileşenler formunda iki kompleks sayının bölümünde pay ve payda, paydanın bileşeni (eşleniği) ile çarpılır ve gerçek kısım ve hayali kısımın topları. Örneğin

$$C_1 = A_1 + JB_1 \text{ ve } C_2 = A_2 + JB_2$$

$$\frac{C_1}{C_2} = \frac{(A_1 + JB_1)(A_2 - JB_2)}{(A_2 + JB_2)(A_2 - JB_2)} = \frac{(A_1 A_2 + B_1 B_2) + J(A_2 B_1 - A_1 B_2)}{A_2^2 + B_2^2}$$

$$\frac{C_1}{C_2} = \frac{A_1 A_2 + B_1 B_2}{A_2^2 + B_2^2} + J \frac{A_2 B_1 - A_1 B_2}{A_2^2 + B_2^2} \quad (2.13)$$

Bölme yapmak için birinci olarak pay paydanın eşleniği ile çarpılır ve gerçek kısım ile hayali kısım çarpılır. Daha sonra her bir bölüm paydanın eşleniği ile çarpımıyla elde edilen gerçek sayıya bölünür.

**ÖRNEK: 2.13**

a —  $C_1 / C_2$  değerini bulunuz.

$$C_1 = 1 + J4 \text{ ve } C_2 = 4 + J5$$

b —  $C_1 = -4 - J8$  ve  $C_2 = 6 - J1$

**Çözüm:**

$$a - C_1 / C_2 = \frac{1 \cdot 4 + 4 \cdot 5}{4^2 + 5^2} + J \frac{4 \cdot 4 - 1 \cdot 5}{4^2 + 5^2} = \frac{24}{41} + J \frac{11}{41} \\ \approx 0.585 + J0.268$$

b —  $-4 - J8$

$$\frac{6 + J1}{-24 - J48}$$

$$\frac{-24 - J48}{-24 - J48}$$

$$\frac{-16 - J52}{-24 - J52 + 8} = -16 - J52$$

$$\frac{6 - J1}{36 - J6} = \frac{6 + J1}{36 + 0 + 1 = 37} + \frac{J6 - J^2 1}{36 + 0 + 1 = 37}$$

$$C_1 / C_2 = \frac{-16}{37} - J \frac{52}{37} = -0.432 - J1.41$$

Dik bileşenler formunda kompleks bir sayıyı gerçek bir sayıya bölmek için gerçek kısım ile hayali kısım ayrı ayrı gerçek bir sayıya bölünür. Örneğin

$$\frac{8 + J10}{2} = 4 + J5$$

$$\frac{6.8 - J0}{2} = 3.4 - J0 = 3.4 / 0^\circ$$

Kutupsal formda payın gerçek büyüklüğü paydanın gerçek büyüklüğüne bölünür ve paydanın açısı payın açısından çıkarılır. Örneğin

$$C_1 = C_1 / \theta_1 \quad \text{ve} \quad C_2 = C_2 / \theta_2$$

$$C_1 / C_2 = \frac{C_1}{C_2} / \theta_1 - \theta_2 \quad (2.14)$$

#### ÖRNEK: 2.15

a —  $C_1 / C_2$  değerlerini bulunuz.

$$C_1 = 15 / 10^\circ \quad \text{ve} \quad C_2 = 2 / 7^\circ$$

$$b — C_1 = 8 / 120^\circ \quad \text{ve} \quad C_2 = 16 / -50^\circ$$

**Çözüm:**

$$a — \frac{C_1}{C_2} = \frac{15}{2} / 10^\circ - 7^\circ = 7.5 / 3^\circ$$

$$b — \frac{C_1}{C_2} = \frac{8}{16} / 120^\circ - (-50^\circ) = 0.5 / 170^\circ$$

Dikkat edilirse bölme yapmakla dik bileşenler formunda karşılıklı değerini elde ederiz. Örneğin

$$\frac{1}{A + JB} = \left( \frac{1}{A + JB} \right) \left( \frac{A - JB}{A - JB} \right) = \frac{A - JB}{A^2 + B^2}$$

ve

$$\frac{1}{A + JB} = \frac{A}{A^2 + B^2} - J \frac{B}{A^2 + B^2} \quad (2.15)$$

Kutupsal formda karşılık değeri ise

$$\frac{1}{C / \theta} = \frac{1}{C} / -\theta \quad (2.16)$$

#### ÖRNEK: 2.16

Aşağıdaki kompleks sayılarla ilgili işlemleri yapınız.

$$\begin{aligned} a — \frac{(2 + J3) + (4 + J6)}{(7 + J7) - (3 - J3)} &= \frac{(2 + 4) + J(3 + 6)}{(7 - 3) + J(7 + 3)} \\ &= \frac{(6 + J9) (4 - J10)}{(4 + J10) (4 - J10)} \\ &= \frac{(6.4 + 9.10) + J(4.9 - 6.10)}{4^2 - 10^2} \\ &= \frac{114 - J24}{116} = 0.982 - J0.207 \end{aligned}$$

$$\begin{aligned} b — \frac{(50 / 30^\circ) (5 + J5)}{10 / -20} &= \frac{(50 / 30^\circ) (7.07 / 45^\circ)}{10 / -20} \\ &= \frac{353 / 75^\circ}{10 / -20} = 35.3 / 75^\circ - (20^\circ) \\ &= 35.3 / 95^\circ \end{aligned}$$

$$c — \frac{(2 / 20^\circ)^2 (3 + J4)}{8 - J6} = \frac{(2 / 20^\circ) (2 / 20^\circ) (5 / 53^\circ)}{10 / -37^\circ}$$

$$= \frac{(4 / 40^\circ) (5 / 53^\circ)}{10 / -37^\circ} = \frac{20 / 93^\circ}{10 / -37^\circ}$$

$$= 2 / 93^\circ - (-37^\circ)$$

$$= 2 / 130^\circ$$

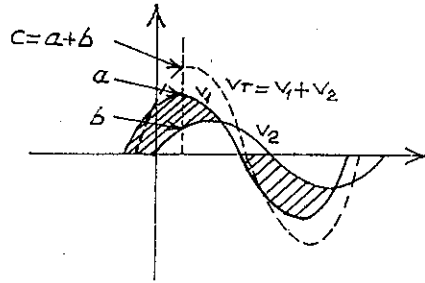
$$d - 3 / 27^\circ - 6 / -40^\circ = (2.68 + J1.36) - (4.6 - J3.86)$$

$$= (2.68 - 4.6) + J(1.36 + 3.86)$$

$$= -1.92 + J5.22$$

## 2.6 VEKTÖRLER

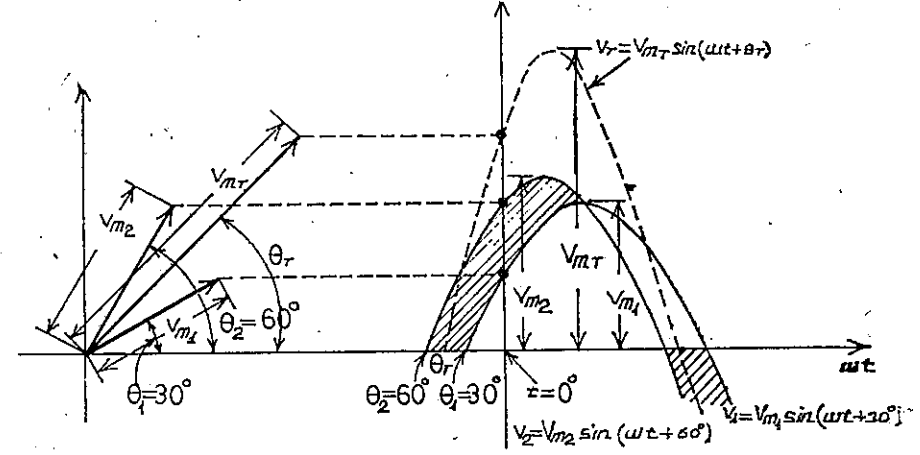
Bu bölümün giriş kısmında vurgulandığı gibi alternatif akım sinüsoidal devrelerde akımların veya gerilimleri toplanması gerekebilir. Böyle bir toplamayı yapmak için birinci yöntem her iki sinüsoidal eğriyi aynı eksen üzerinde büyüklüklerini cebirsel olarak şekil 2.26 da görüldüğü gibi toplamaktır. Şekilde görüldüğü gibi  $C = a + b$  dir.



Şekil 2.26.

Vektörlerin bu yolla toplanması pek kullanılmayan bir yöntemdir. Vektörlerin toplanmasında şekil 1.13 de görülen eğrideki gibi dönen yarı çapın meydana getirdiği eğri şekli daha çok kullanılır. Bu sabit büyüklüklü ve orjinden geçen ve bir sonu olan değer vektör olarak anılır. Böyle bir vektörün dönmesiyle sinüs eğrisinin meydana geldiğini ve  $t = 0$  iken şekil 2.27 deki eğri meydana gelir.

Şekilde görüldüğü gibi vektör olarak aşağıdaki gibi gösterilir.



Şekil 2.27

$$V_{m1} / 30^\circ + V_{m2} / 60^\circ = V_{mT} / \theta_T$$

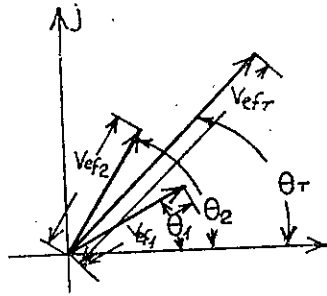
Başka bir ifadeyle eğer  $V_1$  ve  $V_2$  değerini vektör şeklinde gösterirsek

$$V = V_m \sin(\omega t \mp \theta) \Rightarrow V / \mp \theta$$

bu vektörler cebirsel olarak toplanmak suretiyle toplam vektör  $V_T$  bulunur. Daha sonra bu vektör zaman domain'ine çevrilir ve aynı eksende işaretlenmek suretiyle şekil 2.27 b deki eğriler elde edilir. Şekil 2.27 a da çeşitli vektörlerin büyüklükleri ve pozisyonları görülüyor. Bu vektörlerin meydana getirdiği bu şekle vektör diyagramı denir. Şekil 2.28 de bir faz diyagramı görülmektedir. Genel olarak devrelerin analizinde sinüsoidal akım veya gerilim aşağıdaki gibi olur.

$$V = V / \theta \quad \text{ve} \quad I = I / \theta$$

$V$  ve  $I$  etkin değerlerdir ve  $\theta$  faz açısıdır. Vektörlerde daima sinüs eğrisi referans eğri olarak varsayılır ve frekans bu vektörde gösterilmez. Sinüsoidal büyüklüklerin cebirsel işlemleri yalnız frekansı aynı olan eğriler için uygulanır.



Şekil 2.28

**ÖRNEK: 2.17**

Aşağıdaki kompleks büyüklükleri zaman domain den vektör domaine çevirelim.

Zaman Domain	Vektör Domain
a — $\sqrt{2.50} \sin \omega t$	$50 / 0^\circ$
b — $69.6 \sin (\omega t + 72^\circ)$	$(0.707) (69.6) / 72^\circ = 49.2 / 72^\circ$
c — $45 \cos \omega t$	$(0.707) (45) / 90^\circ = 31.8 / 90^\circ$

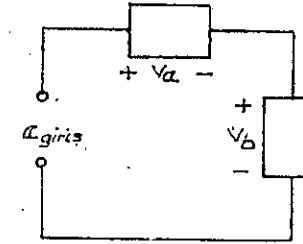
**ÖRNEK: 2.18**

Frekans 60 Hz iken aşağıdaki vektörlerin sinüsoidal ifadesini yazınız.

Vektör Domaini	Zaman domain
a — $I = 10 / 30^\circ$	$i = \sqrt{2} (10) \sin (2\pi 60t + 30^\circ)$
b — $V = 115 / -70^\circ$	$v = 14.14 \sin (377t + 30^\circ)$
	$v = \sqrt{2} (115) \sin (377t - 70^\circ)$
	$v = 163 \sin (377t - 70^\circ)$

**ÖRNEK: 2.19**

Şekil 2.29 daki devrede giriş gerilimini bulunuz.



Şekil 2.29

$$\left. \begin{aligned} v_a &= 30 \sin (377t + 60^\circ) \\ v_b &= 50 \sin (377t + 30^\circ) \end{aligned} \right\} F = 60 \text{ Hz}$$

**Çözüm:**

$v_a$  ve  $v_b$  değerlerini zaman domainden vektör domaine çeviriniz.

$$v_a = 50 \sin (377t + 30^\circ) \Rightarrow v_a = 35.3 / 30^\circ$$

$$v_b = 30 \sin (377t + 60^\circ) \Rightarrow v_b = 21.2 / 60^\circ$$

Kirchhoff'un gerilim kanununu uygularsak

$$V_g = v_a + v_b$$

Yukarıdaki değerleri toplamak için kutupsal formdan dik bileşenler formuna çevirirsek

$$v_a = 35.3 / 30^\circ = 30.6 + j17.7$$

$$v_b = 21.2 / 60^\circ = 10.6 + j18.4$$

$$\begin{aligned} E_g = v_a + v_b &= (30.6 + j17.7) + (10.6 + j18.4) \\ &= 41.2 + j36.1 \end{aligned}$$

El edilen bu sonucu dik bileşenler formundan kutupsal forma çevirirsek

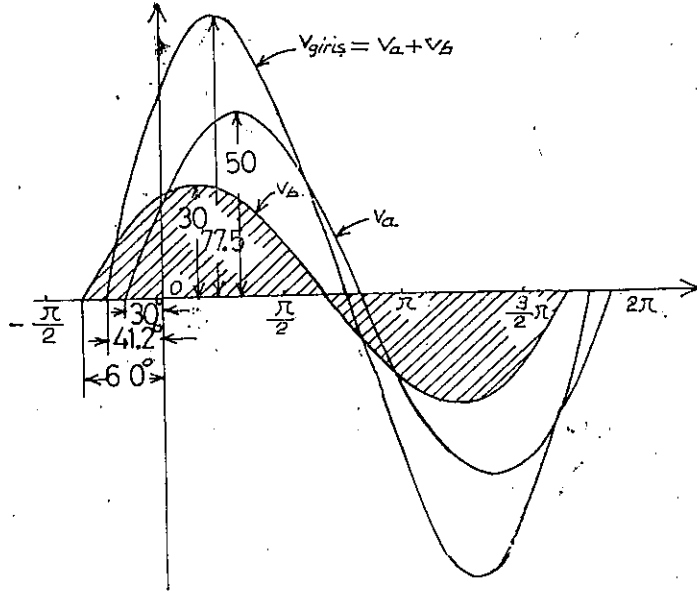
$$E_g = 41.2 + j36.1 = 54.8 / 41.2^\circ$$

Bu vektörel değerleri zaman domain'e çevirirsek

$$E_g = 54.8 / 41.2^\circ \Rightarrow E_g = \sqrt{2} (54.8) \sin (377t + 41.2^\circ)$$

$$E_g = 77.5 \sin (377t + 41.2^\circ)$$

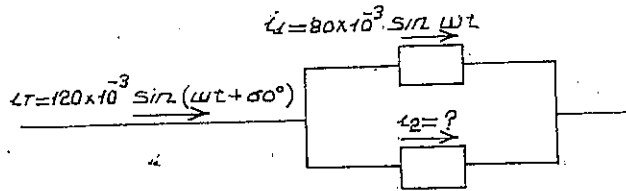
$v_a$ ,  $v_b$  ve  $v_g$  eğrileri şekil 2.30 da görülmektedir.



Şekil 2.30

**ÖRNEK: 2.20**

Şekil 2.31 deki devrede  $i_2$  akımını bulunuz.



Şekil 2.31

**Çözüm:**

Kirchhoff'un akım kanununu devreye uygularsak

$$i_T = i_1 + i_2$$

veya

$$i_2 = i_T - i_1$$

Bu akım değerlerini zaman domain den vektör çevirirsek

$$i_T = 120 \times 10^{-3} \sin(\omega t + 60^\circ) \Rightarrow 84.84 \times 10^{-3} / 60^\circ$$

$$i_1 = 80 \times 10^{-3} \sin \omega t \Rightarrow 56.56 \times 10^{-3} / 0^\circ$$

Kutupsal formdan dik bileşenler formuna çevrilir ve çıkarılırsa

$$i_T = 84.84 \times 10^{-3} / 60^\circ \\ = 42.42 \times 10^{-3} + J73.46 \times 10^{-3}$$

$$i_1 = 56.56 \times 10^{-3} / 0^\circ \\ = 56.56 \times 10^{-3} + J0$$

$$i_2 = i_T - i_1$$

$$i_2 = (42.42 \times 10^{-3} + J73.46 \times 10^{-3}) - (56.56 \times 10^{-3} + J0) \\ = 14.14 \times 10^{-3} + J73.46 \times 10^{-3}$$

Dik bileşenler formundan kutupsal forma çevrilirse

$$i_2 = -14.14 \times 10^{-3} + J73.46 \times 10^{-3} \Rightarrow i_2 = 74.8 \times 10^{-3} / 100.9^\circ$$

vektörden zaman domain'e çevrilirse

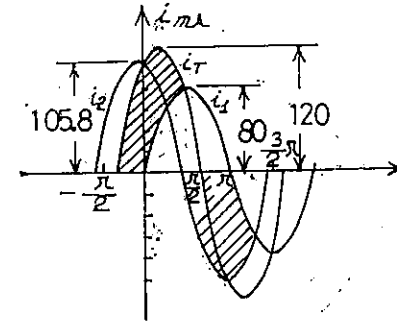
$$i_2 = 74.8 \times 10^{-3} / 100.9^\circ \Rightarrow i_2 = \sqrt{2} (74.8 \times 10^{-3} \sin(\omega t + 100.9^\circ))$$

ve

$$i_2 = 105.8 \times 10^{-3} \sin(\omega t + 100.9^\circ)$$

$i_1$ ,  $i_2$  ve  $i_T$  akımlarının eğrileri şekil 2.32 de görülmektedir.

$$i_T = i_1 + i_2$$



Şekil 2.32

P R O B L E M L E R

Bölüm 2.4

1 — Aşağıdaki kompleks sayıları dik bileşenler formundan kutupsal forma çeviriniz.

$$\begin{array}{ll} a - 4 + j3 & e - 0.001 + j0.0065 \\ b - 2 + j2 & f - 7.6 - j9 \\ c - 3.5 + j12 & h - -5.4 + j4 \\ d - 100 + j650 & i - -15 - j60 \end{array}$$

2 — Aşağıdaki kompleks sayıları kutupsal formundan dik bileşenler formuna çeviriniz.

$$\begin{array}{ll} a - 6 / 30^\circ & e - 1.2 / 135^\circ \\ b - 42 / 45^\circ & f - 0.008 / 300^\circ \\ c - 8.49 / 80^\circ & h - 7.52 / -125^\circ \\ d - 550 / 210^\circ & i - 65 / 150^\circ \end{array}$$

Bölüm 2.5

3 — Aşağıdaki kompleks sayıların toplama ve çıkarmasını yapınız.

$$\begin{array}{l} a - (4.2 + j6.8) + (7.6 + j0.02) \\ b - (4 \times 10^{-6} + j76) + (7.2 \times 10^{-7} - j0.9) \\ c - (167 + j243) - (4.6 + j4.6) \\ d - (-36 + j78) - (-4 - j6) + (10.8 - j72) \\ e - 42 / 45^\circ + 62 / 60^\circ - 70 / 120^\circ \\ f - 6 / 20^\circ + 10 / 30^\circ \end{array}$$

4 — Aşağıdaki kompleks sayılarla ilgili çarpmaları yapınız.

$$\begin{array}{l} a - (4 + j3) (6 + j8) \\ b - (0.002 + j0.006) (-2 + j2) \\ c - (2 / 60^\circ) (4 / 22^\circ) \\ d - (6.9 / 8^\circ) (7.2 / -72^\circ) \\ e - (540 / -20^\circ) (-5 / 180^\circ) (6.2 / 0^\circ) \end{array}$$

5 — Aşağıdaki bölme işlemlerini yapınız.

$$\begin{array}{l} a - (42 / 10^\circ) / (7 / 60^\circ) \\ b - (4360 / -20^\circ) / (40 / 210^\circ) \\ c - (8 + j8) / (2 + j2) \\ d - (8 + j42) / (-6 + j66) \\ e - (-4.5 - j6) / (0.1 - j0.4) \end{array}$$

6 — Aşağıdaki işlemleri çözünüz.

$$\begin{array}{l} a - \frac{(4 + j3) + (6 - 8)}{(3 + j3) - (2 + 3)} \\ b - \frac{(1 + j5) (7 / 60^\circ)}{(2 / 0^\circ) + (100 + j100)} \\ c - \frac{(6 / 20^\circ) (120 / -40^\circ) (3 + j4)}{2 / -30^\circ} \\ d - \frac{(150 / 20^\circ) (4 \times 10^{-6} / 88^\circ)}{(1 / 10^\circ)^3 (4 / 30^\circ)} \end{array}$$

Bölüm 2.

7 — Aşağıdaki değerleri vektör olarak ifade ediniz.

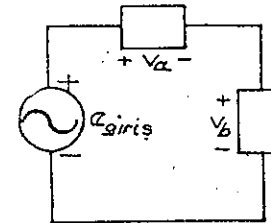
$$\begin{array}{l} a - \sqrt{2} (100) \sin (\omega t + 30^\circ) \\ b - \sqrt{2} (0.25) \sin (157t - 40^\circ) \\ c - 100 \sin (\omega t - 90^\circ) \\ d - 42 \sin (377t + 0^\circ) \\ e - 6 \times 10^{-6} \cos \omega t \\ f - 3.6 \times 10^{-6} \cos (754t - 20^\circ) \end{array}$$

8 — Frekans 60 Hz olduğuna göre aşağıdaki akım ve gerilim değerlerini zaman domain içerisinde ifade ediniz.

$$\begin{array}{ll} a - I = 40 / 20^\circ & d - v = 120 / 0^\circ \\ b - I = 8 \times 10^{-3} / 120^\circ & e - v = 7.6 / 90^\circ \\ c - I = 1200 / -120^\circ & f - v = \frac{\sqrt{2}}{6000} / -180^\circ \end{array}$$

9 — Şekil 2.33 deki devrede  $v_a$  geriliminin sinüsoidal ifadesini bulunuz.

$$\begin{array}{l} e_g = (377t + 20^\circ) \\ v_b = 20 \sin 377t \end{array}$$



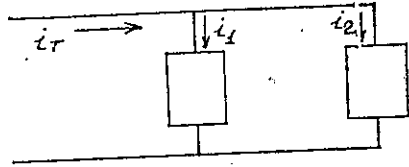
Şekil 2.33



10 — Şekil 2.34 deki devrede  $i_1$  akımının sinüsoidal ifadesini bulunuz.

$$i_T = 20 \times 10^{-6} \sin(\omega t + 90^\circ)$$

$$i_2 = 6 \times 10^{-6} \sin(\omega t - 60^\circ)$$



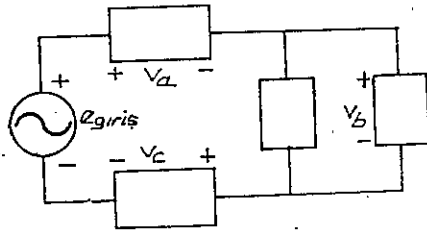
Şekil 2.34

11 — Şekil 2.35 deki devrede  $v_c$  geriliminin sinüsoidal ifadesini bulunuz.

$$e_g = 120 \sin(\omega t - 30^\circ)$$

$$v_a = 60 \cos \omega t$$

$$v_b = 30 \sin \omega t$$



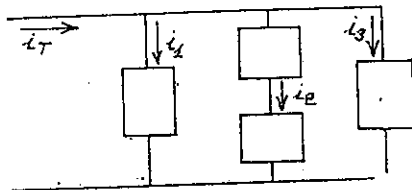
Şekil 2.35

12 — Şekil 2.36 deki devrede  $i_T$  akımının sinüsoidal ifadesini bulunuz.

$$i_1 = 6 \times 10^{-3} \sin(377t + 180^\circ)$$

$$i_2 = 8 \times 10^{-3} \sin(377t - 20^\circ)$$

$$i_3 = 2 i_2$$



Şekil 2.36

## SERİ ve PARALEL a. a. DEVRELERİ

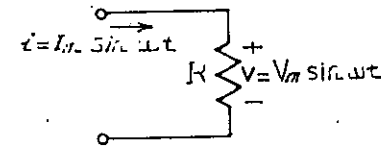
### 3.1 GİRİŞ

Bu bölümde seri ve paralel alternatif akım devrelerinin çözümünde daha çabuk ve direkt çözüm sağladığı için vektörel matematiği daha çok kullanacağız. Doğru akım devrelerinde bilinmeyen değeri bulmak için çeşitli yöntemler kullanılır. Bu bölümde ise alternatif akım devrelerinde bu yöntem ile beraber akım bölme ve gerilim bölme kaidelerinin nasıl kullanılacağı çeşitli örneklerle anlatılacaktır.

### SERİ A.A. DEVRELERİ

### 3.2 EMPEDANS ve FAZ DİYAGRAMI

Bölüm birde vurgulandığı gibi tamamen omik bir devrede gerilim ( $v$ ) ve akım ( $i$ ) aynı fazdadır. Şekil 3.1. Böyle bir devre de büyüklük



Şekil 3.1

$$I_m = \frac{V_m}{R} \text{ veya } V_m = I_m R$$

Vektör olarak

$$v = V_m \sin \omega t \Rightarrow V = V \angle 0^\circ$$

Formülde  $V = 0.707 V_m$  dir.

Om kanunu ve vektör matematiği kullanarak

$$I = \frac{V / 0^\circ}{R / \theta_R} = \frac{V}{R} / 0 - \theta_R \quad \text{Çünkü akım ile gerilim aynı}$$

fazdadır, yani açı sıfırdır. Böylece  $\theta_R$  açısında sıfırdır ve  $\theta_R = 0^\circ$ . Buna göre

$$I = \frac{V / 0^\circ}{R / 0^\circ} = \frac{V}{R} / 0^\circ - 0^\circ = \frac{V}{R} / 0^\circ$$

Bu sonucu zaman domaini içinde ifade edersek

$i = \sqrt{2} \cdot \left(\frac{V}{R}\right) \sin \omega t$  olur. Formülün paydasını kompleks sayı olarak yazarsak

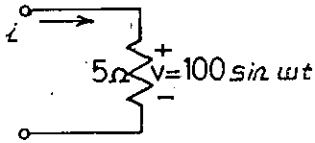
$$R = R / 0^\circ \quad (3.1)$$

Bu eşitlik sinüsoidal fonksiyonun vektör domaini içerisinde ifade edilemez. Bu kompleks alanda sabit büyüklüğe ( $R$ ) ve açığa ( $0^\circ$ ) ait bir vektördür. Omik devrelerde  $/0^\circ$  açısıyla ilgili yararlar aşağıda bir kaç örnekle açıklanacaktır.

Devrelere ait faz diyagramları çizildiğinde akımla gerilim arasındaki açının sıfır oluşu o diyagramın omik bir devreye ait olduğunu kanıtlar.

#### ÖRNEK: 3.1

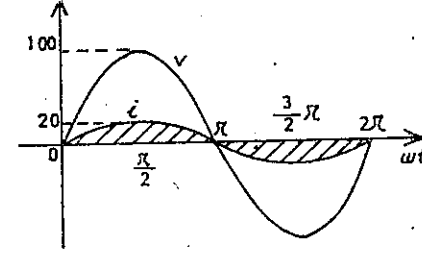
Vektör matematiği kullanarak şekil 3.2 deki devrede  $i$  akımını bulunuz. Gerilim ve akıma ait eğrileri çiziniz.



Şekil 3.2

**Çözüm:**

Şekil 3.3



Şekil 3.3

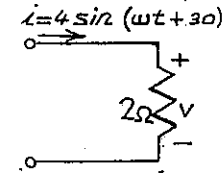
$$v = 100 \sin \omega t \Rightarrow \text{vektör olarak } v = 70.7 / 0^\circ$$

$$I = \frac{V}{R} = \frac{0.7 / 0^\circ}{5 / 0^\circ} = 14.14 / 0^\circ$$

$$i = \sqrt{2} (14.14) \sin \omega t = 20 \sin \omega t$$

#### ÖRNEK: 3.2

Vektörel olarak şekil 3.4 deki devrede gerilimi bulunuz. Ayrıca akım ve gerilime ait eğrileri çiziniz.



Şekil 3.4

**Çözüm:**

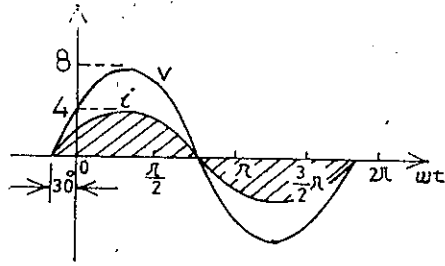
Şekil 3.5

$$i = 4 \sin (\omega t + 30^\circ) \Rightarrow \text{vektör olarak } I = 2.83 / 30^\circ$$

$$V = I \cdot R = (2.83 / 30^\circ) (2 / 0^\circ) = 5.66 / 30^\circ$$

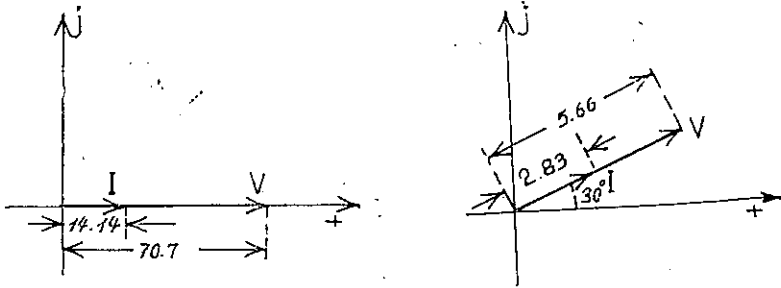
ve

$$v = \sqrt{2} (5.66) \sin (\omega t + 30^\circ) = 8 \sin (\omega t + 30^\circ)$$



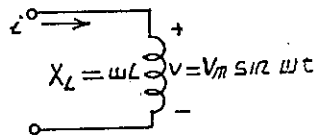
Şekil 3.5

Elektrik devrelerinin çözümünde faz diyagramı çizmek çok faydalıdır. Çünkü bu faz diyagramı üzerinde çeşitli büyüklükleri ve faz ilişkilerini görmek çok kolaydır. Örneğin bundan önceki örneklere ait faz diyagramları şekil 3.6 da görülmektedir. Her iki durumda da akımla gerilim aynı fazdadır. Bu durum faz diyagramlarından açıkça görülmektedir.



Şekil 3.6

Şekil 3.7 deki gibi tamamen indüktif bir devrede daha evvelden öğrenildiği gibi akımla gerilim arasında  $90^\circ$  lik açı olup gerilim akımdan ileridir. Böyle bir devrede reaktans  $X_L$  harfiyle gösterilir ve  $\omega L$  değerine eşittir.



Şekil 3.7

$$v = V_m \sin \omega t \Rightarrow \text{vektör olarak } V = /0^\circ$$

Om kanununa göre

$$I = \frac{V /0^\circ}{X_L /\theta_L} = \frac{V}{X_L} /0^\circ - \theta_L$$

Çünkü gerilim akımdan  $90^\circ$  ileridir. Yani akım  $-90^\circ$  lik bir açıya sahiptir. Böylece  $\theta_L = +90^\circ$  dir. Formülde  $\theta_L = 90^\circ$  yazılırsa.

$$I = \frac{V /0^\circ}{X_L /90^\circ} = \frac{V}{X_L} /0^\circ - 90^\circ = \frac{V}{X_L} /-90^\circ$$

Zaman domaini içerisinde ifade edilirse

$$i = \sqrt{2} \left( \frac{V}{X_L} \right) \sin (\omega t - 90^\circ)$$

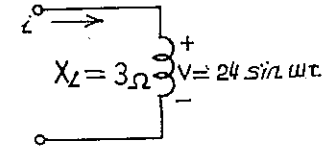
Bu denklemi kompleks sayı olarak ifade edersek

$$X_L = X_L /90^\circ \quad (3.2)$$

Bu eşitlik sinüsoidal fonksiyonu vektör domaini içerisinde ifade edemez. Bu kompleks alanda sabit büyüklüğü  $X_L$  ve  $90^\circ$  lik açıya ait bir vektördür.

### ÖRNEK: 3.3

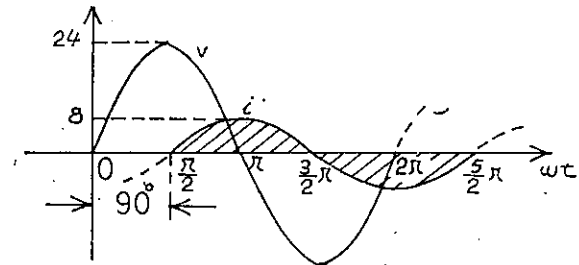
Vektörel olarak şekil 3.8 deki devrede  $i$  akımını bulunuz. Akım ve gerilime ait eğrileri çiziniz.



Şekil 3.8

### Çözüm:

Şekil 3.9



Şekil 3.9

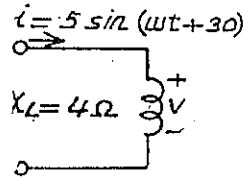
$$v = 24 \sin \omega t \Rightarrow \text{vektör olarak } V = 16.9 / 0^\circ$$

$$I = \frac{V}{X_L} = \frac{16.9 / 0^\circ}{3 / 90^\circ} = 5.66 / -90^\circ$$

$$i = \sqrt{2} (5.66) \sin (\omega t - 90^\circ) = 8 \sin (\omega t - 90^\circ)$$

### ÖRNEK: 3.4

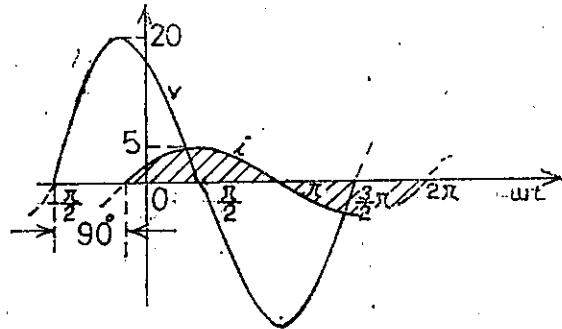
Vektörsel olarak şekil 3.10 daki devrede gerilimi bulunuz. Akımla gerilime ait eğrileri çiziniz.



Şekil 3.10

### Cözüm:

Şekil 3.11



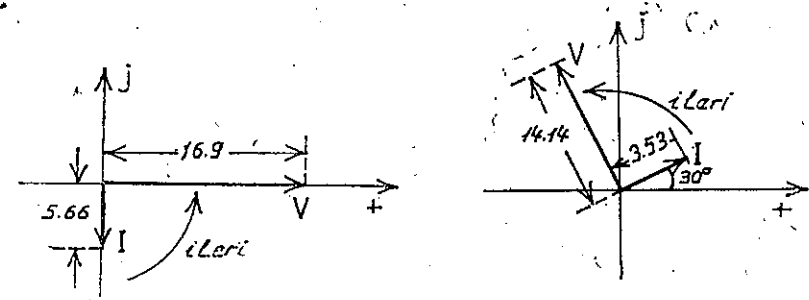
Şekil 2.11

$$i = 5 \sin (\omega t + 30) \Rightarrow \text{vektör olarak } I = 3.53 / 30^\circ$$

$$V = I X_L = (3.53 / 30^\circ) (4 / 90^\circ) = 14.14 / 120^\circ$$

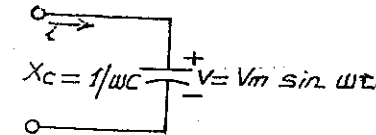
$$v = \sqrt{2} (14.14) \sin (\omega t + 120^\circ) = 20 \sin (\omega t + 120^\circ)$$

Bundan önceki her iki örneğe ait faz diyagramı şekil 3.12 de görülmektedir. Her iki şekilden anlaşıldığı gibi gerilim akımdan  $90^\circ$  ileridedir.



Şekil 3.12

Şekil 3.13 deki gibi tamamen kapasitif bir devrede daha önceden vurgulandığı gibi akımla gerilim arasında  $90^\circ$  lik açı olup akım gerilimden ilerdedir. Böyle bir devrede kapasitif reaktans  $X_C$  ile gösterilir ve  $1/\omega C$  değerine eşittir.



Şekil 3.13

$$v = V_m \sin \omega t \Rightarrow \text{vektörsel olarak } V = V / 0^\circ$$

Om kanunu vektörsel olarak

$$I = \frac{V / 0^\circ}{X_C / \theta_C} = \frac{V}{X_C} / 0^\circ - \theta_C$$

Çünkü biliyoruz ki akım geriliminden  $90^\circ$  ilerdedir ve akım  $+90^\circ$  lik bir açığa sahiptir. Böylece  $\theta_C = -90^\circ$  dir.

$$I = \frac{V / 0^\circ}{X_C / -90^\circ} = \frac{V}{X_C} / 0^\circ - (-90^\circ) = \frac{V}{X_C} / 90^\circ$$

Zaman domaini içerisinde

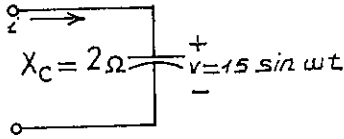
$$i = \sqrt{2} \left( \frac{V}{X_C} \right) \sin(\omega t + 90^\circ)$$

Payda kompleks sayılarla ifade edilirse

$$X_C = X_C / -90^\circ \quad (3.3)$$

### ÖRNEK: 3.5

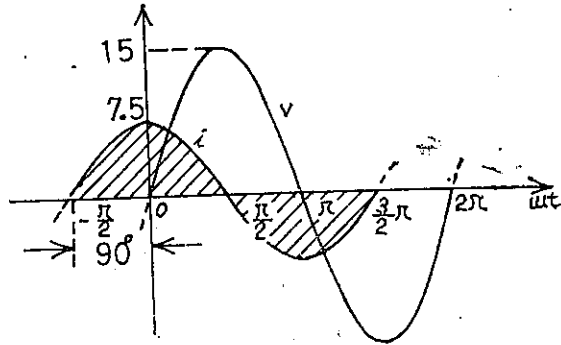
Şekil 3.14 de görülen devrede vektörel olarak  $i$  akımını bulunuz. Akım ve gerilimin eğrilerini çiziniz.



Şekil 3.14

### Cözüm:

Şekil 3.15



Şekil 3.15

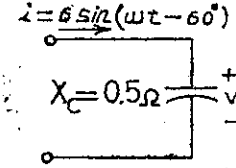
$$v = 15 \sin \omega t \Rightarrow \text{vektör olarak } V = 10.6 / 0^\circ$$

$$I = \frac{V}{X_C} = \frac{10.6 / 0^\circ}{2 / -90^\circ} = 5.3 / 90^\circ$$

$$i = \sqrt{2} (5.3) \sin(\omega t + 90^\circ) = 7.5 \sin(\omega t + 90^\circ)$$

### ÖRNEK: 3.6

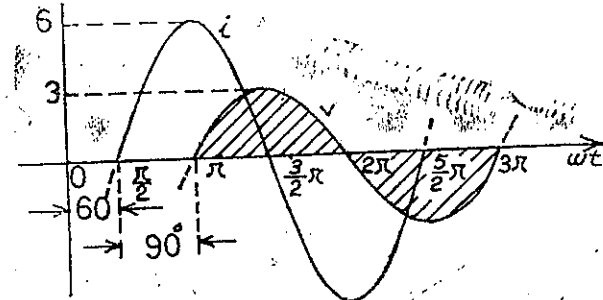
Şekil 3.16 da görülen devrede vektörel olarak  $v$  gerilimini bulunuz ve akım-gerilim eğrilerini çiziniz.



Şekil 3.16

### Cözüm:

Şekil 3.17



Şekil 3.17

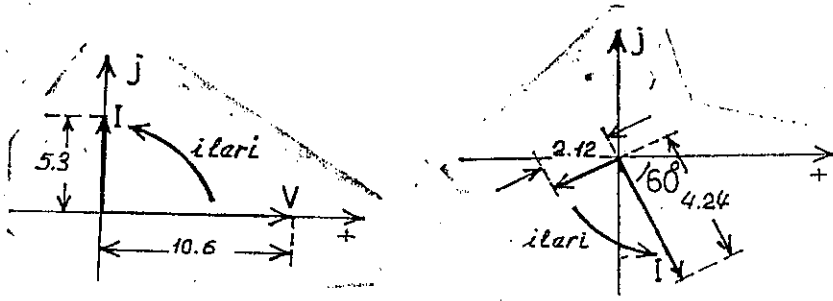
$$i = 6 \sin(\omega t - 60^\circ) \Rightarrow \text{vektör olarak } I = 4.23 / -60^\circ$$

$$V = I X_C = (4.23 / -60^\circ) (0.5 / -90^\circ) = 2.12 / -150^\circ$$

ve

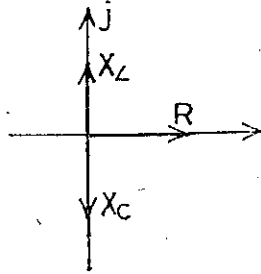
$$v = \sqrt{2} (2.12) \sin(\omega t - 150^\circ) = 3 \sin(\omega t - 150^\circ)$$

Daha önce çözülen iki örneğe ait faz diyagramı şekil 3.18 de görülmektedir. Her iki şekilden de anlaşıldığı gibi akımla gerilim arasında  $90^\circ$  lik açı olup akım ileridedir.



Şekil 3.18

Şekil 3.19 daki omik, indüktif ve kapasitif reaktansa ait vektörler görülmektedir. Her hangi bir şebeke için direnç değeri devamlı olarak pozitif yatay (gerçek) ekseninde gösterilir. İndüktif reaktans ise pozitif dikey (hayali) ekseninde, kapasitif reaktans ise negatif dikey ekseninde gösterilir. Bu değerlerin ikisinin veya üçünün teşkilinden meydana gelen devrelere empedans devreleri denir. Empedans bir devrede akıma karşı koyan kuvvetin bir ölçüsüdür. Şekil 3.19 da görülen diyagrama empedans diyagramı denir. Devrelerin empedansı Z harfi ile gösterilir.



Şekil 3.19

Her hangi bir devrenin omik, indüktif ve kapasitif değerlerini her bir eleman için veren formüller aşağıda görülmektedir.

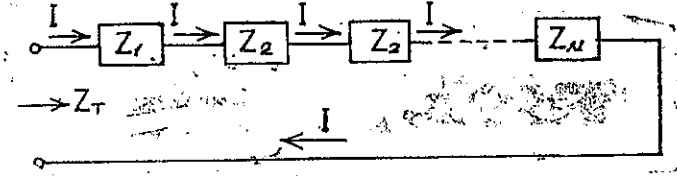
$$\text{Direnç} \quad : Z = R = R / 0^\circ = R + j0 \quad (3.4)$$

$$\text{İndüktif reaktans: } Z = X_L = X_L / 90^\circ = 0 + jX_L \quad (3.5)$$

$$\text{Kapasitif } \quad : Z = X_C = X_C / -90^\circ = 0 - jX_C \quad (3.6)$$

### 3.3 EMPEDANSLARIN SERİ BAĞLANMASI

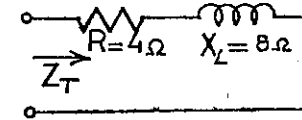
Seri bağlama yöntemi yönünden alternatif akım seri devreleriyle doğru akım seri devreleri arasında hiç bir ayrıcalık yoktur. Seri devrenin özelliklerinden birisi şöyledir. Seri devrelerde devre elemanlarından geçen akım sabittir. Yani bütün elemanlardan aynı akım geçer. Seri devrenin empedansı ise devredeki seri bağlı elemanların empedanslarının toplamına eşittir. Şekil 3.20 de seri bağlı bir empedans gurubu görülmektedir.



Şekil 3.20

#### ÖRNEK: 3.7

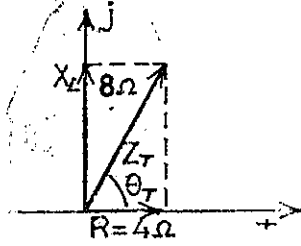
Şekil 3.21 deki devrenin empedans diyagramını çiziniz ve toplam empedansı bulunuz.



Şekil 3.21

#### Çözüm:

Şekil 3.22 de görüldüğü gibi empedansı grafik olarak çizilmek suretiyle bulunabilir. Yatay ve dikey eksenlerde omik ve indüktif elemanın empedansı belli olduğuna göre toplam empedans ile yatay eksen arasındaki empedans açısı bulunabilir. Aynı değerler vektör matematiği kullanılarak suretiyle bulunabilir.



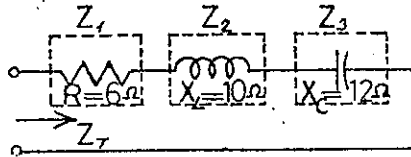
Şekil 3.22

$$\begin{aligned} Z_T &= Z_1 + Z_2 \\ &= R / 0^\circ + X_L / 90^\circ \\ &= R + jX_L = 4 + j8 \end{aligned}$$

$$Z_T = 8.95 / 63.4^\circ$$

**ÖRNEK: 3.8**

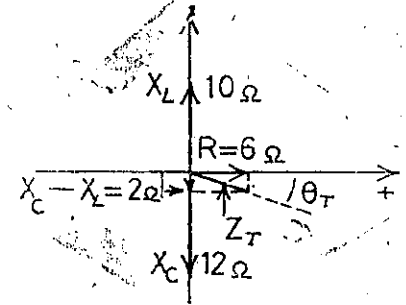
Şekil 3.23 deki seri devrenin giriş empedasını bulunuz ve diyagramını çiziniz.



Şekil 3.23

$$\begin{aligned} Z_T &= Z_1 + Z_2 + Z_3 \\ &= R / 0^\circ + X_L / 90^\circ + X_C / -90^\circ \\ &= R + jX_L - jX_C \\ &= R + j(X_L - X_C) = 6 + j(10 - 12) = 6 - j2 \\ Z_T &= 6.32 / -18.4^\circ \end{aligned}$$

Empedans diyagramı şekil 3.24 de görülmektedir. Bu diyagrama dikkat edilirse indüktif ve kapasitif reaktanslar bir birinin zıttıdır. Şekil 3.23 deki devre için eğer bu indüktif ve kapasitif reaktanslar bir birine eşit almırsa giriş empedansı direncin omik değerine eşit olur. Böylece her hangi bir devrenin indüktif veya kapasitif oluşu giriş akımıyla gerilimi arasındaki faz ilişkisinden kolayca tesbit edilebilir. Bu tesbit  $\theta_T$  açısının durumuna göre belirlenir. Eğer  $\theta_T$  açısı birinci çeyrek bölümde ise veya  $0^\circ < \theta_T < 90^\circ$  ise devre tamamen indüktif, eğer  $\theta_T$  açısı dördüncü çeyrekte ise veya  $-90^\circ < \theta_T < 0^\circ$  ise devre kapasitif bir devredir. Eğer  $\theta_T = 0^\circ$  ise devre omik bir devredir.

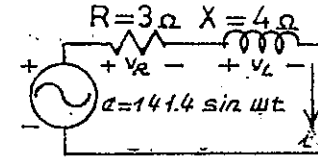


Şekil 2.24

Şimdi çeşitli elemanların bir biri ile seri bağlanma durumlarına göre devre özelliklerini inceleyelim.

**R — L devreler**

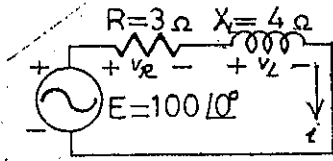
Şekil 3.25



Şekil 3.25

**Vektör ifadesi**

$$e = 141.4 \sin \omega t \Rightarrow E = 100 / 0^\circ$$



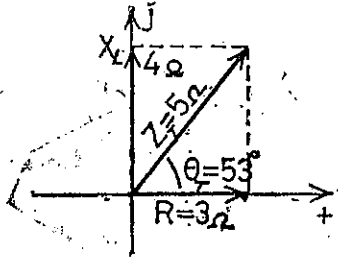
Şekil 2.26

$Z_T$  :

$$Z_T = Z_1 + Z_2 = 3 \angle 0^\circ + 4 \angle 90^\circ = 3 + j4$$

$$Z_T = 5 \angle 53^\circ$$

Empedans diyagramını ise şekil 3.27 de görüldüğü gibidir.



Şekil 3.27

$I$ :

$$I = \frac{E}{Z_T} = \frac{100 \angle 0^\circ}{5 \angle 53^\circ} = 20 \angle -53^\circ$$

$V_R, V_L$

$$V_R = I R = (20 \angle -53^\circ) (3 \angle 0^\circ) = 60 \angle -53^\circ$$

$$V_L = I X_L = (20 \angle -53^\circ) (4 \angle 90^\circ) = 80 \angle 37^\circ$$

Kirchoff'un gerilim kanununa göre

$$\Sigma v = E - V_R - V_L = 0$$

veya

$$E = V_R + V_L$$

$V_R$  ve  $V_L$  yi dik bileşenler formunda ifade edilirse

$$V_R = 60 \angle -53^\circ = 36 - j48$$

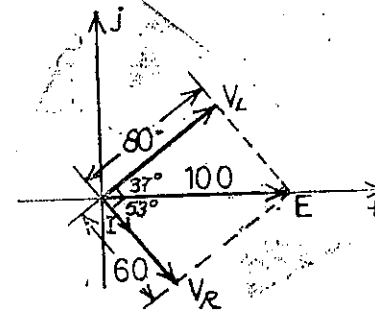
$$V_L = 80 \angle 37^\circ = 64 + j48$$

$$E = V_R + V_L$$

$$= (36 - j48) + (64 + j48) = 100 + j0$$

$$E = 100 \angle 0^\circ$$

**FAZ DİYAGRAMI:** Bu değerlere göre faz diyagramını şekil 3.28 de görülmektedir. Şekilde görüldüğü gibi direnç uçlarında düşen voltajda akımla gerilim aynı fazdadır ve indüktör uçlarındaki gerilime göre 90° geridir.



Şekil 3.28

**GÜÇ:**

Böyle bir devrede sarfedilen güç,

$$P_T = E I \cos \theta$$

$$= 100 (20) \cos 53^\circ = 2000 \cdot 0.6$$

$$P_T = 1200 \text{ vat}$$

Formülde E ve I etkin değerlerdir ve  $\theta_T$  ise akımla gerilim arasındaki açıdır. Başka bir yöntemle

$$P_T = I^2 R$$

$$P_T = 20^2 (3) = 400 \cdot 3$$

$$= 1200 \text{ vat}$$



Devrenin sarfettiği güç her bir elemanın sarfettiği güçlerin toplamına eşittir.

$$\begin{aligned} P_T &= P_R + P_L \\ &= V_R I \cos \theta_R + V_L I \cos \theta_L \\ &= 60 \cdot 20 \cos 0 + 80 \cdot 20 \cos 90^\circ \\ &= 1200 + 0 \end{aligned}$$

$$P_T = 1200 \text{ vat}$$

Formülde  $\theta_R$ ,  $V_R$  gerilimi ile  $I$  akımı ve  $\theta_L$  ise  $V_L$  gerilimi ile akımı arasındaki açıdır.

### GÜÇ FAKTÖRÜ

Devrenin güç faktörü  $F = \cos 53^\circ$  dir.  $\cos 53 = 0.6$  geridir. Bu değer akım ile gerilim arasındaki açıdır. Eğer sarfedilen gücü veren formül yazılırsa,

$$P = E \cdot I \cos \theta \text{ dir. Buradan}$$

$$\cos \theta = \frac{E \cdot I}{P}$$

formülde  $E$  ve  $I$  devrenin giriş değerleridir.  $P$  ise bu devrede sarfedilen güçtür ve birimi wattır. Genel olarak güç faktörü formülleri aşağıdaki gibidir.

$$\cos \theta = \frac{P}{E \cdot I} = \frac{I^2 R}{E \cdot I} = \frac{I \cdot R}{E} = \frac{R}{E/I} = \frac{R}{Z_T}$$

Sonuç olarak güç faktörü

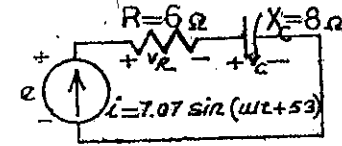
$$F_p = \cos \theta_T = \frac{R}{Z_T} \quad (3.8)$$

Şekil 3.27 de görüldüğü gibi  $\theta$  empedans açısıdır ve (3.8) deki formülde görüldüğü gibi de yazılabilir. Başka bir ifadeyle, empedans açısı  $\theta_T$  aynı zamanda giriş gerilimiyle akımı arasındaki faz açısıdır. Aynı şekilde formül (3.8) göre güç faktörü toplam direncin empedans büyüklüğüne bölümüne eşittir. Yani

$$F_p = \cos \theta = \frac{R}{Z_T} = \frac{3}{5} = 0.6 \text{ geri}$$

R — C devreler

Şekil 3.29

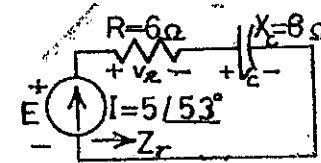


Şekil 3.29

Vektör ifadesi

$$i = 7.07 \sin (\omega t + 53^\circ) \Rightarrow I = 5 / 53^\circ$$

Şekil 3.30



Şekil 3.30

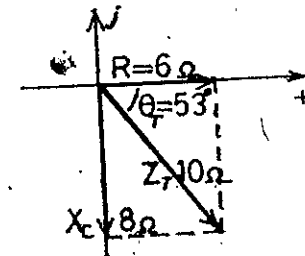
$Z_T$ :

$$Z_T = Z_1 + Z_2 = 6 / 0^\circ + 8 / -90^\circ = 6 - j8$$

ve

$$Z_T = 10 / -53^\circ$$

**EMPEDANS DİYAGRAMI:** Empedans diyagramı şekil 3.31 de görüldüğü gibidir.



Şekil 3.31

E:

$$E = I Z_T = (5/53^\circ) (10/-53^\circ) = 50/0^\circ$$

$$V_R, V_C$$

$$V_R = I R = (5/53^\circ) (6/0^\circ) = 30/53^\circ$$

$$V_C = I X_C = (5/53^\circ) (8/-90^\circ) = 40/-37^\circ$$

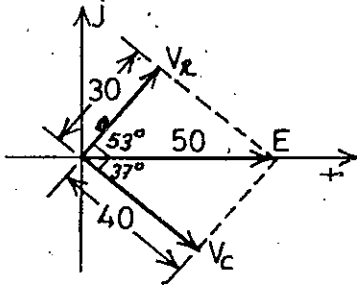
Kirchoff'un gerilim kanununa göre

$$\Sigma V = E - V_R - V_C = 0$$

veya

$$E = V_R + V_C$$

Bu eşitlik vektörlerin toplanmasıyla da elde edilebilir. Bu duruma şekil 3.32 de görülmüyor.



Şekil 3.32

**FAZ DİYAGRAMI:** Şekil 3.32 de görüldüğü gibi direnç uçlarındaki voltajda akımla gerilim aynı fazdadır. Kondansatör uçlarındaki voltajda ise akımla gerilim arasında  $90^\circ$  lik bir açı olup akım ileridir.

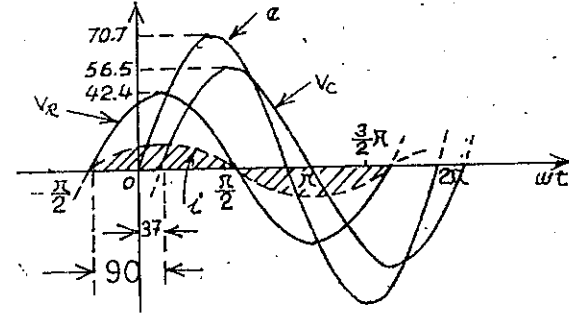
**ZAMAN DOMAİNİ:**

$$e = \sqrt{2} (50) \sin \omega t = 70.7 \sin \omega t$$

$$V_R = \sqrt{2} (30) \sin (\omega t + 53^\circ) = 42.4 \sin (\omega t + 53^\circ)$$

$$V_C = \sqrt{2} (40) \sin (\omega t - 37^\circ) = 56.5 \sin (\omega t - 37^\circ)$$

Yukarıdaki gerilim ve akım değerlerine ait eğriler çizilirse şekil 3.33 deki eğri elde edilir. Bu eğrilerden görüldüğü gibi  $i$  ile  $V_R$  aynı fazda ve  $V_C$  ile  $i$  arasında  $90^\circ$  lik bir açı olup  $V_C$  geridir.



Şekil 3.33

**GÜÇ:**

Böyle bir devrede sarfedilen güç,

$$P_T = E \cdot I \cos \theta = 50.5 \cos 53^\circ$$

$$= 250 \cdot 0.6$$

$$P_T = 150 \text{ vat}$$

veya

$$P_T = I^2 \cdot R = 5^2 \cdot 6 = 25 \cdot 6$$

$$= 150 \text{ vat}$$

$$P_T = P_R + P_C = V_R I \cos \theta_R + V_C I \cos \theta_C$$

$$= 30 \cdot 5 \cos 0^\circ + 40 \cdot 5 \cos 90^\circ$$

$$= 150 + 0$$

$$P_T = 150 \text{ vat}$$

**GÜÇ FAKTÖRÜ:**

Böyle bir devrede güç faktörü,

$$F_p = \cos \theta = \cos 53 = 0.6 \text{ ileri}$$

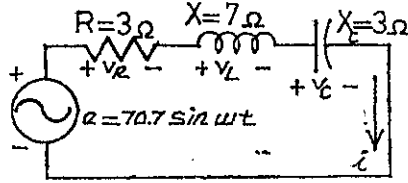
Denklemler (3.8) e göre

$$F_p = \cos \theta = \frac{R}{Z_T} = \frac{6}{10}$$

$$= 0.6 \text{ ileri}$$

R—L—C Devreleri

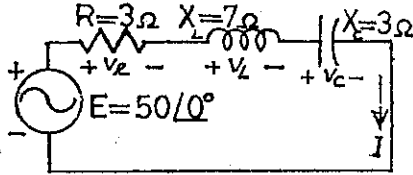
Şekil 3.34



Şekil 3.34

Vektör ifadesi

Şekil 3.35



Şekil 3.35

$Z_T$  :

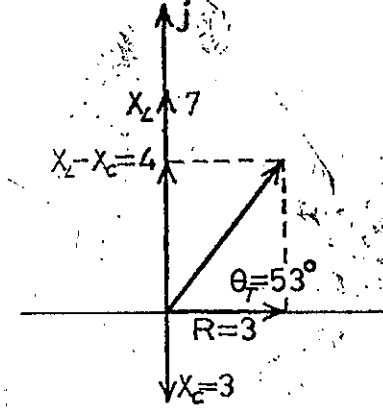
$$Z_T = Z_1 + Z_2 + Z_3 = R / 0^\circ + X_L / 90^\circ + X_C / -90^\circ$$

$$= 3 + j7 - j3$$

$$= 3 + j4$$

$$= 5 / 53^\circ$$

Empedans diyagramı şekil 3.36



Şekil 3.36

I:

$$I = \frac{E}{Z_T} = \frac{50 / 0^\circ}{5 / 53^\circ} = 10 / -53^\circ$$

$V_R, V_L, V_C$

$$V_R = I \cdot R = (10 / -53^\circ) (3 / 0^\circ) = 30 / -53^\circ$$

$$V_L = I \cdot X_L = (10 / -53^\circ) (7 / 90^\circ) = 70 / 37^\circ$$

$$V_C = I \cdot X_C = (10 / -53^\circ) (3 / -90^\circ) = 30 / -143^\circ$$

Kirchoff'un gerilim kanununa göre

$$\Sigma V = E - V_R - V_L - V_C = 0$$

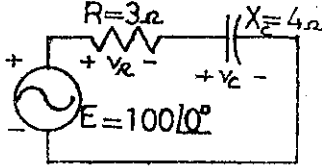
$$E = V_R + V_L + V_C$$

**FAZ DİYAĞRAMI:**

Şekil 3.37 deki faz diyagramında görüldüğü gibi direnç uçlarındaki gerilim akımla aynı fazdadır. İndüktif direnç uçlarında ise gerilim akımdan  $90^\circ$  gerdedir. Kapasitif dirençte ise gerilim akımdan  $90^\circ$  ileridedir.

**ÖRNEK: 3.9**

Gerilim bölme kaidesini kullanarak şekil 3.39 daki devrede her elemanın uçlarındaki gerilimi bulunuz.



Şekil 3.39

**Çözüm:**

$$V_C = \frac{X_C E}{X_C + R} = \frac{(4 / -90^\circ) (100 / 0^\circ)}{4 / -90^\circ + 3 / 0^\circ} = \frac{400 / -90^\circ}{3 - j4}$$

$$= \frac{400 / -90^\circ}{5 / -53^\circ} = 80 / -37^\circ$$

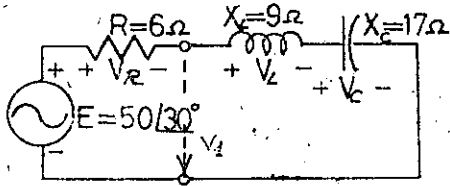
$$V_R = \frac{R E}{X_C + R} = \frac{(3 / 0^\circ) (100 / 0^\circ)}{5 / -53^\circ}$$

$$= \frac{300 / 0^\circ}{5 / -53^\circ}$$

$$= 60 / 53^\circ$$

**ÖRNEK: 3.10**

Gerilim bölme kaidesini kullanarak şekil 3.40 daki devrede  $V_R$ ,  $V_L$ ,  $V_C$  ile  $V_1$  değerlerini bulunuz.



Şekil 3.40

**Çözüm:**

$$V_R = \frac{R E}{R + X_L + X_C} = \frac{(6 / 0^\circ) (50 / 30^\circ)}{6 / 0^\circ + 9 / 90^\circ + 17 / -90^\circ} = \frac{300 / 30^\circ}{6 + j9 - j17}$$

$$= \frac{300 / 30^\circ}{6 - j8} = \frac{300 / 30^\circ}{10 / -53^\circ}$$

$$= 30 / 83^\circ$$

$$V_L = \frac{X_L E}{Z_T} = \frac{(9 / 90^\circ) (50 / 30^\circ)}{10 / -53^\circ} = \frac{450 / 120^\circ}{10 / -53^\circ}$$

$$= 45 / 173^\circ$$

$$V_C = \frac{X_C E}{Z_T} = \frac{(17 / -90^\circ) (50 / 30^\circ)}{10 / -53^\circ} = \frac{850 / -60^\circ}{10 / -53^\circ}$$

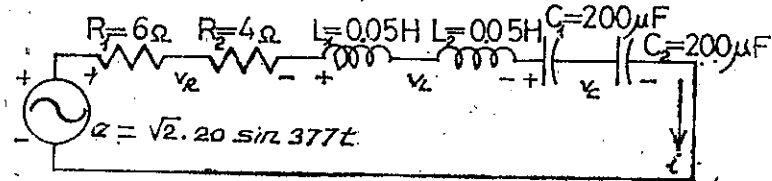
$$= 85 / -7^\circ$$

$$V_1 = \frac{(X_L + X_C) E}{Z_T} = \frac{(9 / 90^\circ + 17 / 90^\circ) (50 / 30^\circ)}{10 / -53^\circ}$$

$$= \frac{(8 / -90^\circ) (50 / 30^\circ)}{10 / -53^\circ} = \frac{400 / -60^\circ}{10 / -53^\circ} = 40 / -7^\circ$$

**ÖRNEK: 3.11**

Şekil 3.41 deki devre için aşağıdaki istenenleri bulunuz.



Şekil 3.41

- a —  $i$ ,  $V_R$ ,  $V_L$ ,  $V_C$  değerlerini  
 b — Toplam güç faktörünü  
 c — Devrede sarfedilen ortalama gücü  
 d — Faz diyagramını  
 e —  $V_R$ ,  $V_L$  ve  $V_C$  değerlerinin toplamı ile  $E$  yi karşılaştırınız.  
 f —  $V_R$  ve  $V_C$  değerlerini gerilim bölme kadiesini kullanarak bulunuz

**Çözüm:**

- a — Devredeki seri bağlı aynı elemanları bir biri ile toplarsak

$$R_T = 6 + 4 = 10 \text{ om}$$

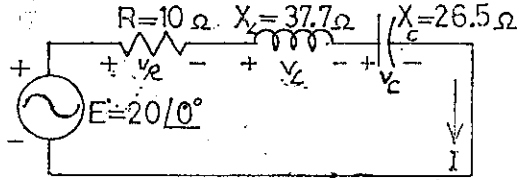
$$L_T = 0.05 + 0.05 = 0.1 \text{ H}$$

$$C_T = \frac{200}{2} = 100 \text{ } \mu\text{F}$$

$$X_L = \omega L = (377) (0.1) = 37.7 \text{ om}$$

$$X_C = \frac{1}{\omega C} = \frac{1}{(377) (10^{-6} \times 10^{-6})} = \frac{10^6}{37.700} = 26.5 \text{ om}$$

Bulunan bu değerlere göre devreyi yeniden çizersek, şekil 3.42



Şekil 3.42

Şekil 3.42 deki devrede

$$Z_T = R / 0^\circ + X_L / 90^\circ + X_C / -90^\circ$$

$$= 10 + j37.7 - j26.5$$

$$Z_T = 10 + j11.2$$

$$= 15 / 48.3^\circ$$

$I$  akımını bulursak

$$I = \frac{E}{Z_T} = \frac{20 / 0^\circ}{15 / 48.3^\circ} = 1.33 / -48.3^\circ$$

Om kanununu kullanarak direnç, indüktör ve kondansatör uçlarındaki gerilimler,

$$V_R = I \cdot R = (1.33 / -48.3^\circ) (10 / 0^\circ) = 13.3 / -48.3^\circ$$

$$V_L = I X_L = (1.33 / -48.3^\circ) (37.7 / 90^\circ) = 50.1 / 41.7^\circ$$

$$V_C = I X_C = (1.33 / -48.3^\circ) (26.5 / -90^\circ) = 35.3 / -138.3^\circ$$

- b — Devreden geçen akımla devreye tatbik edilen gerilim arasındaki açı yani toplam güç faktörü

$$F_p = \cos \theta = \cos 48.3^\circ = 0.67 \text{ geri}$$

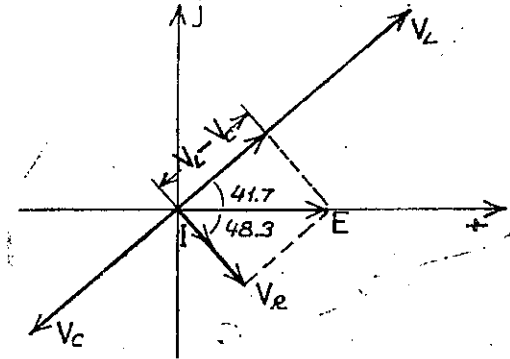
veya

$$F_p = \cos \theta = \frac{R}{Z_T} = \frac{10}{15} = 0.67 \text{ geri}$$

- c — Devrede sarfedilen toplam güç

$$P_T = E \cdot I \cos \theta = (20) (1.33) (0.67) = 17.8 \text{ vat}$$

- d — Devrenin faz diyagramı şekil 3.43 dedir.



Şekil 3.43

c —  $V_R$ ,  $V_L$  ve  $V_C$  değerlerinin toplamı

$$E = V_R + V_L + V_C$$

$$E = 13.3 \angle -48.3^\circ + 50.1 \angle 41.7^\circ + 35.3 \angle -138.3^\circ$$

$$= 13.3 \angle -48.3^\circ + 14.8 \angle 41.7^\circ$$

$$= \sqrt{(13.3)^2 + (14.8)^2}$$

$$E = 20 \text{ ve } \theta_E = 0^\circ \text{ (faz diyagramından)}$$

Böylece

$$E = 20 \angle 0^\circ \text{ olur.}$$

$$f = V_R = \frac{R \cdot E}{Z_T} = \frac{(10 \angle 0^\circ) (20 \angle 0^\circ)}{15 \angle 48.3^\circ} = \frac{200 \angle 0^\circ}{15 \angle 48.3^\circ} = 13.3 \angle -48.3^\circ$$

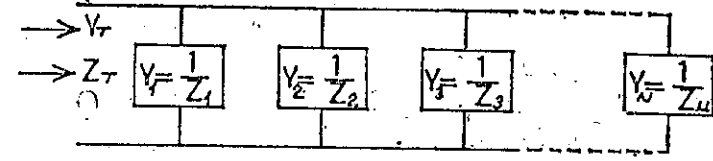
$$V_C = \frac{X_C \cdot E}{Z_T} = \frac{(26.5 \angle -90^\circ) (20 \angle 0^\circ)}{15 \angle 48.3^\circ} = \frac{530 \angle -90^\circ}{15 \angle 48.3^\circ} = 35.3 \angle -138.3^\circ$$

### PARALEL ALTERNATİF AKIM DEVRELERİ

#### 3.5 ADMİTANS ve SÜSEPTANS

Paralel doğru akım devreleri ile paralel alternatif akım devreleri bir birinin benzeridir. Doğru akım devrelerinde iletkenlik (G) harfiyle gösterilir ve  $1/R$  ye eşittir. Paralel devrenin toplam direnci her bir kolun iletkenliklerinin toplamına eşittir. Toplam direnci  $R_T$  ise  $1/G_T$  dir.

Alternatif akım devrelerinde geçirgenlik (Y) harfiyle gösterilir ve  $1/Z$  ye eşittir. (Y) nin birimi om un tersi olan mho dur ve ( $\sigma$ ) ile gösterilir. Bir devrenin geçirgenliği demek o devrenin elektrik akımını ne ne kadar iyi ilettiğini gösterir. Böylece devrenin toplam geçirgenliği paralel kolların geçirgenliklerinin toplamına eşittir. Alternatif akım devrelerinin toplam empedans  $Z_T$  olduğuna göre toplam geçirgenliğin tersine eşittri. Yani  $Z_T = 1/Y_T$  dir. Şekil 3.44 de empedansları paralel olarak bağlanmış bir devre görülmektedir.



Şekil 3.44

$$Y_T = Y_1 + Y_2 + Y_3 + \dots + Y_N \quad (3.10)$$

$Z = 1/Y$  olduğundan

$$\frac{1}{Z_T} = \frac{1}{Z_1} + \frac{1}{Z_2} + \frac{1}{Z_3} + \dots + \frac{1}{Z_N} \quad (3.11)$$

Eğer iki empedans paralel bağlanmış ise

$$\frac{1}{Z_T} = \frac{1}{Z_1} + \frac{1}{Z_2}$$

paralel bağlı iki direncin toplam direncini bulurken yaptığımız gibi paydaları eşitlenerek toplanır ve formül (3.12) elde edilir.

$$Z = \frac{Z_1 \cdot Z_2}{Z_1 + Z_2} \quad (3.12)$$

Eğer üç adet empedans paralel bağlanmış ise toplam empedans aşağıdaki gibidir.

$$Z_T = \frac{Z_1 \cdot Z_2 \cdot Z_3}{Z_1 Z_2 + Z_2 Z_3 + Z_1 Z_3} \quad (3.13)$$

Daha evvelden vurgulandığı gibi iletkenlik direncin tersidir. Yani

$$Y = \frac{1}{R} = \frac{1}{R \angle 0^\circ} = G \angle 0^\circ$$

Böylece

$$G = G \angle 0^\circ \text{ olur.} \quad (3.14)$$

Reaktansın tersine süseptans denir ve  $1/X$  ile ifade edilir. Süseptans bir devrenin elektrik akımının geçişine olan hassasiyetinin bir ölçüsüdür. Bu değer (B) ile gösterilir ve birimi mho ( $\sigma$ ) dur.

İndüktif için:

$$Y = \frac{1}{X_L} = \frac{1}{X_L \angle 90^\circ} = \frac{1}{\omega L \angle 90^\circ} = \frac{1}{\omega L} \angle -90^\circ$$

$$B_L = \frac{1}{X_L} \quad (\text{mho, } \mathcal{S}) \quad (3.15)$$

veya

$$B_L = B_L / -90^\circ \quad (3.16)$$

Dikkat edilirse bobinin frekansı veya indüktansı yükseldikçe bobinin geçirgenliği azalmaktadır veya süseptansı yükselmektedir. Bobinlerin frekans veya indüktans değerlerini yükseltmek suretiyle empedansları çok yükseldiğinden alternatif akım devrelerinde tıkaç bobini olarak kullanılır.

Kondansatör için:

$$Y = \frac{I}{X_C} = \frac{I}{X_C / -90^\circ} = \frac{I}{\frac{1}{\omega C} / -90^\circ} = \omega C / 90^\circ$$

$$B_C = \frac{1}{X_C} \quad (\text{mho, } \mathcal{S}) \quad (3.17)$$

veya

$$B_C = B_C / 90^\circ \quad (3.18)$$

Kondansatör için frekans veya kapasitenin yükselmesi kondansatörün hassasiyetini artırır.

Paralel devrelerde özet olarak,

#### DİRENÇ:

$$Y = \frac{I}{R} = G = G / 0^\circ = G + j0 \quad (3.19)$$

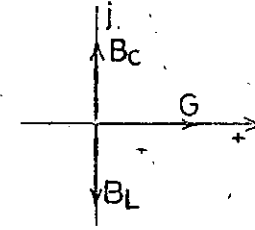
#### İNDÜKTANS:

$$Y = \frac{I}{X_L} = B_L = B_L / -90^\circ = 0 - jB_L \quad (3.20)$$

#### KONDANSATÖR:

$$Y = \frac{I}{X_C} = B_C = B_C / 90^\circ = 0 + jB_C \quad (3.21)$$

Paralel bağlı alternatif akım devreleri için geçirgenlik diyagramı çok kullanılır. Bu diyagram şekil 3.45 de görülmektedir. Bu diyagramda görüldüğü gibi admitans tıpkı rezistans gibi yatay ekseninde gösterilirken kondansatör ve indüktansın süseptans değerleri dikey ekseninde bir birine zıt olarak gösterilir.

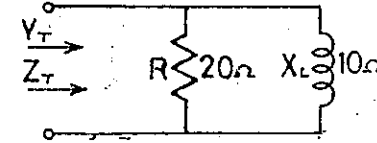


Şekil 3.45

#### ÖRNEK: 3.12

Şekil 3.46 daki devre için

- Her bir paralel kolun admitansını
- Giriş admitansını
- Giriş empedansını
- Admitans diyagramını çiziniz.



Şekil 3.46

**Çözüm:**

$$\begin{aligned} a - Y_1 &= G = G / 0^\circ = \frac{1}{R} / 0^\circ = \frac{1}{20} / 0^\circ \\ &= 0.05 / 0^\circ = 0.05 + j0 \end{aligned}$$

$$\begin{aligned} Y_2 &= B_L = B_L / -90^\circ = \frac{1}{X_L} / -90^\circ = \frac{1}{10} / -90^\circ \\ &= 0.1 / -90^\circ = 0 - j0.1 \end{aligned}$$

$$\begin{aligned} b - Y &= Y_1 + Y_2 = (0.05 + j0) + (0 - j0.1) \\ &= 0.05 + j0.1 = G - jB_L \end{aligned}$$

$$c - Z_T = \frac{1}{Y_T} = \frac{1}{0.05 - j0.1} = \frac{1}{0.112 / -63.4^\circ}$$

$$= 8.95 / 63.4^\circ$$

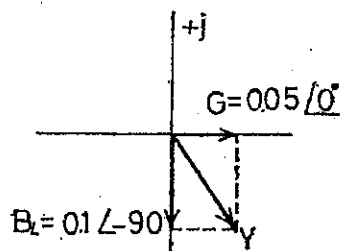
veya

(3.12) deki formülden

$$Z_T = \frac{Z_1 \cdot Z_2}{Z_1 + Z_2} = \frac{(20 / 0^\circ) (10 / 90^\circ)}{20 + j10} =$$

$$= \frac{200 / 90^\circ}{22.4 / 26.6^\circ} = 8.95 / 63.4^\circ$$

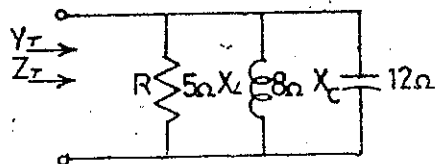
d — Admitans diyagramı şekil 3.47 dedir.



Şekil 3.47

**ÖRNEK: 3.13**

Örnek 12 yi şekil 3.48 deki devre için tekrar ediniz.



Şekil 3.48

Çözüm:

$$a - Y_1 = G = G / 0^\circ = \frac{1}{R} / 0^\circ = \frac{1}{5} / 0^\circ$$

$$= 0.2 / 0^\circ = 0.2 + j0$$

$$Y_2 = B_L = B_L / -90^\circ = \frac{1}{X_L} / -90^\circ = \frac{1}{8} / -90^\circ$$

$$= 0.125 / -90^\circ = 0 - j0.125$$

$$Y_3 = B_C = B_C / 90^\circ = \frac{1}{X_C} / 90^\circ = \frac{1}{12} / 90^\circ$$

$$= 0.0833 / -90^\circ = 0 + j0.0833$$

$$b - Y_T = Y_1 + Y_2 + Y_3$$

$$= (0.2 + j0) + (0 - j0.125) + (0 + j0.0833)$$

$$= 0.2 - j0.0417$$

$$= 0.204 / -11.77^\circ$$

$$c - Z_T = \frac{1}{0.204 / -11.77^\circ} = 4.91 / 11.77^\circ$$

veya

$$Z_T = \frac{Z_1 Z_2 + Z_2 Z_3 + Z_1 Z_3}{Z_1 Z_2 Z_3}$$

$$\frac{(5 / 0^\circ) (8 / 90^\circ) (12 / -90^\circ)}{(5 / 0^\circ) (8 / 90^\circ) + (8 / 90^\circ) (12 / -90^\circ) + (5 / 0^\circ) (12 / -90^\circ)}$$

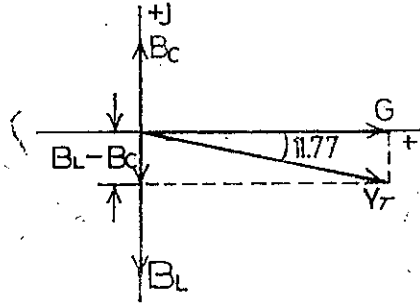
$$= \frac{480 / 0^\circ}{40 / 90^\circ + 96 / 0^\circ + 60 / -90^\circ} = \frac{480 / 0^\circ}{96 + j40 - j60}$$

$$= \frac{480 / 0^\circ}{96 - j20} = \frac{480}{98 / -11.77^\circ}$$

$$Z_T = 4.91 / 11.77^\circ$$



d — Admitans diyagramı şekil 3.49 da görülmektedir.



Şekil 3.49

Pek çok durumlarda  $Y_T = 1/Z_T$  veya  $Z_T = 1/Y_T$  de olduğu gibi (d) in bir kompleks sayı tarafından bölünmesi gerekebilir. Bu gibi durumlarda bölme işleminin yapılabilmesi için pay ve payda, paydanın bileşeni ile çarpılır. Böyle bir bölme işlemi aşağıda verilmiştir.

$$Y_T = \frac{1}{Z_T} = \frac{1}{4 + j6} = \frac{1(4 - j6)}{(4 + j6)(4 - j6)} = \frac{4 - j6}{4^2 + 6^2}$$

$$= \frac{4 - j6}{52}$$

veya

$$Y_T = \frac{4}{52} - j \frac{6}{52}$$

Yapılan bu işlemi formül olarak ifade edersek

$$\frac{1}{a_1 \mp j b_1} = \left( \frac{1}{a_1 \mp j b_1} \right) \left( \frac{a_1 \mp j b_1}{a_1 \mp j b_1} \right) = \frac{a_1 \mp j b_1}{a_1^2 + b_1^2}$$

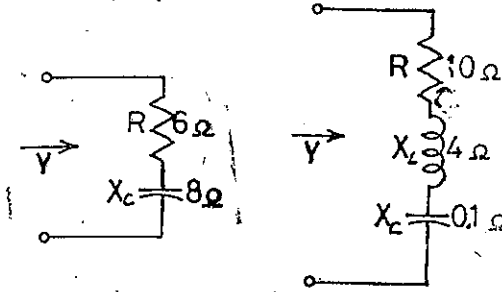
veya

$$\frac{1}{a_1 \mp j b_1} = \frac{a_1}{a_1^2 + b_1^2} \mp j \frac{b_1}{a_1^2 + b_1^2} \quad (3.22)$$

Formüle dikkat edilirse payda her bir terimin karelerinin toplamıdır. Ardındaki işaret ise paydadaki gerçek ve hayali değer arasındaki ilişkiyi gösterir.

### ÖNEK: 3.14

Şekil 3.50 deki devrelerin admitansını bulunuz.



Şekil 3.50

Çözüm:

a —  $Z = 6 - j8$

$$Y = \frac{1}{6 - j8} = \frac{6}{6^2 + 8^2} + j \frac{8}{6^2 + 8^2} = \frac{6}{100} + j \frac{8}{100}$$

b —  $Z = 10 + j4 + (-j0.1) = 10 + j3.9$

$$Y = \frac{1}{Z} = \frac{1}{10 + j3.9} = \frac{10}{10^2 + 3.9^2} - j \frac{3.9}{10^2 + 3.9^2}$$

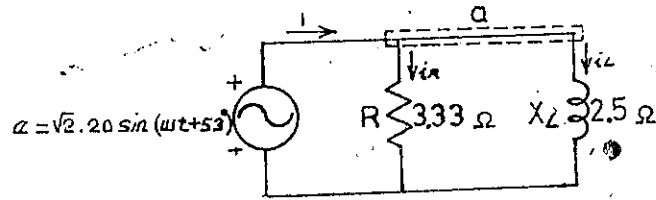
$$= \frac{10}{115.3} - j \frac{3.9}{115.3}$$

Alternatif akım seri devresinin indüktif veya kapasitif olduğunu test etmek için hayali (imaginary) terimin veya (j) nin önündeki işarete bakılır. Eğer bu işaret negatif (—) ise bu paralel devre indüktif bir devredir. Eğer bu işaret pozitif (+) ise o devre kapasitif bir devredir.

### 3.6 R, L — R, C ve R, L, C PARALEL A.A. DEVRELERİ

R, L Devreleri:

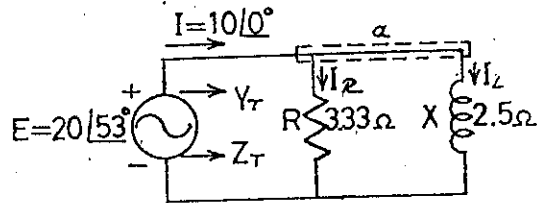
Şekil 3.51



Şekil 3.51

Vektör ifadesi

Şekil 3.52



Şekil 3.52

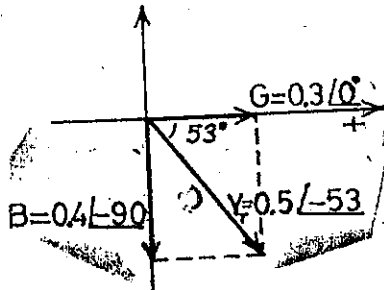
 $Y_T (Z_T)$ 

$$Y_T = Y_1 + Y_2 = G + B_L = \frac{1}{3.33} \angle 0^\circ + \frac{1}{2.5} \angle -90^\circ$$

$$= 0.3 \angle 0^\circ + 0.4 \angle -90^\circ = 0.3 - j0.4 = 0.5 \angle -53^\circ$$

$$Z_T = \frac{1}{Y_T} = \frac{1}{0.5 \angle -53^\circ} = 2 \angle 53^\circ$$

Admitans diyagramı şekil 3.53 deki gibidir.



Şekil 3.53

I :

$$I = \frac{E}{Z_T} = E Y_T = (20 \angle 53^\circ) (0.5 \angle -53^\circ) = 10 \angle 0^\circ$$

 $I_R, I_L$ 

$$I_R = \frac{E}{R} = E \cdot G = (20 \angle 53^\circ) (0.3 \angle 0^\circ) = 6 \angle 53^\circ$$

$$I_L = \frac{E}{X_L} = E \cdot B = (20 \angle 53^\circ) (0.4 \angle -90^\circ) = 8 \angle -37^\circ$$

a düğüm noktasına Kırchhoff'un akım kanununu uygularsak

$$I - I_R - I_L = 0$$

veya

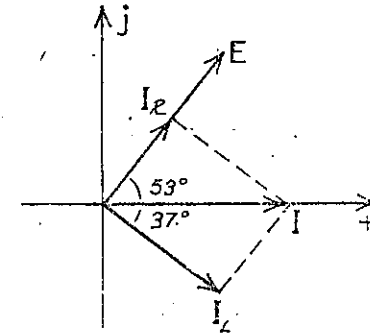
$$I = I_R + I_L$$

$$10 \angle 0^\circ = 6 \angle 53^\circ + 8 \angle -37^\circ$$

$$= (3.6 + j4.8) + (6.4 - j4.8) = 10 + j0$$

$$10 \angle 0^\circ = 10 \angle 0^\circ \text{ (kontrol)}$$

**FAZ DİYAGRAMI:** Şekil 3.54 deki faz diyagramı I akımı ile E gerilimi aynı fazda, ve E gerilimi ile I\_L arasında 90° lik bir açı olup gerilimin I\_L ile aynı olduğunu göstermektedir.



Şekil 3.54

**GÜÇ:**

Böyle bir devrede sarfedilen güç

$$P_T = E \cdot I \cos \theta_T$$

$$= (20) \cdot 10 \cos 53^\circ = 200 \cdot 0.6$$

$$= 120 \text{ vat}$$

veya

$$P_T = I^2 R = \frac{V_R^2}{R} = V_R G = 20^2 \cdot 0.3 = 400 \cdot 0.3 = 120 \text{ vat.}$$

veya

$$\begin{aligned} P_T &= P_R + P_L = E I \cos \theta_R + E I_L \cos \theta_L \\ &= 20 \cdot 6 \cos 0^\circ + 20 \cdot 8 \cos 90^\circ = 120 + 0 \\ &= 120 \text{ vat} \end{aligned}$$

**GÜÇ FAKTÖRÜ:**

$$F_p = \cos \theta = \cos 53^\circ = 0.6 \text{ geri}$$

veya

$$\cos \theta = \frac{P}{EI} = \frac{E^2/R}{EI} = \frac{EG}{I} = \frac{G}{I/V} = \frac{G}{Y_T}$$

$$F_p = \cos \theta = \frac{G}{Y_T} \quad (3.23)$$

Formüldeki G ve  $Y_T$  değerleri toplam iletkenliğin ve admitansın büyüklüğüdür. Buna göre

$$F_p = \cos \theta = \frac{0.3}{0.5} = 0.6 \text{ geri}$$

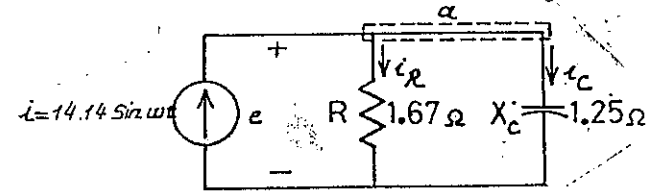
Bu devreden geçen akım I; devrenin toplam empedansı bulunur ve devreye tatbik edilen gerilim bu empedansa bölünerek akım bulunur.

$$\begin{aligned} Z_T &= \frac{Z_1 \cdot Z_2}{Z_1 + Z_2} = \frac{(3.33 / 0^\circ) (2.5 / 90^\circ)}{3.33 / 0^\circ + 2.5 / 90^\circ} = \frac{8.34 / 90^\circ}{4.17 / 37^\circ} \\ &= 2 / 53^\circ \end{aligned}$$

$$I = \frac{E}{Z_T} = \frac{20 / 53^\circ}{2 / 53^\circ} = 10 / 0^\circ$$

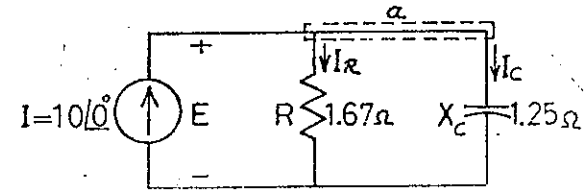
R, C Devreleri

Şekil 3.55



Şekil 3.55

Vektör ifadesi: Şekil 3.56



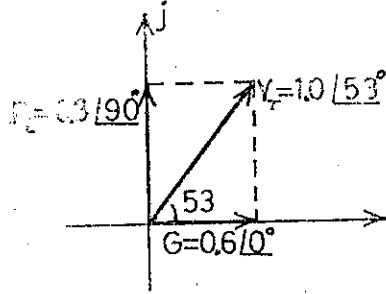
Şekil 3.56

$Y_T (Z_T)$

$$\begin{aligned} Y_T &= Y_1 + Y_2 = G + B_C = \frac{1}{1.67} / 0^\circ + \frac{1}{1.25} / 90^\circ \\ &= 0.6 / 0^\circ + 0.8 / 90^\circ = 0.6 + j0.8 = 1 / 53^\circ \end{aligned}$$

$$Z_T = \frac{1}{Y_T} = \frac{1}{1 / 53^\circ} = 1 / -53^\circ$$

ADMITANS DİYAGRAMI: Şekil 3.57



Şekil 3.57

E:

$$E = I \cdot Z_T = \frac{1}{Y_T} = \frac{10 \angle 0^\circ}{1 \angle 53^\circ} = 10 \angle -53^\circ$$

$I_R, I_C$

$$I_R = E \cdot G = (10 \angle -53^\circ) (0.6 \angle 0^\circ) = 6 \angle -53^\circ$$

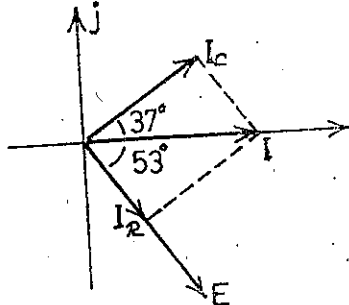
$$I_C = E \cdot B_C = (10 \angle -53^\circ) (0.8 \angle 90^\circ) = 8 \angle 37^\circ$$

a noktasına Kirchoff'un akım kanununu uygularsak

$$I - I_R - I_C = 0$$

$$I = I_R + I_C$$

Faz diyagramı: Şekil 3.58 deki faz diyagramında görüldüğü gibi  $I_R$  akımıyla E gerilimi aynı fazdadır. Ayrıca kondansatörden geçen  $I_C$  akımı ile E gerilim arasında  $90^\circ$  lik açı olup akım ileridir.



Şekil 3.58

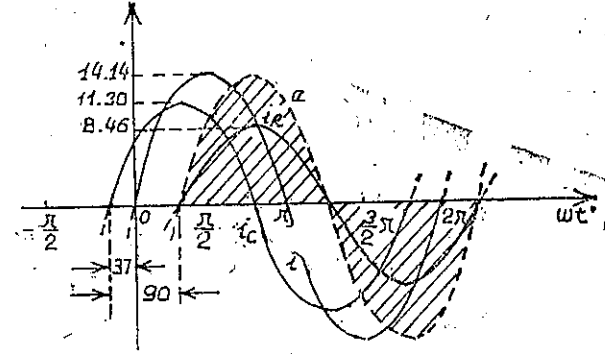
ZAMAN DOMAINİ:

$$e = \sqrt{2} (10) \sin (\omega t - 53^\circ) = 14.14 \sin (\omega t - 53^\circ)$$

$$i_R = \sqrt{2} (6) \sin (\omega t - 53^\circ) = 8.46 \sin (\omega t - 53^\circ)$$

$$i_C = \sqrt{2} (8) \sin (\omega t + 37^\circ) = 11.3 \sin (\omega t + 37^\circ)$$

Bu gerilim ve akımların eğrileri şekil 3.59 da görülmektedir.



Şekil 3.59

Güç:

$$P_T = E \cdot I \cos \theta = 10 \cdot 10 \cos 53^\circ = 100 \cdot 0.6 = 60 \text{ vat}$$

veya

$$P_T = E^2 \cdot G = 10^2 \cdot 0.6 = 60 \text{ vat}$$

veya

$$P_T = P_R + P_C = E I_R \cos \theta_R + E I_C \cos \theta_C \\ = 10 \cdot 6 \cos 0^\circ + 10 \cdot 8 \cos 90^\circ = 60 \text{ vat}$$

Güç Faktörü: Böyle bir devrede güç faktörü

$$F_p = \cos 53^\circ = 0.6 \text{ ileri}$$

veya

$$F_p = \cos \theta = \frac{G}{Y_T} = \frac{0.6}{1} = 0.6 \text{ ileri}$$

Devreye tatbik edilen gerilim devrenin toplam empedansı bulunarak akım ile çarpılmak suretiyle bulunur. Buna göre

$$Z_T = \frac{Z_1 \cdot Z_2}{Z_1 + Z_2} = \frac{(1.67 / 0^\circ) (1.25 / -90^\circ)}{1.67 / 0^\circ + 1.25 / -90^\circ} = \frac{2.09 / -90^\circ}{2.09 / -37^\circ}$$

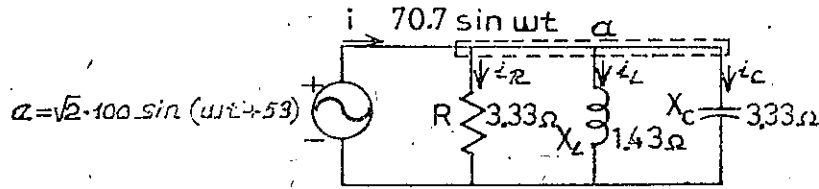
$$= 1 / -53^\circ$$

Om kanununu kullanarak

$$E = I \cdot Z_T = (10 / 0^\circ) (1 / -53^\circ) = 10 / -53^\circ$$

### R, L, C DEVRELER

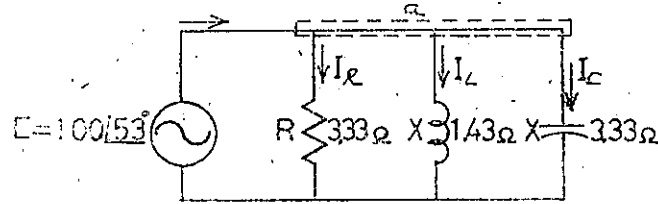
Şekil 3.60



Şekil 3.60

Vektör ifadesi

Şekil 3.61



Şekil 3.61

$Y_T (Z_T)$

$$Y_T = Y_1 + Y_2 + Y_3 = G + B_L + B_C$$

$$= \frac{1}{3.33} / 0^\circ + \frac{1}{1.43} / -90^\circ + \frac{1}{3.33} / 90^\circ$$

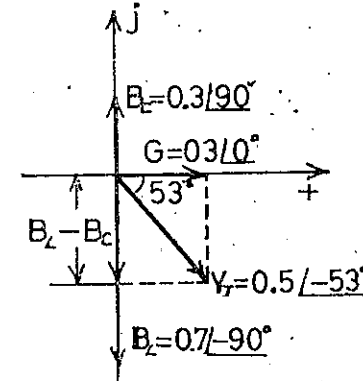
$$= 0.3 / 0^\circ + 0.7 / -90^\circ + 0.3 / 90^\circ$$

$$= 0.3 - J0.7 + J0.3$$

$$Y_T = 0.3 - J0.4 = 0.5 / -53^\circ$$

$$Z_T = \frac{1}{Y_T} = \frac{1}{0.5 / -53^\circ} = 2 / 53^\circ$$

Admitans diyagramı: Şekil 3.62



Şekil 3.62

I:

$$I = \frac{E}{Z_T} = E Y_T = (100 / 53^\circ) (0.5 / -53^\circ) = 50 / 0^\circ$$

$I_R, I_L, I_C$

$$I_R = E G = (100 / 53^\circ) (0.3 / 0^\circ) = 30 / 53^\circ$$

$$I_L = E B_L = (100 / 53^\circ) (0.7 / -90^\circ) = 70 / -37^\circ$$

$$I_C = E B_C = (100 / 53^\circ) (0.3 / 90^\circ) = 30 / 143^\circ$$

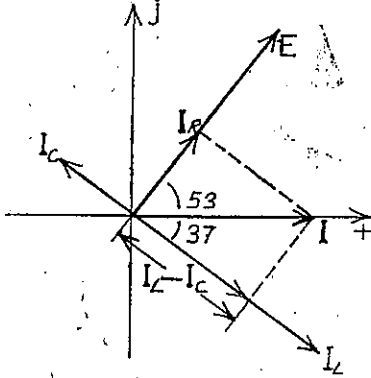
a noktasına Kirchoff'un akım kanunu tatbik edilirse

$$I - I_R - I_L - I_C = 0$$

veya

$$I = I_R + I_L + I_C$$

Faz diyagramı: Şekil 3.63 de görüldüğü gibi E gerilim ile  $I_R$  akımı aynı fazdadır. İndüktanstan geçen  $I_L$  akımı ile E gerilimi arasında  $90^\circ$  lik açı olup akım geridir. Kondansatör den geçen akımla gerilim arasında da  $90^\circ$  lik açı olup akım ileridir.



Şekil 3.63

### ZAMAN DOMAINİ:

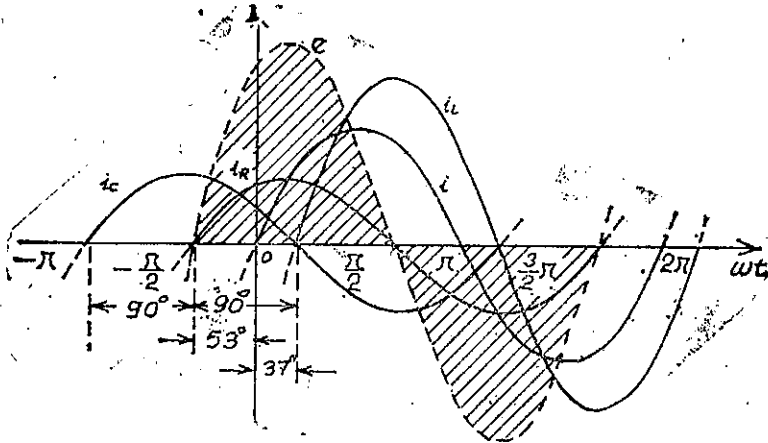
$$i = \sqrt{2} (50) \sin \omega t = 70.7 \sin \omega t$$

$$i_R = \sqrt{2} (30) \sin (\omega t + 53^\circ) = 42.4 \sin (\omega t + 53^\circ)$$

$$i_L = \sqrt{2} (70) \sin (\omega t - 37^\circ) = 99 \sin (\omega t - 37^\circ)$$

$$i_C = \sqrt{2} (30) \sin (\omega t + 143^\circ) = 42.4 \sin (\omega t + 143^\circ)$$

Elde edilen bu akım değerlerine göre çizilen eğriler şekil 3.64 de görülmektedir.



Şekil 3.64

### GÜÇ:

Böyle bir devrede sarfedilen toplam güç,

$$P_T = E \cdot I \cos \theta = 100 \cdot 50 \cos 53^\circ = 5000 \cdot 0.6 = 3000 \text{ vat}$$

veya

$$P_T = E^2 \cdot G = 100^2 \cdot 0.3 = 3000 \text{ vat}$$

veya

$$P_T = P_R + P_L + P_C$$

$$= E I_R \cos \theta + E I_L \cos \theta + E I_C \cos \theta$$

$$= 100 \cdot 30 \cos 0^\circ + 100 \cdot 70 \cos 90^\circ + 100 \cdot 30 \cos 90^\circ$$

$$= 3000 + 0 + 0$$

$$= 3000 \text{ vat}$$

### GÜÇ Faktörü:

Böyle bir devrenin güç faktörü,

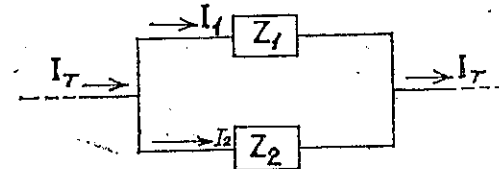
$$F_p = \cos \theta_T = \cos 53^\circ = 0.6 \text{ ileri}$$

veya

$$F_p = \cos \theta_T = \frac{G}{Y_T} = \frac{0.3}{0.5} = 0.6 \text{ ileri}$$

### 3.7 AKIM BÖLME KAİDESİ:

Alternatif akım devrelerinde akım bölme kaidesi doğru akım devrelerindeki gibi aynıdır. Bu kaide şekil 3.65 deki gibi  $Z_1$  ve  $Z_2$  empedanslarının paralel bağlanmasıyla  $I_1$  ve  $I_2$  akımları aşağıdaki gibi bulunur.

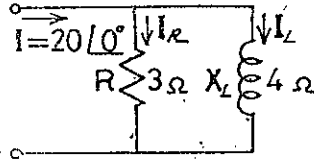


Şekil 3.65

$$I_1 = \frac{Z_2 I_T}{Z_1 + Z_2} \text{ veya } I_2 = \frac{Z_1 I_T}{Z_1 + Z_2} \quad (3.24)$$

**ÖRNEK: 3.15**

Akım bölme kaidesini kullanarak şekil 3.66 daki devrede  $I_R$  ve  $I_L$  akımlarını bulunuz.



Şekil 3.66

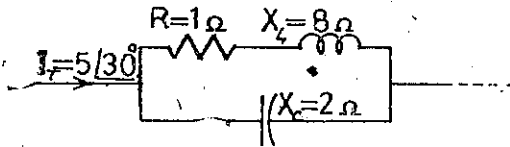
**Cözüm:**

$$I_R = \frac{X_L I_T}{R + X_L} = \frac{(4 / 90^\circ) (20 / 0^\circ)}{3 / 0^\circ + 4 / 90^\circ} = \frac{80 / 90^\circ}{5 / 53^\circ} = 16 / 37^\circ$$

$$I_L = \frac{R I_T}{R + X_L} = \frac{(3 / 0^\circ) (20 / 0^\circ)}{5 / 53^\circ} = \frac{60 / 0^\circ}{5 / 53^\circ} = 12 / -53^\circ$$

**ÖRNEK: 3.16**

Akım bölme kaidesini kullanarak şekil 3.67 deki devrede akımları bulunuz.



Şekil 3.67

**Cözüm:**

$$I_{R-L} = \frac{X_C I_T}{X_C + R_{R-L}} = \frac{(2 / -90^\circ) (5 / 30^\circ)}{-j2 + 1 + j8} = \frac{10 / -60^\circ}{1 + j6}$$

$$= \frac{10 / -60^\circ}{6.08 / 80.5^\circ} = 1.65 / -140.6^\circ$$

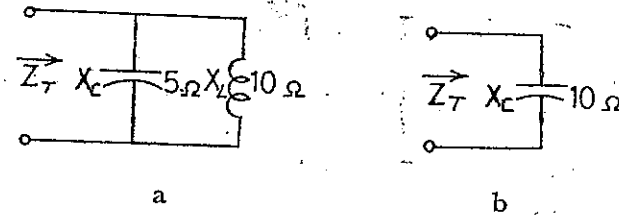
$$I_C = \frac{Z_{R-L} I_T}{Z_{R-L} + X_C} = \frac{(1 + j8) (5 / 30^\circ)}{6.08 / 80.6^\circ}$$

$$= \frac{(8.06 / 82.9^\circ) (5 / 30^\circ)}{6.08 / 80.6^\circ} = \frac{40.3 / 112.9^\circ}{6.08 / 80.6^\circ}$$

$$= 6.62 / 32.3^\circ$$

**3.8 EŞDEĞER DEVRELER**

Alternatif akım seri devrelerinde iki veya daha fazla değişik değerli empedansların, toplamı, bu empedansların devreye yaptıkları etkiyi tek başına yapan başka bir elemandır. Bu elemanın değeri içerdiği pek çok elemanların değerlerinin seri devreleri için toplamına eşittir. Bu eşdeğerlik kavramı paralel devreler için de doğrudur. Şekil 3.68 a daki devre için aşağıdaki gibidir.

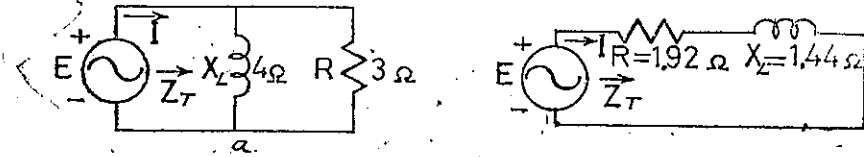


Şekil 3.68

$$Z_T = \frac{X_C X_L}{X_C + X_L} = \frac{(5 / -90^\circ) (10 / 90^\circ)}{5 / -90^\circ + 10 / 90^\circ} = \frac{50 / 0^\circ}{5 / 90^\circ}$$

$$= 10 / -90^\circ$$

Uygulanan frekans değerine göre toplam empedansı  $10 / -90^\circ$  olan devre reaktansı  $10 \text{ om}$  olan bir kondansatörün yaptığı etkiye eşittir. Böylece bu devre şekil 3. 68 b deki gibi bir devre olarak çizilebilir. Elde edilen bu eşdeğer devre sadece belli bir frekans değeri için doğrudur. Eğer frekans değişirse her bir elemanın reaktansıda değişir. Buna bağlı olarak eşdeğer devrede değişir. Bu değişim belli frekansın o değeri için kapasitif yerine indüktif bir devre olabilir. Empedansların paralel bağlanmasıyla meydana gelen devrelerde başka bir durum şekil 3.69 a daki bir devrede empedans dik bileşen koordinatları şeklinde bulunur. Yani



Şekil 3.69

$$Z_T = \frac{X_L R}{X_L + R} = \frac{(4 / 90^\circ) (3 / 0^\circ)}{4 / 90^\circ + 3 / 0^\circ} = \frac{12 / 90^\circ}{5 / 53^\circ} = 2.4 / 37^\circ \text{ veya}$$

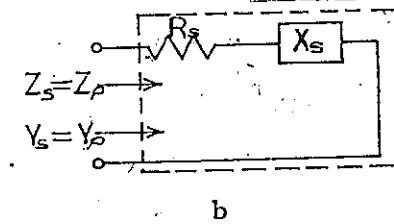
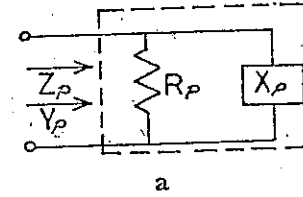
$$= 1.92 + j1.44$$

Elde edilen bu sonuca göre  $1.92 \text{ om}$ luk bir direnç ile  $1.44 \text{ om}$ luk bir reaktans seri bağlı durumdadır. Başka bir ifadeyle şekil 3.69 a daki paralel bağlı iki elemandan ibaret devrenin eşdeğeri şekil 3.69 b deki gibi iki elemanın seri bağlanmasıyla meydana gelen seri bir devredir. Bu devrelerden görüldüğü gibi devreden geçen  $I$  akımı, eğer devreye tatbik edilen  $E$  gerilimi sabit ise  $I$  akımında her iki devre için aynıdır.

Bir dirençten ve bir reaktif elemandan meydana gelen paralel bir devrede giriş empedansı seri devredesine eşit olan ve bir direnç ile bir reaktif elemandan meydana gelen seri bir devredir. Seri devredeki her bir elemanın empedansı paralel bağlı devredeki elemanların empedanslarından farklıdır. Böyle bir paralel ve seri devredeki reaktif elemanın cinsi daima aynıdır. Yani paralel devrede eleman indüktif ise seri devrede de indüktiftir.

Eğer paralel devre R-L veya R-C elemanlarından meydana gelmiş ise bu devrenin eşdeğeri olan seri devre yine R-L den veya R-C den meydana gelir. Bu kural devreyi seriden paralel bağlantıya çevirirken yine doğrudur.

Eşdeğer devreler için eşdeğer sözcüğünün anlamı sabit uygulama gerilimi için devrenin giriş empedansı ve akımı da sabittir. Seri ve paralel devreler arasındaki eşdeğerlik formülü aşağıdaki gibidir. Seri eşdeğer devrenin direnci ve paralelin reaktansı devrenin toplam empedansı dik bileşenler formu olarak şekil 3.70 a daki devre için aşağıdaki gibidir.



Şekil 3.70

$$Y_p = \frac{1}{R_p} + \mp j \frac{1}{X_p} \text{ dir.}$$

$$Z_p = \frac{1}{Y_p} = \frac{1}{(1/R_p) \mp j (1/X_p)}$$

$$= \frac{1/R_p}{(1/R_p)^2 + (1/X_p)^2} \mp j \frac{1/X_p}{(1/R_p)^2 + (1/X_p)^2}$$

Pay ve payda  $R_p^2 X_p^2$  ile çarpılırsa

$$Z_p = \frac{R_p X_p^2}{X_p^2 + R_p^2} \mp j \frac{R_p^2 X_p}{X_p^2 + R_p^2} = R_s \mp j X_s \text{ (şekil 3.70 b)}$$



$$R_s = \frac{R_p X_p^2}{X_p^2 + R_p^2} \quad (3.25)$$

$$X_s = \frac{R_p^2 X_p}{X_p^2 + R_p^2} \quad (3.26)$$

Şekil 3.69 daki devre için

$$R_s = \frac{R_p X_p^2}{X_p^2 + R_p^2} = \frac{3 \cdot 4^2}{4^2 + 3^2} = \frac{48}{25} = 1.92 \text{ om}$$

$$X_s = \frac{R_p^2 X_p}{X_p^2 + R_p^2} = \frac{3^2 \cdot 4}{25} = \frac{36}{25} = 1.44 \text{ om}$$

Görüldüğü gibi bu sonuçlar daha evvel bulunan sonuçların aynıdır.

Eşdeğer paralel devre için bir devrede seri bağlı direnç ve rektanslar basitçe sistemin toplam geçirgenliği dik bileşenler formunda bulunabilir. Bunu şekil 3.70 b deki devreye uygularsak

$$Z_s = R_s \mp jX_s$$

$$Y_s = \frac{1}{Z_s} = \frac{1}{R_s \mp jX_s} = \frac{R_s}{R_s^2 + X_s^2} \mp j \frac{X_s}{R_s^2 + X_s^2}$$

$$= G_p \mp j B_p = \frac{1}{R_p} \mp j \frac{1}{X_p} \quad (\text{şekil 3.70 a})$$

$$R_p = \frac{R_s^2 + X_s^2}{R_s} \quad (3.27)$$

$$X_p = \frac{R_s^2 + X_s^2}{X_s} \quad (3.28)$$

Yukarıdaki örnek için

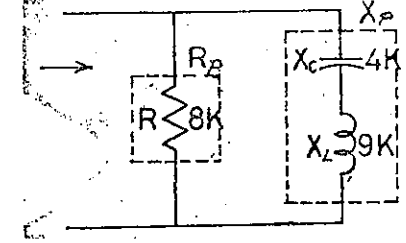
$$R_p = \frac{R_s^2 + X_s^2}{R_s} = \frac{(1.92)^2 + (1.44)^2}{1.92} = \frac{5.76}{1.92} = 3 \text{ om}$$

$$X_p = \frac{R_s^2 + X_s^2}{X_s} = \frac{5.76}{1.44} = 4 \text{ om}$$

Görüldüğü gibi bu sonuçlar şekil 3.69 a daki paralel devrenin elemanlarının değerlerinin aynıdır.

### ÖRNEK: 3.17

Şekil 3.71 deki devrenin seri eşdeğerini bulunuz.



Şekil 3.71

**Çözüm:**

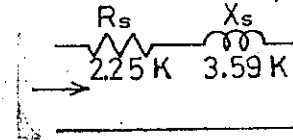
$$R_p = 8 \text{ K}$$

$$X_p = |X_L - X_C| = |9 - 4| = 5 \text{ K}$$

$$R_s = \frac{R_p X_p^2}{X_p^2 + R_p^2} = \frac{8 \cdot 5^2}{8^2 + 5^2} = \frac{200}{89} = 2.25 \text{ K}$$

$$X_s = \frac{R_p^2 X_p}{X_p^2 + R_p^2} = \frac{8^2 \cdot 5}{89} = \frac{64.5}{89} = \frac{320}{89} = 3.59 \text{ K}$$

Eşdeğer seri devre şekil 3.72 deki gibidir.

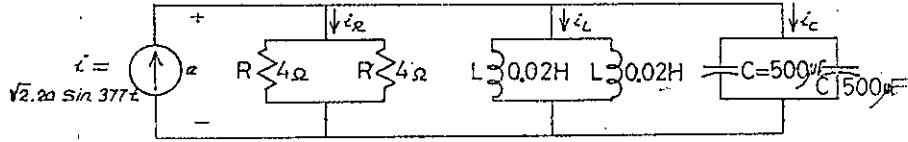


Şekil 3.72

### ÖRNEK: 3.18

Şekil 3.73 deki devrede

- a — e,  $i_R$ ,  $i_L$ ,  $i_C$  değerlerini bulunuz.  
 b — Toplam güç faktörünü  
 c — Sarfedilen toplam gücü  
 d — Faz diyagramını  
 e —  $I_R$ ,  $I_L$ ,  $I_C$  akım değerlerinin vektörel toplamının  $I$  olduğuna gösteriniz.  
 f —  $X_L$  ve  $X_C$  nin paralel bağlı olduğuna göre empedansını ve  $I_R$  akımını akım bölme kaidesi ile bulunuz.  
 g — Bulunan toplam empedans ve akım için bu devrenin seri eşdeğerini çiziniz.



Şekil 3.73

**Çözüm:**

- a — Aynı elemanların toplam reaktans ve direnci bulunursa

$$R_T = \frac{R}{2} = \frac{4}{2} = 2 \text{ om}$$

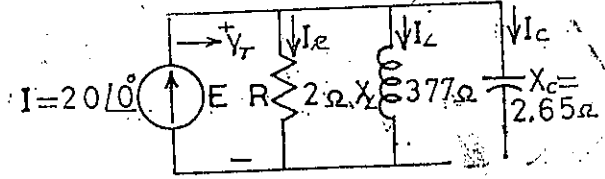
$$L_T = \frac{0.02}{2} = 0.01 \text{ H}$$

$$C_T = 500 \mu\text{F} + 500 \mu\text{F} = 1000 \mu\text{F}$$

$$X_L = \omega L = 377 (0.01) = 3.77 \text{ om}$$

$$X_C = \frac{1}{\omega C} = \frac{1}{(377) (10^3 \times 10^{-6})} = 2.65 \text{ om}$$

Bu sonuçlara göre devre şekil 3.74 deki gibi tekrar çizilebilir.



Şekil 3.74

Bu devrenin toplam admittansı

$$Y_T = Y_1 + Y_2 + Y_3 = G + B_L + B_C$$

$$= \frac{1}{2} / 0^\circ + \frac{1}{3.77} / -90^\circ + \frac{1}{2.65} / 90^\circ$$

$$= 0.5 / 0^\circ + 0.265 / -90^\circ + 0.377 / 90^\circ$$

$$= 0.5 - j0.265 + j0.377$$

$$Y_T = 0.5 + j0.112 = 0.51 / 12.1^\circ$$

Giriş gerilimi

$$E = \frac{I}{Y_T} = \frac{20 / 0^\circ}{0.51 / 12.1^\circ} = 39.2 / -12.1^\circ$$

Om kanunu yardımıyla direğten, indükstan ve kondansatörden geçen akımlar bulunursa,

$$I_R = E G = (39.2 / -12.1^\circ) (0.5 / 0^\circ) = 19.6 / -12.1^\circ$$

$$I_L = E B_L = (39.2 / -12.1^\circ) (0.265 / -90^\circ) = 10.4 / -102.1^\circ$$

$$I_C = E B_C = (39.2 / -12.1^\circ) (0.377 / 90^\circ) = 14.8 / 77.9^\circ$$

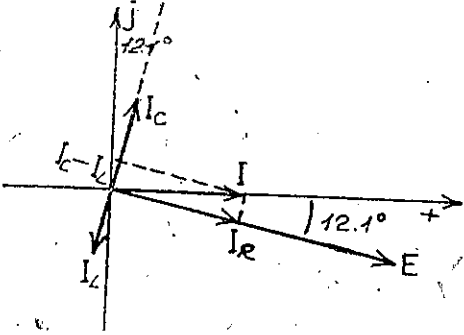
- b — Toplam güç faktörü

$$F_p = \cos \theta = \frac{G}{Y_T} = \frac{0.5}{0.51} = 0.98$$

- c — Sarfedilen toplam güç

$$P_T = I_R R = E^2 \cdot G = (39.2)^2 \cdot (0.5) = (1535) \cdot (0.5) = 768 \text{ vat}$$

d — Faz diyagramı şekil 3.75 de görülmektedir.



Şekil 3.75

e —  $I_R, I_L, I_C$  nin vektörel toplamı

$$\begin{aligned} I &= I_R + I_L + I_C \\ &= 19.6 \angle -12.1^\circ + 10.4 \angle -102.1^\circ + 14.8 \angle 77.9^\circ \\ &= 19.6 \angle -12.1^\circ + 4.4 \angle 77.9^\circ \end{aligned}$$

$$I = \sqrt{(19.6)^2 + (4.4)^2} = 20 \text{ Amper ve } \theta_T = 0^\circ \text{ dir}$$

$\theta_T = 0^\circ$  (vektör diyagramından alınır)

$$I_T = 20 \angle 0^\circ$$

f —  $X_L$  ve  $X_C$  nin paralel olmasıyla toplam empedans aşağıdaki gibidir.

$$\begin{aligned} Z_{T1} &= \frac{X_L X_C}{X_L + X_C} = \frac{(3.77 \angle 90^\circ) (2.65 \angle -90^\circ)}{3.77 \angle 90^\circ + 2.65 \angle -90^\circ} = \frac{10 \angle 0^\circ}{1.12 \angle 90^\circ} \\ &= 8.92 \angle -90^\circ \end{aligned}$$

Akım bölme kaidelerini kullanarak  $I_R$  akımı bulunursa

$$I_R = \frac{Z_{T1} I}{Z_{T1} + R} = \frac{(8.92 \angle -90^\circ) (20 \angle 0^\circ)}{8.92 \angle -90^\circ + 22 \angle 0^\circ} = \frac{178 \angle -90^\circ}{9.15 \angle -77.9^\circ}$$

$$I_R = 19.6 \angle -12.1^\circ$$

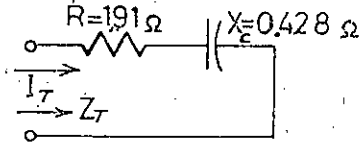
$$g - Z_T = \frac{1}{Y_T} = \frac{1}{0.51 \angle 12.1^\circ} = 1.96 \angle -12.1^\circ$$

Bu sonucu dik bileşenler formunda ifade edersek

$$Z_T = 1.91 - j0.428$$

$$C = \frac{1}{\omega X_C} = \frac{1}{377 (0.428)} = 0.0062 \text{ F} = 6200 \mu\text{F}$$

Bulunan bu değerlere göre çizilen eşdeğer devre şekil 3.76 daki gibidir.



Şekil 3.76

f bölümünden elde edilen  $Z_{T1}$  ve 3.19 ile 3.20 nolu formüllerden  $R_s$  ve  $X_s$  değerleri bulunduğunda  $Z_{T1} = X_p$  olduğu görülür.

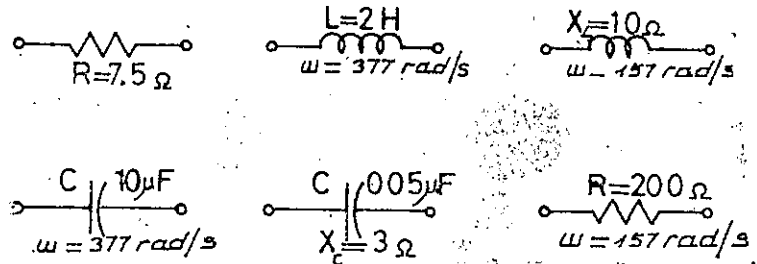
$$R_s = \frac{R_p X_p^2}{X_p^2 + R_p^2} = \frac{2 (8.92)^2}{(8.92)^2 + 2^2} = \frac{1.59}{83.5} = 1.91 \text{ om}$$

$$X_s = \frac{R_p^2 X_p}{X_p^2 + R_p^2} = \frac{2^2 (8.92)}{83.5} = \frac{35.68}{83.5} = 0.428 \text{ om}$$

## PROBLEMLER

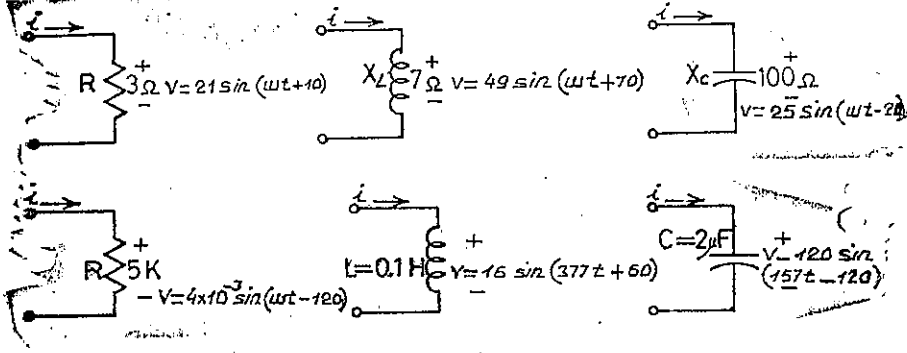
### Bölüm 3.2

1 — Şekil 3.77 deki değerleri kutupsal ve dik bileşenler formu olarak ifade ediniz.



Şekil 3.77

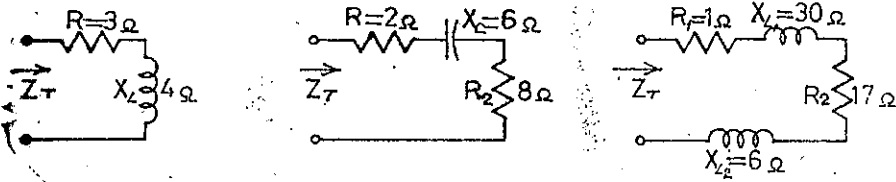
- 2 — Vektör matematiği kullanarak şekil 3.78'deki devrelerin  $i$  akımını bulunuz. Ayrıca  $i$  ve  $e$  nin eğrilerini çiziniz.



Şekil 3.78

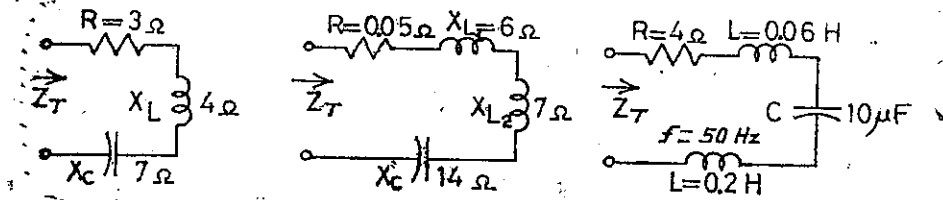
## Bölüm 3.3

- 3 — Şekil 3.79'deki devrelerde toplam empedansı bulunuz ve bu sonuçlara kutupsal ve dik bileşenler formunda ifade ediniz. Ayrıca empedans diyagramını çiziniz.



Şekil 3.79

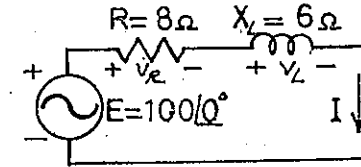
- 4 — Problem 3'ü şekil 3.80'deki devreler için tekrar ediniz.



Şekil 3.80

- 5 — Şekil 3.81'deki devrede

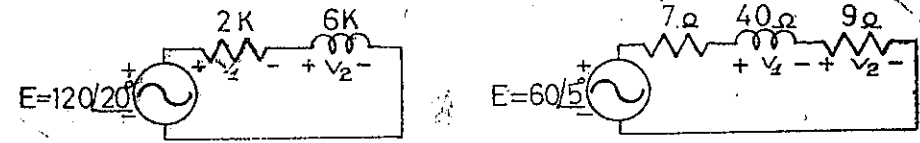
- Toplam empedansı ( $Z_T$ ) kutupsal form olarak bulunuz.
- Empedans diyagramını çiziniz.
- $i$  akımını ve  $V_R$  ile  $V_L$  değerlerini vektör olarak bulunuz.
- $E$ ,  $V_R$  ve  $V_L$  ile  $i$  değerleri için faz diyagramını çiziniz.
- Sarfedilen toplam gücü bulunuz.
- Güç faktörünü bulunuz ve akımla gerilim durumunu belirtiniz.
- Frekans 50 Hz olduğuna göre akım ve gerilimin sinüsoidal ifadesini bulunuz.
- Gerilimler ve akımın değerlerini aynı eksende göstererek eğrilerini çiziniz.



Şekil 3.81

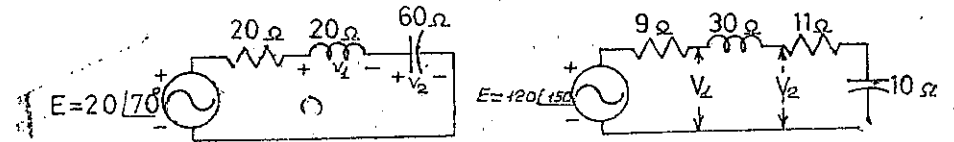
## Bölüm 3.4

- 6 — Şekil 3.82'deki devrede  $V_1$  ve  $V_2$  gerilimlerini gerilim bölme kaidesi kullanarak bulunuz.



Şekil 3.82

- 7 — Problem 6'yı şekil 3.83 için tekrar ediniz.

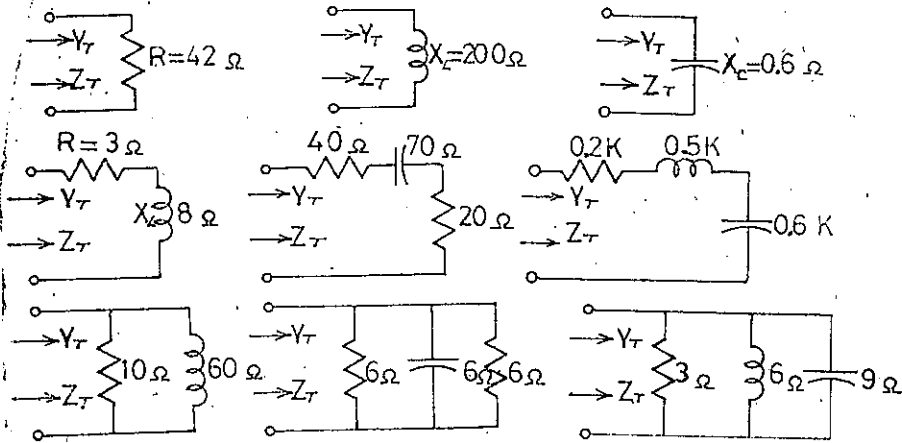


Şekil 3.83

- 8 — Güç faktörü 0.8 geri olan bir yük 8 kw lık bir güç sarfediyor. Gerilim 200 v. olduğuna göre yükün empedansını dik bileşenler formunda bulunuz.

### Bölüm 3.5

- 9 — Şekil 3.84 deki devrelerde toplam admitansı ve empedansı bulunuz. Bu devrelerin admitansını ve süseptansını tanımlayarak admitans diyagramını çiziniz.

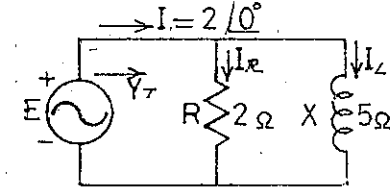


Şekil 3.84

### Bölüm 3.6

- 10 — Şekil 3.85 deki devrede

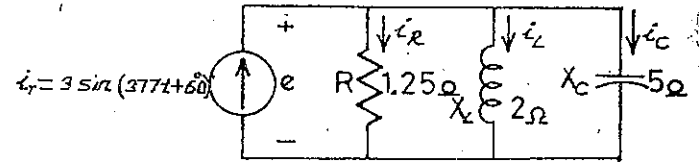
- Toplam admitansı ( $Y_T$ ) yi kutupsal formda bulunuz
- Admitans diyagramını çiziniz.
- E gerilimini ve  $I_R$ ,  $I_L$  yi vektör olarak bulunuz.
- E gerilimi ile  $I_T$ ,  $I_R$  ve  $I_L$  nin vektör diyagramını çiziniz.
- Sarfedilen gücü bulunuz.
- Güç faktörünü ve akımla gerilim arasındaki açıya göre devrenin indüktif veya kapasitif olduğunu araştırınız.
- Frekans 50 Hz olduğuna göre akım ve gerilimin sinüsoidal ifadesini bulunuz.
- Akım ve gerilimi aynı eksen üzerinde göstererek eğrilerini çiziniz.



Şekil 3.85

- 11 — Şekil 3.86 daki devrede

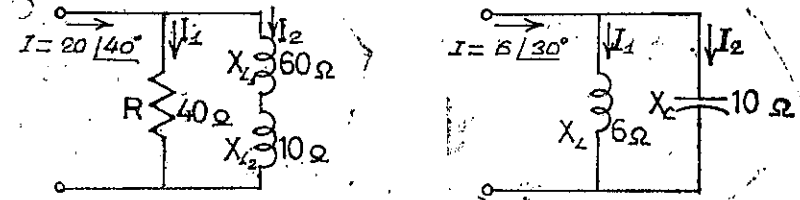
- Toplam admitansı kutupsal formda bulunuz.
- Admitans diyagramını çiziniz.
- Kapasiteyi (C) mikrofarat ve indüktansı (L) henri olarak bulunuz.
- e,  $i_R$ ,  $i_L$ ,  $i_C$  değerlerini vektör olarak bulunuz.
- $I_T$ ,  $I_R$ ,  $I_L$ ,  $I_C$  ve E değerlerinin vektör diyagramlarını çiziniz.
- Sarfedilen gücü bulunuz.
- Akımla gerilimin sinüsoidal ifadesini bulunuz.
- Akım ve gerilim değerlerini aynı eksen üzerinde göstererek eğrilerini çiziniz.



Şekil 3.86

### Bölüm 3.7

- 12 — Akım bölme kaidesini kullanarak şekil 3.87 deki devrelerde  $I_1$  ve  $I_2$  akımlarını bulunuz. Ayrıca toplam empedansa göre seri eşdeğer devreyi çiziniz.

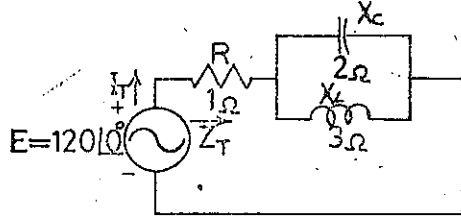


Şekil 3.87

## 4.2 ÖRNEK PROBLEMLER

## ÖRNEK: 4.1

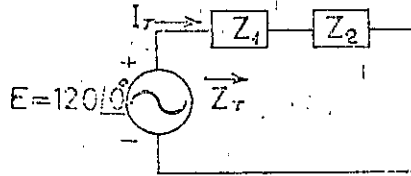
Şekil 4.1 deki devrede aşağıdaki istenenleri bulunuz.



Şekil 4.1

- $Z_T$
- $I_T$
- $I_C$
- $V_R$  ve  $V_C$
- Sarfedilen güç
- $F_p$  gü faktörü

Bu devreyi basitleştirmek için şekil 4.2 deki gibi tekrar çizilebilir. Kompleks devrelerin çözümünü yapılırken devreyi basitleştirmek için empedans değerleri şeklinde göstermek çok faydalıdır. Empedans içindeki bilinmeyen değer hesaplanır ve asıl devrede yerine konur.



Şekil 4.2

**Çözüm:**

$$a - Z_1 = R \angle 0^\circ = 1 \angle 0^\circ$$

$$Z^2 = X_C \parallel X_L$$

$$= \frac{X_C X_L}{X_C + X_L} = \frac{(2 \angle -90^\circ)(3 \angle 90^\circ)}{-j2 + j3} = \frac{6 \angle 0^\circ}{j1}$$

$$= \frac{6 \angle 0^\circ}{1 \angle 90^\circ} = 6 \angle -90^\circ$$

ve

$$Z_T = Z_1 + Z_2 = 1 - j6 = 6.08 \angle -80.5^\circ$$

$$b - I_T = \frac{E}{Z_T} = \frac{120 \angle 0^\circ}{6.08 \angle -80.5^\circ} = 19.75 \angle 80.5^\circ$$

c — Akım bölme kaidesini kullanarak

$$I_C = \frac{X_L I_T}{X_L + X_C} = \frac{(3 \angle 90^\circ)(19.75 \angle 80.5^\circ)}{1 \angle 90^\circ}$$

$$= \frac{59.25 \angle 170.5^\circ}{1 \angle 90^\circ} = 59.25 \angle 80.5^\circ$$

$$d - V_R = I_T Z_1 = (19.75 \angle 80.5^\circ)(1 \angle 0^\circ) = 19.75 \angle 80.5^\circ$$

$$V_C = I_T Z_2 = (19.75 \angle 80.5^\circ)(6 \angle -90^\circ) = 118.5 \angle -9.5^\circ$$

$$e - P_s = I_T^2 R = (19.75)^2 \cdot 1 = 390 \text{ vat}$$

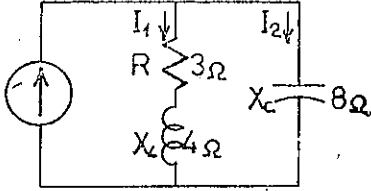
$$f - F_p = \cos \theta = \cos 80.5^\circ = 0.165 \text{ ileri}$$

Bu sonuca göre devre oldukça reaktiftir. Güç faktörü  $F_p$  sifıra çok yakındır. Bunun anlamı bu devre çok reaktif ve az omiktir.

**ÖRNEK: 4.2**

Şekil 4.3 deki devre için

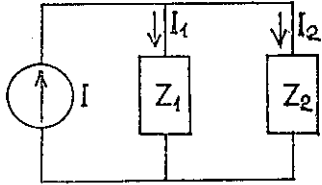
- a — Eğer  $I = 50 \angle 30^\circ$  ise akım bölme kaidesini kullanarak  $I_1$  akımını bulunuz.  
 b — Bölüm a yı  $I_2$  için tekrar ediniz.  
 c — Kirchhoff'un akım kanununun doğruluğunu isbat ediniz.



Şekil 4.3

**Çözüm:**

- a — Devreyi empedans değerleriyle tekrar çizersek şekil 4.4



Şekil 4.4

$$Z_1 = 3 + j4 = 5 \angle 53^\circ$$

$$Z_2 = -j8 = 8 \angle -90^\circ$$

Akım bölme kaidesini kullanarak

$$I_1 = \frac{Z_2 \cdot I}{Z_2 + Z_1}$$

$$= \frac{(8 \angle -90^\circ) (50 \angle 30^\circ)}{(-j8) + 3 + j4} = \frac{400 \angle -60^\circ}{3 + j4}$$

$$= \frac{400 \angle -60^\circ}{5 \angle -53^\circ} = 80 \angle -7^\circ$$

$$b - I_2 = \frac{Z_1 \cdot I}{Z_2 + Z_1} = \frac{(5 \angle 53^\circ) (50 \angle 30^\circ)}{5 \angle -53^\circ} = \frac{250 \angle 83^\circ}{5 \angle -53^\circ}$$

$$= 50 \angle 136^\circ$$

$$c - I = I_1 + I_2$$

$$50 \angle 30^\circ = 80 \angle -7^\circ + 50 \angle 136^\circ$$

$$= (79.2 - j9.68) + (-35.9 + j34.7)$$

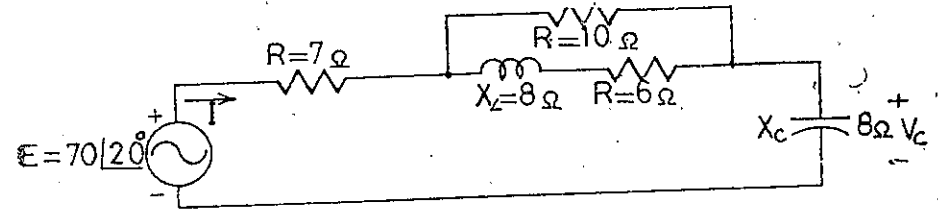
$$= 43.3 + j25.02$$

$$50 \angle 30^\circ = 50 \angle 30^\circ \text{ (kontrol)}$$

**ÖRNEK: 4.3**

Şekil 4.5 deki devrede

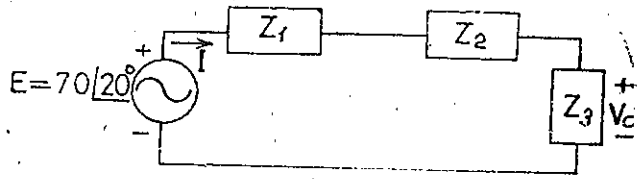
- a —  $V_c$  gerilimini bulunuz.  
 b —  $I$  akımını bulunuz.



Şekil 4.5

**Çözüm:**

- a — Devreyi şekil 4.6 daki gibi tekrar çizersek



Şekil 4.6

$$Z_1 = 7 \angle 0^\circ \quad Z_3 = 8 \angle -90^\circ = -j8$$

$$Z_2 = \frac{R_1 (R_2 + jX_L)}{R_1 + (R_2 + jX_L)} = \frac{10 (6 + j8)}{10 + 6 + j8} = \frac{10 (10 \angle 53^\circ)}{16 + j8}$$

$$= \frac{100 \angle 53^\circ}{17.9 \angle 26.6^\circ}$$

$$= 5.59 \angle 26.4^\circ$$

$$V_C = \frac{Z_3 \cdot E}{Z_1 + Z_2 + Z_3} = \frac{(8 \angle -90^\circ) (70 \angle 20^\circ)}{7 + 5.59 \angle 26.4^\circ - j8}$$

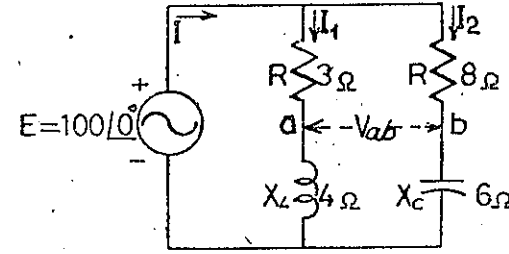
$$= \frac{560 \angle -70^\circ}{7 + (5 + j2.48) - j8} = \frac{560 \angle -70^\circ}{13.2 \angle -24.7^\circ}$$

$$= 42.5 \angle -45.3^\circ$$

$$\mathbf{b} \quad I = \frac{V_C}{X_C} = \frac{42.5 \angle -45.3^\circ}{8 \angle -90^\circ} = 5.32 \angle 44.7^\circ$$

**ÖRNEK: 4.4**

Şekil 4.7 deki devrede

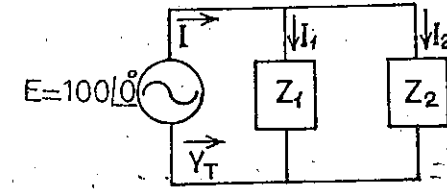
**a** — I akımını**b** —  $V_{ab}$  gerilimini bulunuz.

Şekil 4.7

**Çözüm:****a** — Devreyi şekil 4.8 deki gibi tekrar çizersek

$$Z_1 = 3 + j4 = 5 \angle 53^\circ$$

$$Z_2 = 8 - j6 = 10 \angle -37^\circ$$



Şekil 4.8

$$Y_T = Y_1 + Y_2 = \frac{1}{Z_1} + \frac{1}{Z_2} = \frac{1}{5 \angle 53^\circ} + \frac{1}{10 \angle -37^\circ}$$

$$= 0.2 \angle -53^\circ + 0.1 \angle 37^\circ$$

$$= (0.12 - j0.16) + (0.08 + j0.06)$$

$$= 0.2 - j0.1 = 0.224 \angle -26.6^\circ$$

**Om Kanununu kullanarak**

$$I = \frac{E}{Z_T} = E Y_T = (100 \angle 0^\circ) (0.224 \angle 26.6^\circ)$$

$$I = 22.4 \angle -36.6^\circ$$



Başka bir teknik kullanarak devreyi görmek için ilk önce toplam empedansın bulunması gerekir. Buna göre

$$Z = \frac{Z_1 \cdot Z_2}{Z_1 + Z_2} = \frac{(5 \angle 53^\circ)(10 \angle -37^\circ)}{(3 + j4) + (8 - j6)}$$

$$= \frac{50 \angle 16^\circ}{11 - j2} = \frac{50 \angle 16^\circ}{11.2 \angle -10.6^\circ}$$

$$Z_T = 4.46 \angle 26.26^\circ$$

ve

$$I = \frac{E}{Z_T} = \frac{100 \angle 0^\circ}{4.46 \angle 26.6^\circ} = 22.4 \angle -26.6^\circ$$

b — Om kanununu kullanarak

$$I_1 = \frac{E}{Z_1} = \frac{100 \angle 0^\circ}{5 \angle 53^\circ} = 20 \angle -53^\circ$$

$$I_2 = \frac{E}{Z_2} = \frac{10 \angle -37^\circ}{100 \angle 0^\circ} = 10 \angle 37^\circ$$

Şekil 4.7 deki devrede

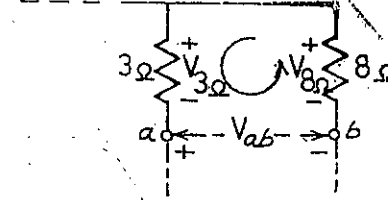
$$V_{3\Omega} = I_1 \cdot R = (20 \angle -53^\circ)(3 \angle 0^\circ) = 60 \angle -53^\circ$$

$$V_{8\Omega} = I_2 \cdot R = (10 \angle 37^\circ)(8 \angle 0^\circ) = 80 \angle 37^\circ$$

$V_{3\Omega}$  veya  $V_{8\Omega}$  gerilim değerleri gerilim bölme kaidesi ile daha kısa yoldan bulunabilir.

$$V_{3\Omega} = \frac{(3 \angle 0^\circ)(100 \angle 0^\circ)}{3 \angle 0^\circ + 4 \angle 90^\circ} = \frac{300 \angle 0^\circ}{5 \angle 53^\circ} = 60 \angle -53^\circ$$

$V_{ab}$  gerilimini bulmak için şekil 4.9 daki devreye Kirchhoff'un gerilim kanunu tatbik edilmelidir.



Şekil 4.9

$$-V_{ab} + V_{8\Omega} - V_{3\Omega} = 0$$

veya

$$V_{ab} = V_{8\Omega} - V_{3\Omega}$$

$$= 80 \angle 37^\circ - 60 \angle -53^\circ$$

$$= (64 + j48) - (36 - j48)$$

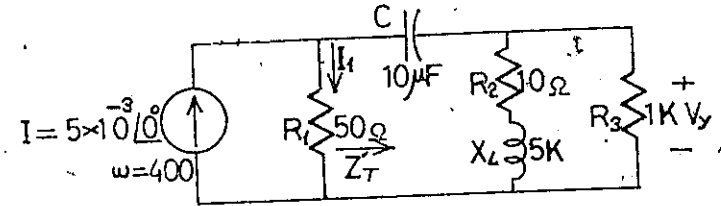
$$= 28 + j96$$

$$V_{ab} = 100 \angle 73.8^\circ$$

ÖRNEK: 4.5

Şekil 4.10 daki devrede

- $Z_T$  değerini bulunuz ve  $R_1 = 50 \text{ K}$  la karşılaştırınız.
- $I_1$  değerini bulunuz ve  $I$  ile karşılaştırınız.
- $V_y$  gerilimini bulunuz.

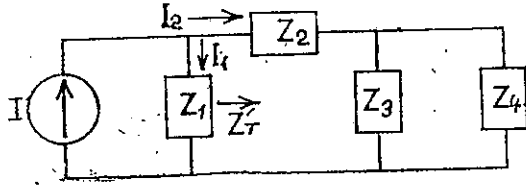


Şekil 4.10

Çözüm:

$$\begin{aligned}
 a - X_C &= \frac{1}{\omega C} = \frac{1}{400 (10) \times 10^{-6}} \\
 &= \frac{10^6}{4 \times 10^{-3}} \\
 &= \frac{10^3}{4} = 250 \text{ om veya } 0.25 \text{ K}
 \end{aligned}$$

Devre şekil 4.11 deki gibi tekrar çizilirse



Şekil 4.11

$$Z_T = 50 \text{ K}$$

$$Z_2 = 0.25 \text{ K} \angle -90^\circ = -j0.25 \text{ K}$$

$$Z_3 = 10 + j5 \text{ K} = 5 \angle 90^\circ$$

$$Z_4 = 1 \text{ K}$$

$$Z_T = Z_2 + Z_3 \parallel Z_4$$

$$Z_T = -j0.25 + \frac{(5 \angle 90^\circ)(1 \angle 0^\circ)}{(j5 + 1 \text{ K})}$$

$$= -j0.25 + \frac{5 \angle 90^\circ}{5.1 \angle 78.7^\circ}$$

$$= -j0.25 + 0.98 \angle 11.3^\circ$$

$$= j0.25 + (0.96 + j0.192)$$

$$Z_T = 0.96 - j0.058 = 0.962 \angle -3.4^\circ$$

ve

$$Z_T = \frac{1}{50} Z_1 \text{ in büyüklüğü } Z_1 = 50 \text{ K}$$

$$\begin{aligned}
 b - I_1 &= \frac{Z_T I}{Z_T + Z_1} \\
 &= \frac{(0.962 \angle -3.4^\circ)(5 \times 10^{-3} \angle 0^\circ)}{(0.96 - j0.058) + 50} = \frac{4.81 \angle -3.4^\circ}{50.96} \\
 &= 0.0945 \times 10^{-3} \angle -3.4^\circ \\
 I_1 &= 94.5 \times 10^{-6} \angle -3.4^\circ
 \end{aligned}$$

Böylece  $I_1$  in büyüklüğü  $I$  nin büyüklüğünün  $\frac{1}{50}$  sidir.

$$c - |I_1| = \frac{1}{50} |I|$$

$$I_2 = I = 5 \times 10^{-3} \angle 0^\circ$$

$$V_{\text{yük}} = I_2 (Z_3 \parallel Z_4) = (5 \times 10^{-3} \angle 0^\circ)(0.98 \angle 11.3^\circ)$$

$$= 4.9 \angle 11.3^\circ$$

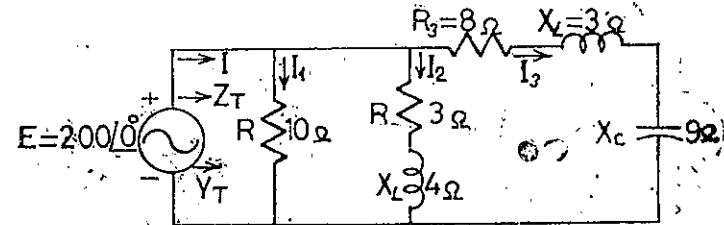
ÖRNEK: 4.6

Şekil 4.12 deki devrede

a —  $I$  akımınıb —  $I_1, I_2, I_3$  akımlarını bulunuz.

c — Kirchhoff'un akım kanununu ispatlayınız.

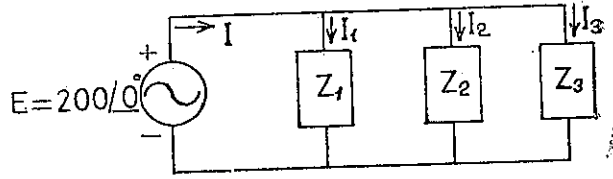
d — Devrenin toplam empedansını bulunuz.



Şekil 4.12

Çözüm:

Devreyi şekil 4.13 deki gibi tekrar çizersek



Şekil 4.13

$$Z_1 = 10 \angle 0^\circ$$

$$Z_2 = 3 + j4$$

$$Z_3 = 8 + j3 - j9 = 8 - j6$$

Toplam geçirgenlik

$$Y_T = Y_1 + Y_2 + Y_3$$

$$= \frac{1}{Z_1} + \frac{1}{Z_2} + \frac{1}{Z_3} = \frac{1}{10} + \frac{1}{3 + j4} + \frac{1}{8 - j6}$$

$$\frac{1}{3 + j4} = \frac{3}{3^2 + 4^2} - j \frac{4}{3^2 + 4^2} = \frac{3}{25} - j \frac{4}{25}$$

ve

$$\frac{1}{8 - j6} = \frac{8}{8^2 + 6^2} + j \frac{6}{8^2 + 6^2} = \frac{8}{100} + j \frac{6}{100}$$

$$Y_1 = \frac{1}{10} + j0 = \frac{10}{100} + j0$$

$$Y_2 = \frac{3}{25} - j \frac{4}{25} = \frac{12}{100} - j \frac{16}{100}$$

$$Y_3 = \frac{8}{100} + j \frac{6}{100} = \frac{8}{100} + j \frac{6}{100}$$

$$Y_T = Y_1 + Y_2 + Y_3 = \frac{30}{100} - j \frac{10}{100}$$

$$I = E \cdot Y_T = 200 \angle 0^\circ \left[ \frac{30}{100} - j \frac{10}{100} \right] = 60 - j20$$

$$b - I_1 = \frac{E}{Z_1} = \frac{200 \angle 0^\circ}{10 \angle 0^\circ} = 20 \angle 0^\circ$$

$$I_2 = \frac{E}{Z_2} = \frac{200 \angle 0^\circ}{5 \angle 53^\circ} = 40 \angle -53^\circ$$

$$I_3 = \frac{E}{Z_3} = \frac{200 \angle 0^\circ}{10 \angle -37^\circ} = 20 \angle 37^\circ$$

$$c - I = I_1 + I_2 + I_3$$

$$60 - j20 = 20 \angle 0^\circ + 40 \angle -53^\circ + 20 \angle 37^\circ$$

$$= (20 + j0) + (24 - j32) + (16 + j12)$$

$$60 - j20 = 60 - j20 \text{ (kontrol)}$$

$$d - Z_T = \frac{1}{Y_T} = \frac{1}{0.3 - j0.1} = \frac{0.3}{(0.3)^2 + (0.1)^2} + j \frac{0.1}{(0.3)^2 + (0.1)^2}$$

$$Z_T = \frac{0.3}{0.1} + j \frac{0.1}{0.1} = 3 + j$$

$$Z_T = 3 + j$$

ÖRNEK: 4.7

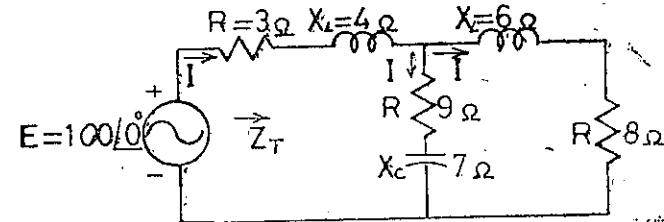
Şekil 4.14 deki devrede

a — Toplam empedans  $Z_T$  yib —  $I$  akımını

c — Güç faktörünü

d —  $I_1$  ve  $I_2$  akımlarını

e — Sarfedilen gücü bulunuz.



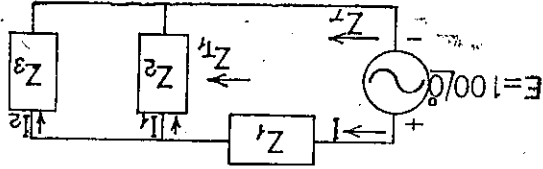
Şekil 4.14

a — Devreyi şekil 4.15 deki gibi tekrar çizersek.

$$Z_1 = 3 + j4 = 5 \angle 53^\circ$$

$$Z_2 = 9 - j7 = 11.4 \angle -37.9^\circ$$

$$Z_3 = 8 + j6 = 10 \angle 37^\circ$$



Şekil 4.15

Toplam empedans

$$Z_T = Z_1 + Z_{T1} = Z_1 + \frac{Z_2 Z_3}{Z_2 + Z_3} = (3 + j4) + \frac{(11.4 \angle -37.9^\circ)(10 \angle 37^\circ)}{(9 - j7) + (8 + j6)}$$

$$= 3 + j4 + \frac{11.4 \angle -0.9^\circ}{17 \angle -3.4^\circ} = 3 + j4 + 6.71 \angle 2.5^\circ$$

$$= 3 + j4 + 6.71 + j0.28$$

$$Z_T = 9.71 + j4.28 = 10.6 \angle 23.8^\circ$$

$$b — I = \frac{E}{Z_T} = \frac{100 \angle 0^\circ}{10.6 \angle 23.8^\circ} = 9.44 \angle -23.8^\circ$$

$$c — F_p = \cos \theta = \frac{R}{Z_T} = \frac{9.71}{10.6} = 0.915 = \cos 23.8^\circ$$

$$d — I_2 = \frac{Z_3 \cdot I}{Z_2 + Z_3} = \frac{(11.4 \angle -37.9^\circ)(9.44 \angle -23.8^\circ)}{(9 - j7) + (8 + j6)}$$

$$= \frac{107.5 \angle -61.7^\circ}{17 - j1} = \frac{107.5 \angle -61.7^\circ}{17 \angle -3.4^\circ}$$

$$I_2 = 6.32 \angle 58.3^\circ$$

Kirchhoff'un akım kanununu uygularsak

$$I = I_1 + I_2$$

veya  $\odot$

$$I_1 = I - I_2$$

$$= (9.44 \angle -23.8^\circ) - 6.32 \angle -58.3^\circ$$

$$= 8.63 - j3.78 - (3.35 - j5.37)$$

$$I_1 = 5.28 + j1.59$$

e —  $P_T = E \cdot I \cos \theta$

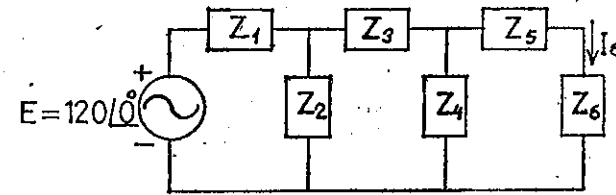
$$= 100 \cdot 9.44 \cos 23.8^\circ$$

$$= 944 \cdot (0.915)$$

$$P_T = 864 \text{ vat}$$

### 4.3 LADDER DEVRELER

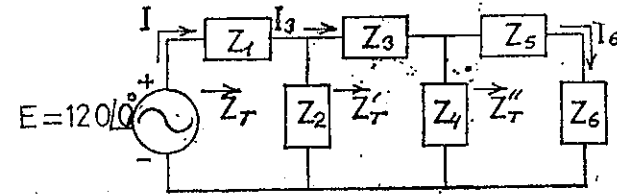
Bu bölümde ladder devre diye tanımlanan devre çeşitlerini çözmek için kullanılan yöntemler incelenecektir. Örnek olarak şekil 4.16 da görülen bir devrede  $I_6$  akımının bulunması gerekirse bu akım aşağıda açıklanacak yöntemlerden biriyle kolayca bulunabilir.



Şekil 4.16

### BİRİNCİ YÖNTEM

Empedanslar  $Z_T$ ,  $Z_T'$ , ve  $Z_T''$  ile akımlar  $I_1$ ,  $I_3$  şekil 4.17 deki devrede gösterildiği gibidir.



Şekil 4.17

$$Z''_T = Z_5 + Z_6$$

ve

$$Z'_T = Z_3 + Z_4 \parallel Z''_T$$

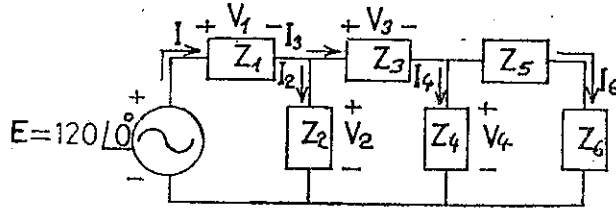
$$Z_T = Z_1 + Z_2 \parallel Z'_T$$

$$I = \frac{E}{Z_T}, \quad I_3 = \frac{Z_2 I}{Z_2 + Z'_T}$$

$$I_6 = \frac{Z_4 I_3}{Z_4 + Z''_T} \text{ olarak bulunur.}$$

### İKİNCİ YÖNTEM

Bu yöntem için akım, gerilim ve empedanslar için gerekli harflendirme şekil 4.18 de görülmektedir. Bu devrede  $I_6$  akımını bulmak için takip edilecek iş sırası devrenin çözümü için aşağıdaki gibidir.



Şekil 4.18

$$I_6 = \frac{V_4}{Z_5 + Z_6}$$

$$V_4 = I_6 (Z_5 + Z_6)$$

$$I_4 = \frac{V_4}{Z_4} = I_6 \frac{(Z_5 + Z_6)}{Z_4}$$

$$I_3 = I_4 + I_6$$

$$V_3 = I_3 \cdot Z_3 \text{ (} I_6 \text{ nin fonksiyonu)}$$

$$V_2 = V_3 + V_4 \text{ (} I_6 \text{ nin fonksiyonu)}$$

$$I = I_1 = I_2 + I_3$$

$$V_1 = I_1 \cdot Z_1$$

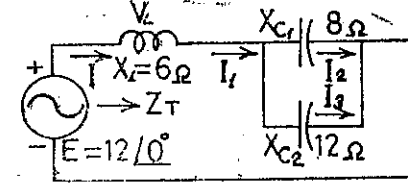
$E = V_1 + V_2$  ( $V_1$  ve  $V_2$ ,  $I_6$  nin fonksiyonudur veya  $I_6$  nin bulunması için yardımcı elemanlardır).

### PROBLEMLER

#### Bölüm 4.2

1 — Şekil 4.19 daki devrede aşağıdaki değerleri bulunuz.

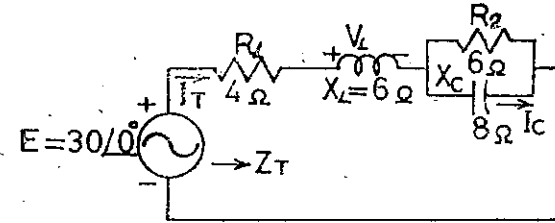
- a —  $Z_T$
- b —  $I$
- c —  $I_1$
- d —  $I_2$  ve  $I_3$
- e —  $V_L$



Şekil 4.19

2 — Şekil 4.20 deki devrede

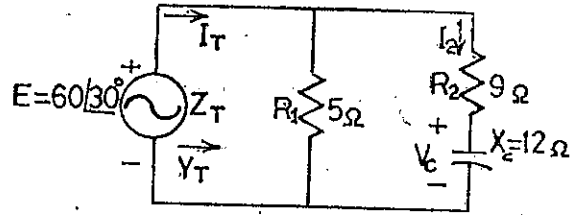
- a — Toplam empedansı  $Z_T$
- b — Toplam akımı  $I_T$
- c —  $I_C$  akımını (akım bölme kaidesini kullanarak)
- d —  $V_L$  gerilimini (gerilim bölme kaidesini kullanarak) bulunuz.



Şekil 4.20

3 — Şekil 4.21 deki devrede

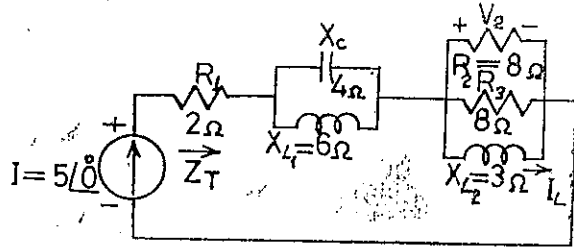
- a — Toplam empedans  $Z_T$  ve geçirenlik  $Y_T$  yi
- b —  $I_T$  toplam akımını
- c —  $I_2$  akımını (akım bölme kaidesini kullanarak)
- d —  $V_C$  gerilimini
- e — Sarfedilen toplam gücü bulunuz.



Şekil 4.21

4 — Şekil 4.22 deki devrede

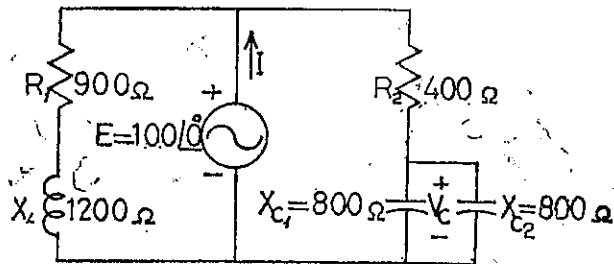
- $Z_T$  yi
- $V_2$  gerilimini ve  $I_L$  akımını
- Güç faktörünü bulunuz.



Şekil 4.22

5 — Şekil 4.23 deki devrede

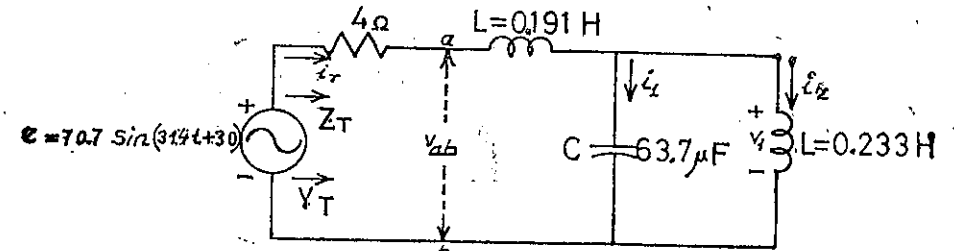
- $I$  akımını
- $V_C$  gerilimini
- Sarfedilen güç bulunuz.



Şekil 4.23

6 — Şekil 4.24 deki devrede aşağıdaki istenenleri bulunuz.

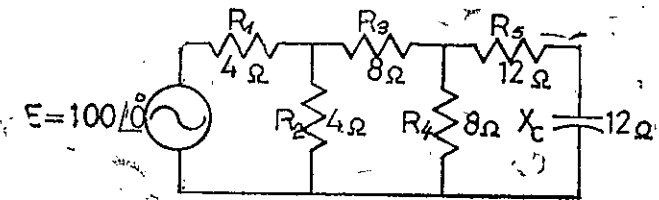
- $Z_T$  ve  $Y_T$  yi
- $I_T$  akımını (vektörel olarak)
- $i_1$  ve  $i_2$  akımlarını
- $V_1$  ve  $V_{ab}$  gerilimlerini (vektörel olarak)
- Sarfedilen gücü
- Devrenin güç faktörünü bulunuz ve bu güç faktörünün ileri veya geri olduğunu belirtiniz.



Şekil 4.24

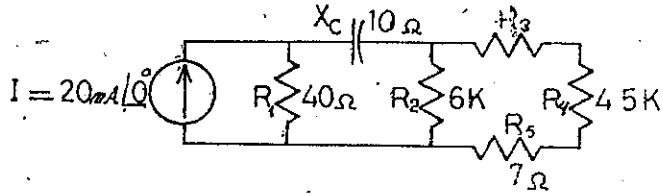
#### Bölüm 4.6

7 — Şekil 4.25 deki devrede  $I_3$  akımını bulunuz. Hesaplama da reaktif elemanın etkisine dikkat ediniz.



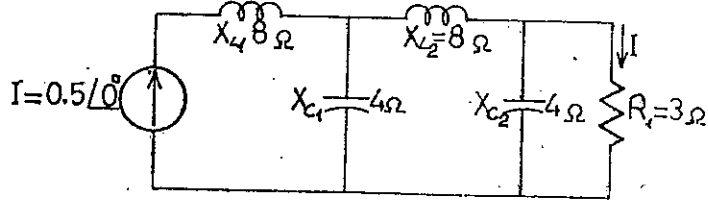
Şekil 4.25

8 — Şekil 4.26 daki devrede  $R_5$  direncinde sarfedilen gücü bulunuz.



Şekil 4.26

9 — Şekil 4.27 deki devrede  $I_1$  akımını bulunuz.



Şekil 4.27

## (a.a.) SEÇİLMİŞ KONULAR ve ANALİZ YÖNTEMLERİ

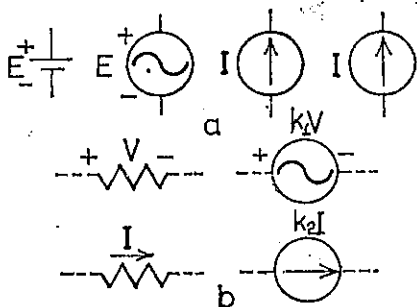
### 5.1 GİRİŞ

Kaynakları seri veya paralel bağlı olmayan iki veya daha fazla kaynağa sahip devrelerin çözümünde bölüm üç ve dörtte anlatılan yöntemleri kullanma olasılığı olmayabilir. Bu gibi devrelerin çözümünde çevre akımları yöntemi veya düğüm noktaları analiz teknikleri kullanılmalıdır. Bu teknikler hakkında doğru akım konusu işlerken gerekli bilgiler verilmişti. Bu bölümün sonunda alternatif akım devrelerinin çözümü ile ilgili bütün yöntemler anlatılacağı için bu devrelerin çözümünde okuyucunun bir problemi kalmıyacaktır. Ayrıca bu bölümde daha evvelden anlatılan tekniklere ilaveten köprü bağlı devreler, üçgen-yıldız ve yıldız-üçgen bağlı devreler tekrar edilecektir. Konu ile ilgili detaylara girmeden evvel bağımsız (independent) ve bağımlı veya kontrol edilmiş (dependent veya controlled) kaynakları kısaca inceleyelim.

### 5.2 BAĞIMSIZ ve BAĞIMLI KAYNAKLAR

Bundan önceki bölümlerde doğru ve alternatif akım da bu kaynaklar bağımsız kaynak için E ve I olarak ifade edilmişti. Şekil 5.1. Devre analizlerinde bağımsız sözcüğünün anlamı şudur. Gerilim veya akım kaynağının büyüklüğü bu kaynağın uygulandığı devrenin veya şebekenin karakterine bağlı değildir. Kontrol edilmiş veya bağımlı kaynaklar ki onların büyüklüğü o devredeki akım veya gerilim ile tesbit edilir. Yani bu değerlere bağlıdır. Gerilim kaynağının büyüklüğü  $k_1$  V, şekil 5.1 de direnç uçlarındaki gerilim V ile  $k_1$  sabitesinin çarpımıyla tesbit edilir. Akım

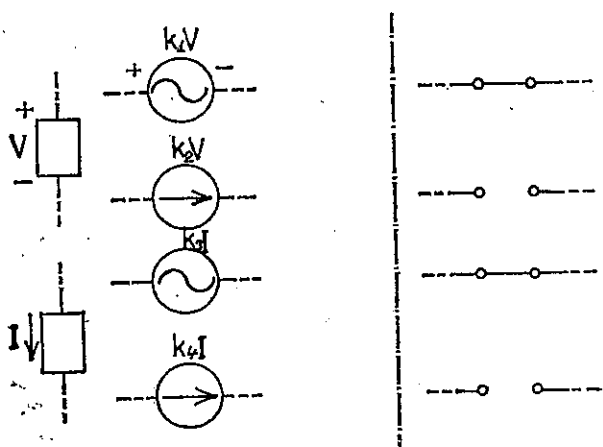
kaynağının büyüklüğü  $k_2 I$  ise aynı şekilde dirençten geçen  $I$  akımıyla  $k_2$  sabitesinin çarpımıyla tesbit edilir.



(a) Bağımsız (b) Bağımlı kaynaklar

Şekil 5.1

Şekil 5.2 de bağımlı kaynakların çeşitli şekilleri ve bunların anlamları görülmektedir. Bu şekillere dikkat edilirse akım veya gerilim kaynağının büyüklüğü o devredeki akım veya gerilim tarafından kontrol edilebilir. Bağımsız kaynaklardan ayrı olarak tek başına  $V$  veya akım  $I$  sıfırdır. Şekil 5.2. Sonuç olarak  $V$  için kısa devre ve  $I$  için açık devre olarak şekil 5.2 deki gibi düşünülebilir. Bu koşullar altında o kaynak ya akım kaynağı veya gerilim kaynağıdır.



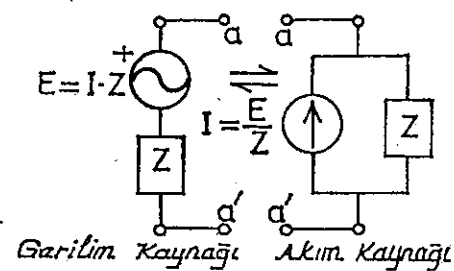
$V=0$  ve  $I=0$  için bağımlı kaynak

Şekil 5.2

Bağımlı kaynaklara burada değinmemizin birinci nedeni elektronik devrelerde kullanılan lâmba ve transistörün bu devrelerdeki eşdeğer devresi çizilirken bağımlı kaynak olarak çizileceğini vurgulamak içindir. Her hangi bir eşdeğer devre bazı elemanlardan ibarettir. Bunlar aktif eleman (kaynaklar) ve pasif elemanlar ( $R$ ,  $L$ ,  $C$ ) dir. Bu bölümde bu elemanların temel gösterilişi ve bunların eşdeğer devrelerine ait örnekler verilecektir.

### 5.3 KAYNAKLARIN DÖNÜŞÜMÜ

Devre elemanlarının eşdeğerini çizerken bazan akım kaynağının gerilim kaynağı şekline veya gerilim kaynağının akım kaynağı şekline dönüştürülmesi gerekebilir. Bu dönüştürme işlemi doğru akım devrelerinde kullanılan dönüştürme yöntemlerinin benzeridir. Doğru akım devrelerinde dönüştürme işlemi yapılırken gerçek sayılar kullanılır. Alternatif akım devrelerinde ise bu dönüştürme işlemi yapılırken vektörler ve empedanslar da dikkate alınmalıdır. Kaynaklardan birini diğereine dönüştürmenin genel şekli şekil 5.3 deki gibidir.

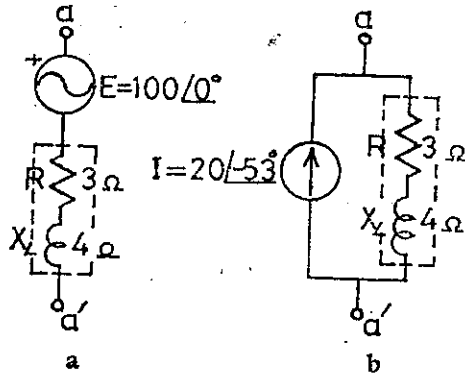


Şekil 5.3

### ÖRNEK: 5.1

Şekil 5.4 a daki gerilim kaynağını akım kaynağına dönüştürünüz.





Şekil 5.4

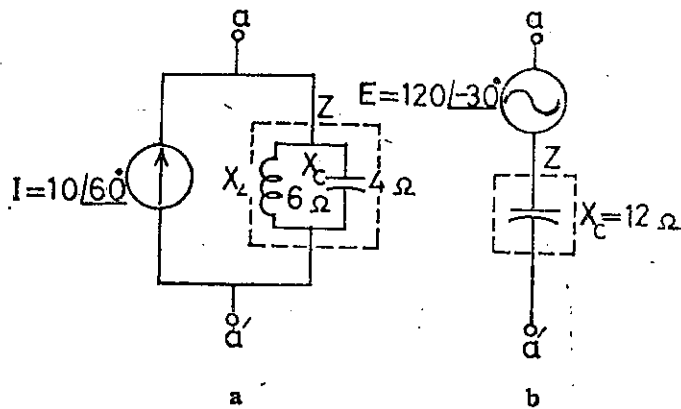
Çözüm:

$$I = \frac{E}{Z} = \frac{100 \angle 0^\circ}{5 \angle 53^\circ}$$

$$= 20 \angle -53^\circ$$

## ÖRNEK: 5.2

Şekil 5.5 a daki akım kaynağını gerilim kaynağına dönüştürünüz.



Şekil 5.5

Çözüm:

$$Z = \frac{(4 \angle -90^\circ) (6 \angle 90^\circ)}{-j4 + j6} = \frac{24 \angle 0^\circ}{2 \angle 90^\circ}$$

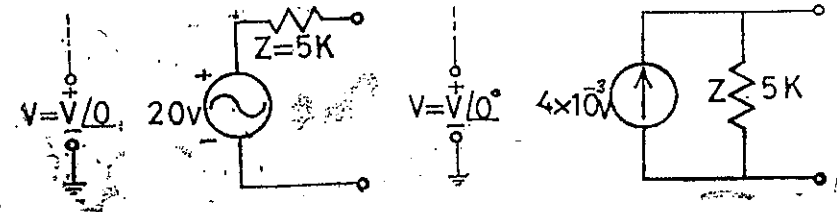
$$= 12 \angle -90^\circ \text{ (şekil 5.5 b)}$$

$$E = I \cdot Z = (10 \angle 60^\circ) (12 \angle -90^\circ) = 120 \angle -30^\circ \text{ (şekil 5.5 b)}$$

Bağımlı kaynaklar için şekil 5.3 ün direkt olarak dönüşümü yapılabilir. Eğer kontrol değişkeni (şekil 5.2 deki V veya I) devrenin bir bölümünde tesbit edilemezse. Örneğin şekil 5.6 da ve 5.7 de V ve I değerleri devrenin harici bir bölümü tarafından kontrol edilir. Bu çeşit devrelerdeki dönüşüm işlemleri bölüm 6.3 ve 6.4 de incelenecektir.

## ÖRNEK: 5.3

Şekil 5.6a daki gerilim kaynağını akım kaynağına dönüştürünüz.



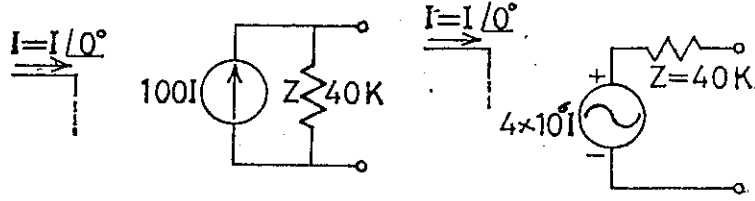
Şekil 5.6

Çözüm:

$$I = \frac{E}{Z} = \frac{20 \angle 0^\circ}{5 \angle 0^\circ} = 4 \times 10^{-3} \text{ (şekil 5.5 b)}$$

**ÖRNEK: 5.4**

Şekil 5.7 a daki akım kaynağını gerilim kaynağına dönüştürünüz.



Şekil 5.7

**Çözüm:**

$$E = I \cdot Z = (100 \cdot I / 0^\circ) (40 \text{ K} / 0^\circ) \\ = 4 \times 10^6 I / 0^\circ \text{ (şekil 5.7 b)}$$

**5.4 ÇEVRE AKIMLARI (MESH) ANALİZİ**  
 (Genel Yaklaşım)

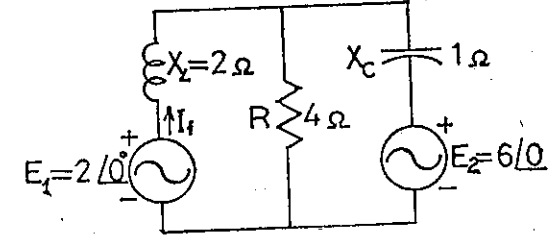
Çevre akımları analizinin uygulanmasındaki işlem sıraları aşağıdaki gibidir.

- 1 — Devrenin her biri kapalı gözünden geçen akımın geçiş yönünü saat ibresi yönünde işaretleyiniz.
- 2 — Her bir kapalı gözde bulunan empedansların polaritesini belirteniz. Polarite belirtilirken akımın empedansa giriş yeri (+) çıkış yeri (—) olarak işaretlenir.
- 3 — Her bir kapalı göze (devreye) Kirchhoff'un gerilim kanununu uygulayınız.
  - a — Eğer var sayılan akım yönüne göre her hangi bir empedanstan iki veya daha fazla kım geçiyorsa Kirchhoff'un kanunu uygulanırken şu işlem yapılmalıdır. Kirchhoff'un gerilim kanunu uygulanırken empedanstan geçtikleri var sayılan toplam akımla aynı yönde geçen diğer göz akımları artı (+) işaretle belirtilir. Eğer toplam akımla o empedanstan geçtiği var sayılan akımın yönü bir birine ters ise geçtiği var sayılan akımın yönü eksi (—) olarak işaretlenir.
  - b — Gerilim kaynağının polaritesi o kaynağın içinden geçen akımın yönünden etkilenmez.

- 4 — Elde edilen bu denklemler determinant yöntemiyle çözümlür. Dikkat edilirse doğru akım devrelerine bu yöntem uygulanırken alternatif akımda empedans diye anılan yer doğru akımda direnç diye anılır.

**ÖRNEK: 5.5**

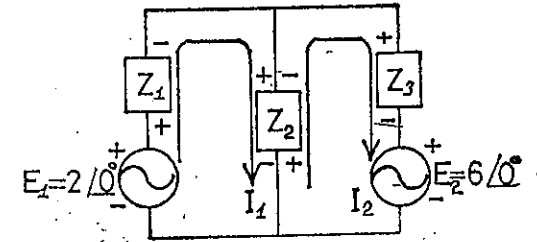
Şekil 5.8 deki devrede  $I_1$  akımını bulunuz.



Şekil 5.8

**Çözüm:**

Bu yöntem alternatif akım devrelerine uygulanırken dirençlerin ve reaktansların veya her üçünün birden teşkilini empedans olarak göstermek çok faydalı bir yoldur. Bu empedansın toplam gözümü yapılıncaya empedans içinde bilinmeyen değer ayrıca bulunur. Böylece şekil 5.8 deki devre empedans şeklinde yeniden çizilirse şekil 5.9 daki devre elde edilir. Bu devrede empedans eşitlikleri aşağıdaki gibi yazılabilir.



Şekil 5.9

$$Z_1 = j2$$

$$Z_2 = 4$$

$$Z_3 = -j$$

ş sırası 1 ve 2 yi uygulayarak akım ve polarite yönleri işaretlenir.

ş sırası 3: Her bir kapalı devreye (göze) Kirchoff'un gerilim kanunu uygulanır.

$$+E_1 - Z_1 \cdot I_1 - Z_2 (I_1 - I_2) = 0$$

$$-E_2 - Z_3 \cdot I_2 - Z_2 (I_2 - I_1) = 0$$

$$E_1 - (Z_1 + Z_2) I_1 + Z_2 \cdot I_2 = 0$$

$$-E_2 - (Z_3 + Z_2) I_2 + Z_2 \cdot I_1 = 0$$

eya

$$(Z_1 + Z_2) I_1 - Z_2 \cdot I_2 = E_1$$

$$-(Z_2) I_1 + (Z_2 + Z_3) I_2 = E_2$$

determinant kullanarak

$$I_1 = \frac{\begin{vmatrix} E_1 & -Z_2 \\ -E_2 & Z_2 + Z_3 \end{vmatrix}}{\begin{vmatrix} Z_1 + Z_2 & -Z_2 \\ -Z_2 & Z_2 + Z_3 \end{vmatrix}}$$

$$= \frac{E_1 (Z_2 + Z_3) - E_2 (Z_2)}{(Z_1 + Z_2) (Z_2 + Z_3) - (Z_2)^2}$$

$$= \frac{(E_1 - E_2) Z_2 + E_1 \cdot Z_3}{Z_1 \cdot Z_2 + Z_1 \cdot Z_3 + Z_2 \cdot Z_3}$$

ayısal değerleri yerine konursa

$$I = \frac{(2 - 6) \cdot 4 + 2(-J)}{(J2)4 + (J2) (-J) + 4(-J)} = \frac{-16 - J2}{J8 - J^2 2 - J4}$$

$$= \frac{-16 - J2}{2 + J4} = \frac{16.1 / -172.9^\circ}{4.47 / 63.4^\circ}$$

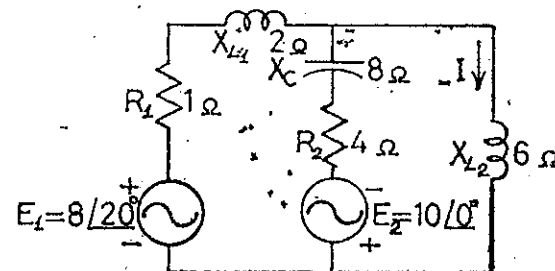
$$= 3.6 / -236.3^\circ \text{ veya } 3.6 / 123.7^\circ$$

öylece

$$I = 3.6 / 123.7^\circ$$

### ÖRNEK: 5.6

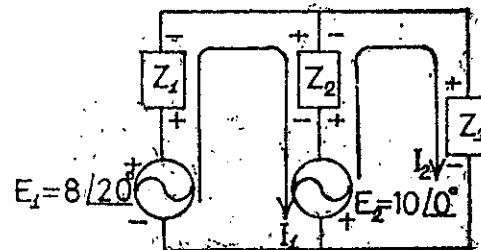
Şekil 5.10 daki dverede  $I_2$  akımını bulunuz.



Şekil 5.10

**Cözüm:**

Devreyi şekil 5.11 deki gibi tekrar çizersek



Şekil 5.11

$$Z_1 = 1 + J2$$

$$Z_2 = 4 - J8$$

$$Z_3 = J6$$

İş sırası 1 ve 2 uygularsak akım ve polarite yönü işaretlenir:

İş sırası 3: Kirchoff'un gerilim kanunu uygulanarak

$$E_1 - Z_1 \cdot I_1 - Z_2 (I_1 - I_2) + E_2 = 0$$

$$E_2 - Z_3 \cdot I_2 - Z_2 (I_2 - I_1) = 0$$

$$E_1 + E_2 - (Z_1 + Z_2) I_1 + Z_2 \cdot I_2 = 0$$

$$E_2 + Z_2 \cdot I_1 - (Z_2 + Z_3) I_2 = 0$$

veya

$$\begin{aligned} (Z_1 + Z_2) I_1 - Z_2 \cdot I_2 &= E_1 + E_2 \\ -(Z_2) I_1 + (Z_2 + Z_3) I_2 &= E_2 \end{aligned}$$

Determinant kullanarak

$$\begin{aligned} I_2 &= \frac{\begin{vmatrix} Z_1 + Z_2 & E_1 + E_2 \\ -Z_2 & -E_2 \end{vmatrix}}{\begin{vmatrix} Z_1 + Z_2 & -Z_2 \\ -Z_2 & Z_2 + Z_3 \end{vmatrix}} \\ &= \frac{-(Z_1 + Z_2) E_2 + Z_2 (E_1 + E_2)}{(Z_1 + Z_2) (Z_2 + Z_3) - Z_2^2} \\ &= \frac{Z_1 \cdot E_2 - Z_2 \cdot E_1}{Z_1 \cdot Z_2 + Z_1 \cdot Z_3 + Z_2 \cdot Z_3} \end{aligned}$$

Sayısal değerler yerine konursa

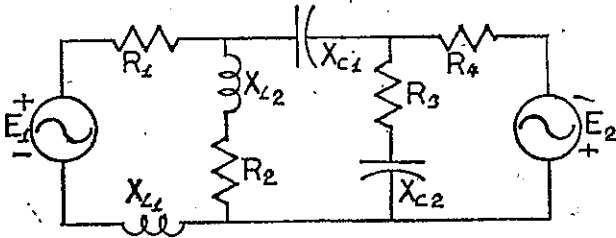
$$\begin{aligned} I_2 &= \frac{(1 + j2) (10 \angle 0^\circ) - (4 - j8) (8 \angle 20^\circ)}{(1 + j2) (4 - j8) + (1 + j2) (j6) + (4 - j8) (j6)} \\ &= \frac{(10 + j20) (4 - j8) (7.5 + j2.74)}{20 + (j6 - 12) + (j24 + 48)} \\ &= \frac{(10 + j20) - (51.92 - j49.04)}{56 + j30} = \frac{41.92 + j69.04}{56 + j30} \\ &= \frac{80.6 \angle 122.2^\circ}{63.5 \angle 28.1^\circ} = 1.27 \angle 94.1^\circ \end{aligned}$$

Böylece

$$I_2 = 1.27 \angle 94.1^\circ$$

**ÖRNEK: 5.7**

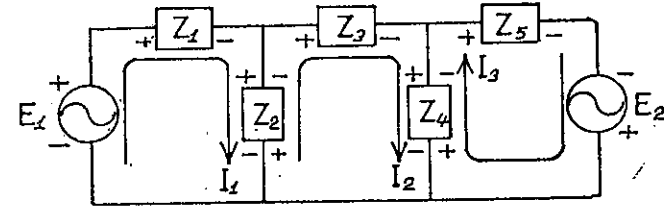
Şekil 5.12 deki devreyi çözmek için gerekli denklemleri yazınız.



Şekil 5.12

**Çözüm:**

Devreyi şekil 5.13 deki gibi tekrar çizersek



Şekil 5.13

Bu şekil de görüldüğü gibi devre empedans şeklinde ifade edilmekle devrenin çözümü basitleştirilmiş olur.

$$Z_1 = R_1 + jX_{L1}$$

$$Z_2 = R_2 + jX_{L2}$$

$$Z_3 = jX_{C1}$$

$$Z_4 = R_3 - jX_{C2}$$

$$Z_5 = R_4$$

İş sırası 1 ve 2 i uygulanarak akım ve polarite yönü işaretlenir.

İş sırası 3: Kirchhoff'un gerilim kanunu uygulanarak

$$\begin{aligned} E_1 - I_1 \cdot Z_1 - Z_2 (I_1 - I_2) &= 0 \\ -E_2 (I_2 - I_1) - Z_3 I_2 - Z_4 (I_2 - I_3) &= 0 \\ E_2 - Z_4 (I_3 - I_2) - Z_5 \cdot I_3 &= 0 \end{aligned}$$

$$\begin{aligned} I_1 (Z_1 + Z_2) - I_2 \cdot Z_2 + 0 &= E_1 \\ I_1 \cdot Z_2 - I_2 (Z_2 + Z_3 + Z_4) + I_3 \cdot Z_4 &= 0 \\ 0 - I_2 \cdot Z_4 + I_3 (Z_4 + Z_5) &= E_2 \end{aligned}$$

Empedans değerleri yerine konursa

$$\begin{aligned} I_1 [(R_1 + R_2 + j(X_{L1} + X_{L2})) - I_2 (R_2 + jX_{L2}) + 0 &= E_1 \\ I_1 (R_2 + jX_{L2}) - I_2 [R_2 + R_3 + j(X_{L2} - X_{C1} - X_{C2})] + I_3 (R_3 - jX_{C2}) &= 0 \\ 0 - I_2 (R_3 - jX_{C2}) + I_3 (R_3 + R_4 - jX_{C2}) &= E_2 \end{aligned}$$

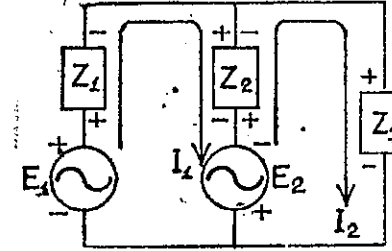
## 5 5 ÇEVRE AKIMLARI ANALİZİ (Özel Yaklaşım)

Her hangi bir problemin çevre akımları yöntemi ile çözümü yapılırken bu yöntem daha çabuk ve daha doğru sonuç verdiği için çok kullanılır. Bu yöntemde kullanılan iş sırası aşağıda ki gibidir.

- 1 — Her müstakil devre gözü için göz akımı yönü saat ibresinin dönüş yönü gibi var sayılır ve yön okla belirtilir.
- 2 — Devrenin çözümü için gerekli denklem sayısı kapalı devre veya göz sayısına eşittir. Yani üç gözlü bir devreyi çözmek için üç adet denkleme gereksinme vardır. Her denklemin birinci sütununda göz akımıyla bu akımların geçtiği empedansların toplamının çarpımı yazılır.
- 3 — Bu bölümde içinden birden fazla akım geçen ortak elemanlar düşünülür ve bu elemanlarla akımın çarpımı daima birinci sütundaki çarpımdan çıkarılır. Bazı hallerde birden fazla ortak eleman bulunabilir. Eğer aranan göz akımı diğer göz akımıyla birlikte müşterek bir elemandan geçiyorsa her ortak eleman ortak empedansların çarpımıdır.
- 4 — Eşit işaretinin sağındaki sütuna aranan göz akımının geçtiği kapalı devrede bulunan gerilim kaynaklarının cebirsel toplamaları yazılır. Pozitif işaretler eğer kaynakların emk. polaritesi ile göz akımı negatiften pozitive doğru geçiyorsa konur. Başka bir ifadeyle kaynakların geçirdikleri akımların yönleri bir birini takviye ediyorsa artı (+) işareti konur. Aksi takdirde konulacak işaret eksi (—) olmalıdır.
- 5 — Elde edilen denklemler çeşitli yöntemler kullanarak çözülür.

### ÖRNEK: 5.8

Örnek 5.6 daki devre için gerekli denklemleri yazınız. Devre şekil 5.14 deki gibi tekrar çizilirse.



Şekil 5.14

### Çözüm:

İş sırası 1: Akım yönleri ve empedansların polaritesi şekildedeki gibi tesbit edilir.

İş sırası 2-4 :

$$I : (Z_1 + Z_3) I_1 - Z_2 \cdot I_2 = E_1 + E_2$$

$$I : (Z_2 + Z_3) I_2 - Z_2 \cdot I_1 = -E_2$$

veya

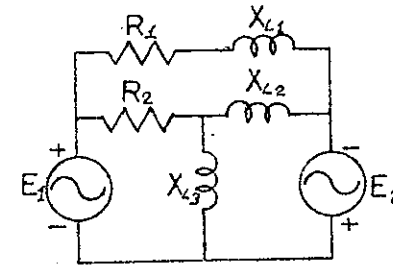
$$(Z_1 + Z_2) I_1 - Z_2 \cdot I_2 = E_1 + E_2$$

$$-Z_2 \cdot I_1 + (Z_2 + Z_3) I_2 = -E_2$$

Son denklem gurubuna dikkat edilirse bu denklemler soldan sağa olan köşegene göre simetriktir. Elde edilen bu sonuç daha evvel elde edilen sonucun aynısıdır.

### ÖRNEK: 5.9

Şekil 5.15 deki devre için gerekli denklemleri yazınız.

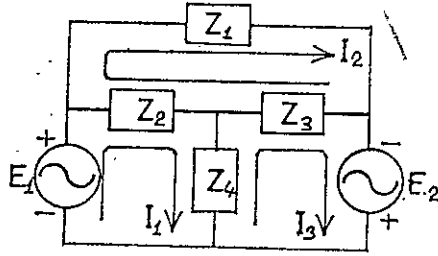


Şekil 5.15

$$\begin{aligned} Z_1 &= R_1 + jX_{L1} \\ Z_2 &= R_2 \\ Z_3 &= jX_{L2} \\ Z_4 &= jX_{L3} \end{aligned}$$

**Çözüm:**

Bu devreyi empedanslarla ifade ederek şekil 5.16 daki gibi tekrar çizersek



Şekil 5.16

$$\begin{aligned} I_1 : (Z_2 + Z_4) I_1 - Z_2 \cdot I_2 - Z_4 \cdot I_3 &= E_1 \\ I_2 : (Z_1 + Z_2 + Z_3) I_2 - Z_2 \cdot I_1 - Z_3 \cdot I_3 &= 0 \\ I_3 : (Z_3 + Z_4) I_3 - Z_4 \cdot I_1 - Z_3 \cdot I_2 &= E_2 \end{aligned}$$

$$\begin{aligned} (Z_2 + Z_4) I_1 - Z_2 \cdot I_2 - Z_4 \cdot I_3 &= E_1 \\ -Z_2 \cdot I_1 + (Z_1 + Z_2 + Z_3) I_2 - Z_3 \cdot I_3 &= 0 \\ -Z_4 \cdot I_1 - Z_3 \cdot I_2 + (Z_3 + Z_4) I_3 &= E_2 \end{aligned}$$

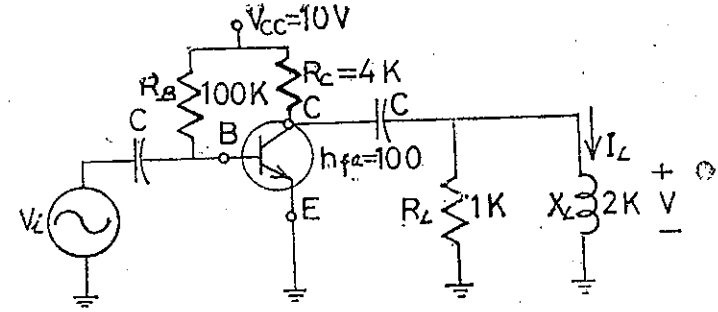
Dikkat edilirse bu üç denklem köşgensel olarak simetriktr. Ayrıca köşgensel olmayan  $-Z_2$ ,  $-Z_4$  ve  $-Z_3$  ün yerlerine dikkat ediniz.

### ÖRNEK: 5.10

Şekil 5.17 deki transistör devresi şekil 5.18 deki gibi gösterilebilir. Dikkat edilirse akım kaynağı şimdi bir akımla bağımsız ve kontrol değişkenli ayrı bir devredir. Bu devrede  $h_{fe}$  miktarı transistörün karakteristik değeridir. Bu devrede  $I_L$  akımı bulunursa

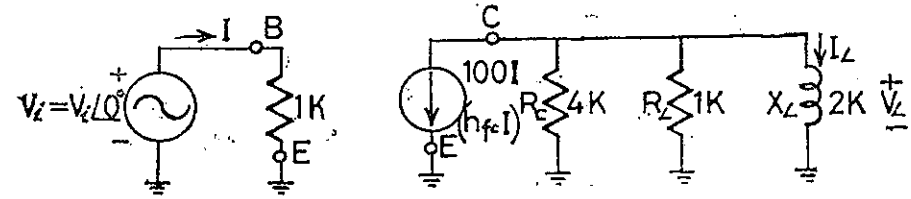
**Çözüm:**

Devrenin akım kaynağını gerilim kaynağı şekline dönüştürürsek



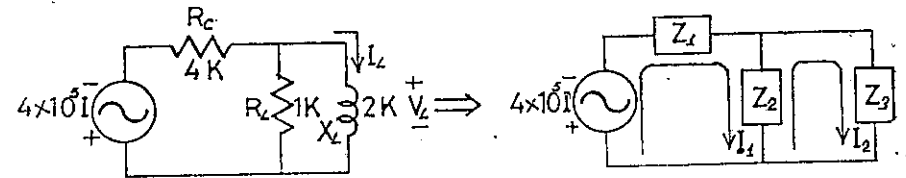
Şekil 5.17

$$E = I \cdot Z = (100 \cdot I) (4K \angle 0^\circ) = 4 \times 10^5 I \angle 0^\circ$$



Şekil 5.18

Şekil 5.18 deki devre şekil 5.19 daki gibi tekrar çizilirse



Şekil 5.19

Bu son devre çözümlürse

$$Z_1 = 4K$$

$$Z_2 = 1K$$

$$Z_3 = 2K \angle 90^\circ$$

$$I_1 : (Z_1 + Z_2) I_1 - Z_2 \cdot I_2 = -4 \times 10^5 \cdot I$$

$$I_2 : (Z_2 + Z_3) I_2 - Z_2 \cdot I_1 = 0$$

$$(Z_1 + Z_2) I_1 - Z_2 \cdot I_2 = -4 \times 10^5 \cdot I$$

$$-Z_2 \cdot I_1 + (Z_2 + Z_3) I_2 = 0$$

$$I_2 = I_L = \frac{\begin{vmatrix} Z_1 + Z_2 & -4 \times 10^5 I \\ -Z_2 & 0 \end{vmatrix}}{\begin{vmatrix} Z_1 + Z_2 & -Z_2 \\ -Z_2 & Z_2 + Z_3 \end{vmatrix}}$$

$$= \frac{-4 \times 10^5 Z_2 I}{Z_1 Z_2 + Z_2 Z_3 + Z_1 Z_3}$$

$$I_L = \frac{-4 \times 10^5 (1K) \cdot I}{4K (1K) + 1K (2K / 90^\circ) + 4K (2K / 90^\circ)}$$

$$= \frac{-4 \times 10^5 I}{4 + j2 + j8} = \frac{-4 \times 10^5 I}{4 + j10} = \frac{-4 \times 10^5 I}{10.8 / 68.2^\circ}$$

$$= -37 I / -68.2^\circ$$

Şekil 5.18 den

$$I = \frac{V_i / 0^\circ}{1K} \text{ olduğundan}$$

$$I_L = -37 \left( \frac{V_i / 0^\circ}{1K} \right) / -68.2^\circ = -37 \times 10^{-3} V_i / -68.2^\circ$$

ve

$$V_L = I_L Z_3 = I_L Z_3$$

$$= (-37 \times 10^{-3} V_i / -68.2^\circ) (2K / 90^\circ)$$

$$= -74 V_i / 21.8^\circ$$

Bu sonuca dikkat edilirse böyle bir devrede transistör kullanmakla devrenin yükseltme kazancı 74 olmuştur.

## 5.6 DÜĞÜM NOKTALARI ANALİZİ

### (Özel Yaklaşım)

Alternatif akım devrelerinde düğüm noktalarına göre bir devreyi çözmek için aşağıdaki iş sırası izlenir.

1 — Referans düğüm noktasını seçiniz ve  $V_1, V_2, \dots, V_n$  gibi gerilim değerleriyle işaretleyiniz. Bu durumda o devrede  $N$  adet düğüm noktası varsa birinin referans düğüm noktası seçilmesiyle  $N-1$  tane düğüm noktası kalır.

2 — Devreyi çözmek için gerekli denklem sayısı işaretlenen gerilim sayısına veya  $(N-1)$  sayısına eşit olmalıdır. Her denklemin birinci sütunu aranan (referans seçilen) düğüm noktasına bağlı geçirenlerin toplamıyla bu referans düğüm noktası gerilimin çarpımına eşittir.

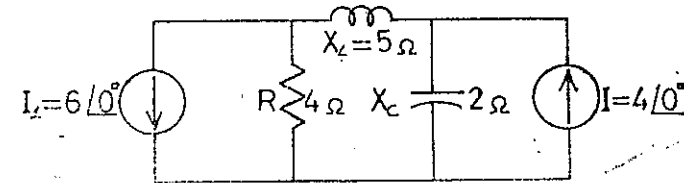
3 — Ortak elemanlar devamlı birinci sütundan çıkarılır. Her ortak eleman ortak geçirenle diğer düğüm noktalarına bağlı geçirenlerin çarpımına eşittir.

4 — Eşit işaretinin sağ tarafındaki sütunda aranan düğüm noktasına bağlı akım kaynaklarının cebirsel toplamı yazılır. Akım kaynağı eğer düğüm noktasına akım gönderiyorsa pozitif olarak işaretlenir. Başka bir ifadeyle akım düğüm noktasına giriyorsa pozitif işaret çıkıyorsa negatif işaret konur.

5 — Arzu edilen düğüm noktasına göre kurulan denklemler çözülür.

### ÖRNEK: 5.11

Şekil 5.20 deki devrede 4 omluk direnç uçlarındaki gerilimi bulunuz.

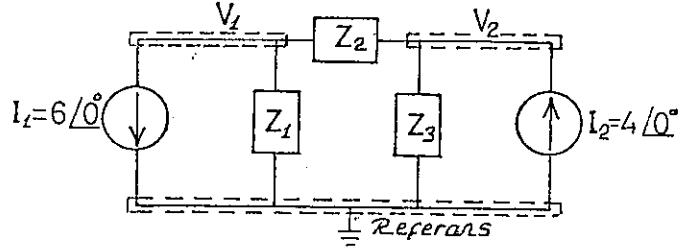


Şekil 5.20

**Çözüm:**

Düğüm noktası seçilir ve düğüm noktasına göre denklemler yazılır.

Şekil 5.21



Şekil 5.21

$$Z_1 = 4 \text{ om}$$

$$Z_2 = J5$$

$$Z_3 = -J2$$

$$V_1 (Y_1 + Y_2) - V_2 (Y_2) = -I_1$$

$$V_2 (Y_3 + Y_2) - V_1 (Y_2) = I_2$$

veya

$$\begin{aligned} V_1 (Y_1 + Y_2) - V_2 Y_2 &= -I_1 \\ -V_1 Y_2 + V_2 (Y_3 + Y_2) &= I_2 \end{aligned}$$

$$Y_1 = \frac{1}{Z_1}, Y_2 = \frac{1}{Z_2}, Y_3 = \frac{1}{Z_3}$$

$$V_1 = \frac{\begin{vmatrix} -I_1 & -Y_2 \\ I_2 & Y_3 + Y_2 \end{vmatrix}}{\begin{vmatrix} Y_1 + Y_2 & -Y_2 \\ -Y_2 & Y_3 + Y_2 \end{vmatrix}} = \frac{-(Y_3 + Y_2) I_1 + I_2 Y_2}{(Y_1 + Y_2) (Y_3 + Y_2) - Y_2^2}$$

$$= \frac{-(Y_3 + Y_2) I_1 + I_2 Y_2}{Y_1 Y_2 + Y_2 Y_3 + Y_1 Y_3}$$

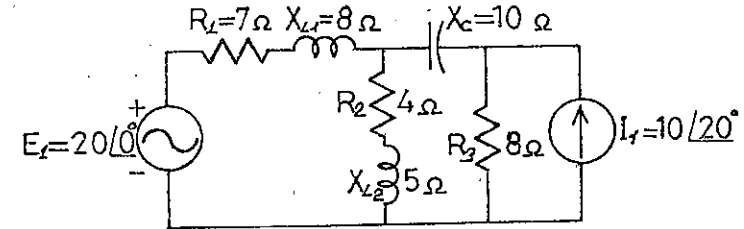
Sayısal değerler yerine konursa

$$\begin{aligned} V_1 &= \frac{-[(1/-J2) + (1/J5)] 6 / 0^\circ + 4 / 0^\circ (1/J5)}{(1/4) (1/-J2) + (1/J5) (1/-J5) + (1/4) (1/J5)} \\ &= \frac{-(J0.5 - J0.2) (6 / 0^\circ + 4 / 0^\circ (-J0.2))}{(1/-J8) + (1/10) + (1/J20)} \\ &= \frac{(-0.3 / 90^\circ) (6 / 0^\circ) + (4 / 0^\circ) (0.2 / -90^\circ)}{J0.125 + 0.1 - J0.05} \\ &= \frac{1.8 / 90^\circ + 0.8 / -90^\circ}{0.1 + J0.075} = \frac{1.8 / -90^\circ + 0.8 / -90^\circ}{0.125 / 36.9^\circ} \end{aligned}$$

$$V_1 = 20.8 / -126.9^\circ$$

**ÖRNEK: 5.12**

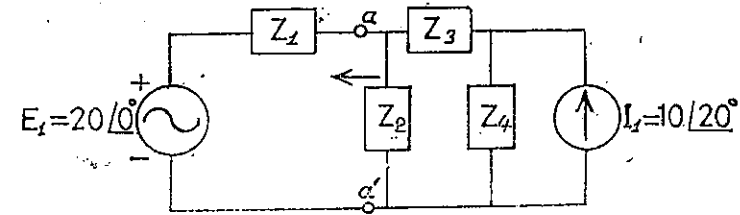
Şekil 5.22 deki devreye ait denklemleri düğüm noktaları analizine göre yazınız.



Şekil 5.22

**Çözüm:**

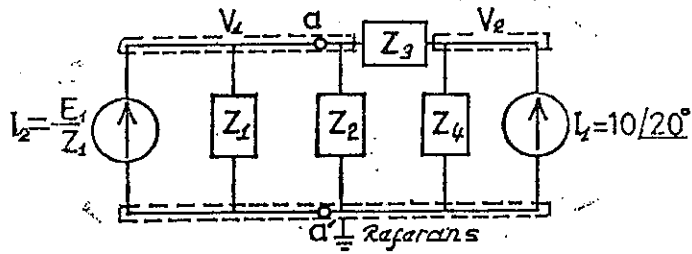
Devre empedanslara dönüştürülüp şekil 5.23 deki gibi tekrar çizilir.



Şekil 5.23



Şekil 5.23 de görüldüğü gibi bu devrede iki ayrı çeşit kaynak vardır. Devreyi çözmeden evvel gerilim kaynağını akım kaynağı şekline çevirmek gerekir. Böylece devrenin alacağı yeni şekil, şekil 5.24 de görülmektedir.



Şekil 5.24

Düğüm noktalarına göre devrenin ilgili denklemlerini yazarsak

$$V_1 (Y_1 + Y_2 + Y_3) - V_2 (Y_3) = I_2$$

$$V_2 (Y_3 + Y_4) - V_1 (Y_3) = I_1$$

$$Y_1 = \frac{1}{Z_1}, Y_2 = \frac{1}{Z_2}, Y_3 = \frac{1}{Z_3}, Y_4 = \frac{1}{Z_4}$$

$$V_1 (Y_1 + Y_2 + Y_3) - V_2 Y_3 = I_2$$

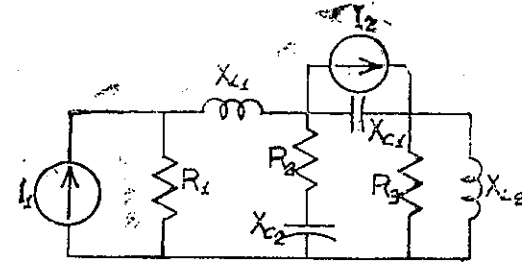
$$-V_1 Y_3 + V_2 (Y_3 + Y_4) = I_1$$

$$I_1 = \frac{1}{7 + j8}, Y_2 = \frac{1}{4 + j5}, Y_3 = \frac{1}{-j10}, Y_4 = \frac{1}{8}$$

$$I_2 = \frac{20 \angle 0^\circ}{7 + j8}, I_1 = 10 \angle 20^\circ$$

### ÖRNEK: 5.13

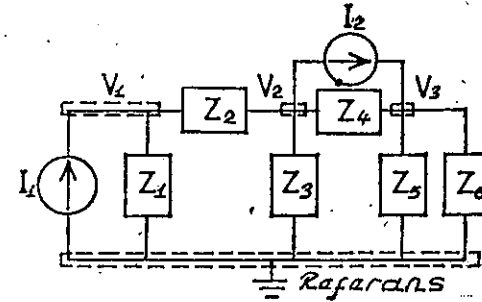
Şekil 5.25 deki devrede düğüm noktasına göre gerekli denklemleri yazınız.



Şekil 5.25

### Çözüm:

Şekil 5.26 daki devrede düğüm noktaları seçilir ve gerekli denklemler yazılır.



Şekil 5.26

$$Z_1 = R_1$$

$$Z_2 = jX_{L1}$$

$$Z_3 = R_2 - jX_{C1}$$

$$Z_4 = -jX_{C2}$$

$$Z_5 = R_3$$

$$Z_6 = jX_{L2}$$

$$V_1 (Y_1 + Y_2) - V_2 (Y_2) = I_1$$

$$V_2 (Y_2 + Y_3 + Y_4) - V_1 (Y_2) - V_3 (Y_4) = -I_2$$

$$V_3 (Y_3 + Y_5 + Y_6) - V_2 (Y_4) = I_2$$

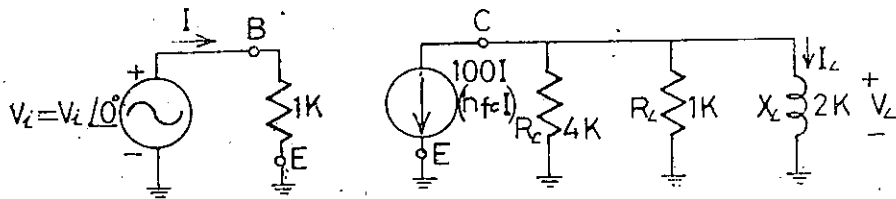
$$\begin{aligned} V_1(Y_1 + Y_2) - V_2(Y_2) + 0 &= I_1 \\ -V_1(Y_2) + V_2(Y_2 + Y_3 + Y_4) - V_3(Y_4) &= -I_2 \\ 0 - V_2(Y_4) + V_3(Y_4 + Y_5 + Y_6) &= I_2 \end{aligned}$$

$$Y_1 = \frac{1}{R_1}, Y_2 = \frac{1}{jX_{L1}}, Y_3 = \frac{1}{R_1 - jX_{C2}}, Y_4 = \frac{1}{-jX_{C1}}$$

$$Y_5 = \frac{1}{R_3}, Y_6 = \frac{1}{jX_{L2}}$$

**ÖRNEK: 5.14**

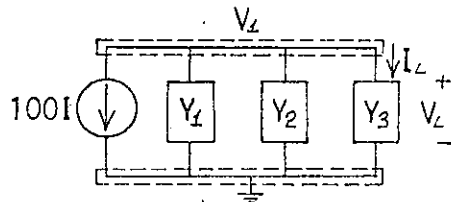
Örnek 5.11 deki devreye düğüm noktaları analizi yöntemini uygulayarak  $V_L$  yi bulunuz. Bu devre şekil 5.27 deki gibi çizilirse devreyi çözmek daha kolay olur.



Şekil 5.27

**Çözüm:**

Devreden görüldüğü gibi gerilim veya akım kaynağının dönüşümüne gerek yoktur. Bu devre empedanslarla birlikte şekil 5.28 deki gibi tekrar çizilebilir.



Şekil 5.28

$$Y_1 = \frac{1}{Z_1} = \frac{1}{4K} = 0.25 \times 10^{-3} / 0^\circ = G_1$$

$$Y_2 = \frac{1}{Z_2} = \frac{1}{1K} = 1 \times 10^{-3} / 0^\circ = G_2$$

$$Y_3 = \frac{1}{Z_3} = \frac{1}{2K / 90^\circ} = 0.5 \times 10^{-3} / 90^\circ = -j0.5 \times 10^{-3} = B_1$$

$V_1$ :

$$V_1(Y_1 + Y_2 + Y_3) = -100I$$

$$V_1 = \frac{-100 \cdot I}{Y_1 + Y_2 + Y_3}$$

$$= \frac{-100 \cdot I}{(0.25 - j0.5) + (1 \times 10^{-3}) + (-j0.5 \times 10^{-3})}$$

$$= \frac{-100 \times 10^3 \cdot I}{1.25 - j0.5} = \frac{-100 \times 10^3 \cdot I}{1.342 \angle -21.8^\circ}$$

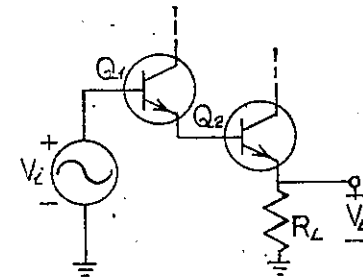
$$= -74 \times 10^3 I / 21.8^\circ$$

$$= -74 \times 10^3 \left( \frac{V_1}{1K} \right) / 21.8^\circ$$

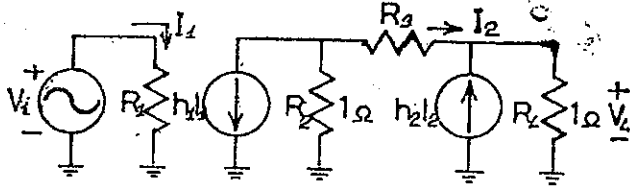
$$V_1 = V_L = -74 / 21.8^\circ$$

**ÖRNEK: 5.15**

Şekil 5.29 daki transistör devresinde  $V_L$  değerinin bulunması için bu devre kolayca şekil 5.30 daki şekle dönüştürülür. Şekil 5.30 daki  $h_1$  ve  $h_2$  değerleri transistörün karakteristik sabitleridir. Bu devrede direnç değerleri 1 om olarak seçilmiştir. Bunun nedeni ise çözümlü basitleştirmektir.



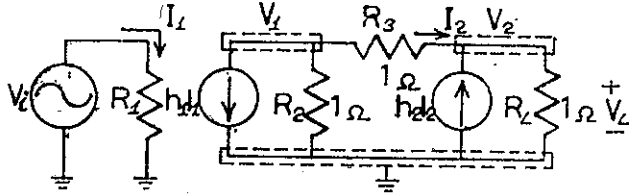
Şekil 5.29



Şekil 5.30

**Çözüm:**

Düğüm noktalarını tesbit etmek için devre şekil 5.31 deki gibi tekrar çizilir.



Şekil 5.31

Tipik bir örnek olarak  $h_1 = h_2 = 100$  olarak seçilirse

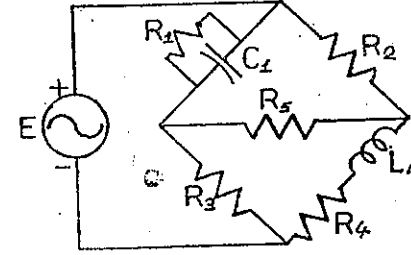
$$V_L = \frac{-100 (101)}{3 + 100} V_i$$

$$V_L \approx -98 V_i \text{ olur}$$

**5.7 (A.A.) KÖPRÜ DEVRELER**

Bu bölümde reaktif elemanlardan meydana gelen köprü bir devreye alternatif akım gerilimi veya akımı tatbik ederek bu devrede gerekli hesaplamaların yapılması incelenecektir. Bu tip devreleri çözmek için ikinci çevre akımları yöntemi ve düğüm noktaları yöntemi uygulanacaktır.

Şekil 5.32 deki devreye çevre akımları yöntemini uygulamak için aynı devreyi şekil 5.33 deki gibi çizelim.



Şekil 5.32

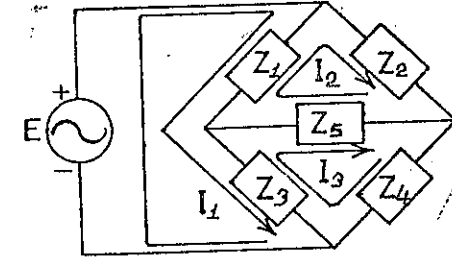
$$Z_1 = \frac{1}{Y_1} = \frac{1}{G_1 + jB_C} = \frac{G_1}{G_1^2 + B_C^2} - j \frac{B_C}{G_1^2 + B_C^2}$$

$$Z_2 = R_2$$

$$Z_3 = R_3$$

$$Z_4 = R_4 + jX_L$$

$$Z_5 = R_5$$



Şekil 5.33

$$(Z_1 + Z_3) I_1 - Z_1 I_2 - Z_3 I_3 = E$$

$$(Z_1 + Z_2 + Z_5) I_2 - Z_1 I_1 - Z_5 I_3 = 0$$

$$I_3 = \frac{V_1 - V_2}{R_3} = \frac{V_1 - V_2}{1} = V_1 - V_2$$

$$I_1 = \frac{V_i}{R_1} = \frac{V_i}{1} = V_i$$

$$V_1 : V_1 (1 + 1) - (1) V_2 = -h_1 I_1$$

$$V_2 : V_2 (1 + 1) - (1) V_1 = h_2 I_2$$

$$\textcircled{2} \quad 2V_1 - V_2 = -h_1 V_i$$

$$2V_2 - V_1 = h_2 (V_1 - V_2) = h_2 V_1 - h_2 V_2$$

$$2V_1 - V_2 = -h_1 V_i$$

$$-V_1 - h_2 V_1 + 2V_2 + h_2 V_2 = 0$$

$$2V_1 - V_2 = -h_1 V_i$$

$$-(1 + h_2) V_1 + (2 + h_2) V_2 = 0$$

$$V_2 = V_L = \begin{vmatrix} 2 & -h_1 V_i \\ -(1 + h_2) & 0 \end{vmatrix} \\ \begin{vmatrix} 2 & -1 \\ -(1 + h_2) & (2 + h_2) \end{vmatrix}$$

$$= \frac{-h_1 (1 + h_2) V_i}{4 + 2h_2 - 1 - h_2}$$

$$V_L = \left[ \frac{h_1 (1 + h_2)}{3 + h_2} \right] V_i$$

$$(Z_3 + Z_4 + Z_5) I_3 - Z_3 I_1 - Z_5 I_2 = 0$$

$$(Z_1 + Z_3) I_1 - Z_1 I_2 - Z_3 I_3 = E$$

$$-Z_1 I_1 + (Z_1 + Z_2 + Z_5) I_2 - Z_5 I_3 = 0$$

$$-Z_3 I_1 - Z_5 I_2 + (Z_3 + Z_4 + Z_5) I_3 = 0$$

Bu denkleme dikkat edilirse denklem soldan sağa doğru olan köşegenlere göre simetriktir. Bu devrenin dengeli olması için  $I_{z_5} = 0$  olmalıdır. Yani

$$I_{z_5} = I_2 - I_3 = 0 \text{ Buna göre}$$

$$I_2 = \begin{vmatrix} Z_1 + Z_3 & E & -Z_3 \\ -Z_1 & 0 & -Z_5 \\ -Z_3 & 0 & (Z_3 + Z_4 + Z_5) \end{vmatrix} \\ \begin{vmatrix} Z_1 + Z_3 & -Z_1 & -Z_3 \\ -Z_1 & Z_1 + Z_2 + Z_5 & -Z_5 \\ -Z_3 & -Z_5 & Z_3 + Z_4 + Z_5 \end{vmatrix}$$

$$I_2 = \frac{E (Z_1 Z_3 + Z_1 Z_4 + Z_1 Z_5 + Z_3 Z_5)}{\Delta} \text{ (Payda determinatıdır)}$$

$$I_3 = \frac{E (Z_1 Z_3 + Z_1 Z_4 + Z_1 Z_5 + Z_3 Z_5)}{\Delta}$$

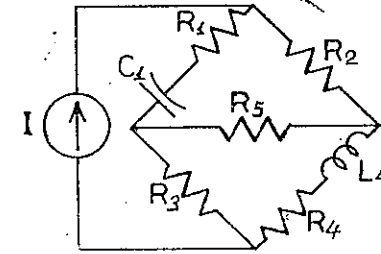
$$I_{z_5} = I_2 - I_3 = \frac{E (Z_1 Z_4 - Z_3 Z_2)}{\Delta}$$

$$I_{z_5} = 0 \text{ olduğundan}$$

$$Z_1 Z_4 = Z_3 Z_2 \quad (I_{z_5})$$

(5.1)

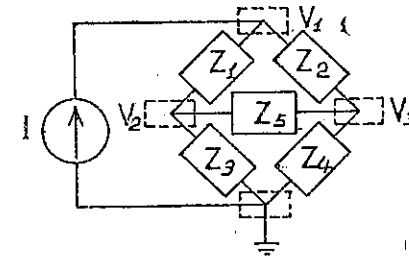
Şekil 5.34'deki devreyi düğüm noktaları analizi yöntemi kullanarak çözelim.



Şekil 5.34

**Çözüm:**

Devreyi empedanslarla ifade edersek şekil 5.35'deki şekli alır.



Şekil 5.35

$$Y_1 = \frac{1}{Z_1} = \frac{1}{R_1 - jX_C}$$

$$Y_2 = \frac{1}{Z_2} = \frac{1}{R_2}$$

$$Y_3 = \frac{1}{Z_3} = \frac{1}{R_3}$$

$$Y_4 = \frac{1}{Z_4} = \frac{1}{R_4 + jX_L}, \quad Y_5 = \frac{1}{R_5}$$

$$(Y_1 + Y_2) V_1 - Y_1 V_2 - Y_2 V_3 = I$$

$$(Y_1 + Y_3 + Y_5) V_2 - Y_1 V_1 - Y_5 V_3 = I$$

$$(Y_2 + Y_4 + Y_5) V_3 - Y_2 V_1 - Y_5 V_2 = 0$$

$$(Y_1 + Y_2) V_1 - Y_1 V_2 - Y_2 V_3 = I$$

$$-Y_1 V_1 + (Y_1 + Y_3 + Y_5) V_2 - Y_5 V_3 = 0$$

$$-Y_2 V_1 - Y_5 V_2 + (Y_2 + Y_4 + Y_5) V_3 = 0$$

Dikkat edilirse kurulan denklem ilgili köşegene göre yine simetriktir. Devrenin dengeli olması için  $V_{Z_5} = 0$  v olmalıdır. Yani

$$V_{Z_5} = V_2 - V_3 = 0$$

$$V_2 = \begin{vmatrix} Y_1 + Y_2 & I & -Y_2 \\ -Y_1 & 0 & -Y_5 \\ -Y_2 & 0 & (Y_2 + Y_4 + Y_5) \end{vmatrix}$$

$$V_2 = \frac{I (Y_1 Y_3 + Y_2 Y_2 + Y_1 Y_5 + Y_3 Y_5)}{\Delta}$$

$$V_3 = \frac{I (Y_1 Y_3 + Y_3 Y_2 + Y_1 Y_5 + Y_3 Y_5)}{\Delta}$$

bu denkleme dikkat edilirse çevre akımları yöntemine göre elde edilen denklemin aynıdır.

$$V_{Z_5} = V_2 - V_3 = \frac{I (Y_1 Y_4 - Y_3 Y_2)}{\Delta}$$

$V_{Z_5} = 0$  olduğundan

$$Y_1 Y_4 = Y_3 Y_2 \quad V_{Z_5} = 0 \text{ olur.}$$

veya

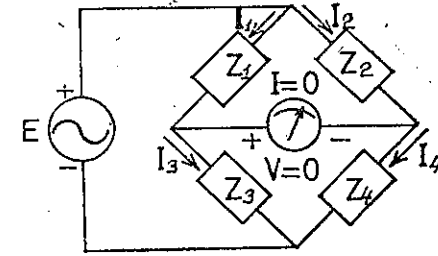
$$Y_1 = \frac{1}{Z_1}, \quad Y_2 = \frac{1}{Z_2}, \quad Y_3 = \frac{1}{Z_3}, \quad Y_4 = \frac{1}{Z_4}$$

$$\frac{1}{Z_1 Z_4} = \frac{1}{Z_3 Z_2}$$

veya

$$Z_1 Z_4 = Z_3 Z_2 \quad V_{Z_5} = 0 \quad (5.2)$$

Şimdi şekil 5.36 daki devre için dengeli durum kriterini araştıralım. Bu devrenin dengeli olabilmesi için



Şekil 5.36

$I$  veya  $V = 0$  olmalıdır.

Çünkü  $I = 0$  dan

$$I_1 = I_3 \quad (5.3 a)$$

$$I_2 = I_4 \quad (5.3 b)$$

$V = 0$  olması için

$$I_1 Z_1 = I_2 Z_2 \quad (5.3 c)$$

$$I_3 Z_3 = I_4 Z_4 \quad (5.3 d)$$

Yukarıda elde edilen akım ilişkilerini denklem (5.3 d) de yerine konursa

$$I_1 Z_3 = I_2 Z_4$$

$I_2 = \frac{Z_3}{Z_4} I_1$  olur. Böylece elde edilen  $I_2$  nin değerini denklem

3 c) de yerine konularak

$$I_1 Z_1 = \left( \frac{Z_3}{Z_4} I_1 \right) Z_2 \text{ den}$$

$$Z_1 Z_4 = Z_3 Z_2$$

ya

$$\frac{Z_1}{Z_3} = \frac{Z_2}{Z_4} \text{ olur.} \quad (5.4)$$

Şekil 5.34 deki devrede  $Z_5$  yerine hassas bir galvanometre bağlanır devre (Hay bridge) olarak anılır. Bu durumda

$$Z_1 = R_1 + jX_C$$

$$Z_2 = R_2$$

$$Z_3 = R_3$$

$$Z_4 = R_4 + jX_L$$

1 tip devreler bobinlerin direncini ölçmede veya indüktan ölçmelerde kullanılır.

$$Z_2 Z_3 = Z_4 Z_1 \text{ idi}$$

$$R_2 R_3 = (R_1 + jX_L) (R_4 - jX_C)$$

ya

$$R_2 R_3 = R_1 R_4 + j(R_1 X_L - R_4 X_C) + X_C X_L$$

$$R_2 R_3 + j0 = (R_1 R_4 + X_C X_L) + j(R_1 X_L - R_4 X_C)$$

1 denklemlerin bir birine eşit olması için her iki denklemin de gerçek hayali kısımları bir birine eşit olmalıdır. Bunun için dengeli Hay bridge devrede

$$R_2 R_3 = R_1 R_4 + X_C X_L \quad (5.5 a)$$

$$0 = R_1 X_L - R_4 X_C \quad (5.5 b)$$

1 ve  $X_C$  nin eşitleri formülde yerine konursa

$$X_L = \omega L$$

$$X_C = \frac{1}{\omega C}$$

$$X_C X_L = \left( \frac{1}{\omega C} \right) (\omega L) = \frac{L}{C}$$

ve

$$R_2 R_3 = R_1 R_4 + \frac{L}{C} \text{ den}$$

$$R_1 \omega L = \frac{R_4}{\omega C} \text{ Bu denklemde } R_4 \text{ bulunursa}$$

$$R_4 = (R_1 \omega L) \omega C$$

$$R_4 = \omega^2 L C R_1 \text{ olur.}$$

Elde edilen  $R_4$  değeri denklem 5.5 a da yerine konursa

$$R_2 R_3 = R_1 (\omega^2 L C R_1) + \frac{L}{C}$$

veya

$$C R_2 R_3 = L (\omega^2 C^2 R_1^2 + 1)$$

$$L = \frac{C R_2 R_3}{1 + \omega^2 C^2 R_1^2} \quad (5.6 a)$$

ve

$$R_4 = \frac{\omega^2 C^2 R_1 R_2 R_3}{1 + \omega^2 C^2 R_1^2} \quad (5.6 b)$$

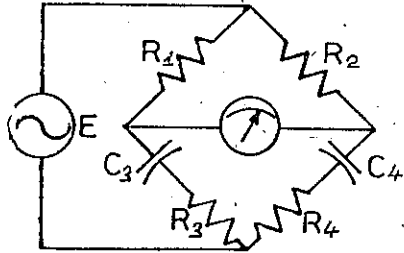
Denklem 5.5 ve 5.6 Hay bridge devrenin denge koşuludur. Dikkat edilirse bu koşul her iki denklemde de frekansa bağlıdır. Çeşitli frekans değerleri için direnç ve kondansatörün değerleri dengeli bir devre elde etmek için değiştirilmelidir. Başka bir ifadeyle direnç ve kondansatörün bileşke değeri bobinin bileşke değerine eşit yapılmalıdır. Şekil 5.35 deki Hay bridge devreye bir bobin bağlanırsa bobinin direnç ve indüktif değeri denklem 5.6 a ve 5.6 b yardımıyla bulunabilir. Eğer böyle bir devrede  $Z_5$  in yerine hassas bir galvanometre bağlanırsa elde edilen sistem yardımıyla her hangi bir bobinin indüktansı ölçülebilir. Böyle bir ölçme için bobinin direnci

bobinin indüktansından büyük olmalıdır. Uygulamalarda bobinin indüktansı veya direnci formül 5.4 ü kullanarak aşağıda elde edilen formüllerle bulunur.

$$L = C R_2 R_3 \quad (5.7)$$

$$R_4 = \frac{R_2 R_3}{R_1} \quad (5.8)$$

Köprü bağlı devreler bazan kapasite mukayeseli devre olarakta anılırlar. Şekil 5.37 de böyle bir devre görülmektedir. Bilinmeyen kondansatör değeriyle buna seri bağlı direnç değeri bu yöntem yardımıyla kolayca bulunabilir. Böyle bir hesaplama için gerekli formüller formül 5.4 yardımıyla aşağıdaki şekilde elde edilir.



Kondansatör mukayeseli köprü devre

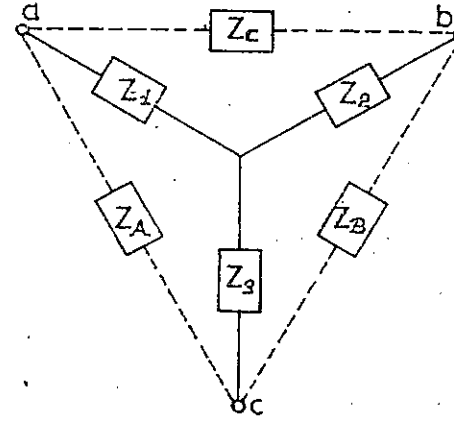
Şekil 5.37

$$C_4 = C_3 \frac{R_1}{R_2} \quad (5.9)$$

$$R_4 = \frac{R_2 R_3}{R_1} \quad (5.10)$$

### 5.8 $\Delta - Y$ ve $Y - \Delta$ BAĞLI DEVRELERİN BİR BİRİNE DÖNÜŞÜMÜ

$\Delta - Y$  ve  $Y - \Delta$  bağlı devrelerin bir birine dönüşümü için doğru im devrelerinde bu dönüşüm için gerekli formüllerin çıkarılması anlaşılmıştır. Bu bölümde bu dönüşüm formülleri tekrar edilmeyecektir. Şekil 5.38 de görülen yıldız bağlı bir devrenin üçgen bağlı elde edilecek gerileri veya üçgen bağlı bir devrenin yıldız bağlı değerlerini bulmak n aşağıdaki formüller kullanılır.



$\Delta - Y$  Bağlı Devre

Şekil 5.38

### ÜÇGENDEN YILDIZ

$$Z_1 = \frac{Z_A Z_C}{Z_A + Z_B + Z_C} \quad (5.11)$$

$$Z_2 = \frac{Z_B Z_C}{Z_A + Z_B + Z_C} \quad (5.12)$$

$$Z_3 = \frac{Z_A Z_B}{Z_A + Z_B + Z_C} \quad (5.13)$$

### YILDIZDAN ÜÇGENE

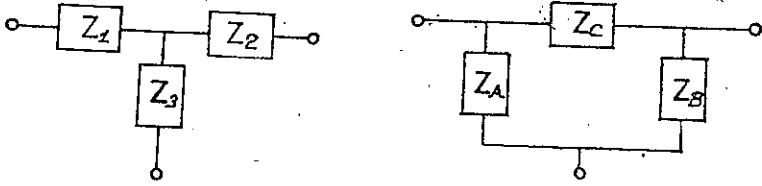
$$Z_A = \frac{Z_1 Z_2 + Z_1 Z_3 + Z_2 Z_3}{Z_2} \quad (5.14)$$

$$Z_B = \frac{Z_1 Z_2 + Z_1 Z_3 + Z_2 Z_3}{Z_1} \quad (5.15)$$

$$Z_C = \frac{Z_1 Z_2 + Z_1 Z_3 + Z_2 Z_3}{Z_3} \quad (5.16)$$

Dikkat edilirse üçgen bağlı bir devreyi yıldız bağlı bir devreye dönüştürürken yıldız devrenin her hangi bir kolunun empedansı, üçgen devrede bu kolun bağlı olduğu noktaya bağlı bulunan üçgen kollarının çarpımının üçgenin üç kolunun empedanslarının cebirsel toplamına bölümüne eşittir.

Yıldız bağlı bir devreyi üçgen bağlı bir devre haline dönüştürmek için her hangi bir üçgen kolun empedansı yıldız kolların ikişer ikişer çarpımının toplamını hesaplanan üçgen kolun uçlarına bağlı olmayan yıldız kolun empedansına bölünmesiyle bulunur. Şekil 5.39 da görülen T ve  $\pi$  devrelerin değişik şekilleri yıldız ve üçgen bağlı bir devre olarak çizilebilir. Ayrıca yıldız veya üçgen bağlı devrelerde yıldız veya üçgen kolların değerleri bir birine eşitse üçgen değeri aşağıdaki gibi bulunur.



Şekil 5.39

$$R_{\Delta} = 3 R_{\gamma} \text{ Veya } R_{\gamma} = \frac{R_{\Delta}}{3}$$

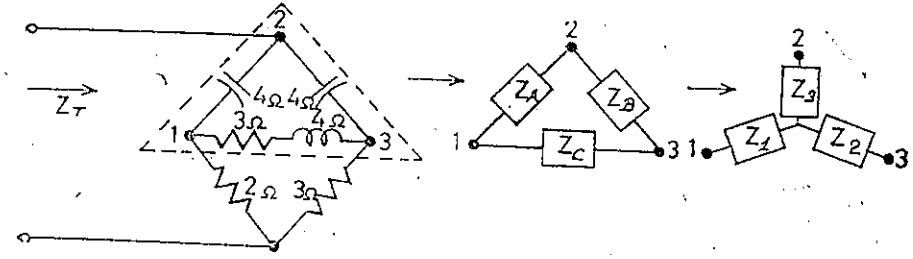
Alternatif akım devreleri için

$$Z_{\Delta} = 3 Z_{\gamma} \text{ Veya } Z_{\gamma} = \frac{Z_{\Delta}}{3}$$

A.A. devrelerinde kolların değerleri bu yolla bulunurken empedans bileşenlerinin açıları da bir birine eşit veya aynı olmalıdır.

### ÖRNEK: 5.16

Şekil 5.40 daki devrede  $Z_T$  değerini bulunuz.



Şekil 5.40

Çözüm:

$$Z_A = -j4$$

$$Z_B = -j4$$

$$Z_C = 3 + j4$$

$$\begin{aligned} Z_1 &= \frac{Z_A Z_C}{Z_A + Z_B + Z_C} = \frac{(-j4)(3 + j4)}{-j4 - j4 + 3 + j4} \\ &= \frac{(4 / -90^\circ)(5 / 53^\circ)}{3 - j4} = \frac{20 / -37^\circ}{5 / -53^\circ} \\ &= 4 / 16^\circ = 3.84 + j1.12 \end{aligned}$$

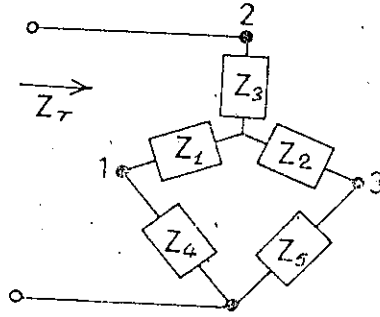
$$\begin{aligned} Z_2 &= \frac{Z_B Z_C}{Z_A + Z_B + Z_C} = \frac{(-j4)(3 + j4)}{5 / -53^\circ} \\ &= 4 / 16^\circ = 3.84 + j1.12 \end{aligned}$$

Eğer yıldız veya üçgen bağlı bir devrede iki kolun değeri bir birine eşitse bunların dönüşümünden meydana gelen yeni devrenin bu iki kolunun değeride bir birine eşittir. Örneğin  $Z_A = Z_B$  ise  $Z_1 = Z_2$  dir.

$$\begin{aligned} Z_3 &= \frac{Z_A Z_B}{Z_A + Z_B + Z_C} = \frac{(-j4)(-j4)}{5 / -53^\circ} \\ &= \frac{16 / -180^\circ}{5 / -53^\circ} = 3.2 / -127^\circ = 1.92 - j2.55 \end{aligned}$$



Böylece elde edilen yıldız devreyi şekil 5.41 de görüldüğü gibi bağlarsak:



Şekil 5.41

$$Z_1 = 3.84 + J1.12$$

$$Z_2 = 3.84 + J1.12$$

$$Z_3 = -1.92 - J2.55$$

$$Z_4 = 2$$

$$Z_5 = 3$$

$Z_1$  ve  $Z_4$  empedansları seri bağlı olduğu için

$$Z_{T1} = Z_1 + Z_4 = 3.84 + J1.12 + 2 = 5.84 + J1.12 \\ = 5.95 / 10.9^\circ$$

$Z_2$  ve  $Z_5$  empedansları seri olduğu için

$$Z_{T2} = Z_2 + Z_5 = 3.84 + J1.12 + 3 = 6.84 + J1.12 \\ = 6.92 / 9.3^\circ$$

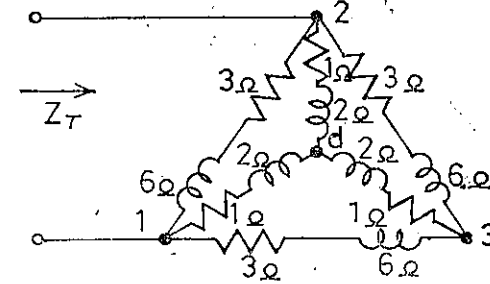
$Z_{T1}$  ve  $Z_{T2}$  empedanslarında bir birine paralel olduğu için

$$Z_{T3} = \frac{Z_{T1} Z_{T2}}{Z_{T1} + Z_{T2}} = \frac{(5.95 / 10.9^\circ) (6.92 / 9.3^\circ)}{5.84 + J1.12 + 6.84 + J1.12} \\ = \frac{41.2 / 20.2^\circ}{12.68 + J2.24} = \frac{41.2 / 20.2^\circ}{12.8 / 10.1^\circ} = 3.22 / 10.1^\circ \\ = 3.15 + J0.562$$

$$Z_{T3} \text{ ve } Z_3 \text{ empedansları bir birine seri olduğu için} \\ Z_T = Z_3 + Z_{T3} = -1.92 - J2.55 + 3.15 + J0.562 \\ = 1.23 - J1.99$$

ÖRNEK: 5.17

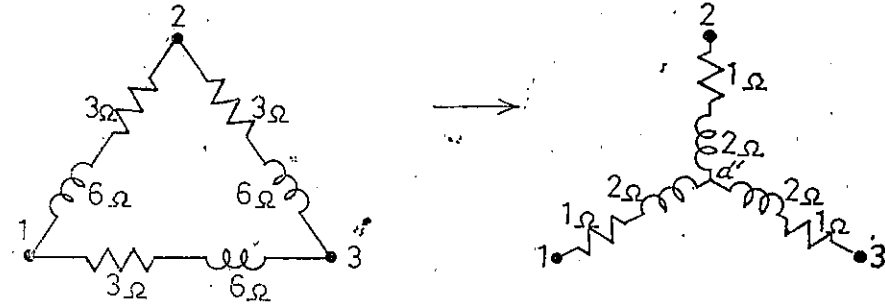
Şekil 5.42 deki devrede  $Z_T$  değerini bulunuz.



Şekil 5.42

**Çözüm:**

Şekil 5.43 deki üçgen bağlantıyı yıldız bağlantı şekline dönüştürelim. Üçgen bağlı devrenin bütün kol değerleri bir birine eşit olduğundan

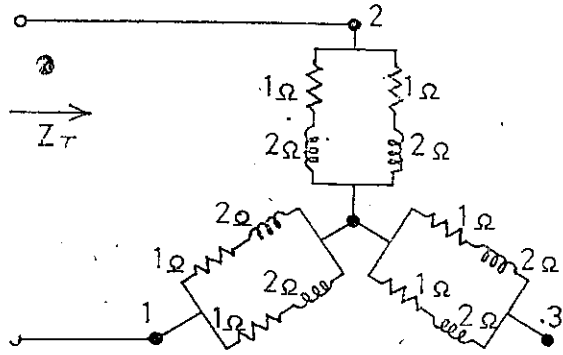


Şekil 5.43

$$Z_Y = \frac{Z_{\Delta}}{3} = \frac{3 + J6}{3} = 1 + J2$$

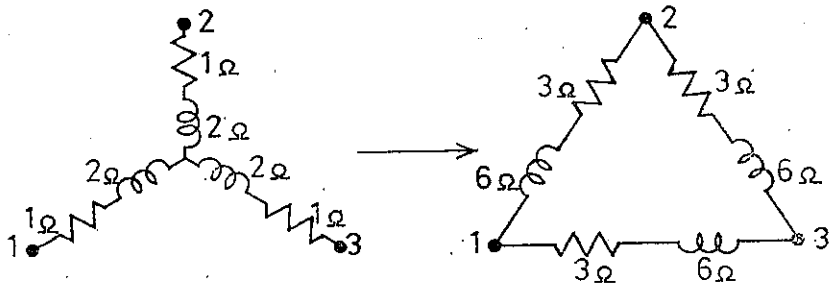
Buna göre devre şekil 5.44 deki gibi tekrar çizilirse

$$Z_T = 2 \left( \frac{1 + J2}{2} \right) = 1 + J2$$



Şekil 5.44

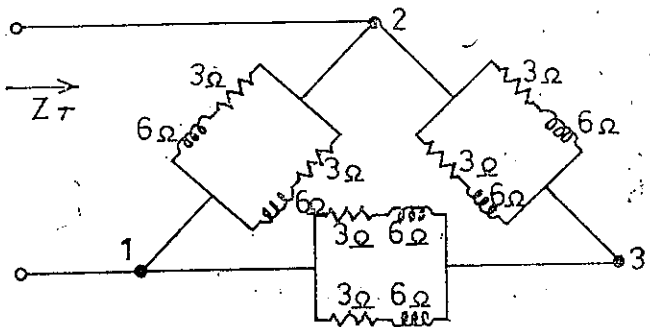
Şekil 5.45 de görüldüğü gibi yıldız bağlı devreyi üçgen bağlı bir devreye şekline dönüştürürsek



Şekil 5.45

$$Z_{\Delta} = 3Z_{\gamma} = 3(1 + j2) = 3 + j6$$

Böylece elde edilen üçgen devrenin paralel kollarıyla şekil 5.46 daki gibi veniden çizilirse



Şekil 5.46

$$Z' = \frac{3 + j6}{2} = 1.5 + j3$$

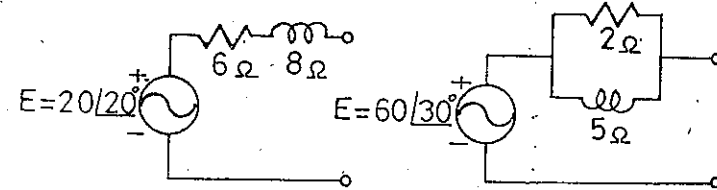
$$Z_T = \frac{Z'(2Z')}{Z' + 2Z'} = \frac{2(Z')^2}{3Z'} = \frac{2Z'}{3}$$

$$= \frac{2(1.5 + j3)}{3} = 1 + j2$$

## PROBLEMLER

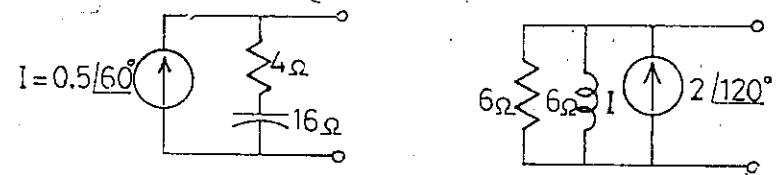
## Bölüm 5.2

- 1 — Bağımsız ve bağımlı kaynaklar arasındaki farkları belirtiniz.
- 2 — Şekil 5.47 deki gerilim kaynağını akım kaynağına dönüştürünüz.



Şekil 5.47

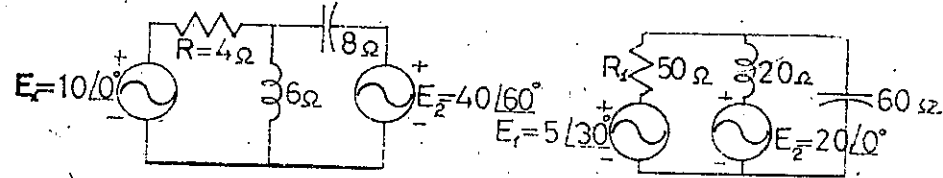
- 3 — Şekil 5.48 deki akım kaynağını gerilim kaynağına dönüştürünüz.



Şekil 5.48

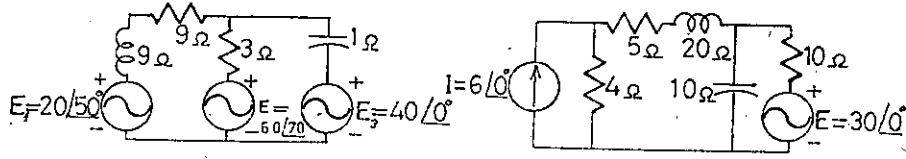
## Bölüm 5.4

- a) Şekil 5.49 daki devreye için gerekli denklemleri çevre akımları yöntemine göre yazınız.
- b)  $R_1$  direncinden geçen akımı bulunuz.



Şekil 5.49

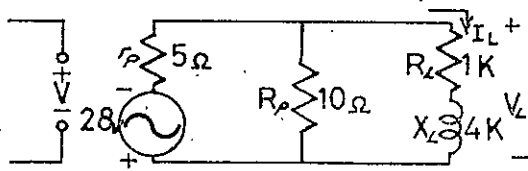
5 — Problem 4 ü şekil 5.50 deki devre için tekrar ediniz.



Şekil 5.50

## Bölüm 5.5

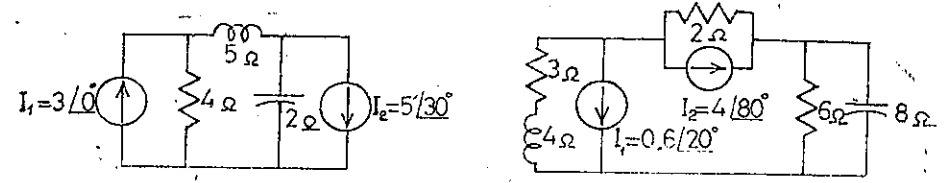
- 6 — a) Şekil 5.49 daki devre için çevre akımları yöntemiyle (özel yaklaşım) gerekli denklemleri yazınız.  
 b) Bu denklemler simetrikmidir?  
 c)  $R_1$  den geçen akımı bulunuz.
- 7 — Problem 6 yı şekil 5.50 deki devre için tekrar ediniz.
- 8 — Çevre akımları yöntemiyle şekil 5.51 deki devrede  $i_L$  akımını bulunuz.



Şekil 5.51

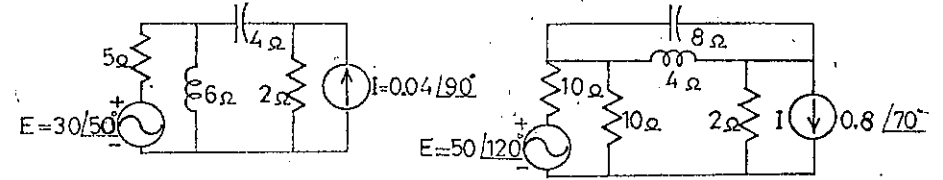
## Bölüm 5.6

- 9 — a) Şekil 5.52 deki devrede düğüm noktaları analizine göre denklemleri yazınız.  
 b) Denklemler simetrikmidir?  
 c) Düğüm noktası gerilimlerini bulunuz.



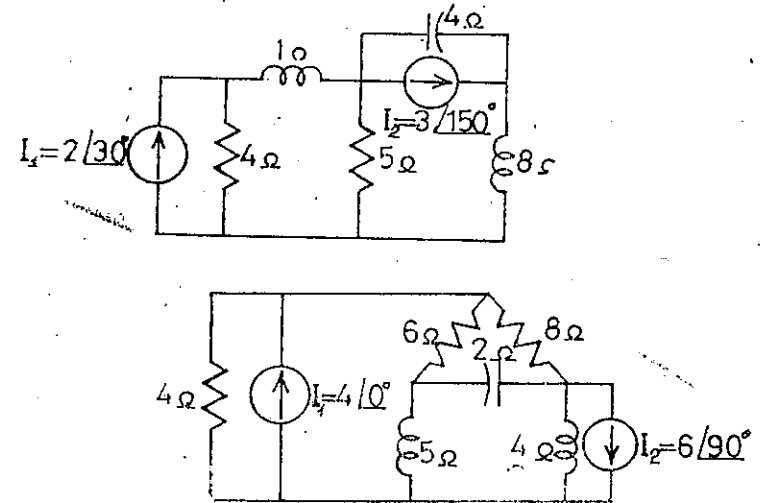
Şekil 5.52

10 — Problem 9 u şekil 5.53 deki devre için tekrar ediniz.



Şekil 5.53

11 — Problem 9 u şekil 5.54 deki devre için tekrar ediniz.

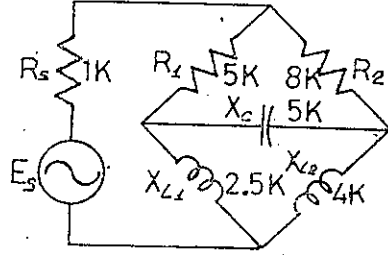


Şekil 5.54

## Bölüm 5.7

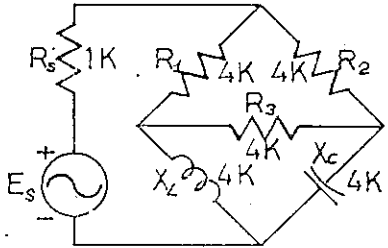
12 — Şekil 5.55 deki köprü devre için

- a — Bu köprü devre dengelimidir?  
 b — Çevre akımları yöntemiyle  $i_C$  akımını bulunuz.  
 c — Düğüm noktaları yöntemiyle  $V_C$  gerilimini bulunuz.



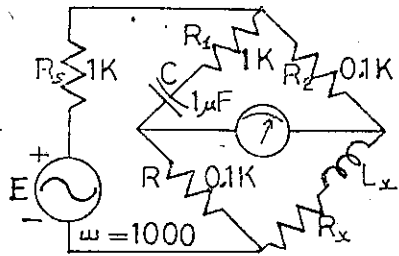
Şekil 5.55

13 — Problem 12 yi şekil 5.56 daki devre için tekrar ediniz.



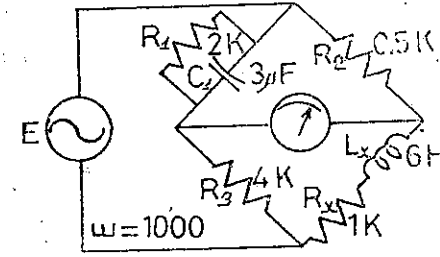
Şekil 5.56

14 — Şekil 5.57 deki Hay bridge dengeli devresinde formül (5.1) kullanarak  $L_X$  ve  $R_X$  değerlerini bulunuz.



Şekil 5.57

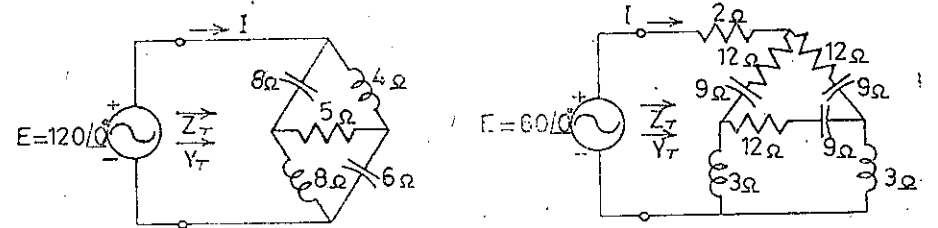
15 — Şekil 5.58 deki devre ( $\omega = 1000$ ) için dengelimidir?



Şekil 5.58

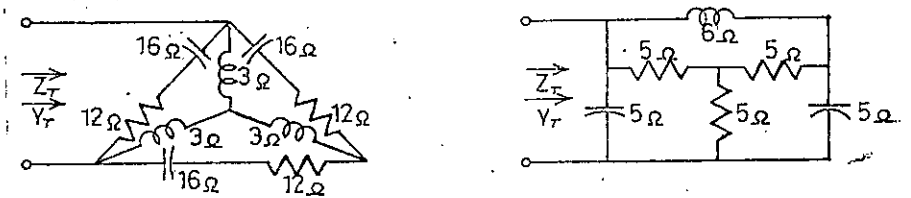
## Bölüm 5.8

16 —  $\Delta$ -Y veya Y- $\Delta$  dönüşüm yöntemiyle şekil 5.59 daki devrede I akımını bulunuz.



Şekil 5.59

17 — Problem 16 yi şekil 5.60 daki devre için tekrar ediniz. ( $E = 100 \angle 0^\circ$ )



Şekil 5.60

## A.A. DEVRE TEOREMLERİ

### 6.1 GİRİŞ

Çeşitli devre teoremlerinin alternatif akım devrelerine uygulanırken teoremlerin uygulanacağı devrenin kaynak özelliğine göre (kontrol niş veya bağımlı) iki grupta toplanabilir. Bunlar bağımlı kaynaklı devreler ve bağımsız kaynaklı devrelerdir.

Bu bölümde incelenecek teoremler şunlardır. Superposition, Thevenin, Norton, Maksimum güç teoremleridir. Bu bölümde doğru akım devrelerine kullanılan diğer teoremlere yer verilmeyecektir. Çünkü bu teoremler doğru akım devrelerinde anlatıldıkları şekilde doğrudan alternatif akım devrelerine uygulanabilirler.

### 6.2 SUPERPOSITION TEOREMİ

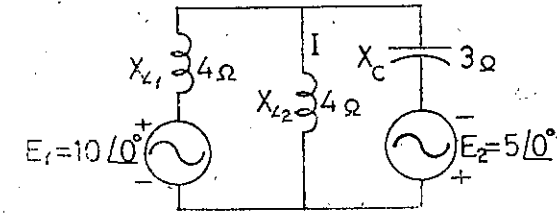
Superposition teoremi eş zamanlı lineer denklemleri çözmek için her kaynak için o kaynağın dışında kalan kaynaklar devreden çıkarılır. Bunu yapmak için o kaynağın dışındaki kaynakları sifira indirgenir. Yani bu kaynaklar kısre edilir. Akım kaynaklarını sifira indirmek için açık devre bağlanır. Yani devrenin uçları açık bırakılır. Böylece devrenin bir bölümünün uç gerilimi veya geçen akım her bir kaynağın değeri cebirsel olarak bulunur ve istenilen toplam akım veya gerilim bulunur. Bu yöntemin alternatif akım devrelerine uygulanmasındaki değişiklik sadece bağımsız kaynaklardır. Ayrıca alternatif akım devrelerinde empedans ve vektör kullanılır. Bu değerler doğru akım devreleri için dirençler ve geransayılardır.

Superposition teoremi alternatif akım devrelerinde güç etkileri için pek uygulanmaz. Çünkü şu anda düşünülen sinüsoidal olmayan bir alternatif akımdır. Superposition teoremine göre çözülecek alternatif akım devrelerinde ilk önce bağımsız kaynaklı devreler ele alınacaktır.

### BAĞIMSIZ KAYNAKLAR

#### ÖRNEK: 6.1

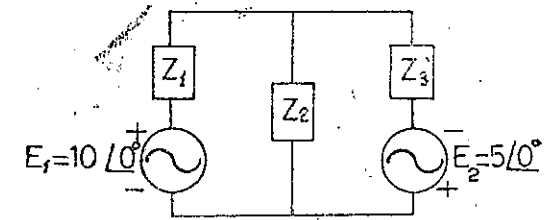
Superposition teoremini kullanarak şekil 6.1 deki devrede 4 ohmlük reaktanstan geçen akımı bulunuz.



Şekil 6.1

#### Çözüm:

Devreyi şekil 6.2 deki gibi tekrar çizersek



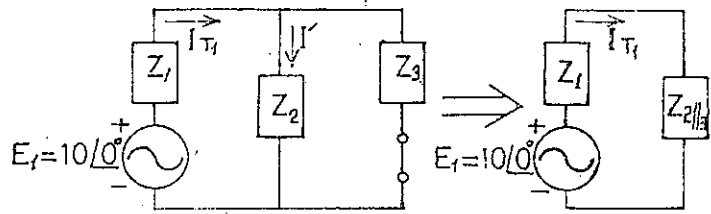
Şekil 6.2

$$Z_1 = j4$$

$$Z_2 = j4$$

$$Z_3 = -j3$$

İlk önce  $E_1$  gerilim kaynağının etkilerini bulalım. Şekil 6.3



Şekil 6.3

$$Z_2 \parallel Z_3 = \frac{Z_2 Z_3}{Z_2 + Z_3}$$

$$= \frac{(J4)(-J3)}{J4 - J3} = 12 \angle -90^\circ$$

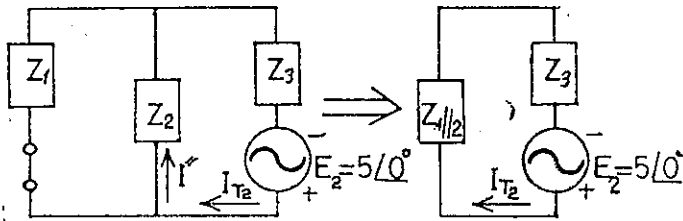
$$I_{T1} = \frac{E_1}{Z_2 \parallel Z_3 + Z_1} = \frac{10 \angle 0^\circ}{-J12 + J4} = \frac{10 \angle 0^\circ}{8 \angle -90^\circ}$$

$$= 1.25 \angle 90^\circ$$

$$I' = \frac{Z_3 I_{T1}}{Z_2 + Z_3} \text{ (Akım bölme kaidesi)}$$

$$I' = \frac{(-J3)(J1.25)}{J4 - J3} = \frac{3.75}{J} = 3.75 \angle -90^\circ$$

$E_2$  gerilim kaynağının bu devreye olan etkisini düşünelim. Şekil 6.4



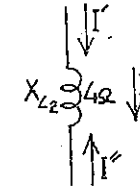
Şekil 6.4

$$Z_1 \parallel Z_2 = \frac{Z_1 Z_2}{N} = \frac{J4}{2} = J2$$

$$I_{T2} = \frac{E_2}{Z_1 \parallel Z_2 + Z_3} = \frac{5 \angle 0^\circ}{J2 - J3} = \frac{5 \angle 0^\circ}{1 \angle -90^\circ} = 5 \angle 90^\circ$$

$$I'' = \frac{I_{T2}}{2} = 2.5 \angle 90^\circ$$

Böylece 4 omluk reaktanstan geçen toplam akım şekil 6.5'deki gibidir.



Şekil 6.5

$$I = I' - I''$$

$$= 3.75 \angle -90^\circ - 2.50 \angle 90^\circ$$

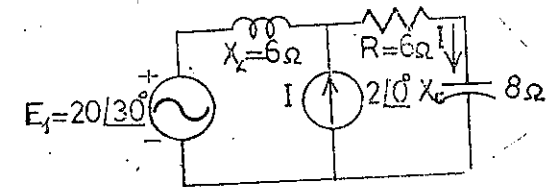
$$= -J3.75 - J2.50$$

$$= -J6.25$$

$$I = 6.25 \angle -90^\circ$$

ÖRNEK: 6.2

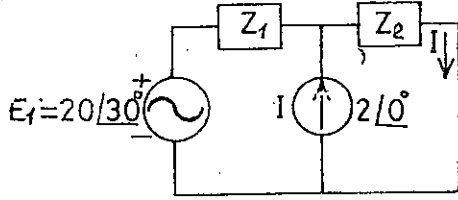
Superposition teoremini kullanarak şekil 6.6'daki devrede 6 omluk dirençten geçen akımı bulunuz.



Şekil 6.6

**Çözüm:**

Devre şekil 6.7 deki gibi tekrar çizilirse.

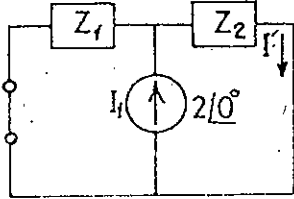


Şekil 6.7

$$Z_1 = j6$$

$$Z_2 = 6 - j8$$

Şekil 6.8 deki devrede gerilim kaynağının etkisi akım bölme kaidesi kullanılarak bulunursa



Şekil 6.8

$$I' = \frac{Z_2 I_1}{Z_1 + Z_2} = \frac{j6 (2)}{j6 + 6 - j8}$$

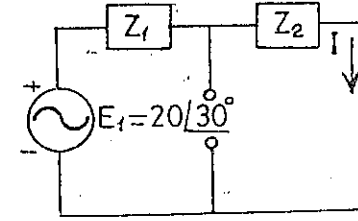
$$= \frac{j12}{6 - j2} = \frac{12 / 90^\circ}{6.32 / -18.3^\circ}$$

$$I' = 1.9 / 108.3^\circ$$

Şekil 6.9 daki devrede gerilim kaynağının etkisini bulmak için devreye om kanunu uygulanırsa

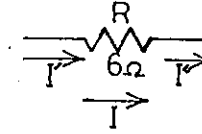
$$I'' = \frac{E_1}{Z_T} = \frac{E_1}{Z_1 + Z_2} = \frac{20 / 30^\circ}{6.32 / -18.3^\circ}$$

$$I'' = 3.16 / 48.3^\circ$$



Şekil 6.9

Şekil 6.10 daki devrede 6 om luk dirençten geçen akım



Şekil 6.10

$$I = I' + I''$$

$$= 1.9 / 108.3^\circ + 3.16 / 48.3^\circ$$

$$= (-0.595 + j1.81) + (2.1 + j2.36)$$

$$= 1.505 + j4.17$$

$$I = 4.43 / 70.2^\circ$$

**ÖRNEK: 6.3**

Şekil 6.6 daki devrede 6 om luk direnç uçlarındaki gerilimi bulunuz.

**Çözüm:**

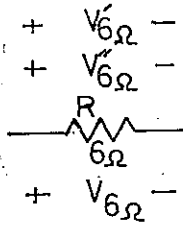
Akım kaynağı için

$$V'_{6\Omega} = I' 6 = (1.9 / 108.3^\circ) (6) = 11.4 / 108.3^\circ$$

Gerilim kaynağı için

$$V''_{6\Omega} = I'' 6 = (3.16 / 48.3^\circ) (6) = 18.9 / 48.3^\circ$$

Şekil 6.11 de görülen 6 om luk direnç uçlarındaki gerilim.



Şekil 6.11

$$\begin{aligned} V_{6\Omega} &= V'_{6\Omega} + V''_{6\Omega} \\ &= 11.4 \angle 108.3^\circ + 18.9 \angle 3^\circ \\ &= (-3.57 + j10.8) + 12.6 + j14.1 \\ &= 9.03 + j24.9 \end{aligned}$$

$V_{6\Omega} = 25.6 \angle 70.2^\circ$  Bu sonucu kontrol edersek

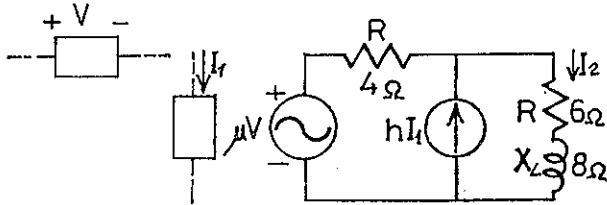
$$V_{6\Omega} = I (6) = (4.43 \angle 70.2^\circ) \cdot (6) = 26.5 \angle 70.2^\circ$$

### BAĞIMLI KAYNAKLAR

Superposition teoreminin uygulandığı devrelerde bağımlı kaynaklar için onun kontrol değişkeni devre tarafından tesbit edilemez. Bu teoremin bağımlı kaynaklı devrelere uygulanması tıpkı bağımsız kaynaklı devrelerde olduğu gibidir. Devrenin çözümü basitçe kontrol değişkeni ile elde edilir.

### ÖRNEK: 6.4

Superposition teoremini kullanarak şekil 6.12 deki devrede  $I_2$  akımını bulunuz. Bu devrede  $\mu$  ve  $h$  değerleri sabittir.

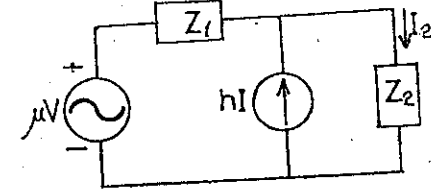


Şekil 6.12

**Çözüm:**

Devreyi empedanslar yardımıyla yeniden çizersek.

Şekil 6.13

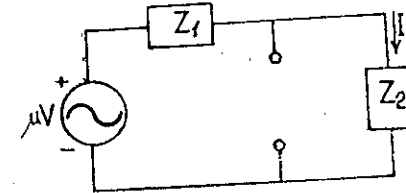


Şekil 6.13

$$Z_1 = 4$$

$$Z_2 = 6 + 8$$

Gerilim kaynağı için şekil 6.14



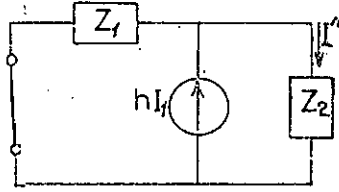
Şekil 6.14

$$\begin{aligned} I' &= \frac{\mu V}{Z_1 + Z_2} \\ &= \frac{\mu V}{4 + 6 + j8} \\ &= \frac{\mu V}{10 + j8} \end{aligned}$$

$$I' = \frac{\mu V}{12.8 \angle 38.7^\circ} = 0.078 \mu V \angle -38.7^\circ$$



Akım kaynağı için şekil 6.15



Şekil 6.15

$$I'' = \frac{Z_1 (hI)}{Z_1 + Z_2} = \frac{4 (hI)}{12.8 / 38.7^\circ}$$

$$= 4 (0.078) hI / -38.7^\circ$$

$$I'' = 0.312 hI / -38.7^\circ$$

Akım

$$I_2 = I' + I''$$

$$= 0.078 \mu V / -38.7^\circ + 0.312 hI / -38.7^\circ$$

$$V = 10 / 0^\circ$$

$$I = 20 \times 10^{-3} / 0^\circ$$

$$\mu = 20$$

$$h = 100$$

$$I_2 = 0.078 (20) (10) / -38.7^\circ + 0.312 (100) (20 \times 10^{-3}) / -38.7^\circ$$

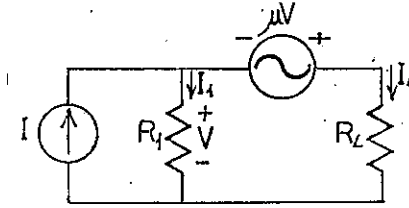
$$= 15.6 / -38.7^\circ + 0.624 / -38.7^\circ$$

$$I_2 = 16.224 / -38.7^\circ$$

Bağımlı devreler için kontrol değişkeni teoremin uygulandığı devre tarafından tesbit edilir ve bağımlı değişken kontrol değişkeni sıfır olmadıkça bağımlı değişkende sıfır olmaz. Örnek 6.4 de görüldüğü gibi bağımlı değişken içeren devrelerde superposition teoremi her bir bağımsız kaynak için uygulanır ve devrenin değerlendirilen bölümünde bağımlı kaynak kontrol değişkeni içermez. Burada tekrar vurgulanmalıdır ki bağımlı kaynaklar bir enerji kaynağı değildirler.

Başka bir ifadeyle eğer bütün bağımsız kaynaklar devreden çıkarılırsa o anda bütün akım ve gerilimler sıfır olur.

## ÖRNEK: 6.5

Şekil 6.16 daki devrede  $R_L$  den geçen  $I_L$  akımını bulunuz.

Şekil 6.16

Çözüm:

Bu devreye dikkat edilirse kontrol değişkeni  $V$  devrenin analiz edilen kısmı tarafından tesbit edilir. Yukarıda vurgulandığı gibi bağımlı kaynak,  $V$  değeri sıfır olmadıkça sıfır olmaz. Eğer  $I$  değerini sıfır yaparsak devre emk kaynaksızlığından dolayı  $V = 0$  veya  $\mu V = 0$  olur. Bu koşullar altında  $I_L$  akımında sıfır olur. Böylece şekil 6.16 daki devre ye superposition teoremi uygulanırken kaynak devreden çıkarılmaz.

Yukarıdaki devreye Kirchhoff'un gerilim kanunu uygulanırsa

$$V_L = V + \mu V = V(1 + \mu)$$

$$I_L = \frac{(1 + \mu)V}{R_L}$$

Sonuç  $I$  amper olarak bulunmak zorundadır. Çünkü  $V$  ve  $\mu V$  değerleri bağımlı değişkenlerdir.

Kirchhoff'un akım kanunu uygulanırsa

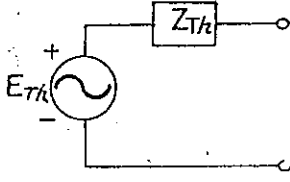
$$I_L = \frac{(1 + \mu)V}{R_L} = \frac{(1 + \mu)}{R_L} \left[ I / \left( \frac{1}{R_1} + \frac{1 + \mu}{R_L} \right) \right]$$

$$I_L = \frac{(1 + \mu) R_1 I}{R_L + (1 + \mu) R_1}$$

## 6.3 THEVENİN TEOREMİ

Sinüsoidal alternatif akım devreleri anlatılırken vurgulandığı gibi Thevenin teoremi sadece direnç yerine empedansı içerir. Bu teorem alternatif akım devreleri için aşağıdaki gibi ifade edilir.

Lineer alternatif akım devrelerinde her hangi iki terminal bir gerilim kaynağı ve buna seri bağlı bir empedansı içeren bir devre olarak düşünülebilir. Şekil 6.17. Devrenin reaktansları frekansa bağlı olduğundan devrelerin Thevenin eşiti frekansın tek bir değeri için eş değerdir. Thevenin teoreminin alternatif akım ve doğru akım devrelerine uygulanırken doğru akım için direnç alternatif akım için ise empedans olarak ifade edilir. Ayrıca bağımlı ve bağımsız kaynaklar bu teoreme ayrı ayrı işlem görürler.



Şekil 6.17

### BAĞIMSIZ KAYNAKLAR

1 — Devrenin Thevenin eşiti bulunacak parçasının uçları esas devreden ayrılır.

2 — Devrenin geri kalan iki terminali (0,.) işaretiyle işaretlenir.

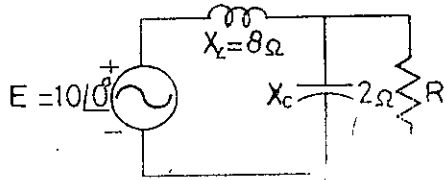
3 — Devrenin geri kalan kısmında bulunan bütün akım ve gerilim kaynakları sıfıra indirgenir ve  $Z_{TH}$  değeri hesaplanır. Bu değer iki terminal arasındaki empedans değeridir. (Gerilim kaynağını sıfırlamak için açık devre yöntemi kullanılır)

4 — Önce gerilim kaynağı ve akım kaynağı yerlerine bağlanır ve iki terminal uçlarındaki açık devre gerilimi  $E_{TH}$  değeri bulunur.

5 — Devrenin daha önceden ayrılan kısmı tekrar yerine bağlanmak suretiyle Thevenin eşiti ile birlikte devrenin yeni şekli tekrar çizilir.

### ÖRNEK: 6.6

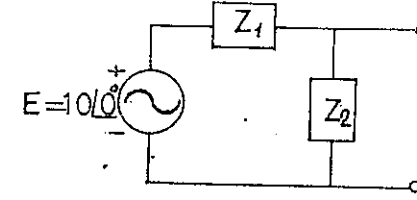
Şekil 6.18 deki devrenin R direncine göre Thevenin eşitini bulunuz.



Şekil 6.18

### Çözüm:

İş sırası 1 ve 2 şekil 6.19

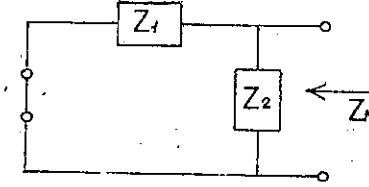


Şekil 6.19

$$Z_1 = j8$$

$$Z_2 = -j2$$

İş sırası 3 ve şekil 6.20

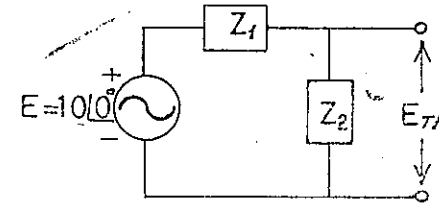


Şekil 6.20

$$Z_{TH} = \frac{Z_1 Z_2}{Z_1 + Z_2} = \frac{(j8)(-j2)}{j8 - j2} = \frac{-j^2 16}{j6} = \frac{16}{6 \angle 90^\circ}$$

$$Z_{TH} = 2.67 \angle -90^\circ$$

İş sırası 4 şekil 6.21

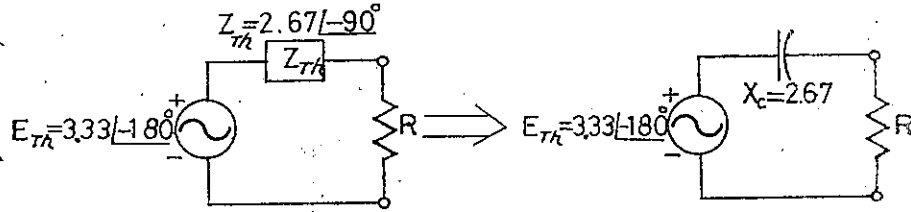


Şekil 6.21

$$E_{Th} = \frac{Z_2 E}{Z_1 + Z_2} \quad (\text{Gerilim bölme kaidesi})$$

$$E_{Th} = \frac{(-j2)(10)}{j8 - j2} = \frac{-j20}{j6} = 3.33 \angle -180^\circ$$

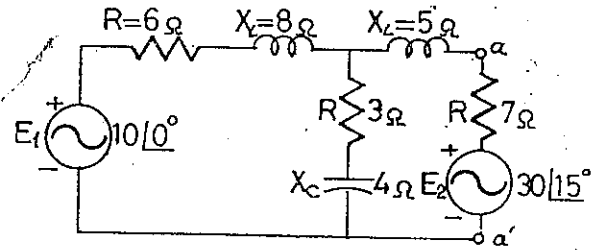
İş sırası 5 şekil 6.22 devrenin Thevenin eşiti



Şekil 6.22

### ÖRNEK: 6.7

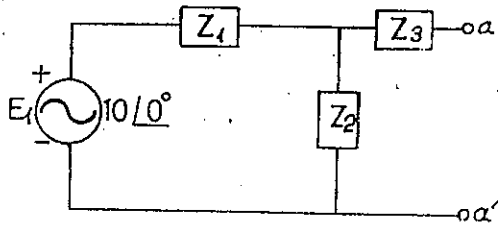
Şekil 6.23 deki devrede a-a' terminaline göre Thevenin eşitini bulunuz.



Şekil 6.23

**Cözüm:**

İş sırası 1 ve 2, devreyi empedanslarla birlikte yeniden çizerek şekil 6.24



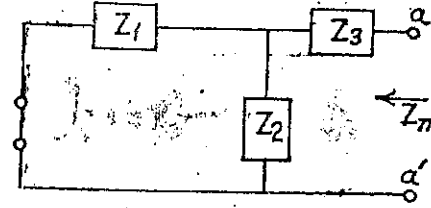
Şekil 6.24

$$Z_1 = 6 + j8$$

$$Z_2 = 3 - j4$$

$$Z_3 = j5$$

İş sırası 3 şekil 6.25



Şekil 6.25

$$Z_{Th} = Z_3 + \frac{Z_1 Z_2}{Z_1 + Z_2}$$

$$= j5 + \frac{(10 / 53^\circ)(5 / -53^\circ)}{(6 + j8) + (3 - j4)}$$

$$= j5 + \frac{50 / 0^\circ}{9 + j4} = j5 + \frac{50 / 0^\circ}{9.85 / 23.9^\circ}$$

$$= j5 + 5.07 \angle -23.9^\circ = j5 + 4.6 - j2.03$$

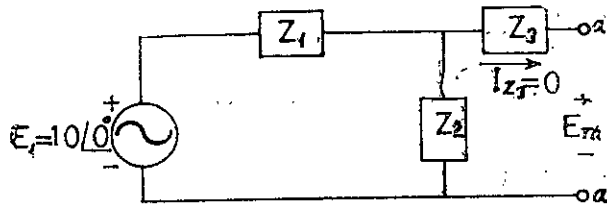
$$Z_{Th} = 4.6 + j2.97$$

İş sırası 4, şekil 6.26 a-a' terminali açık devre olduğu için  $I_{Z_3} = 0$  dir. Böylece  $E_{Th}$  değeri  $Z_2$  empedansında düşen gerilime eşittir.

$$E_{Th} = \frac{Z_2 E}{Z_2 + Z_1} \quad (\text{Gerilim bölme kaidesi})$$

$$= \frac{(5 / -53^\circ)(10 / 0^\circ)}{9.85 / 23.9^\circ}$$

$$E_{Th} = \frac{50 / -53^\circ}{9.85 / 23.9^\circ} = 5.08 \angle -76.9^\circ$$



Sekil 6.26

Şekil 6.28c de görüldüğü gibi eğer harici terminaller kısa devre edilirse kısa devre akımı tesbit edilebilir.

$$I_k = \frac{E_{Th}}{Z_{Th}} \quad (6.2)$$

veya

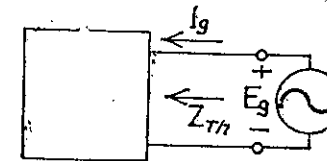
$$Z_{Th} = \frac{E_{Th}}{I_k}$$

$$Z_{Th} = \frac{E_{ac}}{I_k} \quad (6.3)$$

6.1 ve 6.3 deki formüllerin ifade ettiği gibi her hangi bir lineer doğru akım veya alternatif akım bağımlı veya bağımsız kaynaklı devrelerde eğer devrenin bir bölümünde açık devre gerilimi aynı iki terminalin kısa devre akımı süresince tesbit edilirse devrenin Thevenin eşiti biliniyor demektir. Bu düşünce aşağıdaki bir kaç örneğin incelenmesinde kolayca anlaşılabilir. Bu yöntemin faydası oldukça açıktır. Kısa devre akımı  $I_k$  devrenin Thevenin empedansı  $Z_{Th}$  yi bulmak için gereklidir. Bunun dışında devredeki bütün kyanaklardan bu değeri bulmak oldukça zordur.

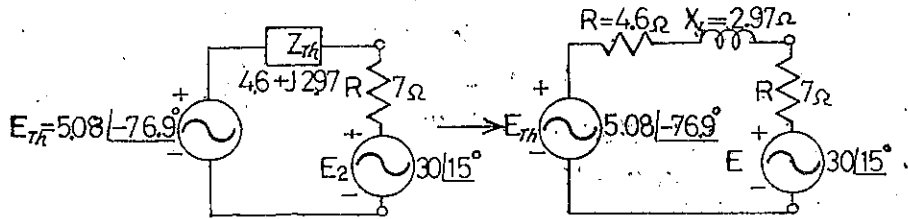
Bunlardan başka bir devrenin Thevenin eşitini bulmak için üçüncü bir yöntem daha vardır. Devrenin Thevenin gerilimi bundan önceki iki yöntem yardımıyla bulunur. Bir devrenin Thevenin empedansını bulmak için devrenin o bölümünün terminallerine emk kaynağı bağlanır ve kaynağın akımı şekil 6.29 da görüldüğü gibi tesbit edilir. Bu yöntem için orjinal devrenin gerilim kaynağı sıfıra indirgenir. Böylece devrenin Thevenin empedansı aşağıdaki formülle hesaplanır.

$$Z_{Th} = \frac{E_g}{I_g} \quad (6.4)$$



Sekil 6.29

İş sırası 5, şekil 6.27 devrenin Thevenin eşiti.

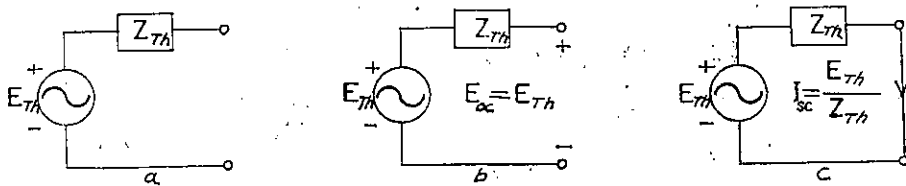


Sekil 6.27

### BAĞIMLI KAYNAKLAR

Kontrol değişkenli ve bağımlı kaynaklar içermeyen devrelere ait işlemler bundan önceki bölümde incelenmiştir. Bağımlı kaynaklı ve kontrol değişkenli devrelere veya devre bölümlerinde bu teoremin uygulanabilmesi için başka bir yöntem gereklidir. Bu bölümdeki örneklerle bu yöntemlerin nasıl uygulanacağı gösterilecektir. Bu gibi devrelerde bağımlı kaynakların miktarı sınırlı değildir. Bu yöntemler doğru akım ve alternatif akım için geçerlidir.

Devre çözümünde geliştirilen yöntemler ve Thevenin teoremi bu bölümdeki örnekler için çok iyi bir uygulama alanıdır Şekil 6.28 a da ve b de açık devre terminal gerilimi ( $E_{ac}$ ) ile Thevenin eşiti devrenin Thevenin eşiti gerilimi görülmektedir.



Sekil 6.28

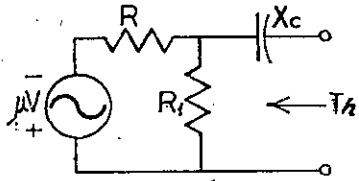
$$E_{ac} = E_{Th}$$

$$(6.1)$$

Dikkat edilirse her yöntem için  $E_{Th} = E_{ac}$  olmakla beraber empedansın bulunuş yöntemi değişiktir. Aşağıdaki örneklerden ilk ikisi elektronik devrelerde çok sık karşılaşılan devrelerdir. Bu örneklerde devreler bağımlı kaynaklarla harici kontrol değişkenini içerirler.

### ÖRNEK: 6.8

Yukarıda anlatılan her üç yöntem yardımıyla şekil 6.30 daki devrenin Thevenin eşitini bulunuz.



Şekil 6.30

### Çözüm:

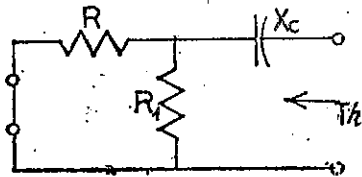
Her üç yöntem yardımıyla Thevenin gerilim aynı şekilde bulunur. Şekil 6.30 daki şekilden  $I_{x} = 0$  dır.

$$V_{R_1} = E_{Th} = E_{ac} = -\frac{\uparrow R_1 (\mu V)}{R_1 + R} = -\frac{\mu R_1 V}{R_1 + R}$$

V nin polaritesinden dolayı

Her üç yöntemle devrenin Thevenin empedansını bulalım.

Yöntem 1: Şekil 6.31

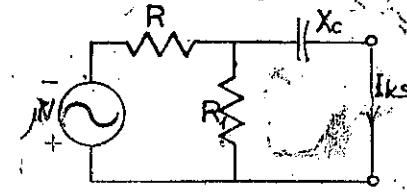


Şekil 6.31

$$Z_{Te} = R \parallel R_1 - jX_c$$

Yöntem 2:

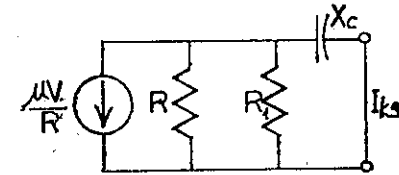
Şekil 6.32, bunun için gerilim kaynağını akım kaynağına çevirirsek şekil 6.33 deki devre elde edilir.



Şekil 6.32

$$I_{x} = \frac{-(R \parallel R_1) \frac{\mu V}{R}}{(R \parallel R_1) - jX_c} = \frac{-\frac{R_1 R}{R_1 + R} \left( \frac{\mu V}{R} \right)}{(R \parallel R_1) - jX_c}$$

$$= \frac{-\mu R_1 V}{R + R_1} \quad (\text{Akım bölme kaidesiyle})$$

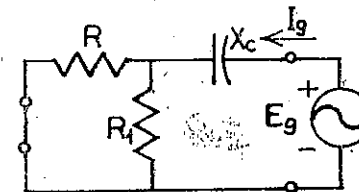


Şekil 6.33

$$Z_{Th} = \frac{E_{oc}}{I_{x}} = \frac{-\mu R_1 V}{R + R_1} \div \frac{-\mu R_1 V}{(R \parallel R_1) - jX_c} = \frac{1}{1} \div \frac{1}{(R \parallel R_1) - jX_c}$$

$$= R \parallel R_1 - jX_c$$

Yöntem 3: Şekil 6.34



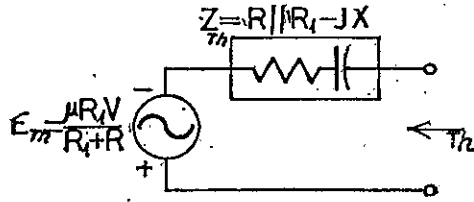
Şekil 6.34

$$I_g = \frac{E_g}{(R \parallel R_1) - JX_c}$$

ve

$$Z_{Th} = \frac{E_g}{I_g} = R \parallel R_1 - JX_c$$

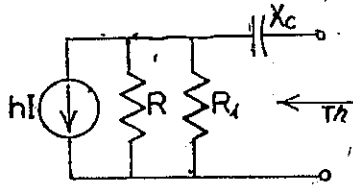
Yukarıdaki sonuçlardan görüldüğü gibi her üç durumda da Thevenin empedansı aynıdır. Bu hesaplamalar sonucu elde edilen Thevenin eşdeğer devre şekil 6.35 de görüldüğü gibidir.



Şekil 6.35

**ÖRNEK: 6.9**

Örnek 6.8'i şekil 6.36 daki devre için tekrar ediniz.



Şekil 6.36

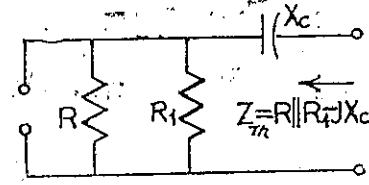
**Çözüm:**

Şekil 6.36 daki devrede  $E_{Th}$

$$E_{Th} = E_{ac} = -hI \cdot (R \parallel R_1) = \frac{h R R_1 I}{R + R_1}$$

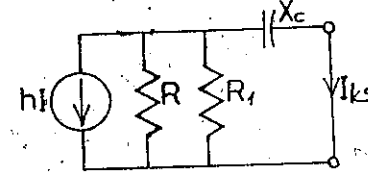
Yöntem 1: Şekil 6.37

$$Z_{Th} = R \parallel R_1 - JX_c$$



Şekil 6.37

Yöntem 2: Şekil 6.38



Şekil 6.38

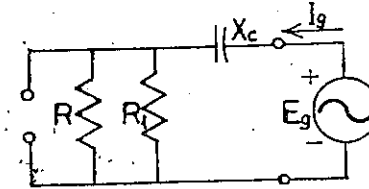
$$I_{g_s} = \frac{-(R \parallel R_1) h I}{(R \parallel R_1) - JX_c}$$

ve

$$Z_{Th} = \frac{E_{ac}}{I_{g_s}} = \frac{-h I (R \parallel R_1)}{\frac{-(R \parallel R_1) h I}{(R \parallel R_1) - JX_c}} = R \parallel R_1 - JX_c$$

$$Z_{Th} = R \parallel R_1 - JX_c$$

Yöntem 3: Şekil 6.39



Şekil 6.39

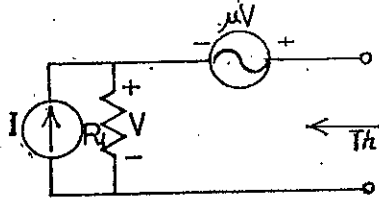
$$I_g = \frac{E_g}{(R \parallel R_1) - JX_c}$$

$$Z_{Th} = \frac{E_g}{I_g} = R \parallel R_1 - JX_c$$

Bu bölümdeki devre bağımlı kaynak içeren bir devredir. Bu yüzden bu bölümün başlangıcında anlatılan bağımsız kaynaklar için anlatılan yöntemler bu devrelerin çözümünü zorlaştırmaktadır.

### ÖRNEK: 6.10

Şekil 6.40 daki devrenin Thevenin eşitini bulunuz. Bu devreyi gözereken daha evvel anlatılan yöntemleri uygulayınız ve sonuçları karşılaştırınız.



Şekil 6.40

### Çözüm:

Kirchhoff'un gerilim kanununu uygularsak

$$E_{Th} = V + \mu V = (1 + \mu) V$$

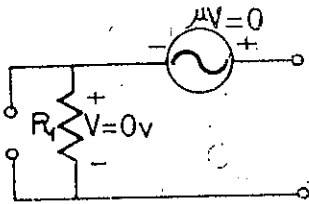
$$V = R_1 \cdot I$$

$$E_{Th} = (1 + \mu) I R_1$$

$Z_{Th} :$

Yöntem 1: Şekil 6.41,  $I = 0, V$  ve  $\mu V = 0$  olduğundan

$$Z_{Th} \neq R_1 \quad (\text{Yanlış})$$

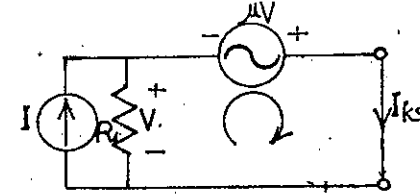


Şekil 6.41

Yöntem 2: Şekil 6.42 deki devreye Kirchhoff'un gerilim kanunu uygulanırsa

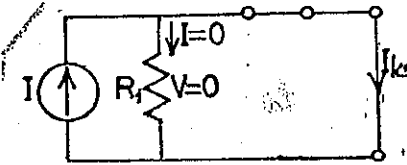
$$V + \mu V = 0$$

$$V(1 + \mu) = 0$$



Şekil 6.42

Yukarıdaki formüle  $\mu$  pozitif ve sabittir ve eşitliğin sıfır olması için  $V = 0$  olmalıdır. Bu değeri şekil 6.42 deki devreye uygularsak şekil 6.43 deki devre elde edilir.

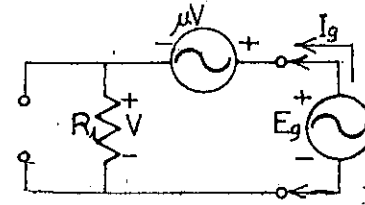


Şekil 6.43

$$I_{ks} = I$$

$$Z_{Th} = \frac{E_{Th}}{I_{ks}} = \frac{(1 + \mu) I R_1}{I} = (1 + \mu) R_1 \quad (\text{Doğru})$$

Yöntem 3: Şekil 6.44



Şekil 6.44

$$E_g = V + \mu V = (1 + \mu) V$$

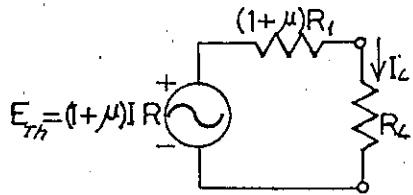
veya

$$V = \frac{E_g}{1 + \mu}$$

$$I_g = \frac{V}{R_2} = \frac{E_g}{(1 + \mu) R_1}$$

$$Z_{Th} = \frac{E_g}{I_g} = (1 + \mu) R_1 \quad (\text{Doğru})$$

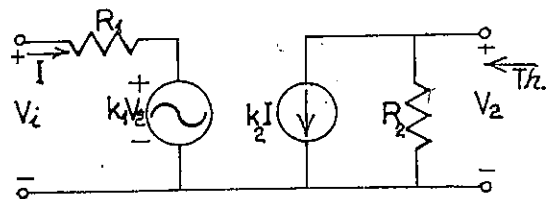
Yukarıdaki devrenin Thevenin eđiti şekil 6.45 de görülmektedir. Böylece elde edilen sonuç örnek 6.5 de elde edilen sonucun aynıdır.



Şekil 6.45

$$I_L = \frac{(1 + \mu) R_1 I}{R_L + (1 + \mu) R_1}$$

Şekil 6.46 da temel bir transistör devresinin eş değer devre diyagramı görülmektedir. Bu devreyi kullanmak veya adepte etmek için onun karakteristik değerini bilmek gereklidir. Dikkat edilirse bağımlı gerilim ve akım kaynaklarını içerir. Bu kaynakların her biri devredeki değişkenler tarafından kontrol edilir.



Şekil 6.46

Örnek 6.46 daki devrenin Thevenin eşitini bulunuz. Bu devrenin Thevenin eşitini bulmak için ikinci yöntemi uygularsak

$E_{Th}$  :

$$E_{ac} = V_2$$

$$I = \frac{V_i - k_1 V_2}{R_1} = \frac{V_i - k_1 E_{ac}}{R_1}$$

ve

$$\begin{aligned} E_{ac} &= -k_2 I R_2 = -k_2 R_2 \left( \frac{V_i - k_1 E_{ac}}{R_1} \right) \\ &= \frac{-k_2 R_2 V_i}{R_1} + \frac{k_1 k_2 R_2 E_{ac}}{R_1} \end{aligned}$$

veya

$$E_{ac} \left( 1 - \frac{k_1 k_2 R_2}{R_1} \right) = \frac{-k_2 R_2 V_i}{R_1}$$

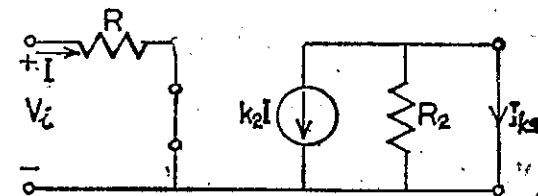
ve

$$E_{ac} \left( \frac{R_1 - k_1 k_2 R_2}{R_1} \right) = \frac{-k_2 R_2 V_i}{R_1}$$

$$E_{ac} = \frac{-k_2 R_2 V_i}{R_1 - k_1 k_2 R_2} = E_{Th} \quad (6.5)$$

$I_{sc}$  :

Şekil 6.47 deki devrede



Şekil 6.47

$$V_2 = 0$$

$$k_1 V_2 = 0$$

$$I = \frac{V_i}{R_1}$$



$$I_{L_2} = -k_2 I = \frac{-k_2 V_i}{R_1}$$

$$Z_{Th} = \frac{E_{a_2}}{I_{L_2}} = \frac{\frac{-k_2 R_2 V_i}{R_1 - k_1 k_2 R_2}}{\frac{-k_2 V_i}{R_1}} = \frac{R_1 R_2}{R_1 - k_1 k_2 R_2}$$

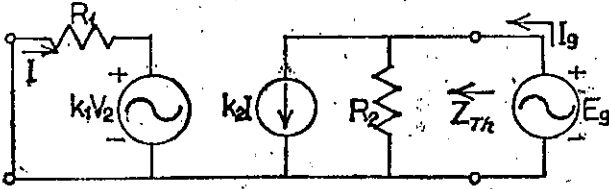
$$Z_{Th} = \frac{R_2}{1 - \frac{k_1 k_2 R_2}{R_1}} \quad (6.6)$$

Uygulamalarda  $k_1$  değeri yaklaşık olarak sıfır alınır. Böylece Thevenin gerilimi ve empedansı aşağıdaki gibi bulunur.

$$E_{Th} = \frac{-k_2 R_2 V_i}{R_1} \quad (k_1 = 0) \quad (6.7)$$

$$Z_{Th} = R_2 \quad (k_1 = 0) \quad (6.8)$$

$Z_{Th} = \frac{E_g}{I_g}$  değeri devrede yerine konursa şekil 6.48'deki devre elde edilir.



Şekil 6.48

$$I = \frac{-k_1 V_2}{R_1}$$

$$V_2 = E_g$$

$$I = \frac{-k_1 E_g}{R_1}$$

Kirchhoff'un akım kanunu uygulanırsa

$$I_g = k_2 I + \frac{E_g}{R_2} = k_2 \left( -\frac{k_1 E_g}{R_1} \right) + \frac{E_g}{R_2}$$

$$= E_g \left( \frac{1}{R_2} - \frac{k_1 k_2}{R_1} \right)$$

$$\frac{I_g}{E_g} = \frac{R_1 - k_1 k_2 R_2}{R_1 R_2}$$

veya

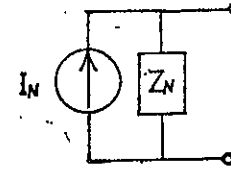
$$Z_{Th} = \frac{E_g}{I_g} = \frac{R_1 R_2}{R_1 - k_1 k_2 R_2}$$

Yukarıdaki örneklerden anlaşıldığı gibi bu yöntemlerin her ikisinde her hangi bir doğru akım veya alternatif akım devrelerine uygulanabilir. Bu devreler sadece bağımsız kaynaklıdır veya diğer çeşitlerin bağımlı kaynaklı olanlarıdır.

#### 6.4 NORTON TEOREMİ

Bundan önceki bölümde anlatılan her üç yöntemde her biri değiştirilmek suretiyle devre çözümü için kullanılabilir. Çünkü Thevenin ve Norton empedansları belirli bir devre için aynıdır. Burada ilk önce bağımsız kaynaklı devreler ve daha sonra bağımlı kaynaklara ait teknikler kullanılacaktır.

Norton teoreminde her hangi bir iki terminalli lineer alternatif akım devresi bir akım kaynağı ve empedans içeren başka bir devre şekline dönüştürülebilir. Şekil 6.49 Norton eş değer devresinde Thevenin eş değer devresi gibi belli bir frekans değeri için uygulanabilir. Çünkü bütün reaktanslar frekansa bağımlıdır.



Şekil 6.49

## BAĞIMSIZ KAYNAKLAR

Norton teoremine göre devrenin eş değerini bulmak için takip edilecek iş sırası aşağıdaki gibidir. Bu teoremin doğru akım devrelerine uygulanmasıyla alternatif akım devrelerine uygulanması arasındaki fark sadece direnç yerine empedans kullanılmasıdır.

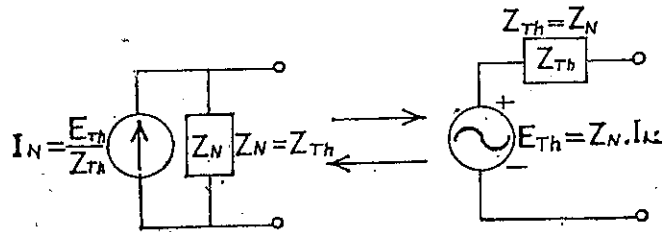
1 — Devrenin Norton eşiti bulunacak kısmı esas devreden ayrılır.  
2 — Norton eşiti bulunacak geri kalan devrenin uçları (0,.) işaretleriyle işaretlenir.

3 — Devrenin Norton empedansı ( $Z_N$ ) hesaplamak için bütün gerilim ve akım kaynakları sıfıra indirgenir. (Gerilim için kısa devre akım için açık devre) ve terminal uçlarından bakılarak empedans bulunur.

4 — Devrenin Norton akımını ( $I_N$ ) bulmak için gerilim ve akım kaynakları yerlerine bağlanır ve terminal uçları kısa devre edilmek suretiyle devrenin  $I_N$  akımı bulunur.

5 — Birinci maddede devreden ayrılan parça Norton eşiti terminaline bağlanmak suretiyle devre tekrar çizilir.

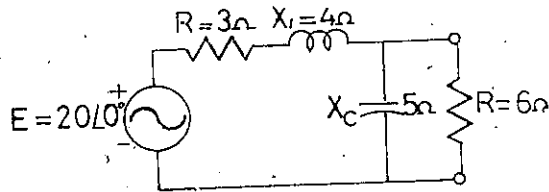
Norton ve Thevenin eş değer devreleri akım ve gerilim kaynaklarına bir birine dönüştürmek suretiyle bulunabilir. Şekil 6.50 Kaynakların bir birine dönüşümü bağımlı veya bağımsız kaynaklar için olasıdır.



Şekil 6.50

### ÖRNEK: 6.12

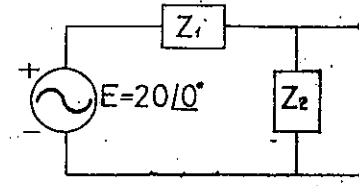
Şekil 6.51 deki devrenin 6 om luk dirence göre Norton eşitini bulunuz.



Şekil 6.51

### Çözüm:

İş sırası 1 ve 2 şekil 6.52

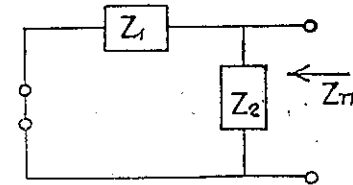


Şekil 6.52

$$Z_1 = 3 + j4 = 5 \angle 53^\circ$$

$$Z_2 = -j5$$

İş sırası 3, şekil 6.53



Şekil 6.53

$$Z_N = \frac{Z_1 Z_2}{Z_1 + Z_2} = \frac{(5 \angle 53^\circ)(5 \angle -90^\circ)}{3 + j4 - j5} = \frac{25 \angle -37^\circ}{3 - j1}$$

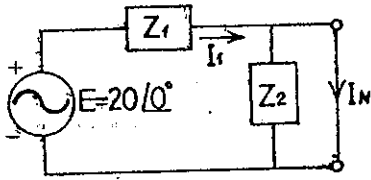
$$Z_N = \frac{25 \angle -37^\circ}{3.17 \angle -18.4^\circ} = 7.9 \angle -18.6^\circ = 7.5 - j2.53$$

$$Z_N = 7.5 - j2.53$$

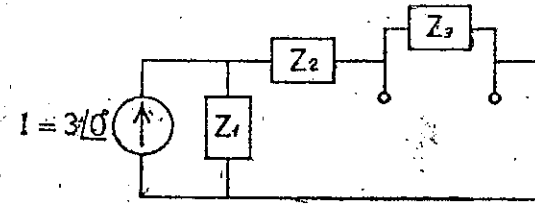
İş sırası 4, şekil 6.54

$$I_N = I_1 = \frac{E}{Z_1} = \frac{20 \angle 0^\circ}{5 \angle 53^\circ}$$

$$I_N = 4 \angle -53^\circ$$

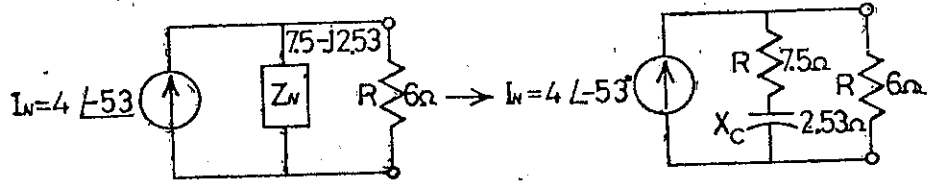


Şekil 6.54



Şekil 6.57

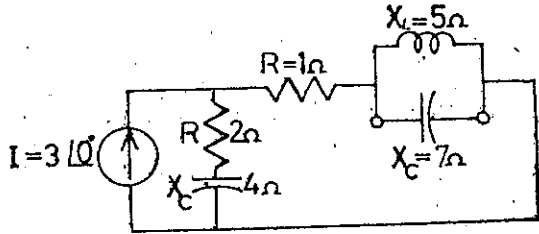
İş sırası 5, şekil 6.55 orjinal devrenin eş değeri



Şekil 6.55

### ÖRNEK: 6.13

Şekil 6.56 daki devrenin Norton eşitini 7 om luk kapasitif reaktan-  
sın uçlarına göre bulunuz.



Şekil 6.56

### Çözüm:

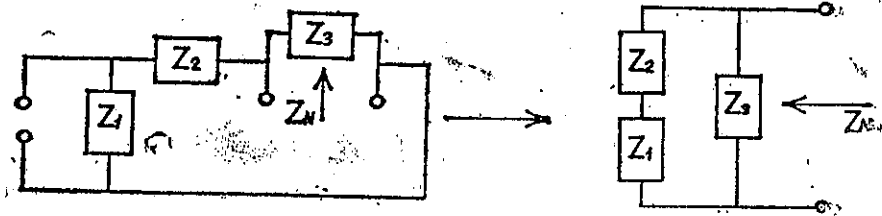
İş sırası 1 ve 2, şekil 6.57

$$Z_1 = 2 - j4$$

$$Z_2 = 1$$

$$Z_3 = j5$$

İş sırası 3, şekil 6.58



Şekil 6.58

$$Z_N = \frac{Z_3 + (Z_1 + Z_2)}{Z_2 (Z_1 + Z_2)}$$

$$Z_1 + Z_2 = 2 - j4 + 1 = 3 - j4 = 5 \angle -53^\circ$$

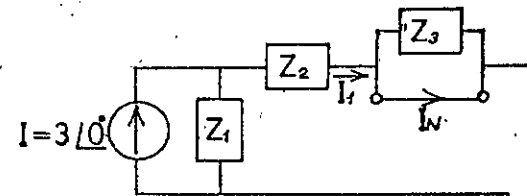
$$Z_N = \frac{(5 \angle 90^\circ) (5 \angle -53^\circ)}{j5 + 3 - j4} = \frac{25 \angle 37^\circ}{3 + j1}$$

$$= \frac{25 \angle 37^\circ}{3.17 \angle 18.4^\circ}$$

$$= 7.9 \angle 18.6^\circ = 7.5 + j2.53$$

$$Z_N = 7.5 + j2.53$$

İş sırası 4, şekil 6.59



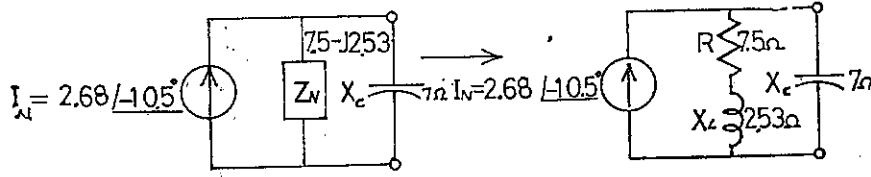
Şekil 6.59

$$I_N = I_1 = \frac{Z_1 I}{Z_1 + Z_2} \quad (\text{Akım bölme kaidesi})$$

$$I_N = I_1 = \frac{(2 - j4) (3)}{3 - j4} = \frac{6 - j12}{5 \angle -53^\circ} = \frac{13.4 \angle -63.5^\circ}{5 \angle -53^\circ}$$

$$I_N = I_1 = 2.68 \angle -10.5^\circ$$

İş sırası 5, şekil 6.60, orjinal devrenin Norton eş değer devre şemasıdır.



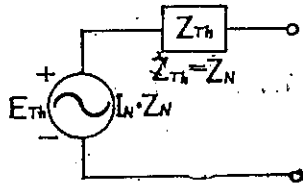
Şekil 6.60

### ÖRNEK: 6.14

Şekil 6.56 daki devrenin Thevenin eş değerini 7 om luk kapasitif reaktansın uçlarına göre bulunuz.

**Cözüm:**

Kaynakların bir birine dönüşümüyle şekil 6.61 deki devre elde edilir.



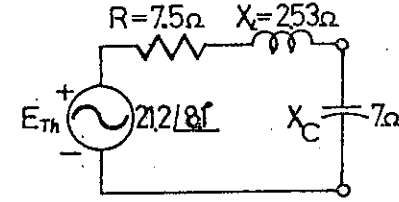
Şekil 6.61

$$Z_{Th} = Z_N = 7.5 + j2.53$$

$$E_{Th} = I_N Z_N = (2.68 \angle -10.5^\circ) (7.9 \angle 18.6^\circ)$$

$$E_{Th} = 21.2 \angle 81^\circ$$

Orjinal devrenin Thevenin eşiti şekil 6.62 de görülmektedir.

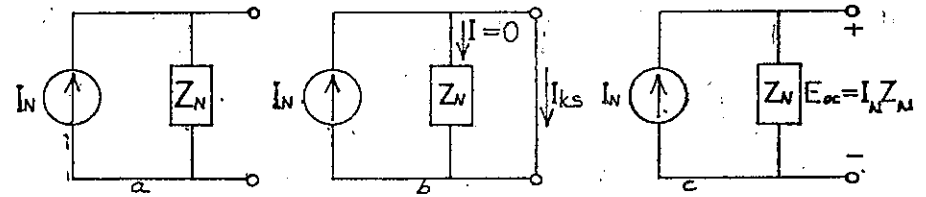


Şekil 6.62

### BAĞIMLI KAYNAKLAR

Thevenin teoreminde ifade edildiği gibi kontrol değişkenli bağımlı kaynaklar Norton teoreminde devre tarafından tesbit edilemez. Başka çeşit bağımlı kaynaklar için aşağıdaki iş sıralarından biri uygulanmak zorundadır. Bu işlemlerin hepsinde ister bağımlı kaynaklı isterse bağımsız kaynaklı devre olsun uygulanabilir. Ancak bağımlı kaynak devrenin aranması tarafından kontrol edilemez.

Şekil 6.63 a da ve b de Norton eş değer devreleri görülmektedir.



Şekil 6.63

Bu devreler için

$$I_{Ks} = I_N \text{ dir} \quad (6.9)$$

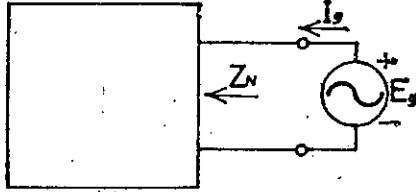
Şekil 6.63 c deki devrede

$$E_{oc} = I_N Z_N$$

veya

$$Z_N = \frac{E_{oc}}{I_{Ks}} \quad (6.10)$$

Devrenin Norton empedansı bu devreye bir amk kaynağı ile  $E_g$  gerilimi uygulamak suretiyle devreden geçen  $I_g$  akımı şekil 6.64 de görüldüğü gibi bulunur. Bu devrede bütün bağımlı ve bağımsız kaynaklar devredeki değişken tarafından kontrol edilemezler. Böylece devrede araştırılan kısmın değişkeni sifra indirgenmiş olur.

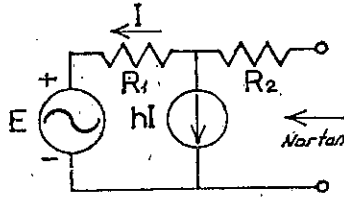


Şekil 6.64

$$Z_N = \frac{E_g}{I_g} \quad (6.11)$$

## ÖRNEK: 6.15

Bağımlı kaynaklar için anlatılan bütün yöntemleri kullanarak şekil 6.65 deki devrenin Norton eş değerini bulunuz.



Şekil 6.65

Çözüm:

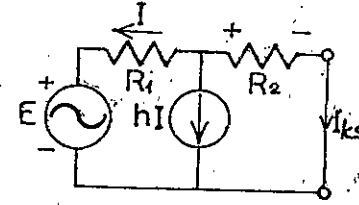
 $I_N$ :

Her yöntem için  $I_N$  aynı yolla bulunur. Şekil 6.66 daki devreye Kirchoff'un akım kanununu uygularsak

$$0 = I + hI + I_{k2}$$

veya

$$I_{k2} = -(1 + h) I$$



Şekil 6.66

Kirchoff'un gerilim kanununa göre

$$E + IR_1 - I_{k2} R_2 = 0$$

$$IR_1 = I_{k2} R_2 - E$$

$$I = \frac{I_{k2} R_2 - E}{R_1}$$

$$I_{k2} = -(1 + h) I = -(1 + h) \left( \frac{I_{k2} R_2 - E}{R_1} \right)$$

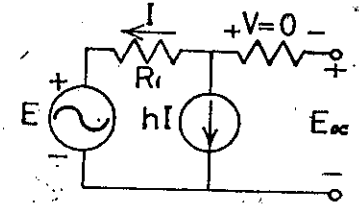
$$R_1 I_{k2} = -(1 + h) I_{k2} R_2 + (1 + h) E$$

$$I_{k2} [R_1 + (1 + h) R_2] = (1 + h) E$$

$$I_{k2} = \frac{(1 + h) E}{R_1 + (1 + h) R_2} = I_N$$

 $Z_N$ :

Yöntem 1:  $E_{ac}$  değerini bulmak için şekil 6.67 deki devreye Kirchoff'un kanununu uygularsak



Şekil 6.67

$$0 = I + hI \text{ veya } I(h + 1) = 0$$

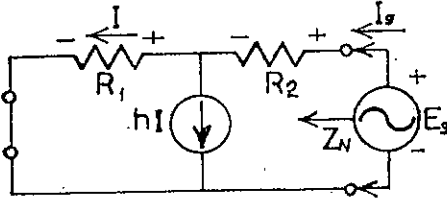
$h$  değeri için, pozitif değerli  $I$  akımı sifra eşit olmalıdır.

$$I = 0 \text{ ve } hI = 0$$

$$E_{sc} = E$$

$$Z_N = \frac{E_{sc}}{I_{ks}} = \frac{E}{(1+h)E} = \frac{R_1 + (1+h)R_2}{(1+h)}$$

**Yöntem 2:** Şekil 6.68 deki devreye Kirchoff'un akım kanunu uygulanırsa



Şekil 6.68

$$I_g = I + Ih = (1+h)I$$

Kirchoff'un gerilim kanununa göre

$$E_g - I_g R_2 - IR_1 = 0$$

$$I = \frac{E_g - I_g R_2}{R_1}$$

$$I_g = (1+h)I = (1+h) \left( \frac{E_g - I_g R_2}{R_1} \right)$$

$$I_g R_1 = (1+h)E_g - (1+h)I_g R_2$$

$$E_g(1+h) = I_g [R_1 + (1+h)R_2]$$

veya

$$Z_N = \frac{E_g}{I_g} = \frac{[R_1 + (1+h)R_2]}{1+h}$$

**ÖRNEK: 6.16**

Şekil 6.46 daki devrenin Norton eş değerini bulunuz.

**Çözüm:**

Kaynakları bir birine dönüştürerek

$$I_N = \frac{E_{Th}}{Z_{Th}} = \frac{-k_2 R_2 V_i}{R_1 - k_1 k_2 R_2}$$

$$I_N = \frac{-k_2 V_i}{R_1}$$

(6.12)

$I_{ks}$  daha evvel aynı örnekte bulunduğu için

$$Z_N = Z_{Th} = \frac{R_2}{1 - \frac{k_1 k_2 R_2}{R_1}}$$

(6.13)

$k_1 = 0$  değeri için

$$I_N = \frac{-k_2 V_i}{R_1} \quad (k_1 = 0)$$

(6.14)

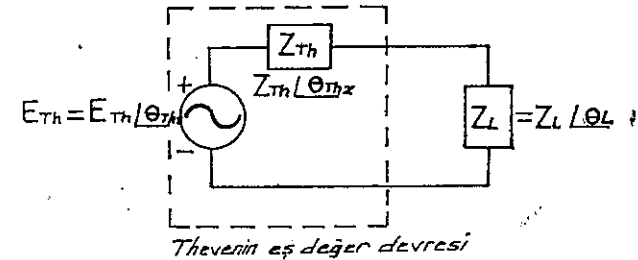
$$Z_N = R_2 \quad (k_1 = 0)$$

(6.15)

## 6.5 MAKSİMUM GÜÇ TEOREMİ

Alternatif akım devrelerinde maksimum güç teoremi şöyle ifade edilir.

Her hangi bir yükte sarfedilen maksimum güç, bu yükün empedansı Thevenin empedansının eşleniği ise maksimumdur. Şekil 6.69 daki devrede maksimum transfer gücü aşağıdaki gibi bulunur.

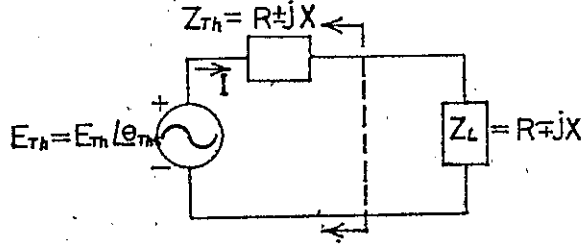


Şekil 6.69

$$Z_L = Z_{Th} \text{ ve } \theta_L = -\theta_{Th} \quad (6.16)$$

$$Z_L = R_{Th} \text{ ve } \pm jX_L = \mp jX_{Th} \quad (6.17)$$

Bu koşullar devrenin toplam empedansını tamamen omik yapar. Şekil 6.70 de görüldüğü gibi



Şekil 6.70

$$Z_T = (R \pm jX) + (R \mp jX)$$

$$Z_T = 2R \quad (6.18)$$

Devre tamamen omik olduğundan maksimum güç transferi koşulları altında devrenin güç faktörü birdir. Yani

$$F_p = 1 \quad (\text{Maksimum güç transferi}) \quad (6.19)$$

Şekil 6.70 deki devrede I akımının büyüklüğü

$$I = \frac{E_{Th}}{Z_T} = \frac{E_{Th}}{2R}$$

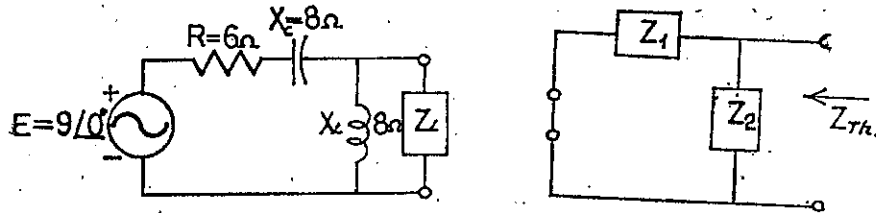
Yükün maksimum gücü

$$P_m = I^2 R = \left( \frac{E_{Th}}{2R} \right)^2 R$$

$$P_m = \frac{E_{Th}^2}{4R} \quad (6.20)$$

### ÖRNEK: 6.17

Şekil 6.71 deki devrede maksimum güç için yükün empedansını bulunuz.



Şekil 6.71

Çözüm:

$$Z_1 = 6 - j8 = 10 \angle -53^\circ$$

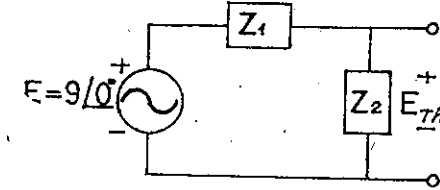
$$Z_2 = j8$$

$$Z_{Th} = \frac{Z_1 \cdot Z_2}{Z_1 + Z_2} = \frac{(10 \angle -53^\circ)(8 \angle 90^\circ)}{6 - j8 + j8} = \frac{80 \angle 37^\circ}{6 \angle 0^\circ}$$

$$Z_{Th} = 13.3 \angle 37^\circ = 10.6 + j8$$

$$Z_L = 13.3 \angle -37^\circ = 10.6 - j8$$

Maksimum gücü bulmak için ilk önce şekil 6.72 deki devrenin  $E_{Th}$  değeri bulunmalıdır.



Şekil 6.72

$$E_{Th} = \frac{Z_2 E}{Z_2 + Z_1} \quad (\text{Gerilim bölme kaidesi})$$

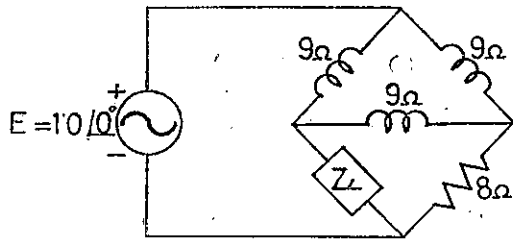
$$E_{Th} = \frac{(8 \angle 90^\circ)(9 \angle 0^\circ)}{j8 + 6 - j8}$$

$$= \frac{72 \angle 90^\circ}{6 \angle 0^\circ} = 12 \angle 90^\circ \quad \text{Buna göre maksimum güç}$$

$$P_m = \frac{E_{Th}^2}{4R} = \frac{(12)^2}{4(10.6)} = \frac{144}{42.4} = 3.4 \text{ vat}$$

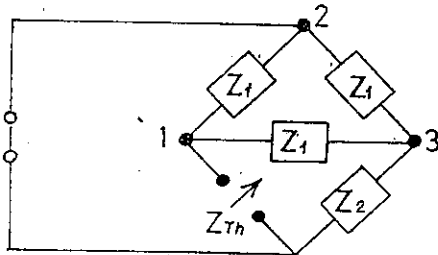
### ÖRNEK: 6.18

Şekil 6.73 deki devrenin yük empedansını yükün maksimum gücü için bulunuz. Ayrıca aynı devrenin maksimum gücünü bulunuz.



Şekil 6.73

Çözüm:

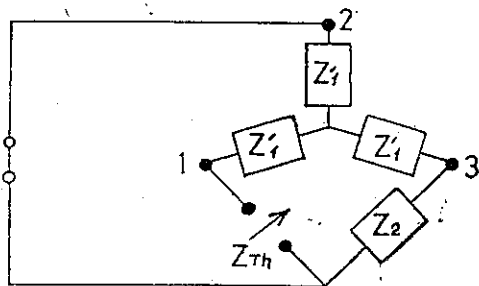
İlk önce şekil 6.74 deki devrenin  $Z_{Th}$  değeri bulunur.

Şekil 6.74

$$Z_1 = j9$$

$$Z_2 = 8$$

Üçgen devreyi yıldız devre şekline çevirirsek şekil 6.75

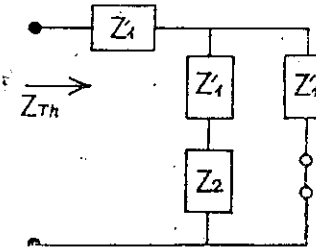


Şekil 6.75

$$Z'_1 = \frac{Z_1}{3} = j3$$

$$Z_2 = 8$$

Bu değerlere göre devreyi tekrar çizerseniz, şekil 6.76



Şekil 6.76

$$Z_{Th} = Z'_1 + \frac{Z'_1 (Z'_1 + Z_2)}{Z'_1 + (Z'_1 + Z_2)}$$

$$= j3 + \frac{(3 \angle 90^\circ) (j3 + 8)}{j6 + 8}$$

$$= j3 + \frac{(3 \angle 90^\circ) (8.55 \angle 20.5^\circ)}{10 \angle 37^\circ}$$

$$= j3 + \frac{25.7 \angle 110.5^\circ}{10 \angle 37^\circ} = j3 + 2.57 \angle 73.5^\circ$$

$$= j3 + 0.72 + j2.46$$

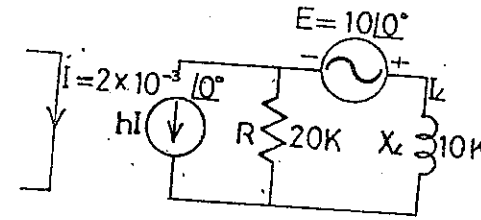
$$Z_{Th} = 0.72 + j5.46$$

$$Z_L = 0.72 - j5.46$$

$E_{Th}$  değerini bulmak için şekil 6.77 deki devrede gerilim kaynağı eski yerine bağlanır. Çünkü  $I_1 = 0$ ,  $E_{Th}$  ise  $(Z'_1$  ve  $Z_2$ ) empedansları ucundaki gerilimdir. Gerilim bölme kaidesiyle bu değeri bulursak,

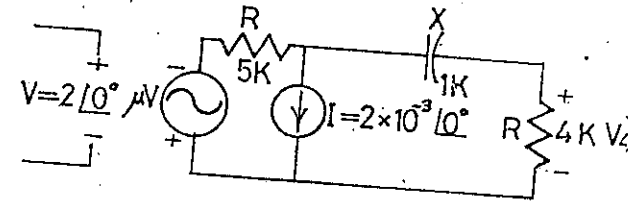


2 — Superposition teoremini kullanarak şekil 6.79 daki devrede  $I_L$  akımını bulunuz. ( $h=100$ )



Şekil 6.79

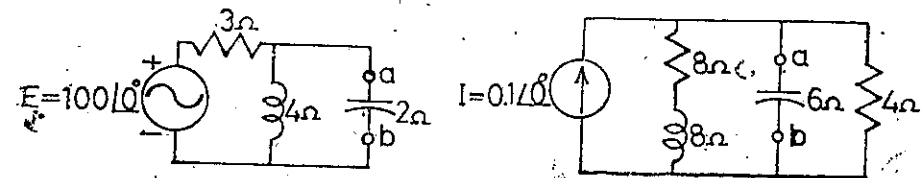
3 — Superposition teoremini kullanarak şekil 6.80 daki devrede  $V_L$  gerilimini bulunuz. ( $\mu=20$ )



Şekil 6.80

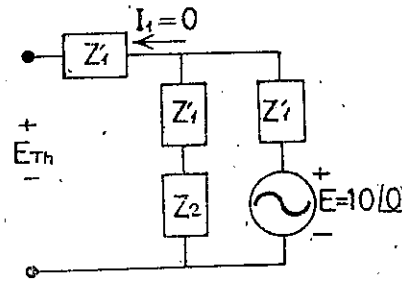
Bölüm 6.3

4 — Şekil 6.81 daki devrelerin Thevenin eşdeğerlerini a-b terminallerine göre bulunuz.



Şekil 6.81

5 — Problem 4 ü şekil 6.82 daki devreler için tekrar ediniz.



Şekil 6.77

$$E_{Th} = \frac{(Z_1 + Z_2) E}{Z_1 + Z_2 + Z_1} = \frac{(j3 + 8) (10 / 0^\circ)}{8 + j6}$$

$$= \frac{(8.55 / 20.5^\circ) (10 / 0^\circ)}{10 / 37^\circ}$$

$$E_{Th} = 8.55 / -16.5^\circ$$

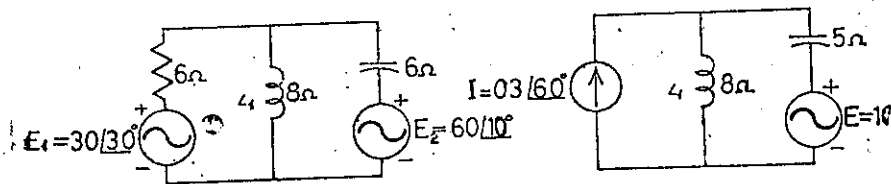
$$P_m = \frac{E_{Th}^2}{4 R} = \frac{(8.55)^2}{4(0.72)} = \frac{73}{2.88}$$

$$= 25.3 \text{ vat}$$

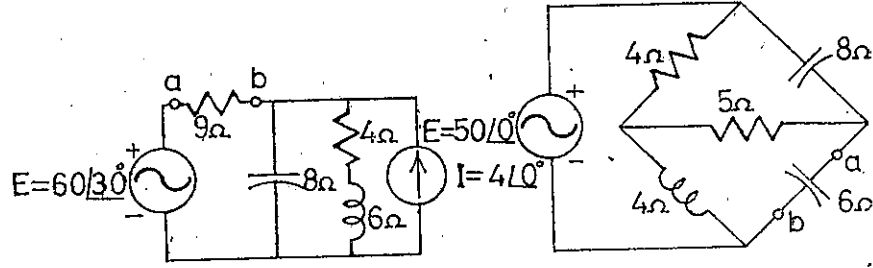
PROBLEMLER

Bölüm 6.2

1 — Superposition teoremini kullanarak şekil 6.78 daki devreler de  $I_1$  indüktansından geçen akımı bulunuz.

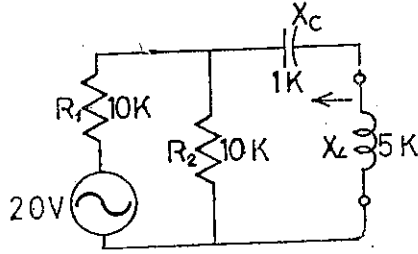


Şekil 6.78



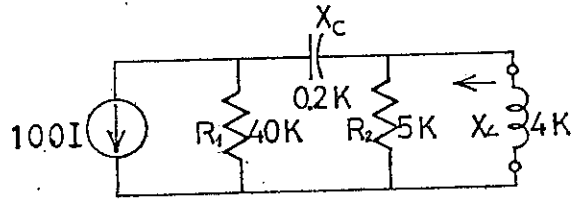
Şekil 6.82

- 6 — Şekil 6.83 deki devrenin Thevenin eş değerini 5K om indüktif reaktansa göre bulunuz.



Şekil 6.83

- 7 — Şekil 6.84 deki devrenin Thevenin eşitini 4K om indüktif reaktansa göre bulunuz.



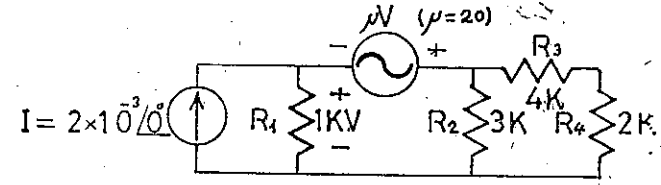
Şekil 6.84

- 8 — Şekil 6.79 daki devrenin Thevenin eşitini 10K om indüktif reaktansa göre bulunuz.  
9 — Şekil 6.80 deki devrelerin Thevenin eşitini 4K om luk dirence göre bulunuz.

## Bölüm 6.4

- 10 — Şekil 6.81 deki devrelerin Norton eşitini a-b terminallerine göre bulunuz.

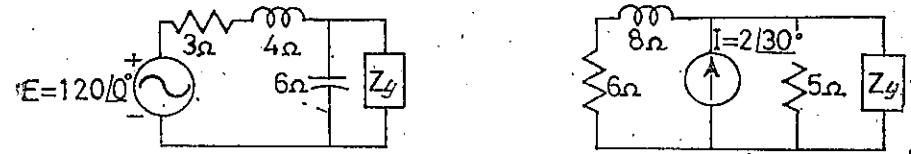
- 11 — Problem 10 u şekil 6.82 deki devreler için tekrar ediniz.  
12 — Şekil 6.84 deki devrenin Norton eşitini 4K om indüktif reaktansa göre bulunuz.  
13 — Şekil 6.85 deki devrenin Norton eş değerini 2K om dirence için bulunuz.



Şekil 6.85

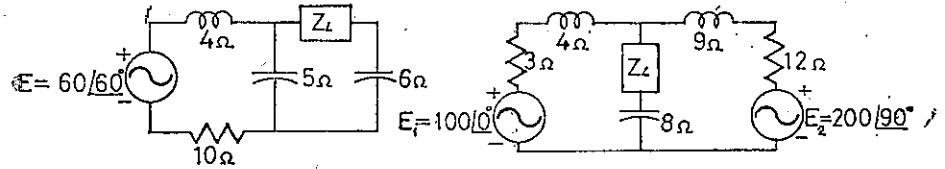
## Bölüm 6.5

- 14 — Şekil 6.85 deki devrelerin Z<sub>y</sub> yük empedansını yükün maksimum gücü için bulunuz. Ayrıca devrenin gücünü bulunuz.



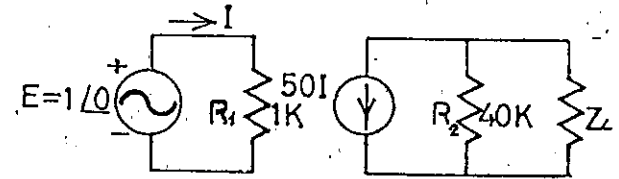
Şekil 6.86

- 15 — Problem 14 ü şekil 6.87 deki devreler için tekrarlayınız.



Şekil 6.87

- 16 — Problem 14'ü şekil 6.88 deki devre için tekrar ediniz.

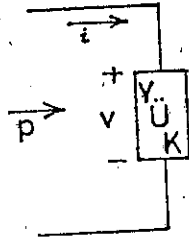


Şekil 6.88

## A. A. da GÜÇ

### 7.1 GİRİŞ

Alternatif akım devrelerinde güç iki şekilde bulunur. Bunlar görülen güç ve reaktif güçtür. Şekil 7.1 de görülen devrede güç kavramını inceliyelim. Bu devrede gerilim aşağıda belirtildiği gibidir.



Şekil 7.1

$$v = V_m \sin(\omega t + \theta)$$

Bu devreden geçen akım ise

$$i = I_m \sin \omega t \text{ dir.}$$

Yukarıdaki formülde  $\theta$  devreden geçen akım ile devreye tatbik edilen gerilimin arasındaki açı olup faz açısı olarak anılır. Devrenin empedansı ise

$$Z = \frac{V / \theta}{I / 0^\circ} = \frac{V}{I} / \theta = Z / \theta$$

Bu formülden görüldüğü gibi  $\theta$  yükün empedans açısıdır. Şekil 7.1 deki devrede zamanın ani değeri için sarfedilen toplam güç aşağıdaki gibidir.

$$P = v i$$

$v$  ve  $i$  değerlerinin eşiti bu formülde yerine konursa toplam güç

$$P = V_m I_m \sin \omega t \sin(\omega t + \theta)$$

Trigonometrik olarak bu formül aşağıdaki gibi ifade edilebilir.

$$P = V I \cos \theta (1 - \cos 2\omega t) + V I \sin \theta (\sin 2\omega t) \quad (7.1)$$

Formüde  $V$  ve  $I$  değeri etkin değerdir. Bu formülden görüldüğü gibi başlangıç olarak hiç bir değer elde edilemez. Onun için bu formülün kullanılışı aşağıdaki gibi açıklanabilir. Başlangıç değerine göre 7.1 deki formülün türevi alınrsa bu formül aşağıdaki şekli alır.

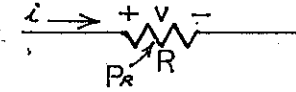
$$P = \underbrace{VI \cos \theta}_{\text{ortalama deger}} - \underbrace{VI \cos \theta}_{\text{tepe degeri}} \cos 2\omega t + \underbrace{VI \sin \theta}_{\text{tepe degeri}} \sin 2\omega t$$

Değeri genişletilen bu formülde yapılabilecek iki açık nokta vardır. Birincisi, ortalama değer halen mevcut olup ayrı bir ifadedir ve zamana bağlı değildir. İkincisi, her iki terim frekansın iki katı değerinde değişiyor ve gerilimle veya akımın tepe değerleri ile oldukça benzerdir.

Alternatif akım devrelerinde güç ( $R$ ,  $L$  ve  $C$ ) değerlerinde ayrı özellikler gösterdiği için her bir elemanda güç ve güç formülleri ayrı olarak çıkarılacaktır.

### 7.2 OMİK DEVRE

Şekil 7.2 de görüldüğü gibi tamamen omik bir devrede  $v$  ve  $i$  değerleri aynı fazdadır. Yani akımla gerilim arasındaki açı  $\theta = 0$  dir. Açının bu değeri 7.1 deki denklemde yerine konursa



Şekil 7.2

$$P_R = VI \cos(\theta) (1 - \cos 2\omega t) + VI \sin(\theta) \sin 2\omega t$$

$$P_R = VI (1 - \cos 2\omega t) + 0$$

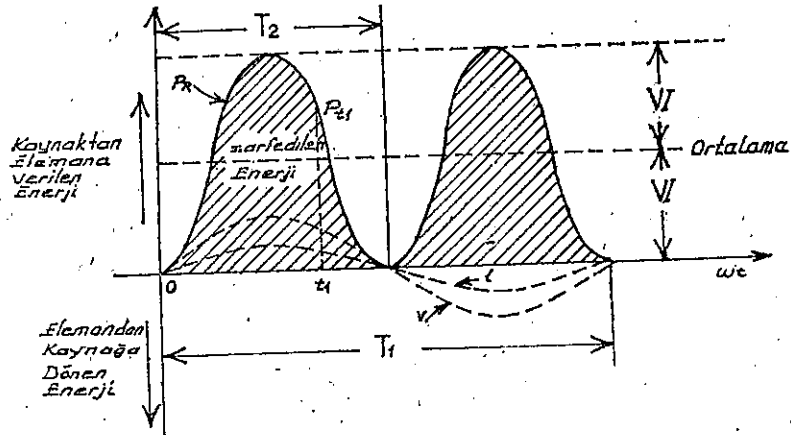
$$P_R = VI - VI \cos 2\omega t \quad (7.2)$$

Formüde  $VI$  ortalama veya doğru akım değeridir.  $-VI \cos 2\omega t$  ise negatif (—) cosinüs eğrisi ve frekansın iki katı ile giriş değeri ( $v$  veya  $i$ ) ve  $VI$  nin tepe değeridir.  $P_R$  nin değerlerini yatay ve dikey eksenle işaretler ve eğrilerini çizerseniz şekil 7.3 deki eğri elde edilir. Bu eğride

$$T_1 = \text{Giriş miktarının periyodu}$$

$$T_2 = P_R \text{ güç eğrisinin periyodudur.}$$

Şekil 7.3 deki eğrilere dikkat edilirse güç eğrisi  $V I$  değerinin ortama değerini iki saykılıda geçiyor. Yani gerilim veya akımın her bir saykılı ( $T_1 = 2T_2$  veya  $f_2 = 2f_1$ ) dir. Güç eğrisinin tepe değeri ve ortalama değeri aynıdır. Böylece bu eğri daima yatay eksenin üzerinden sarfedilecektir. Kaynaktan dirence gönderilen gücün fazlası yatay eğrinin altında kalan oranda kaynağa geri döner.



Şekil 7.3

Bu eğrilerde yatay eksen altında kalan kısım sıfır olduğuna göre kaynağa dönen güçte sıfırdır veya bütün güç direnç tarafından sarfedilmiş demektir. Her hangi bir  $t_1$  zamanında direnç tarafından sarfedilen toplam güç,  $t$  değerini formül 7.2 de yerine konulmak suretiyle bulunabilir. Formül 7.2 den elde edilen ortalama güç veya şekil 7.3 deki ortalama güç  $V I$  dir. Bu güç aşağıdaki formülden bulunabilir.

$$P = V I = \frac{V_m I_m}{2} = I^2 R = \frac{V^2}{R} \quad (\text{vat}) \quad (7.3)$$

(R için)

Güç eğrisinin tam bir saykılı üzerinde direnç tarafından sarfedilen enerji ( $\omega R$ ) aşağıdaki formülü kullanarak bulunabilir.

$$W_R = \int_0^{T_2} P_R dt \quad (\text{Joule}) \quad (7.4)$$

= Güç eğrisinin altında kalan kısmın alanı olup 0 ile  $T_2$  değerleri içindir.

Eğrinin altındaki alan = ortalama değer)  $\times$  (eğrinin uzunluğu)

$$W_R = (V I) \times (T_2)$$

veya

$$W_R = \bar{V} I T_2 \quad (J) \quad (7.5)$$

$$T_2 = \frac{1}{f_2} \text{ olduğundan}$$

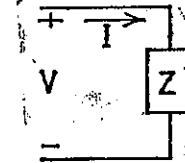
$$W_R = \frac{V I}{f_2} \quad (J) \quad (7.6)$$

Formülde  $f_2$ ,  $P_R$  eğrisinin frekansıdır.

### 7.3 GÖRÜNEN GÜÇ

Doğru akım devrelerinde veya yukarıdaki omik devrede görüldüğü gibi direnç tarafından sarfedilen güç akımla gerilimin çarpımına eşittir. Şekil 7.4 de görülen devrede de devrenin cinsi dikkate alınmaksızın sarfedilen güç akımla gerilimin çarpımına eşittir. Böylece güç  $P = V I$  dir. Daha önceki bölümde reaktif yükler için devrenin gücü, güç faktörü ( $\cos \theta$ ) değerinde de bağlı olduğu vurgulanmıştı. Bundan dolayı akımla gerilimin çarpımı her zaman o devrenin gücüne eşit olamaz.

Alternatif akım devrelerinde ve akımla gerilimin arasında güç faktörü olan yüklerde sarfedilen güç bu değerlerin çarpımına eşittir. Bu eşit devrelerde görünen güç sembol olarak  $P_a$  ile gösterilir. Bu değer akımla gerilimin çarpımıdır ve kısa olarak VA (volt-amper) olarak ifade edilir.



Şekil 7.4

$$P_a = VI \quad (\text{vA}) \quad (7.7)$$

$$V = IZ \quad \text{ve} \quad I = \frac{V}{Z}$$

$$P_a = I^2 Z \quad (\text{vA}) \quad (7.8)$$

$$P_a = \frac{V^2}{Z} \quad (\text{vA}) \quad (7.9)$$

Böyle bir sistemin ortalama gücü aşağıdaki gibidir.

$$P = VI \cos \theta$$

$$P_a = VI$$

$$P = P_a \cos \theta \quad (\text{vat}) \quad (7.10)$$

Sistemin güç faktörü ise

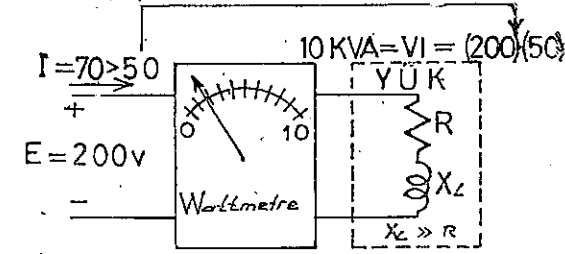
$$F_p = \cos \theta = \frac{P}{P_a} \quad (7.11)$$

Devrenin güç faktörü yukarıdaki formülden görüldüğü gibi ortalama gücün görünen güce oranıdır diye tarif edilir. Omik bir devrede

$$P = VI = P_a \quad \text{ve} \quad F_p = \cos \theta = \frac{P}{P_a} = 1 \quad \text{dir.}$$

Genel olarak elektrik cihazları volt-amper değerine göre veya kilo volt-amper (kVA) olarak değerlendirilir. Volt-amper oranını bilmekle o cihazın maksimum akım değeri tesbit edilebilir. Örneğin bir cihazın güç değeri 200 voltta 10 kVA ise maksimum akım oranı  $I = 10000/200 = 50$  amper dir. Bu cihaz için bu akım değeri bu oranda çalıştırıldığı sürece 50 amperdir. Bu cihazın volt-amper oranı o cihazın güç faktörü 1 olduğu sürece doğrudur. Yani bu güç faktörü değeri o cihazın maksimum güç sarfiyatı oranıdır. Bu koşul sadece sistemin toplam empedansı  $Z \angle \theta = \angle 0^\circ$  iken olur. Cihazın normal çalışma koşulları altında devreden çektiği gerçek akım cihazın güç oranı ve güç faktörü verilirse bulunabilir. Bununla beraber cihazların güç faktörü o cihazın yüküne göre değiştiği için güç faktörü her zaman kolayca tesbit edilemez.

Elektrikli cihazların güç değerlerinin kW yerine kVA olarak verilmesinin nedeni şekil 7.5 deki devreden kolayca anlaşılabilir.



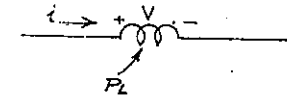
Şekil 7.5

Yükün görünen gücü 10 kVA ve akım değeri 50 amper ve uygulanan gerilim ise 200 voltur. Şekildende görüldüğü gibi gerekli akım o yük değeri için bellidir. Bu yük için devreden çekilen güç değeri vatmetreden kolayca okunabilir. Şekilde görüldüğü gibi okunan bu güç değeri yükün görünen güç değerinden çok düşüktür. Çünkü yük oldukça reaktif bir karaktere sahiptir. Başka bir ifadeyle vatmetrenin gösterdiği değer devreden çekilen akımın değeri değildir ama basitçe sarfedilen güçtür. Teorik olarak eğer yük tamamen reaktif olsa idi vatmetre değeri sıfır olurdu ve yük çok fazla akım çeker ve yanabilirdi.

#### 7.4 İNDÜKTİF DEVRE ve REAKTİF GÜÇ

Şekil 7.6 da görülen tamamen indüktif bir devrede akımla gerilim arasında  $90^\circ$  lik faz farkı olup gerilim ileridir. Böylece formül 7.1 de  $\theta = 90^\circ$  olur. Bu değeri ilgili formülde yerine korsak

$$P_L = VI \cos(90^\circ) (1 - \cos 2\omega t) + VI \sin(90^\circ) (\sin 2\omega t) \\ = VI \sin 2\omega t \quad (7.12)$$

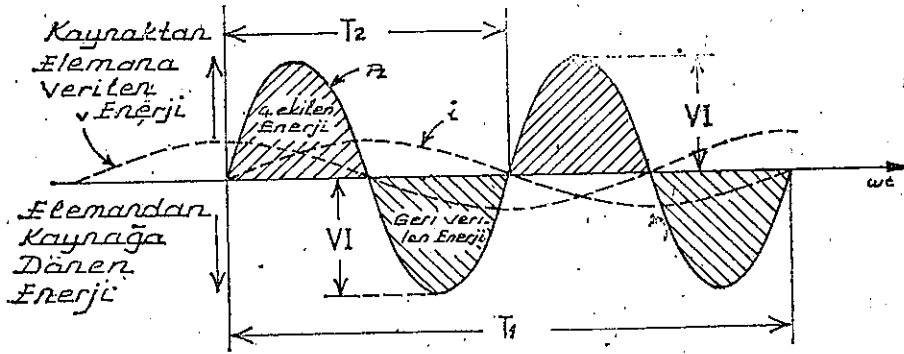


Şekil 7.6

Formülde  $V I \sin 2\omega t$  değeri sinüs eğrisidir ve bu formülde frekansın iki katı giriş değerini ( $v$  veya  $i$ ) ve  $V I$  nin tepe noktası değerini içerir. Dikkat edilirse bu formülde ortalama değer veya sabite birimi yoktur. Meydana gelen  $P_L$  değerinin eğrisini çizerseniz şekil 7.7 deki eğri elde edilir.

$T_1$  = Giriş miktarının periyodu

$T_2$  =  $P_L$  eğrisinin periyodu



Şekil 7.7

Dikkat edilirse bir tam saykıl boyunca yatay eksen üzerindeki alan yatay eksenin altında kalan alana eşittir. Şekil 7.7. Böylece  $P_L$  nin bir tam saykıl süresince kaynak tarafından indüktöre verilen enerji indüktör tarafından kaynağa verilen enerjiye eşittir. Bu durum sonuç olarak aşağıdaki gibi ifade edilebilir.

Bir tam saykılık süre içinde indüktörde sarfedilen enerji sıfırdır ve bu enerji transferinde herhangi bir enerji kaybı olmaz.  $t_1$  gibi herhangi bir anı zaman içinde indüktör tarafından emilen (depo edilen) enerji bu indüktörden kaynağa dönen enerjiye eşit olup formül 7.12 den  $t_1$  değeri bulunabilir. Eğrinin tepe değeri  $V I$ , o eğrinin indüktif eleman için reaktif gücü olarak anılır. Genel olarak bir devrede reaktif güç  $V I \sin \theta$  değeri olarak tarif edilir ve formül 7.1 in ikinci teriminde görüldüğü gibidir. Dikkat edilirse toplam güç denklemi teriminin tepe noktası değeri herhangi bir enerji transferi yapmaz. Reaktif güç  $P_q$  harfiyle gösterilip bu değer birimi var (volt-amper reaktif) olarak anılır.  $q$  sembolü eğrinin  $90^\circ$  ilk, ilk çeyreğinde olduğunu gösterir. Böylece

$$P_q = V I \sin \theta \quad (\text{var}) \quad (7.13)$$

Formülde  $\theta$  akımla gerilim arasındaki faz açısıdır. İndüktif devre için

$$P_q(L) = V I \quad (\text{var}) \quad (7.14)$$

$V = I X_L$  veya  $I = V/X_L$  olduğundan

$$P_q(L) = I^2 X_L \quad (\text{var}) \quad (7.15)$$

veya

$$P_q(L) = \frac{V^2}{X_L} \quad (\text{var}) \quad (7.16)$$

İndüktördeki görünen güç  $P_a = V I$  ve ortalama güç  $P = 0$  dir. Böylece güç faktörü

$$F_p = \cos \theta = \frac{P}{P_a} = \frac{0}{V I} = 0$$

Eğer ortalama değer sıfır ise ve bir saykılta verilen enerji geri dönerse reaktif gücün önemi nedir diye düşünülebilir. Neden pek açık değildir ama şekil 7.7 deki eğrilerle açıklanabilir. Güç eğrisi boyunca her anı zaman birimi için eğri yatay eksen üstünde pozitif olup indüktöre verilen enerjidir. Bu enerji eğrinin negatif bölümü için kaynağa dönen enerjiye eşittir. Eğrinin pozitif bölümü için gerekli güç belli zaman aralıklarıyla bu güç kaynağı tarafından sağlanır. Böylece indüktör gibi reaktif bir elemanın etkisi güç kaynağının gücü olarak gerekebilir. Yani güç kaynağı tarafından üretilip indüktöre verilen güç bu indüktör tarafından sarfedilmez, fakat basitçe indüktör tarafından ödünç olarak alınır. Böylece zaman aralıklarıyla artan güç isteği indüktif devre için büyük işletmelerde bir fiyat faktörü olarak ortaya çıkar. Bununla beraber pek çok elektrik tüketicileri elektrik enerjisini görünen güç veya vat olarak öderler. Çünkü kullanılan volt-amper değeri reaktif güç için gerekli ve önemlidir.

Başka bir ifadeyle sanayi kuruluşlarında güç faktörünün 1 e yakın olması arzu edilir. Bu o kuruluşun işletme verimini artırır. Bir eğrinin pozitif kısmında indüktör tarafından depo edilen enerji negatif kısmında indüktör tarafından kaynağa geri verilen enerjiye eşittir. Böylece kaynaktan indüktör tarafından alınan ve verilen enerji integral yoluyla bulunabilir. Buna göre

$$W_L = \int_{T_2/2}^{T_2} P_L dt \quad (\text{Joule})$$

= Eğri altında  $T_2/2$  den  $T_2$  ye kadar olan alan. Bilindiği gibi

sinüsoidal eğride eğrinin pozitif kısmının ortalama değeri 2 (tepe değeri/2) ve her hangi bir eğrinin altında kalan alan = (ortalama değer) × (eğrinin uzunluğu).

$$W_L = \left( \frac{2VI}{\pi} \right) \left( \frac{T_2}{2} \right)$$

veya

$$W_L = \frac{VI T_2}{\pi} \quad (\text{Joule}) \quad (7.17)$$

$T_2 = 1/f_2$   $f_2$ ,  $P_L$  eğrisinin frekansdır.

$$W_L = \frac{VI}{\pi f_2} \quad (\text{Joule}) \quad (7.18)$$

Güç eğrisinin  $f_2$  frekansı giriş değerinin iki katıdır.

Böylece giriş gerilim veya akımının  $f_1$  frekansı formül 7.18 de yerine konursa

$$W_L = \frac{VI}{\pi (2f_1)} \quad (\text{Joule}) \quad (7.19)$$

$$V = I X_L = I \omega_1 L$$

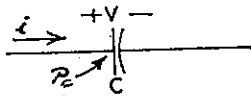
$$W_L = \frac{(I \omega_1 L) I}{\omega_1}$$

veya

$$W_L = L I^2 \quad (\text{Joule}) \quad (7.20)$$

## 7.5 KAPASİTİF DEVRE

Şekil 7.8 deki gibi tamamen kapasitif bir devrede akımla gerilim arasında  $90^\circ$  lik faz açısı farkı olup  $i$  akımı ileridir. Onun için formül 7.1 de  $\theta = -90^\circ$  değeri yerine konursa aşağıdaki formül elde edilir.



Şekil 7.8

$$P_C = VI \cos(-90^\circ) (1 - \cos 2\omega t) + VI \sin(-90^\circ) (\sin 2\omega t)$$

$$P_C = 0 - VI \sin 2\omega t$$

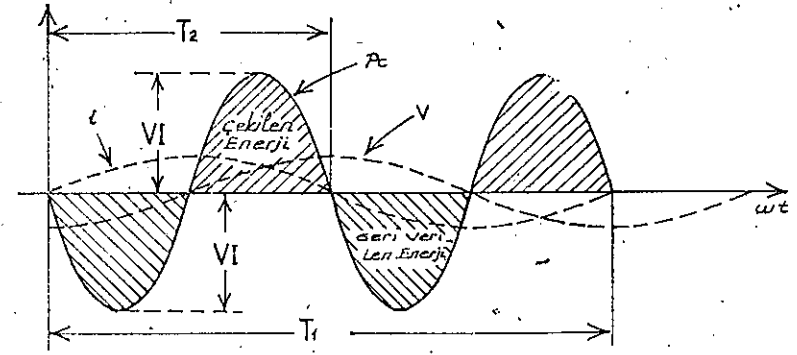
veya

$$P_C = -VI \sin 2\omega t \quad (7.21)$$

Formülde  $-VI \sin 2\omega t$  değeri negatif sinüs eğrisi olup giriş frekansının iki katıdır ve  $VI$  ise tepe noktası değeridir. Bu formülün başka bir ayrıcalığı ise ortalama değer veya sabit değer olmamasıdır. Eğrinin değerini  $P_C$  için çizersek şekil 7.9 daki eğri şekli elde edilir.

$T_1 =$  Giriş miktarının periyodu

$T_2 = P$  eğrisinin periyodu



Şekil 7.9

Bu eğriye dikkat edilirse  $P_L$  eğrisinde olan durum  $P_C$  eğrisinde de aynen oluyor. Kaynak tarafından kondansatöre verilen güç kondansatör tarafından kaynağa geri verilen güce tamamen eşittir.

Bir tam sayıklık süre içerisinde tam kapasitif bir devrede sarfedilen enerji sıfırdır ve bu enerji transferinde her hangi bir güç kaybı olmaz. Kondansatör tarafından depo edilen ve geri verilen güç  $t_1$  zamanının ani değeri olarak  $t_1$  değerini 7.71 deki formülde yerine konursa bu  $t_1$  değeri hesaplanabilir. Kondansatörün reaktif gücü ise  $P_C$  eğrisinin tepe değerine eşittir.

$$P_{q(e)} = VI \quad (\text{var}) \quad (7.22)$$

$V = IX_C$  ve  $I = V/X_C$  olduğundan kondansatörün reaktif gücü aşağıdaki gibi yazılabilir.

$$P_{q(c)} = I^2 X_C \quad (\text{var}) \quad (7.23)$$

$$P_{q(l)} = \frac{V^2}{X_L} \quad (\text{var}) \quad (7.24)$$

$$P_s = VI \quad (\text{volt-amper}) \quad (7.25)$$

ve ortalama güç  $P = 0$  dir. Böyle bir devrenin güç faktörü

$$f_p = \cos \theta = \frac{P}{P_s} = \frac{0}{VI} = 0$$

Bir saykılın pozitif kısmı süresince kondansatörde depo edilen enerji bu saykılın negatif kısmı süresince kondansatör tarafından kaynağa geri verilir. Bu enerji alışverişi aşağıdaki formülle hesaplanabilir.

$$W_C = \int_0^{T_2/2} P_C dt \quad (\text{Joule})$$

= 0 dan  $T_2/2$  değerleri arasında güç eğrisinin altında kalan alan. İndüktif devrede yapılan hesaplama tarzı burada tekrarlanırsa

$$W_C = \frac{VI}{\pi} T_2 \quad (\text{Joule}) \quad (7.26)$$

$T_2 = 1/f_2$ ,  $f_2$   $P_C$  güç eğrisinin frekansdır.

$$W_C = \frac{VI}{\pi f_2} \quad (\text{Joule}) \quad (7.27)$$

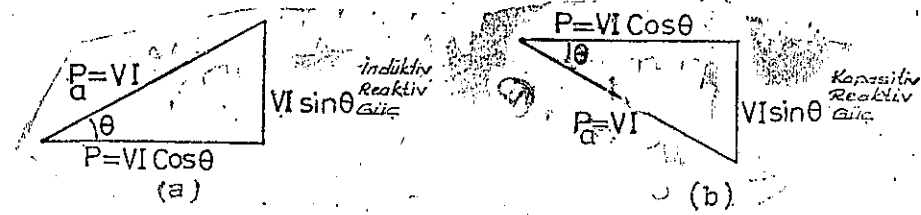
Giriş miktarı  $v$  ve  $i$  nin frekansı  $f_1$  olduğundan

$$W_C = \frac{VI}{\omega_1} \quad (\text{Joule}) \quad (7.28)$$

$$W = C V^2 \quad (\text{Joule}) \quad (7.29)$$

## 7.6 GÜÇ FAKTÖRÜ

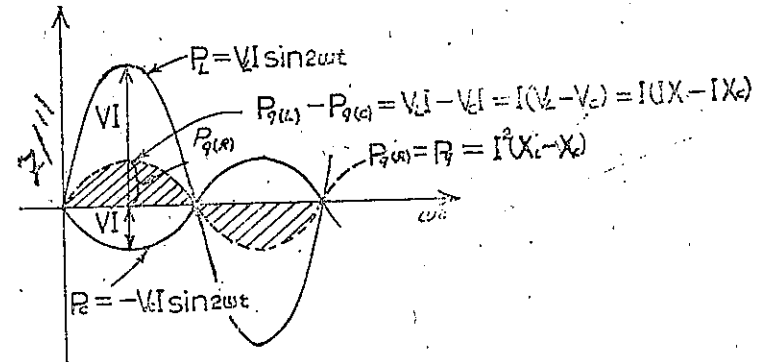
Güç konusundaki üç büyüklük olan ortalama güç, görünen güç ve reaktif güç, güç üçgeninde grafik olarak R, L devreleri için şekil 7.10 a daki gibi gösterilebilir. R, C devreleri için güç üçgeni şekil 7.10 b de görülmektedir.



Şekil 7.10 a-b

Eğer her hangi bir devrede kapasitif ve indüktif elemanlar beraber kullanılırsa reaktif elemanların güç üçgeni her bir elemanın reaktif güçlerinin farkına eşittir. Eğer  $P_{q(l)} > P_{q(c)}$  ise bileşke güç üçgeni şekil 7.10 a daki üçgen gibi olur.

Eğer  $P_{q(c)} > P_{q(l)}$  ise bileşke güç üçgeni şekil 7.10 b daki gibi olur. Böylece indüktif eleman ve kapasitif elemanın reaktif güçlerinin bileşkesi olan toplam reaktif güç 7.12 ve 7.21 deki formüllerle ifade edilebilir. Bu formülleri kullanarak L-C seri devresi için her bir elemanın reaktif gücü yatay ve dikey eksenlerde işaretlenerek çizilirse şekil 7.11 deki eğriler elde edilir.

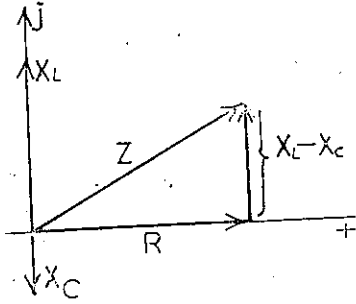


Şekil 7.11

Reaktif elemanlarda  $X_L > X_C$  olarak seçilmiştir. Bu eğrilere dikkat edilirse her bir eleman için güç eğrileri  $180^\circ$  lik faz farkına sahiptir. Yani birisi pozitif tepe noktasında iken diğeri negatif tepe noktası değerini alır. Bu şekilde bileşke reaktif güç her bir eğrinin ani değerlerinin cebirsel toplamına eşittir. Çünkü reaktif güç tepe noktası değerleri olarak tanımlanır ve güç üçgeninin reaktif bileşenleri  $P^2 (X_L - X_C)$  olarak gösterilir.

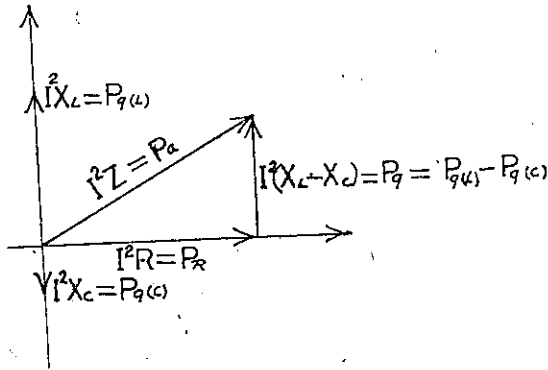


R, L ve C elemanlarından meydana gelen devrenin empedans diyagramı şekil 7.12 de görülmüyor.



Şekil 7.12

Eğer her yarı çap vektörünü akımın karesi ( $I^2$ ) ile çarparsak sonuç olarak şekil 7.13 de görülen diyagram elde edilir. Bu şekilden görüldüğü gibi bu devreye indüktif eleman hakimdir. Yani devre indüktiftir.



Şekil 7.13

Çünkü ortalama güç ile reaktif güç daima  $90^\circ$  lik açı ile bir birini bitirirler. Böylece bu üç güç arasındaki bağlantı aşağıdaki gibidir.

$$P_a^2 = P^2 + P_q^2 \quad (7.30)$$

Bu formülden görüldüğü gibi güçlerden ikisinin bilinmesi koşuluyla üçüncü güç bulunabilir.

## 7.7 TOPLAM $P$ , $P_q$ , $P_a$

Bir devrede sarfedilen güç vat, var, vA ve sistemin güç faktörü aşağıdaki iş sırasına uyularak kolayca bulunabilir.

- 1 — Devrenin her bir kolu için toplam gücü vat, var olarak bulunuz.
- 2 — Sistemin vat olarak toplam gücü, her bir kolda sarfedilen ortalama güçlerin toplamıdır.
- 3 — Toplam reaktif güç, indüktif yükün reaktif gücü ile kapasitif yükün reaktif gücünün farkıdır.
- 4 — Toplam görünen güç  $P_T^2 + P_q^2$  dir.
- 5 — Toplam güç faktörü  $P_T/P_a$  (T) dir.

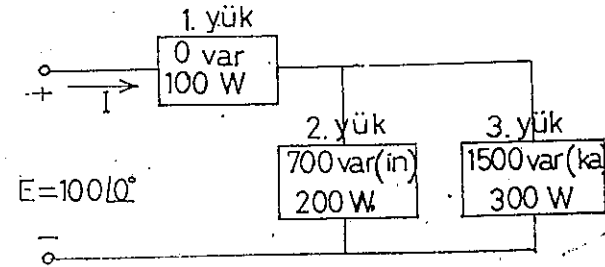
Yukarıdaki tabloda iki önemli nokta vardır.

Birincisi: Toplam görünen güç toplam ortalama güç ile reaktif güçlerden bulunmalıdır. Toplam görünen güç her bir kolun görünen güçleriyle hesaplanamaz.

İkincisi ve en önemlisi: Kolların seri-paralel olması hiç önemli değildir. Başka bir ifadeyle toplam gerçek reaktif veya görünen güç yükün seri-paralel veya seri-paralel olmasına bağlı değildir.

### ÖRNEK: 7.1

Şekil 7.14 deki devrede toplam vattarın sayısını vat ve volt-ampere güç faktörünü bulunuz ve devrenin güç üçgenini çizerek akımın vektör olarak bulunuz.



Şekil 7.14

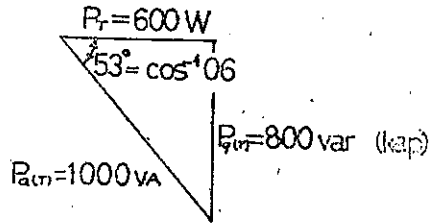
## Çözüm:

Güç değerlerini bulmak için tablo kullanılırsa

Yük	W	var	vA
1	100	0	$\sqrt{200^2 + 700^2} = 727$
2	200	700 (ind)	
3	300	1500 (kap)	$\sqrt{300^2 + 1500^2} = 1530$
$P_T = 600$	$P_{a(T)} = 800$ (kap)	$P_{a(T)} = \sqrt{600^2 + 800^2} = 1000$	
Sarfedilen toplam güç	Devrenin varlık gücü	Dikkat edilirse $P_{a(T)} \neq$ her bir kolun toplamı, yani $1000 \neq 100 + 727 + 1530$	

$$F_p = \frac{P_T}{P_{a(T)}} = \frac{600}{1000} = 0.6 \text{ ileri (kap)}$$

Güç üçgeni şekil 7.15 de görülmektedir.



Şekil 7.15

$$P_{a(T)} = VI = 1000, I = 1000/100 = 10 \text{ Amper}$$

ve  $\cos \theta = f_p$ , giriş akımıyla gerilim arasındaki açıdır.

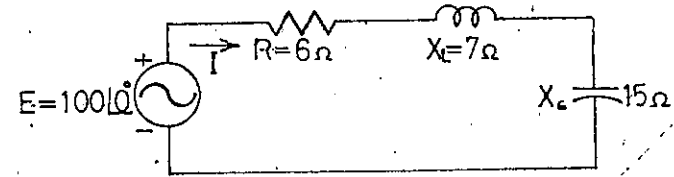
$$I = 10 \angle +53^\circ$$

Faz açısıyla birlikte kullanılan pozitif (+) işareti o devrenin kapasitif olduğunu gösterir.

## ÖRNEK: 7.2

Şekil 7.16 daki devrenin

- Toplam vat sayısını, var, vA, ve güç faktörü  $f_p$  yi bulunuz.
- Güç üçgenini çiziniz.
- Giriş frekansı 50 Hz iken gerilimin bir tam sayıkl süresince dirençte sarfedilen enerjiyi bulunuz.
- Kondansatörde veya indüktörde depo edilen veya kaynağa geri verilen enerjiyi güç eğrisinin 1/2 sayıklık bölümü için bulunuz. Giriş frekansı 50 Hz dir.



Şekil 7.16

## Çözüm:

$$I = \frac{E}{Z_T} = \frac{100 \angle 0^\circ}{6 + j7 - j15} = \frac{100 \angle 0^\circ}{10 \angle -53^\circ} = 10 \angle 53^\circ$$

$$V_R = IR = (10 \angle 53^\circ) (6 \angle 0^\circ) = 60 \angle 53^\circ$$

$$V_L = IX_L = (10 \angle 53^\circ) (7 \angle 90^\circ) = 70 \angle 143^\circ$$

$$V_C = IX_C = (10 \angle 53^\circ) (15 \angle -90^\circ) = 150 \angle -37^\circ$$

$$P_T = EI \cos \theta = 100 \cdot 10 \cos 53^\circ = 600 \text{ vat}$$

$$= I^2 R = 10^2 \cdot 6 = 600 \text{ vat}$$

$$= \frac{V_R^2}{R} = \frac{60^2}{6} = \frac{3600}{6} = 600 \text{ vat}$$

$$P_{a(T)} = EI = 100 \cdot 10 = 1000 \text{ vA}$$

$$= I^2 Z_T = 10^2 \cdot 10 = 1000 \text{ vA}$$

$$= \frac{E^2}{Z_T} = \frac{100^2}{10} = 1000 \text{ vA}$$

$$P_{q(T)} = E \cdot I \sin \theta = 100 \cdot 10 \sin 53^\circ = 800 \text{ var}$$

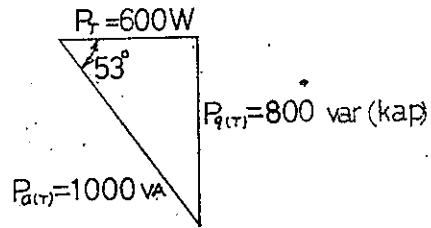
$$= P_{q(C)} - P_{q(L)}$$

$$= I^2 (X_C - X_L) = 100 (15 - 7) = 800 \text{ var}$$

$$= \frac{V_C^2}{X_C} - \frac{V_L^2}{X_L} = \frac{150^2}{15} - \frac{70^2}{7} = 1500 - 700 = 800 \text{ var}$$

$$F_p = \frac{P_R}{P_{a(T)}} = \frac{600}{1000} = 0.6 \text{ ileri (kap)}$$

b — Güç üçgeni şekil 7.17 de görülmektedir.



Şekil 7.17

$$c = W_R = 2 \left( \frac{V_R I}{f_2} \right) = 2 \left( \frac{V_R I}{2f_1} \right) = \frac{V_R I}{f_1} = \frac{60 \cdot 10}{50} = 12 \text{ Joule}$$

$$d = W_L = \frac{V_L I}{2\pi f_1} = \frac{70 \cdot 10}{6.28 \cdot 50} = \frac{700}{314} = 2.22 \text{ Joule}$$

$$W_C = \frac{V_C I}{2\pi f_1} = \frac{150 \cdot 10}{314} = \frac{1500}{314} = 4.77 \text{ Joule}$$

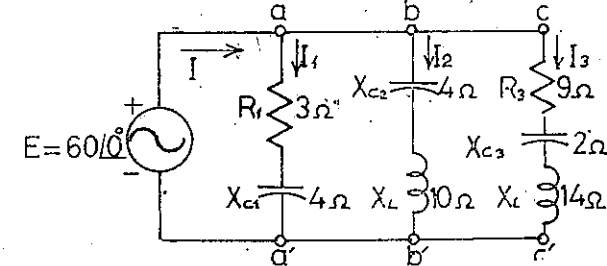
### ÖRNEK: 7.3

Şekil 7.18 deki devrede

a — Ortalama gücü, görünen gücü, reaktif gücü ve her kol için  $f_p$  değerini bulunuz.

b — Toplam güç sayısını, var, vA ve güç faktörü  $f_p$  yi bulunuz. Ayrıca güç üçgenini çiziniz.

c — I akımını bulunuz.



Şekil 7.18

**Çözüm:**

a — a-a' kolu için

$$I_1 = \frac{E}{Z_{a-a'}} = \frac{60 / 0^\circ}{3 - j4} = \frac{60 / 0^\circ}{5 / -53^\circ} = 12 / 53^\circ$$

$$P = I_1^2 R = 12^2 \cdot 3 = 144 \cdot 3 = 432 \text{ vat}$$

$$P_a = E \cdot I_1 = 60 \cdot 12 = 720 \text{ vA}$$

$$P_q = I_1^2 X_C = 12^2 \cdot 4 = 576 \text{ var}$$

$$F_p = \frac{P}{P_a} = \frac{432}{576} = 0.6 \text{ ileri (kap)}$$

b-b' kolu için

$$I_2 = \frac{E}{Z_{b-b'}} = \frac{60 / 0^\circ}{j10 - j4} = \frac{60 / 0^\circ}{6 / 90^\circ} = 10 / -90^\circ$$

$$P = I_2^2 R = I_2^2 (0) = 0 \text{ vat}$$

$$P_a = E I_2 = 60 \cdot 10 = 600 \text{ vA}$$

$$P_{q(T)} = I_2^2 (X_L - X_C) = 10^2 \cdot (6) = 600 \text{ var}$$

$$F_p = \frac{P}{P_a} = \frac{0}{600} = 0$$

c-c' kolu için

$$I_2 = \frac{E}{Z_{c-c'}} = \frac{60 \angle 0^\circ}{9 - j2 + j14} = \frac{60 \angle 0^\circ}{9 + j12} = \frac{60 \angle 0^\circ}{15 \angle 53^\circ}$$

$$= 4 \angle -53^\circ$$

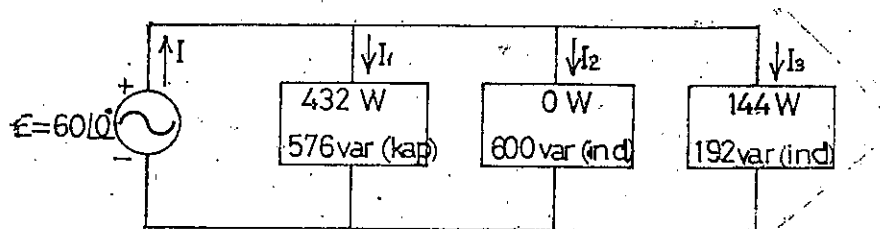
$$P = I_2^2 R = 4^2 \cdot 9 = 144 \text{ vat}$$

$$P_a = EI_2 = 60 \cdot 4 = 240 \text{ vat}$$

$$P_q = I_2^2 (X_L - X_C) = 4^2 \cdot 12 = 192 \text{ var}$$

$$F_p = \cos \theta = \frac{P}{P_a} = \frac{144}{240} = 0.6 \text{ geri (ind)}$$

b — Bu hesaplamalardan sonra devre şekil 7.19 daki gibi tekrar çizilirse



Şekil 7.19

$$P_{a(T)} = \sqrt{(576)^2 + (216)^2}$$

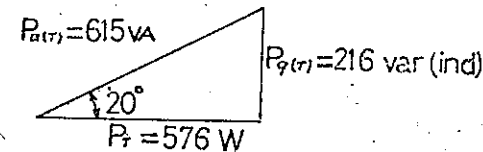
$$P_{a(T)} = 615 \text{ vA}$$

kollar	W	var
a-a'	432	576 (kap)
b-b'	0	600 (ind)
c-c'	144	192 (ind)
	$P_T = 576 \text{ W}$	$P_{qT} = 216 \text{ (ind)}$

$$F_{p(T)} = \cos \theta = \frac{P_T}{P_{a(T)}} = \frac{576}{615} = 0.94 \text{ geri (ind)}$$

$$\theta = \cos^{-1} 0.94 = 20^\circ$$

Güç üçgeni şekil 7.20 deki gibidir.



Şekil 7.20

$$P_{a(T)} = EI = 615$$

Bunun için

$$I = \frac{615}{60} = 10.2 \text{ Amper}$$

Devre indüktif olduğu için I akımı ile E gerilim arasında 20° lik açı olup akım geridir.

$$I = 10.2 \angle -20^\circ$$

#### ÖRNEK: 7.4

Bir elektrik cihazının gücü 5 kva, gerilim ise 100 voltur. Güç faktörü 0.6 geri olduğuna göre cihazın empedansını dik bileşenler formunda bulunuz.

Çözüm:

$$P_{a(T)} = EI = 5000 \text{ vA}$$

$$I = \frac{5000}{100} = 50 \text{ Amper}$$

$$F_p = 0.6 \text{ için } \theta = \cos^{-1} 0.6 = 53^\circ \text{ dir.}$$

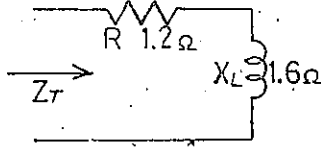
Güç faktörü geri olduğundan devre indüktiftir ve I akımı E geriliminden geridir.

$$E = 100 \angle 0^\circ$$

$$I = 50 \angle -53^\circ$$

$$Z_T = \frac{E}{I} = \frac{100 \angle 0^\circ}{50 \angle -53^\circ} = 2 \angle 53^\circ = 1.2 + j1.6$$

Bu sonuca göre empedans devresinin şekli 7.21'dir.



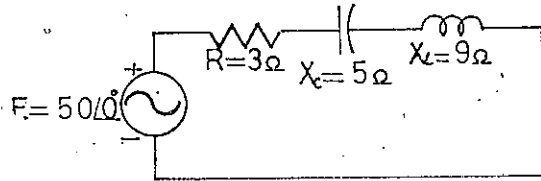
Şekil 7.21

### PROBLEMLER

#### Bölüm 7.7

1 — Şekil 7.22'deki devrede

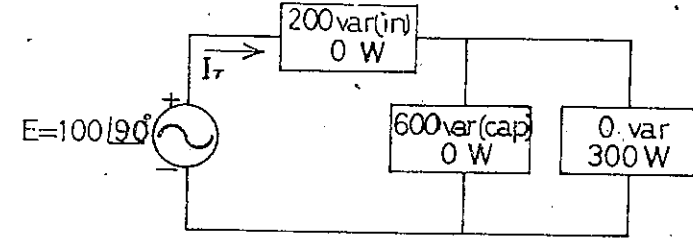
- Her elemanda sarfedilen ortalama gücü
- Her elemanın reaktif gücünü
- Her elemanın görünür gücünü
- Güç sayısını var, vA ve güç faktörünü
- Güç üçgenini
- Giriş geriliminin bir tam sayıklık süresince dirençte sarfedilen gücü bulunuz.
- Kondansatörde ve indüktörde depo edilen veya geri verilen enerjiyi 1/2 sayıklık için bulunuz.



Şekil 7.22

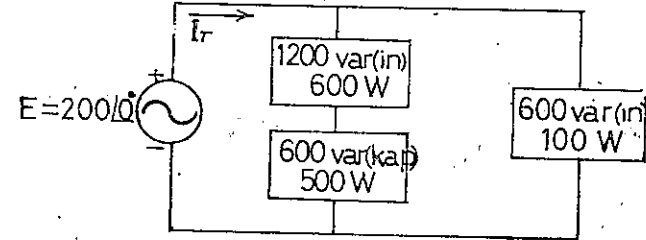
2 — Şekil 7.23'deki devrede

- Güç sayısına var, vA ve güç faktörü  $f_p$  yi bulunuz.
- Güç üçgenini çiziniz.
- $I_T$  akımını bulunuz.



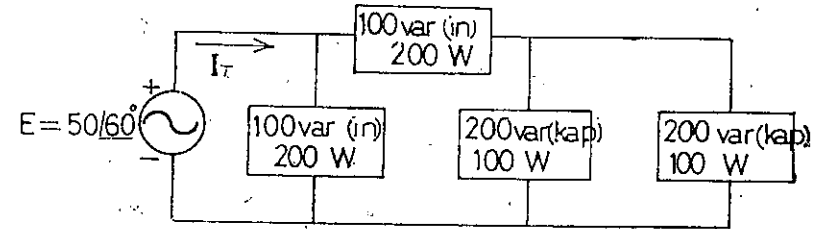
Şekil 7.23

3 — Problem 2 yi şekil 7.24 için tekrar ediniz.



Şekil 7.24

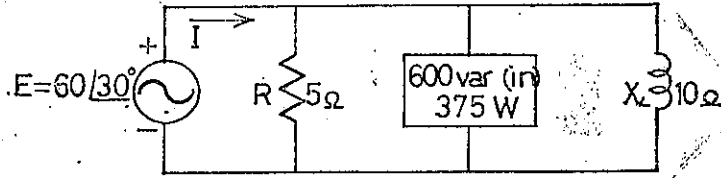
4 — Problem 2 yi şekil 7.25 için tekrar ediniz.



Şekil 7.25

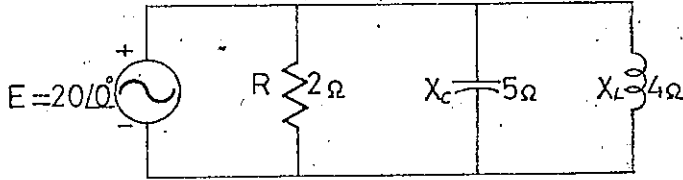
5 — Şekil 7.26 daki devrede

- Ortalama, reaktif, görünen gücü, 5 ohmluk direnç için bulunuz.
- Bölüm a yı 10 om luk indüktif reaktans için tekrar ediniz.
- Güç sayısını var, vA ve güç faktörünü  $f_p$  bulunuz.
- $I_T$  akımını bulunuz.



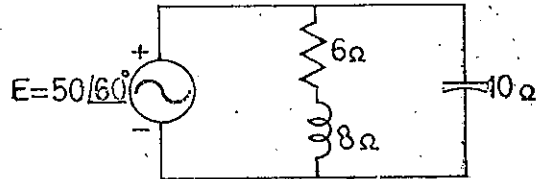
Şekil 7.26

6 — Problem 1 i şekil 7.27 için tekrar ediniz.



Şekil 7.27

7 — Problem 1 i şekil 7.28 için tekrar ediniz.



Şekil 7.28

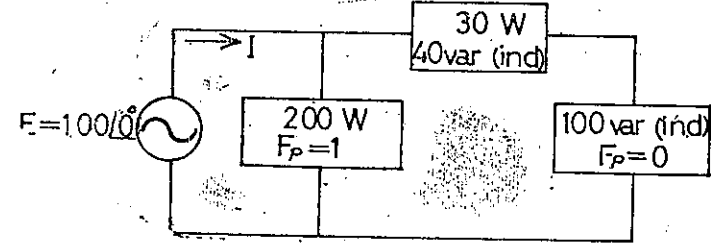
8 — Bir sistemin gücü 10 kVA, gerilimi 200 ve güç faktörü  $f_p = 0.5$  ileridir.

- Sistemin empedansını dik bileşenler formunda bulunuz.
- Sistemde sarfedilen ortalama gücü bulunuz.
- Formül 7.11 i kullanarak güç faktörünü bulunuz ve verilen değerle karşılaştırınız.

9 — Problem 8 i sistemin gücü 5 kVA, 120 v ve 0.8 geri olan bir sistem için tekrar ediniz.

10 — Şekil 7.29 daki devrede

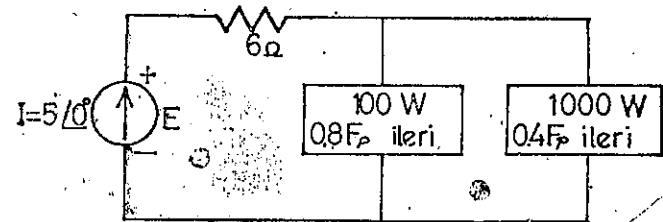
- Güç sayısını var, vA ve güç faktörünü  $f_p$  yi bulunuz.
- $I$  akımını bulunuz.
- Devredeki elemanların çeşidini ve onların empedansını bulunuz. (Kutuların içi seri bağlıdır)



Şekil 7.29

11 — Şekil 7.30 daki devrede

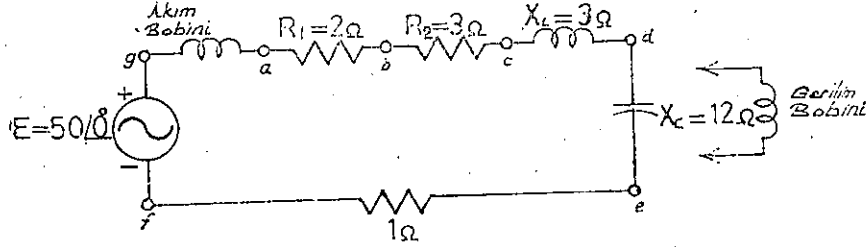
- Güç sayısını var, vA ve güç faktörü  $f_p$  yi bulunuz.
- E gerilimini
- Her bir kolun empedansını ve çeşidini bulunuz. (Kutuların içi seri bağlıdır)



Şekil 7.30

12 — Bir vatmetrenin akım bobini şekil 7.31'deki gibi devreye seri ve gerilim bobini f-g uçlarına bağlıdır.

- a — Bu durumda vatmetreden okunan güç nedir?  
 b — A bölümünü gerilim bobini (GB) yi a-b, b-c, a-c, a-d, c-d, ve f-e ye bağlayarak tekrar ediniz.



Şekil 7.31

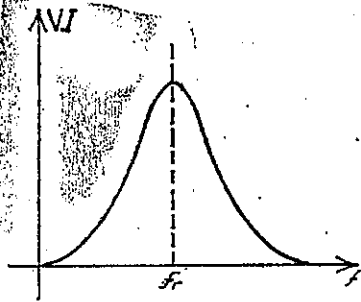
## REZONANS

### 8.1 GİRİŞ

Bu bölümün amacı elektrik devrelerinde çok önemli olan rezonansı, elektrik ve elektronik sistemlerde pek çok kullanılan ve rezonansa dayanan operasyonların esasını anlatmaktır. Rezonans devreleri R, L ve C elemanlarını içeren bir devre çeşidi olup şekil 8.1'de görüldüğü gibi bir frekans tepkisi karakterine sahiptir. Dikkat edilirse şekilde, tepki frekansın  $f_r$  değeri için maksimumdur ve bu değer için sağ ve sol değerleri için frekans tepkisi azalmaktadır. Başka bir ifadeyle rezonans devresi frekansın derecesini tepki için maksimum değerine yakın veya eşit değerde seçen bir devredir.

Pek çok pratik amaçlar için frekansın sağ ve sol düşük değerlerinde frekansın devre üzerindeki tepkisi azalır. Radyo veya televizyon alıcıları şekil 8.1'de gösterilen bir frekansın tepkisi eğrisidir. Alıcı belli bir istasyon değerine ayarlanırken o alıcıya  $f_r$  değerinin üzerinde veya çok yakınına ayarlanmış demektir. Rezonans frekansının sağ veya sol düşük değerlerinde istasyonun transfer frekansları arzu edilen programın önemli etkilerini taşımazlar. Yukarıda vurgulandığı gibi ayarlama işleminden dolayı bu tip devreye ayarlama devresi denir. Frekans tepkisi maksimum olduğundan o devre rezonans olarak ifade edilir ve bu frekans değeri  $f_r$  rezonans frekansı olarak anılır. Rezonans kavramı sadece elektrik veya elektronik devrelere ait bir terim değildir. Eğer mekaniksel titreşimler başka bir mekaniksel sisteme uygun bir frekansta uygulanırsa bu sistem bir rezonans durumuna girer ve mekanik sistem bu vibrasyonu muhafaza eder ve titreşimin büyüklüğü gittikçe artar. Böylece olan frekansa bağlı frekansa o sistemin tabi frekansı olarak anılır.

Elektrikli rezonans devreleri indüktans ve kondansatör içermek zorundadır. Buna ilaveten direnç daima bu tip bir devrede ya ideal devre elemanı yokluğundan veya rezonans eğrisinin şeklinin kontrolü için o devreye ilave edilir. Uygun frekans  $f_r$  değerinin uygulanmasından dolayı rezonans olurken reaktif eleman tarafından hre hangi bir ani değerde depo edilen (emilen) enerji sistemin başka bir reaktif elemanı tarafından serbest bırakılan değere eşittir. Başka bir ifadeyle bir reaktif elemandan başka bir reaktif elemana olan bir enerji titreşimidir. Onun için sistem rezonans değerine yetişince daha fazla reaktif güç gerektirmez.



Rezonans eğrisi

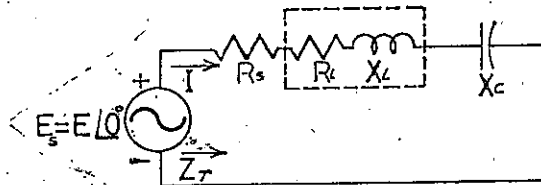
Şekil 8.1

Çünkü bu kendi kendini muhafaza eder. Toplam görünen güç basitçe omik elemanlarda sarfedilen ortalama güce eşittir. Böylece sistem tarafından emilen veya depo edilen (absorb) ortalama güç maksimum rezonans değerinde olur. Böylece mekanik sisteme transfer edilen transfer enerji tabii frekansın maksimum değerinde olur. Rezonans devreleri başlıca iki çeşide ayrılır. Bunlar seri ve paralel rezonans devreleridir.

## SERİ REZONANS

### 8.2 SERİ REZONANS DEVRELERİ

Şekil 8.2 de temel bir seri rezonans devresi görülmektedir. Bobinin iç direnci  $R_1$  dir. Devredeki  $R_s$  ise kaynak direncidir ve rezonans enerjisinin şeklini etkilemek için devreye başka bir direnç ilave edilir.



Seri rezonans devresi

Şekil 8.2

$R = R_s + R_1$  olursa ve devrenin toplam empedansı aşağıdaki gibi bulunur.

$$Z_T = R + jX_L - jX_C = R + j(X_L - X_C)$$

Seri rezonans için

$$X_L = X_C$$

(8.1)

Rezonans anında toplam empedans basitçe aşağıdaki gibidir.

$$Z_{R_s} = R$$

(8.2)

Çünkü reaktif eleman  $Z_T$  için denklemden çıkar. Formülde  $s$  harfi seri rezonans koşulunu gösterir. İndüktans ve kapasitans için rezonans frekansı denklem 8.1 le tesbit edilebilir.

$$X_L = X_C$$

Onun için

$$\omega L = \frac{1}{\omega C} \text{ ve } \omega^2 = \frac{1}{LC}$$

veya

$$\omega_s = \frac{1}{\sqrt{LC}}$$

(8.3)

$$f_s = \frac{1}{2\pi\sqrt{LC}}$$

(8.4)

Formülde

$f$  = Frekans Hz

$L$  = İndüktans H

$C$  = Kapasite C

Rezonans anında devreden geçen akım ise

$$I = \frac{E \angle 0^\circ}{R \angle 0^\circ} = \frac{E}{R} \angle 0^\circ$$

Şekil 8.2 deki devrede  $I$  maksimum akım ve  $E$  ise uygulanan gerilimdir.

Yukarıdaki formülde görüldüğü gibi rezonans devresinde akımla gerilim aynı fazdadır. Çünkü kondansatör ve indüktörden geçen akım devre seri olduğu için aynıdır ve her birinin uçlarındaki gerilim aynı büyüklüktedir, fakat rezonansda  $180^\circ$  lik faz farklıdır.



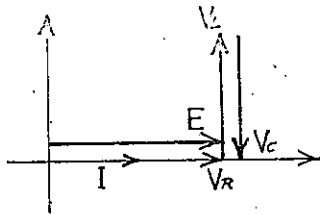
$$\left. \begin{aligned} V_L &= IX_L = (I/0^\circ) (X_L/90^\circ) = IX_L/90^\circ \\ V_C &= IX_C = (I/0^\circ) (X_C/90^\circ) = IX_C/90^\circ \end{aligned} \right\} \begin{array}{l} 180^\circ \text{ lik} \\ \text{faz farkı} \end{array}$$

$X_L = X_C$  olduğundan

$$V_L = V_C \text{ dir. } \textcircled{C}$$

(8.5)

Şekil 8.3 de görülen diyagramda akım ve gerilim açıkça ifade ediyor ki direnç uçlarındaki gerilim rezonans anındaki giriş gerilimine eşittir.



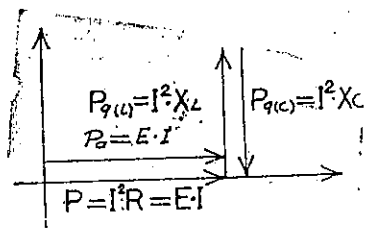
Seri rezonans devresinin rezonans anındaki vektör diyagramı.

Şekil 8.3

Rezonans anındaki direncin ortalama gücü  $I^2 R$  dir. İndüktans ve kondansatörün reaktif gücü ise  $I^2 X_L$  ve  $I^2 X_C$  dir. Böyle bir devrenin güç üçgeni şekil 8.4 deki gibidir. Rezonans anı gösteriyor ki görünen güç dirençte sarfedilen güce eşittir. Çünkü  $P_{q(L)} = P_{q(C)}$  dir.

Rezonans devresinin güç faktörü ise

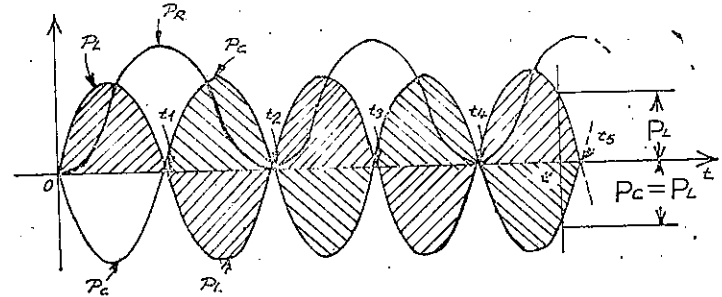
$$F_p = \cos \theta = \frac{1}{P_a} = 1 \text{ dir.}$$



Rezonans anındaki seri rezonans devresinin güç üçgeni

Şekil 8.4

Her bir elemanın güç eğrisini aynı eksen üzerinde işaretlersek şekil 8.5 deki eğri elde edilir. Bu şekilde görülüyor ki zamanın ani değeri için toplam reaktif güç sıfırdır ( $t = t'$ ). Enerji ise hâla indüktör ve kondansatör tarafından emiliyor veya depo edilip bir zaman sonra tekrar kaynağa geri veriliyor. Zamanın değeri 0 dan  $t'$  e kadar indüktör tarafından depo edilen enerji aynı zaman aralığının kondansatör tarafından kaynağa geri verilen enerjiye eşittir. Bunun için toplam görünen güç ortalama güce eşit olarak devam eder.



Seri rezonans devresinin rezonans anındaki güç eğrisi

Şekil 8.5

Bu devamlılık indüktör ve kondansatörün enerji emmesi ve tekrar kaynağa geri vermesi şeklindedir. Bu durum sadece rezonans anında olur. Reaktif elemanda meydana gelen çok az bir frekans değişikliği güç üçgeninde sistemin görünen gücü artırır ve ortalama güç sarfiyatı ve rezonans uzun süre devam etmez.

### 8.3 KALİTE FAKTÖRÜ (Q)

Seri rezonans devrelerinin kalite faktörü reaktif gücün  $P_q$  (Kondansatör veya indüktör) rezonans anında direncin gücüne veya ortalama güç  $P$  ye oranıdır diye tarif edilir.

$$Q_s = \frac{P_q}{P}$$

(8.6)

$P_q$  yerine (L ve C) reaktif değerini yazarsak

$$Q_s = \frac{P_q}{P} = \frac{I^2 X_L}{I^2 R}$$

$$Q_s = \frac{X_L}{R} = \frac{\omega_s L}{R} \quad (8.7 a)$$

veya

$$Q_s = \frac{I^2 X_C}{I^2 R}$$

$$Q_s = \frac{X_C}{R} = \frac{1}{\omega_s C R} \quad (8.8)$$

Eğer R direnci sadece bobinin ( $R_L$ ) direnci ise o zaman Q bobinin kalite faktörü olur.

$$Q_s = Q_{\text{bobin}} = \frac{X_L}{R_L} = (R = R_L) \quad (8.7 b)$$

$$\omega_s = 2\pi f_s \text{ ve } f_s = \frac{1}{2\pi\sqrt{LC}} \text{ olduğundan}$$

$$Q_s = \frac{\omega_s L}{R} = \frac{2\pi f_s L}{R} = \frac{2\pi}{R} \left( \frac{1}{2\pi\sqrt{LC}} \right) L$$

$$Q_s = \frac{L}{R} \left( \frac{1}{\sqrt{LC}} \right) = \left( \frac{\sqrt{L}}{\sqrt{L}} \right) \frac{L}{R\sqrt{LC}}$$

$$Q_s = \frac{1}{R} \sqrt{\frac{L}{C}} \quad (8.9)$$

Seri rezonans devreleri genellikle iletişim devrelerinde kullanılır ve  $Q_s$  ise genellikle bir den büyüktür. Şekil 8.2'deki devreye gerilim bölme kaidesini uygularsak aşağıdaki değer elde edilir.

$$V_L = \frac{X_L E}{Z_T} = \frac{X_L E}{R} \quad (\text{rezonansta})$$

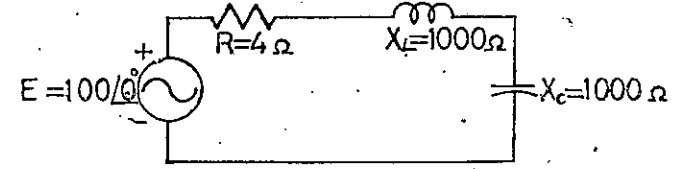
$$V_L = Q E \quad (8.10)$$

veya

$$V_C = \frac{X_C E}{Z_T} = \frac{X_C E}{R}$$

$$V_C = Q E \quad (8.11)$$

$Q$  değeri genellikle bir den büyük olduğundan kondansatör veya indüktör uçlarındaki gerilim rezonans seri devrelerinde devreye uygulanan giriş geriliminden büyüktür. Pek çok durumlarda böyle bir devre yapımında bu durumdan dolayı izolasyon iyi yapılmalıdır. Böyle bir devreye ait bir örnek şekil 8.6'da görülmektedir.



Yüksek Q lü seri rezonans devresi

Şekil 8.6

$$Q_s = \frac{X_L}{R} = \frac{1000}{4} = 250$$

$$V_L = V_C = Q_s E$$

$$= 250 \cdot 100 = 25000 \text{ volt}$$

Eldedilen bu gerilim değeri gerçekten böyle bir devreye teşkilinden çok büyük dikkati gerektirir.

#### 8.4 $Z_T$ ye KARŞIN FREKANS

Seri bağlı R, L ve C devrelerinde her hangi bir frekanstaki toplam empedans aşağıdaki gibi hesaplanır.

$$Z_T = R + jX_L - jX_C \text{ veya } Z_T = R + j(X_L - X_C)$$

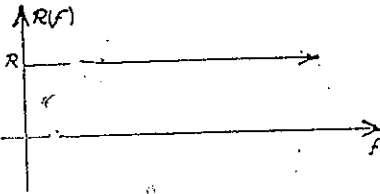
Toplam empedansın büyüklüğü ise

$$Z_T = \sqrt{R^2 + (X_L - X_C)^2} \text{ dir.}$$

Seri rezonans devresinde toplam empedansa karşılık frekans eğrisi şekil 8.2'deki devreye için her bir elemana empedans ve frekans eğrileri uygulanmak suretiyle aşağıdaki formülden bulunabilir.

$$Z_T(f) = \sqrt{[R(f)]^2 + [X_L(f) - X_C(f)]^2} \quad (8.12)$$

Formülde  $Z_T(f)$  değeri toplam empedans olup frekansın bir fonksiyonudur. İdeal olarak direnç değeri frekansla değişmez, dolayısıyla direncin frekans eğrisi yatay eksene direncin büyüklüğü değerinde bir paraleldir. Direnç ve frekans eğrisi şekil 8.7'de görülmektedir.



Direnç-frekans eğrisi  
Şekil 8.7

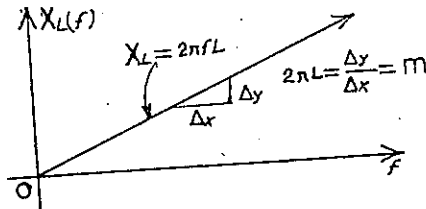
Reaktans denkleminde tesbit edilen indüktans eğrisi orjinden geçen ve eğimi bobinin indüktansına eşit olan düz bir doğrudur. İki boyutlu bir alanda böyle bir doğrunun matematiksel ifadesi aşağıdaki gibidir.

$$y = mx + b$$

Bobin için

$$X_L = 2\pi fL + 0 = \underbrace{2\pi L}_{m} (f) + \underbrace{0}_{b}$$

Bu formülde  $2\pi L$  o eğrinin eğimini verir. Bu değerlere göre çizilen eğri Şekil 8.8 de görülmektedir.



İndüktif reaktansa karşın frekans  
Şekil 8.8

Kondansatör için

$$X_C = \frac{1}{2\pi fC} \text{ veya } X_C f = \frac{1}{2\pi C}$$

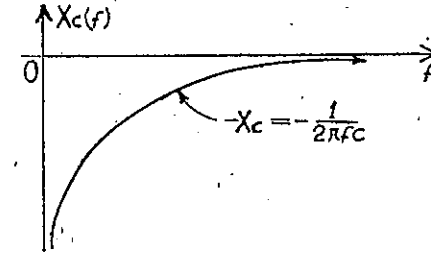
Böylece  $Y_X = k$  olur. Hiperbol için denklemden

$$Y \text{ (değişken)} = X_C$$

$$X \text{ (değişken)} = f$$

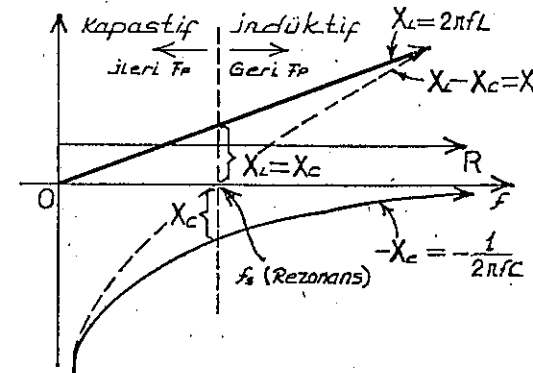
$$k \text{ (sabit)} = 1/2\pi C$$

$-X_C(f)$  değerini içeren toplam empedans  $Z_T$  denkleminde elde edilen değere göre çizilen  $-1/2\pi fC$  eğrisi Şekil 8.9 da görülmektedir.



Kapasitif reaktansa karşın frekans eğrisi  
Şekil 8.9

Omik, indüktif ve kapasitif değerlere göre aynı eksen üzerinde gösterilerek çizilen eğriler Şekil 8.10 da görülmektedir. Bu eğrilerden görüldüğü gibi rezonans anında  $X_L = X_C$  dir. Ayrıca devrenin kapasitif reaktansı indüktif reaktansından (rezonans frekansına göre) daha büyüktür. Böylece bu devre rezonans frekansının solunda kapasitiftir. Rezonans frekansının  $f_s$  nin sağındaki değerler için ise indüktiftir.



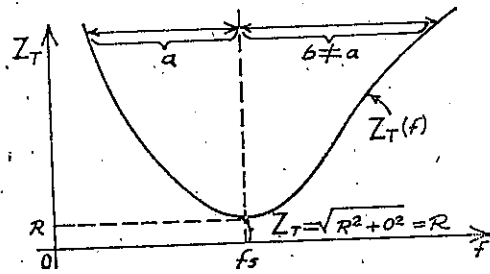
Şekil 8.10

Başka bir ifadeyle  $f_s$  nin solunda kalan değerler için güç faktörü ile-ridir ve  $f_s$  nin sağındaki değerler için güç faktörü geridir.

$$Z_T(f) = \sqrt{[R(f)]^2 + [X_L(f) - X_C(f)]^2}$$

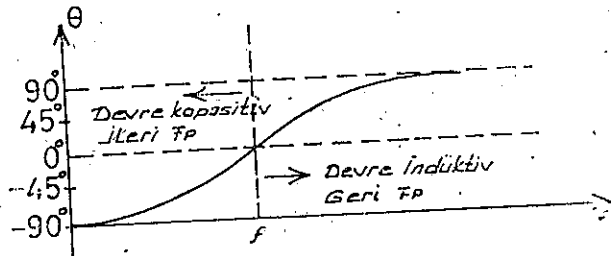
$$= \sqrt{[R(f)]^2 + [X(f)]^2}$$

Bu denklemden elde edilen değerlere göre  $Z_T(f)$  eğrisi şekil 8.11 de görülmektedir.



Seri rezonans devresi için  $Z_T$  ye karşın frekans eğrisi  
Şekil 8.11

Bu eğriden görüldüğü gibi minimum empedans ancak rezonans frekansında meydana gelmektedir. Bu değer aynı zamanda devrenin omik  $R$  değerine eşittir. Dikkat edilirse bu eğri rezonans frekansına göre simetrik değildir. Rezonans frekansına göre çok küçük değerler için devre oldukça kapasitif ve akım uygulanan gerilimden  $90^\circ$  ileridir. Rezonans frekansına göre çok yüksek frekans değerleri için devre oldukça indüktif ve akım uygulanan gerilime göre  $90^\circ$  geridedir. Uygulanan gerilim ve devre akımı sadece rezonans değerinde aynı fazdadır. Yani devre omiktir. Bu değerlere göre çizilen eğri şekil 8.12 de görülmektedir.

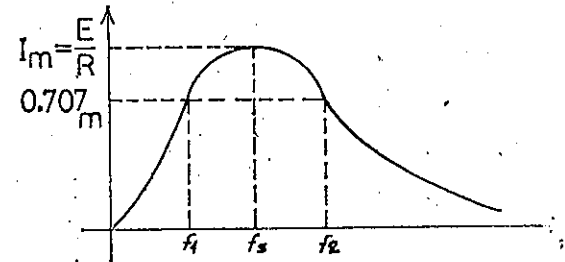


Seri rezonans devresinin faz eğrisi  
Şekil 8.12

## 8.5 SEÇİCİLİK

Devreye uygulanan  $E$  gerilimi için frekansla devreden geçen  $I = E/Z_T$  akımının büyüklüğünü dikey ve yatay eksenlerde işaretleyecek olursak şekil 8.13 de görülen eğri elde edilir. Bu eğriden görüldüğü gibi eğri sıfırdan başlayarak  $Z_T$  veya  $E/R_T$  değerinde maksimum değere ulaşır ve  $Z_T$  değeri arttıkça yavaş yavaş sifıra düşer. Böylece çizilen eğri dikkat edilirse daha evvelden çizilen empedans-frekans eğrisinin ters çizilmiş şeklindedir. Frekansın belirli bir değeri vardır ki bu anda akım maksimum, empedans ise minimum değerdedir. Akımın maksimum değerinin  $0.707$  sine tekabül eden frekans değerine band frekansı veya yarı güç frekansı denir. Bu frekans değerleri şekilde  $f_1$  ve  $f_2$  harfleriyle gösterilmiştir. Bu iki frekans değerleri arasındaki mesafeye band genişliği denir ve kısaca  $BW$  harfleriyle gösterilir.

Yarı güç frekansı, her hangi bir rezonans frekansında sarfedilen gücün yarı değerinde olduğu frekans değeridir. Buna göre yarı frekans gücü



Seri rezonans devresi için  $I$  ye karşın  $f$  eğrisi

Şekil 8.13

$$P_{Ygf} = \frac{1}{2} P_{max}$$

(8.13)

Yukarıdaki koşullar dikkate alınırsa

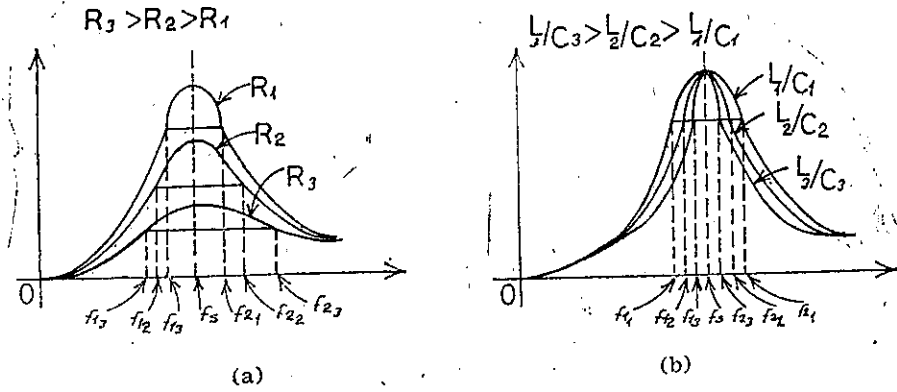
$$P_{max} = I_m^2 R$$

$$P_{Ygf} = I^2 R = (0.707 I_m)^2 R$$

$$= 0.5 I_m^2 R = \frac{1}{2} P_{max}$$

Band frekansını seçmek için rezonans devresinin şekil 8.13 deki eğri gibi ayarlanmasına seçicilik eğrisi denir. Burada seçicilik o rezonans devresinde band genişliğini temin eden frekansın seçimi anlamındadır. Böylece band genişliğinin çok küçüklüğü seçiciliğin çok büyük oluşu demektir. Yani seçicilik arttıkça band genişliği azalır.

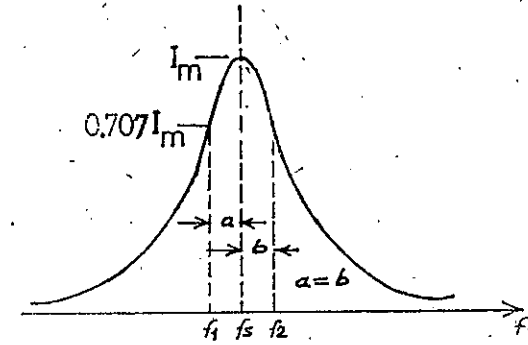
Şekil 8.4 de görüldüğü gibi eğrinin şekli seri devredeki R, L ve C elemanlarına bağlıdır. Eğer sabit bir indüktans ve kapasitans değeri için küçük bir direnç yapılırsa band genişliği azalır ve seçicilik artar. Aynı şekilde L/C oranı yükselirse sabit bir direnç değeri için tekrar band genişliği azalır ve seçicilik tekrar yükselir.



Seri rezonans devresinde R, L, C nin seçiciliğe etkileri

Şekil 8.14

Kalite faktörüyle ifade edilirse eğer R değeri belli bir  $X_L$  değeri için yükseltirse  $Q_s$  azalır ve  $Q_s = \omega_s L/R$  den tesbit edilir. Küçük  $Q_s$  değeri için küçük seçicilik ve geniş band genişliği ile rezonans eğrisi  $Q_s$  nin büyük değeri için zıtlık gösterir. Devrelerde  $Q_s \geq 10$  değeri için yaklaşık olarak rezonans frekansı band genişliğini ortadan ikiye böler ve bu anda rezonans eğrisi rezonans frekansına göre simetrik olur. Bu durum şekil 8.15 deki eğriden görülmektedir.



$Q_s \geq 10$  için yaklaşık seri rezonans eğrisi

Şekil 8.15

Kesme veya ayırma frekansları  $f_1$  ve  $f_2$   $Q_s$  nin her hangi bir değeri için genel olarak akımdaki düşüş oranının 0.707 lik değerine eriştiği anda onun rezonans değeri artar. Buna tekabül eden empedans değeri  $1/0.707 = \sqrt{2}$  dir. Rezonans değerinin bu  $\sqrt{2}$  katı R değerini verir.

$Z_T$  nin büyüklüğünün hesaplanmasında  $Z_T$  nin yerine  $\sqrt{2}R$  değeri koyarsak

$$Z_T = \sqrt{R^2 + (X_L - X_C)^2}$$

$$\sqrt{2}R = \sqrt{R^2 + (X_L - X_C)^2}$$

$$2R^2 = R^2 + (X_L - X_C)^2$$

$$R^2 = (X_L - X_C)^2$$

Her iki tarafın kare kökünü alırsak

$$R = X_L - X_C \text{ olur.}$$

Bu aşamada  $X_L > X_C$  olduğunu varsayalım. Bu durum  $f_2$  veya  $\omega_2$  ile ilgilidir.  $X_L$  değeri için  $\omega_2 L$  yazarsak ve  $X_C$  değeri için  $1/\omega_2 C$  değeri yerine konursa eşit işaretlerin solundaki değer aşağıdaki gibi olur.

$$R = \omega_2 L - \frac{1}{\omega_2 C}$$

$$R - \omega_2 L + \frac{1}{\omega_2 C} = 0$$

$$= f_2 - f_1 = \frac{R}{2\pi L} \quad (8.18)$$

$$\frac{R}{L} = \frac{\omega_2}{Q_s} \text{ formülden } Q_s = \frac{\omega_2 L}{R} \text{ ve } \frac{1}{2\pi} = \frac{f_2}{\omega_2} \text{ den}$$

$\omega_2 = 2\pi f_2$  olarak formüle yerine konursa

$$BW = \frac{R}{2\pi L} = \left(\frac{f_2}{\omega_2}\right) \left(\frac{\omega_2}{Q_s}\right)$$

$$BW = \frac{f_2}{Q_s} \quad (8.19 a)$$

Band genişliği için en uygun şekil budur. Çünkü band genişliği devrenin  $Q_s$  ile ilgilidir. Ayrıca formül 8.19 a dan anlaşılıyor ki  $Q_s$  değeri yükseldikçe band genişliği azalır veya tersi olur. Formül 8.19 a yı başka bir ifade şeklinde de yazmak mümkündür.

$$\frac{f_2 - f_1}{f_2} = \frac{1}{Q_s} \quad (8.19 a)$$

Bu formüle görülen  $(f_2 - f_1)/f_2$  oranı bazen kesirli band genişliği olarak anılır.

### 8.6 $V_R, V_L$ ve $V_C$

$V_R, V_L$  ve  $V_C$  gerilimlerinin etkin büyüklükleri ile  $I$  akımının değerine karşın frekans değerini seri bir rezonans devresi için aynı eksen üzerinde gösterirsek şekil 8.16 daki eğrileri elde edilir. Bu eğrilere dikkat edilirse  $V_R$  eğrisiyle  $I$  akımı eğrisinin şekilleri bir birinin aynıdır ve  $V_R$  gerilim eğrisinin tepe noktası değeri  $E$  giriş geriliminin büyüklüğüne eşittir.  $V_C$  eğrisi ise  $E$  giriş gerilimine eşit değerden başlar ve yavaş yavaş yükselir. Çünkü kondansatörün reaktansı frekans sıfırken sonsuzdur (açık devre) ve bu frekans değerinde (sıfırken) indüktansın reaktansı da sıfırdır (kısa devre). Bu nedenlerle  $V_C$  eğrisi  $E$  değerinden  $V_L$  eğrisinde 0 (orjin) noktasından başlar. Frekans yükselirken  $1/\omega C$  değeri küçülür fakat  $I$  akımının artış oranı  $1/\omega C$  nin düşüşünden daha fazladır. Bunun için  $V_C$  yükselir ve akımın çabuk artışından dolayı yükselmeye devam eder. Bu yükseliş frekansın rezonans anına kadar devam eder.

veya

$$R\omega_2 - L\omega_2^2 + \frac{1}{C} = 0$$

$$\omega_2^2 - \frac{R}{L}\omega_2 - \frac{1}{LC} = 0$$

Bu denklemin çözersek

$$\omega_2 = \frac{-(-R/L) \pm \sqrt{[-(R/L)]^2 - [-4/LC]}}{2}$$

$$\omega_2 = +\frac{R}{2L} \pm \frac{1}{2} \sqrt{\left(\frac{R}{L}\right)^2 + \frac{4}{LC}}$$

$$\omega_2 = \frac{R}{2L} + \frac{1}{2} \sqrt{\left(\frac{R}{L}\right)^2 + \frac{4}{LC}} \quad (\text{rad/dak}) \quad (8.14)$$

Son denkleminde negatif (-) işareti yok olmuştur. Çünkü

(1/2)  $\sqrt{R^2/L^2 + 4/LC}$  değeri daima  $R/(2L)$  değerinden büyüktür.Eğer bu negatif (-) işaret silinirse idi radyan ( $\omega$ ) değeri için negatif bir çözüm elde edilir.  $\omega_2 = 2\pi f_2$  dir.

$$f_2 = \frac{1}{2\pi} \left[ \frac{R}{2L} + \frac{1}{2} \sqrt{\left(\frac{R}{L}\right)^2 + \frac{4}{LC}} \right] \quad (\text{Hz}) \quad (8.15)$$

Bu formülü  $X_C > X_L$  olarak varsayıp tekrar çözersek  $\omega_1$  veya  $f_1$  aşağıdaki gibi olur.

$$\omega_1 = -\frac{R}{2L} + \frac{1}{2} \sqrt{\left(\frac{R}{L}\right)^2 + \frac{4}{LC}} \quad (\text{rad/dak}) \quad (8.16)$$

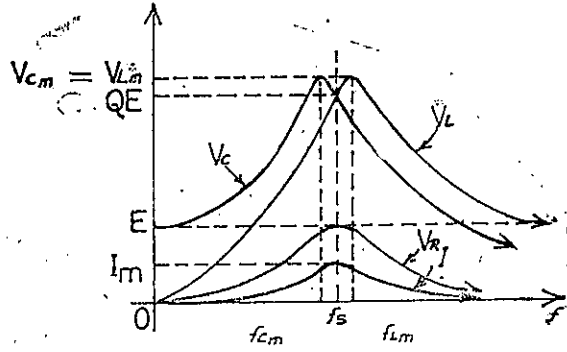
 $\omega = 2\pi f_1$  olduğundan

$$f_1 = \frac{1}{2\pi} \left[ -\frac{R}{2L} + \frac{1}{2} \sqrt{\left(\frac{R}{L}\right)^2 + \frac{4}{LC}} \right] \quad (\text{Hz}) \quad (8.17)$$

Band genişliği (BW)

$$BW = f_2 - f_1$$

$$= \left[ \frac{R}{4\pi L} + \frac{1}{4\pi} \sqrt{\left(\frac{R}{L}\right)^2 + \frac{4}{LC}} \right] - \left[ -\frac{R}{4\pi L} + \frac{1}{4\pi} \sqrt{\left(\frac{R}{L}\right)^2 + \frac{4}{LC}} \right]$$



Seri rezonans devresi için  $V_R$ ,  $V_L$  ve  $V_C$  ile  $I$  akımına karşın frekans eğrisi

Şekil 8.16

Bu değer rezonans koşullarına yaklaşıırken akımın değişme oranı azalır. Bu durum olurken  $1/(\omega C)$  faktörü frekans yükselirken düşer,  $\omega L$  frekansın yükselmesi  $I$  akımının değişimini ve  $V_C$  değeri rezonans frekansından hemen önce tepe noktası değerine yükselir. Rezonans frekansından sonra  $I$  akımı ve  $V_C$  değeri sifira yaklaşır. Devrenin  $Q_s$  değerinin yüksek oluşu  $f_{cm}$  frekans değeri  $f_2$  değerine yaklaşır ve  $V_{cm}$  değeri ise  $Q_s E$  değerine eşit olur.

$Q_s \geq 10$ ,  $f_{cm} = f_s$  ve  $V_{cm} = Q_s E$  değerlerine eşittir.

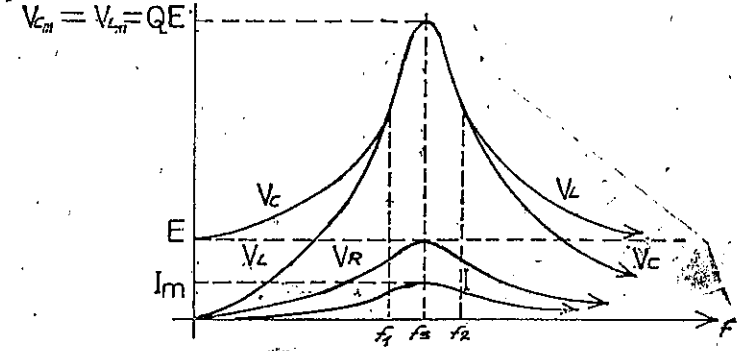
$V_L$  eğrisi sıfırdan itibaren rezonans frekansına kadar yavaş yavaş yükselirken denklemin her iki  $\omega L$  ve  $I$  değerlerinden dolayı  $V_L = IX_L = \omega LI$  değeri frekans değerinden fazla artar. Rezonans anında  $I$  tepe noktası değerine erişirken  $\omega L$  değeri yükselmesine devam eder. Bunun için  $V_L$  değeri tepe noktası değerine rezonans frekansından sonra erişir. Tepe noktası değerine eriştikten sonra  $V_L$  gerilimi  $E$  gerilimine doğru düşer. Çünkü  $I$  akımının düşüşü  $\omega L$  değerinin artışını önler. Bu  $E$  değerine yaklaşırken  $X_L$  değeri sonsuz olur ve  $X_C$  değeri ise sıfır olur.

Bir devrede  $Q_s$  değeri artarken frekans  $f_{Lm}$   $f_2$  ye doğru düşer ve  $V_{Lm}$  değeri  $Q_s E$  değerine yaklaşır. Devreler için

$Q_s \geq 10$ ,  $f_{Lm} = f_s$  ve  $V_{Lm} = Q_s E$  dir.

Rezonans değerinin üzerindeki frekans değerleri için her hangi bir frekansta  $V_L$  geriliminin büyüklüğü  $V_C$  geriliminden büyüktür ve  $V_C$  eğrisi rezonans frekansının altındaki frekans değerleri için  $V_L$  eğrisinden daha fazla büyüklüğe sahiptir. Bu durum  $R$ ,  $L$  ve  $C$  seri devrelerinde 0 dan rezonans frekansına kadar devrenin kapasitif olduğunu ve rezonans frekansından büyük frekans değerleri için devrenin indüktif olduğunu bir defa daha doğrulamış olur.

$Q_s \geq 10$  koşulu için şekil 8.16 daki eğriler şekil 8.17 de görülmektedir. Dikkat edilirse her birinin tepe noktası değeri rezonans frekansındaki değeridir ve bu eğrilerin şekilleri bir birinin benzeridir.

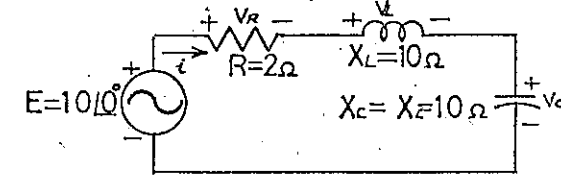


Şekil 8.17

## 8.7 ÖRNEKLER

### ÖRNEK: 8.1

Şekil 8.18 deki rezonans devresi için  $i$ ,  $V_R$ ,  $V_L$ ,  $V_C$  değerlerini vektör olarak bulunuz. Devrenin  $Q_s$  değeri nedir. Eğer rezonans frekansı 5000 Hz olursa band genişliği nedir. Böyle bir devrede yarı güç frekansındaki sarfedilen gücü bulunuz.



Şekil 8.18

**Çözüm:**

$$Z_{Ts} = R = 2 \text{ om}$$

$$I = \frac{E}{Z_{Ts}} = \frac{10 \angle 0^\circ}{2 \angle 0^\circ} = 5 \angle 0^\circ$$

$$V_R = E = 10 \angle 0^\circ$$

$$V_L = IX_L = (5 \angle 0^\circ) (10 \angle 90^\circ) = 50 \angle 90^\circ$$

$$V_C = IX_C = (5 \angle 0^\circ) (10 \angle -90^\circ) = 50 \angle -90^\circ$$

$$Q_s = \frac{X_L}{R} = \frac{10}{2} = 5$$

$$BW = f_2 - f_1 = \frac{f_s}{Q_s} = \frac{5000}{5} = 1000 \text{ Hz}$$

$$P_{\text{avg}} = \frac{1}{2} P_m = \frac{1}{2} I_m^2 R = \left(\frac{1}{2}\right) 5^2 \cdot 5 = 62.5 \text{ vat}$$

**ÖRNEK: 8.2**

Seri rezonans devresinin band genişliği 400 Hz dir. Eğer rezonans frekansı 4000 Hz ise  $Q_s$  değerini bulunuz. Eğer  $R = 10$  om ise  $X_L$  nin değerini rezonans anında bulunuz. Devrenin  $L$  indüktansı ve  $C$  kapasitesini bulunuz.

**Çözüm:**

$$BW = \frac{f_s}{Q_s} \text{ veya } Q_s = \frac{f_s}{BW} = \frac{4000}{400} = 10$$

$$Q_s = \frac{X_L}{R} \text{ veya } X_L = Q_s R = 10 \times 10 = 100 \text{ om}$$

$$X_L = 2\pi f L \text{ veya } L = \frac{2}{2\pi f_s} = \frac{100}{6.28 \times 4000} = 4 \text{ mH}$$

$$X_C = \frac{1}{2\pi f_s C} \text{ veya } C = \frac{1}{2\pi f_s X_C} = \frac{1}{6.28 \times 4000 \times 100} = 0.4 \mu\text{f}$$

**ÖRNEK: 8.3**

$R, L, C$  seri devresinin rezonans frekansı 12000 Hz dir. Eğer  $R = 5$  om ve  $X_L$  rezonans anında 300 om ise band genişliğini bulunuz. Devrenin kesme (ayırma) frekanslarını bulunuz.

**Çözüm:**

$$Q_s = \frac{X_L}{R} = \frac{300}{5} = 60$$

$$BW = \frac{f_s}{Q_s} = \frac{12000}{60} = 200 \text{ Hz}$$

$Q_s \geq 10$  değerinden büyük olduğu için band genişliği  $f_s$  tarafından ikiye ayrılır. Böylece

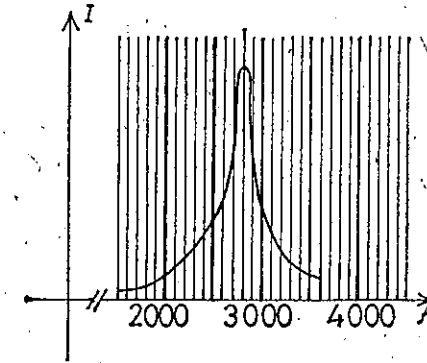
$$f_2 = f_s + \frac{BW}{2} = 12000 + 1000 = 13000 \text{ Hz}$$

$$f_1 = 12000 - 1000 = 11000 \text{ Hz}$$

**ÖRNEK: 8.4**

a — Şekil 8.19 daki devrede  $Q_s$  ve  $BW$  değerlerini bulunuz.

b —  $C = 0.1 \mu\text{f}$  iken  $L$  ve  $R$  değerlerini seri rezonans devresi için bulunuz.



Şekil 8.19

**Çözüm:**

a — Rezonans frekansı 2800 Hz, 0.707 değeriyle tepe noktasının çarpımını  $BW = 200$  Hz.

$$Q_s = \frac{f_s}{BW} = \frac{2800}{200} = 14$$

b —

$$f_s = \frac{1}{2\pi \sqrt{LC}} \text{ veya}$$

$$L = \frac{1}{4\pi^2 f_s^2 C} = \frac{1}{4 (3.14)^2 (2.8 \times 10^3)^2 \cdot 0.1 \times 10^{-6}}$$

$$= \frac{1}{30.7} = 32.7 \text{ mH}$$

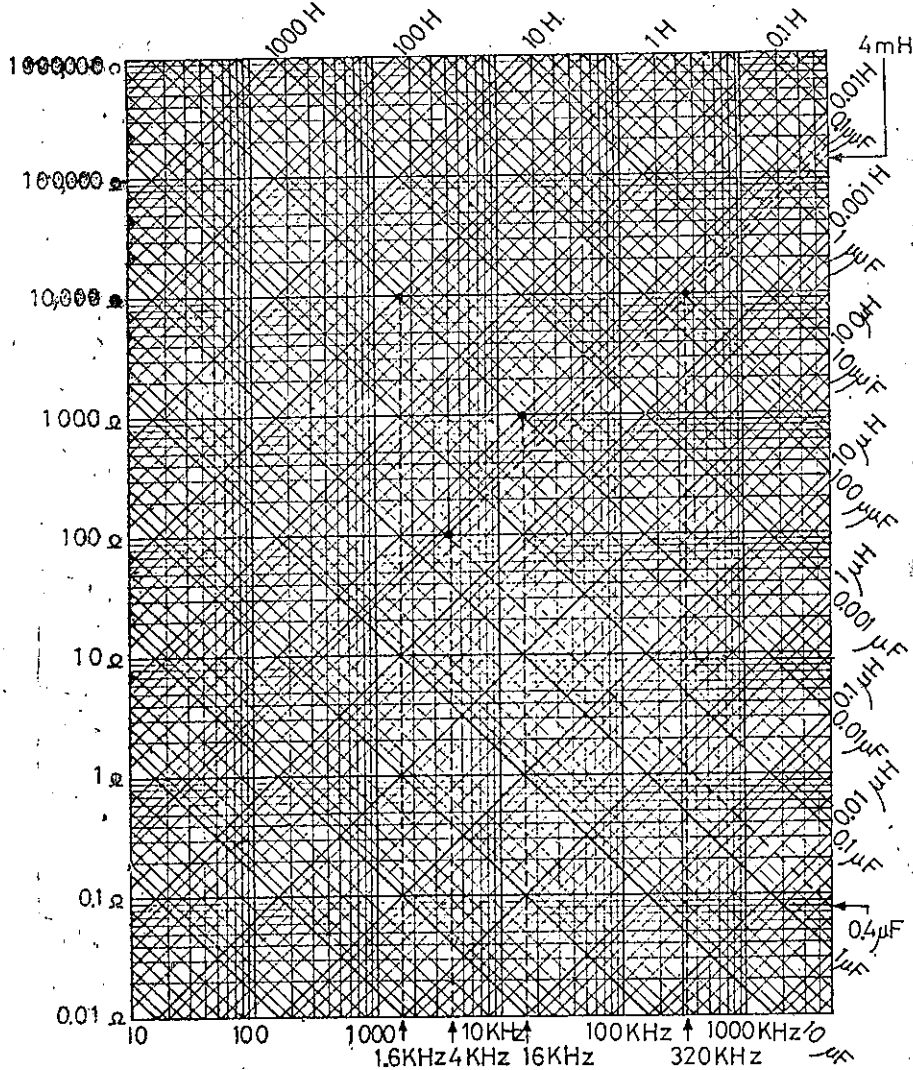


$$Q_s = \frac{X_L}{R} \text{ veya } R = \frac{X_L}{Q_s} = \frac{(2.3 \times 10^3) (32.7 \times 10^{-3})}{14}$$

$$R = 6.55 \text{ om}$$

### 8.8 REAKTANS TABLOSU

Seri veya paralel rezonans devrelerin yapımında ve analizinde şekil 8.20 de görülen reaktans tablosunu kullanmak çok yararlıdır. Tablonun



Şekil 8.20

sol dik kenarı reaktansı om olarak indüktans ve kapasitansın diğer değerlerinde bu tablonun diğer eksenlerinde gösterilmiştir. Uygulanan veya bulunması istenen frekans değerleri tabandaki yatay ekseninde gösterilmiştir. Aşağıdaki bir kaç örnekle bu tablonun nasıl kullanıldığını inceleyelim.

#### ÖRNEK: 8.5

Örnek 8.2 yi reaktans tablosunu kullanarak tekrar gözelim.

**Çözüm:** Daha önceden  $Q_s = 10$  ve  $X_L = 100$  om

Eğer 100 om sol dikey ekseninden yatay eksene paralel çizsek ve tabandan 4000 Hz den dik olarak yukarı çıkarılırsa 100 om eksenini ile 4000 Hz eksenini bir noktada keser. İşte bu kesişme noktasından sağ üst köşeye doğru bir hat takip edilirse bu hattın sağ dik eksenini kesim noktası o indüktansın değerini verir. Örnekte bu değer 0.004 veya 4 mH dir.

Bu kesim noktasından sağ alt köşeye doğru olan hat takip edilirse ve bu hattın sağ dikey eksenini kesim noktası kapasitif değeri verir. Bu örnek için bu değer 0.4 μf dir.

#### ÖRNEK: 8.6

$L = 1$  H ve  $C = 0.01$  μf luk olduğuna göre indüktif ve kapasitif reaktans için rezonans frekansını bulunuz.

**Çözüm:**

$L = 1$  H lik değer tablonun üst yatay ekseninde görülüyor ki ve 0.01 μf lik değer ise sağ dikey eksenin alt tarafındadır. Bu iki değerini kesim noktasından alt yatay eksene paralel çizsek her bir elemanın reaktansını 10.000 om olarak buluruz. Eğer frekansını bulmak istersek kesim noktasından tabana bir dikme çizilir. Şekilde görüldüğü gibi dikmenin bu eksenini kesim noktası 1600 Hz ye tekabül eder.

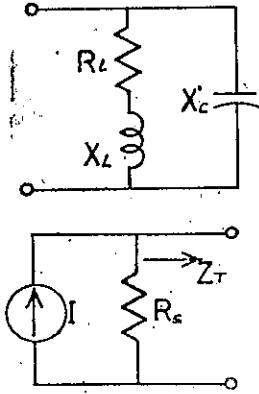
## PARALEL REZONANS

### 8.9 PARALEL REZONANS DEVRESİ

Paralel rezonans devresinin temel bağlantı şekli şekil 8.21 de görülmektedir. Bu devrede indüktör ve kondansatör enerjileri depo ettiklerinden dolayı bu tip bir devrede enerji transferi tıpkı seri rezonans devresinde olduğu gibidir. İdeal durumlarda (radyasyon ve kayıpları yokken) kon-

dansatör enerjinin yarım sayıklık kısmı süresince enerjii emer (depo eder) ve aynı oranda indüktör ise enerjii serbest bırakır veya geri iade eder. Güç eğrisinin diğer yarım sayıklık süresince indüktör enerjii emerken kondansatör ise aynı oranda serbest bırakır veya devreye geri verir. Böylece rezonans anında toplam reaktif güç sıfır olur ve toplam güç faktörü bir olur. Transistör gibi cihazların kullanıldığı devrelerde bu çeşit tank devreleri pek çok kullanılır, Çünkü bu devre sabit akım kaynağı cihazları için gereklidir.

Paralel rezonans devresine giriş için akım kaynağının kullanılışı şekil 8.21 de görülmektedir. Bundan evvelki bölüm 8.3 de her seri bağı direnç ve reaktif elemanın meydana getirdiği devrenin eşiti, bir paralel devre olduğunu görmüştük. Şekil 8.21 deki devrede R, L kolu için paralel devrenin eşiti şekil 8.22 deki olarak aşağıdaki gibi çıkarılır.

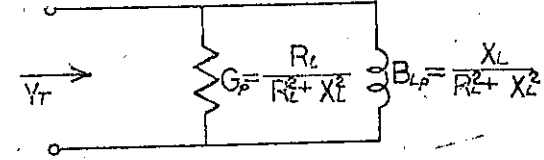


Şekil 8.21

$$Z_{R-L} = R_L + jX_L$$

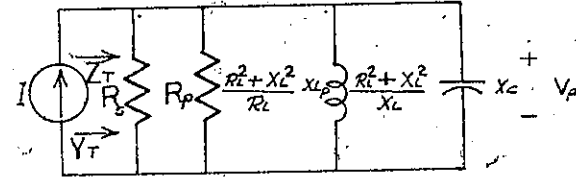
$$Y_{R-L} = \frac{1}{Z_{R-L}} = \frac{1}{R_L + jX_L}$$

$$Y_{R-L} = \frac{R_L}{R_L^2 + X_L^2} - j \frac{X_L}{R_L^2 + X_L^2}$$



Şekil 8.22

Şekil 8.21 deki paralel devrede seri R, L bağlantısı yerine yukarıda elde edilen değerleri koyarsak şekil 8.23 deki bağlantı gurubuyla akım kaynaklı devre elde edilir.



Şekil 8.23

Rezonans anında

$$X_{Lp} = X_C$$

$X_{Lp}$  nin eşitini yazarsak

$$\frac{R_L^2 + X_L^2}{X_L} = X_C$$

$$X_C X_L = R_L^2 + X_L^2 \text{ veya } X_L = X_C X_L - R_L^2$$

$$X_C X_L = \frac{1}{\omega C} \omega L = \frac{L}{C}$$

$$X_L = \frac{L}{C} - R_L^2 \text{ veya } X_L = \sqrt{\frac{L}{C} - R_L^2}$$

$$f_p = \frac{1}{2\pi L} \sqrt{\frac{L}{C} - R_L^2} = \frac{1}{2\pi L} \sqrt{\frac{1 - R_L^2 (C/L)}{C/L}}$$

$$= \frac{1}{2\pi L \sqrt{C/L}} \sqrt{1 - \frac{R_L^2 C}{L}}$$

$$f_p = \frac{1}{2\pi\sqrt{LC}} \sqrt{1 - \frac{R_L C}{L}} \quad (8.20)$$

veya

$$f_p = f_s \sqrt{1 - R_L' \frac{C}{L}} \quad (8.21)$$

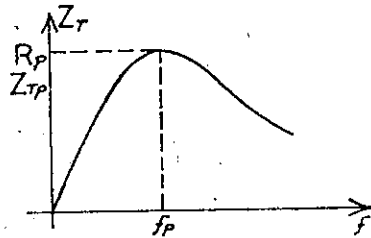
Formülde  $f_p$  paralel rezonans devresinin rezonans frekansı ve  $f_s$  seri rezonans devresinin aynı reaktif eleman için rezonans frekansıdır. Dikkat edilirse seri rezonans devresi ile paralel rezonans devresinin frekans değerleri farklıdır. Paralel rezonans devresinde rezonans frekansı  $R_L$  direncine bağlıdır.

Başka bir ayrıcalık ise yukarıdaki formülde kaynağın direnci  $R_s$  yoktur.

### 8.10 PARALEL REZONANS DEVRESİ İÇİN SEÇİCİLİK EĞRİSİ

Şekil 8.23 deki devrede empedanın,  $Z_T$  nin büyüklüğüne karşılık frekans eğrisi benzer olup seri rezonans devresinde elde edilen eğriye göre şekil 8.24 de görüldüğü gibi testir. Paralel devrenin empedansı  $Z_{Tp}$  paralel devrenin kollarının geçirgenliklerini toplamak suretiyle ve rezonans koşullarını uygulamakla  $X_{Lp} = X_C$  bulunabilir.

Kondansatör için toplam geçirgenlik



Şekil 8.24

$$Y_C = B_C = \frac{1}{X_C} / 90^\circ = 0 - j \frac{1}{X_{Lp}}$$

İndüktif kol için

$$Y_{Lp} = B_{Lp} = \frac{1}{X_{Lp}} / -90^\circ = 0 - j \frac{1}{X_{Lp}}$$

Toplam geçirgenlik

$$Y_T = G_s + G_p + B_{Lp} + B_C$$

$$Y_T = \frac{1}{R_s} + \frac{1}{R_p} - j \frac{1}{X_{Lp}} + j \frac{1}{X_C}$$

Rezonans anında  $X_{Lp} = X_C$  dir.

$$Y_{Tp} = \frac{1}{R_s} + \frac{1}{R_p}$$

veya

$$Z_{Tp} = \frac{1}{Y_{Tp}} = R_s \parallel R_p \quad (8.22)$$

Şekil 8.23 deki devrede reaktif eleman kaldırılırsa bu değer elde edilir. Bunun için rezonans anında empedans omiktir ve minimum değerdedir. Rezonans anında reaktif elemanın değeri bulunabilir.

$$\frac{X_L}{R_L^2 + X_L^2} = \frac{1}{X_C}$$

veya

$$R_L^2 + X_L = X_L X_C$$

$$R_p = \frac{R_L^2 + X_L^2}{X_L}$$

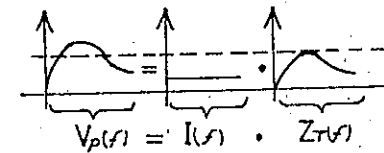
$$R_p = \frac{X_L X_C}{R_L}$$

veya

$$R_p = \frac{(\omega L) \left( \frac{1}{\omega C} \right)}{R_L}$$

$$Z_{Tp} = R_s \parallel R_p = R_s \parallel \frac{L}{R_L C} \quad (8.23)$$

$Z_T$  nin her hangi bir değeri için  $I$  akımı sabit olduğundan paralel devrede toplam empedans  $Z_T$  nin uçlarındaki gerilimin şekli şekil 8.25 deki gibidir.



Şekil 8.25

Bu devreden açıkça görüldüğü gibi  $Q_s \geq 10$  dur ve rezonans aşağıdaki gibidir.

$$X_L = X_C \quad (Q_s \geq 10) \quad (8.29)$$

Bu değerler seri rezonans devreleri için

$$f_p = \frac{1}{2\pi \sqrt{LC}} \quad (Q_s \geq 10) \text{ dir.} \quad (8.30)$$

Paralel rezonans devreleri için kalite faktörü reaktif gücün gerçek güce oranı olarak anılır. Buna göre

$$Q_p = \frac{P_a}{P} = \frac{V_p^2 / X_{Lp}}{V_p^2 / R} \quad (R = R_s \parallel R_p)$$

$$Q_p = \frac{R}{X_{Lp}} \quad (8.31)$$

$$Q_p = \frac{R}{X_C} \quad (8.32)$$

Çünkü rezonans anında  $X_{Lp} = X_C$  dir.  $Q_s \geq 10$  için

$$Q_p = \frac{R}{X_L} = \frac{R}{\omega_p L} \quad (8.33)$$

$$Q_p = \frac{R}{X_C} = \omega_p CR \quad (8.34)$$

$R = R_s \parallel R_p = R_p$  (Eğer  $R_s$  ihmal edilirse)

$$Q_p = \frac{R_p}{X_{Lp}} = \frac{(R_L^2 + X_L^2) / R_L}{(R_L^2 + X_L^2) / X_L}$$

$$Q_p = \frac{X_L}{R_L} = Q_s, \quad R_s = \infty \text{ om} \quad (8.35)$$

Paralel rezonans devresinin band genişliği rezonans frekansı ile ilgilidir ve  $Q_p$  değeri seri rezonans devresinde bulunduğu gibi paralel devrede bulunur.

$$BW = f_2 - f_1 = \frac{f_p}{Q_p} \quad (8.36)$$

Paralel devrelerde seçicilik eğrisi genellikle kondansatör uçlarındaki  $V_c$  gerilimi olarak düşünülür. Çünkü paralel devrelerde elemanlar uçlarındaki gerilimler aynıdır.

$$V_c = V_p = I Z_p \quad (8.24)$$

$V_c$  nin rezonans değeri rezonans empedansı  $Z_{Tp}$  ve akım kaynağı  $I$  nin büyüklüğü yardımıyla hesaplanabilir. Seri rezonans devresi için  $Q_s = Q_b = X_L / R_L$  idi. Paralel eşdeğer devrenin rezistansı  $R_p$  ve indüktansı  $X_{Lp}$  dir.

$R_p$  :

$$R_p = \frac{R_L^2 + X_L^2}{R_L} = R_L + \frac{X_L^2 (R_L)}{R_L (R_L)}$$

$$R_p = R_L + Q_s^2 R_L \quad (8.25)$$

$X_{Lp}$  :

$$X_{Lp} = \frac{X_L^2 + X_L^2}{X_L} = \frac{R_L^2 (X_L)}{X_L (X_L)} + X_L$$

$$X_{Lp} = \frac{X_L}{Q_s^2} + X_L \quad (8.26)$$

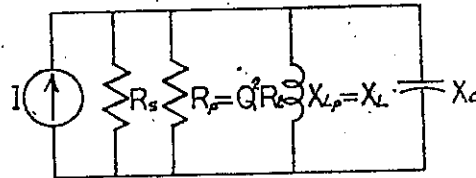
$Q_s \geq 10$  için

$$Q_s^2 R \gg R \text{ ve } X_L \gg \frac{X_L}{Q_s^2} \quad (8.27)$$

$$R_p \approx Q_s^2 R_L \quad (8.28)$$

$$X_{Lp} \approx X_L$$

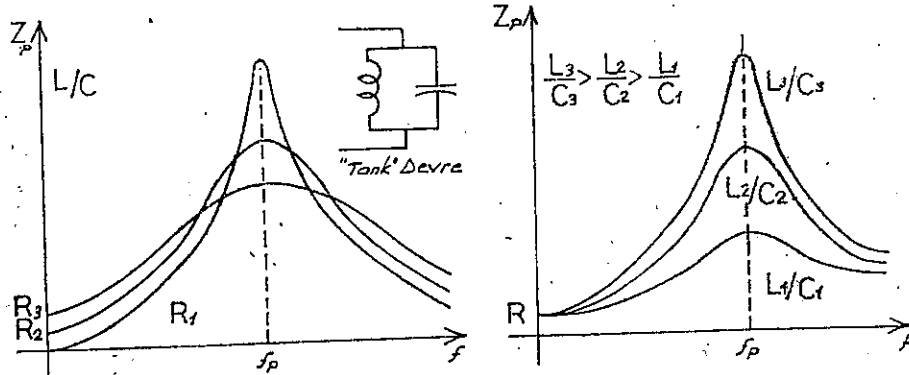
Yukarıda elde edilen bu değerlere göre devrenin şeklini yeniden çizersek şekil 8.26 daki devre elde edilir.



$Q \geq 10$  için yaklaşık eşdeğer devre

Şekil 8.26

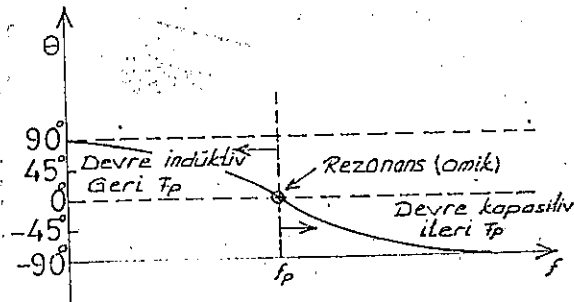
Paralel rezonans devresinde,  $R_L$ ,  $L$  ve  $C$  değerlerinin paralel rezonans eğrisinin şekline etkisi şekil 8.27 de görülmektedir. Eğriden görüldüğü gibi giriş empedansının etkisi seri devreninkinin benzeridir.



Paralel rezonans devresine  $L$ ,  $C$  ve  $R$  nin etkisi

Şekil 8.27

Rezonans anında  $Z_{Tp} = L/R$   $C$  olduğundan  $R_L$  nin yükselmesi veya  $L/C$  oranının düşmesi rezonans empedansının düşmesine neden olur. Empedansın bu düşüşü o devreden geçen akımın artmasına neden olur. Rezonans eğrisinin band genişliği formül 8.32 de verilmiştir.  $R_L$  değerinin artması veya  $L$  (veya  $L/C$ ,  $C$  sabit) için band genişliği şekil 8.27 de görüldüğü gibi artacaktır.



Paralel rezonans devresinin faz eğrisi

Şekil 8.28

Küçük frekanslarda kapasitif reaktans oldukça yüksektir ve induktif reaktans ise oldukça düşüktür. Çünkü devredeki elemanlar paraleldir ve düşük frekans değerlerinde toplam empedans induktiftir. Yüksek değerleri için bu düşüncenin terside doğrudur ve devre kapasitiftir. Rezonans anında ise devre omik özelliğe sahiptir. Bu neticeler şekil 8.28 deki gibi çizilir.

Bu şekle dikkat edilirse seri rezonans devresinde çizilen eğrinin tersidir ve devre küçük frekans değerleri için induktif yüksek frekans değerleri için kapasitiftir. Rezonans frekansı için devre omik özelliğe sahiptir.

Formül 8.29 ve 8.30 da görüldüğü gibi  $Q_s \geq 10$  koşulu için rezonans anında toplam empedans bulunursa

$$Z_{Tp} = R_s \parallel R_p$$

veya

$$Z_{Tp} = R_s \parallel \frac{R_L^2 + X_L^2}{R_L} = R_s \parallel (R_L + Q_s^2 R_L)$$

$Q_s \geq 10$  değeri için

$$Z_{Tp} = R_s \parallel Q_s^2 R_L \quad (Q_s \geq 10) \quad (8.37)$$

Paralel rezonans devrelerinde rezonans frekansı  $Q_s = X_L/R_L$  değeri olarak bulunabilir. Bu hesaplama için aşağıdaki işlem yapılır.

$$1 - \frac{R_L^2 C}{L} = 1 - \frac{R_L^2 \omega C}{\omega L} = 1 - \frac{R_L^2}{X_L X_C} = 1 - \frac{R_L^2}{R_L^2 + X_L^2}$$

$$= \frac{R_L^2 + X_L^2 - R_L^2}{R_L^2 + X_L^2} = \frac{X_L^2}{R_L^2 + X_L^2}$$

$$X_L = Q_s R_L \text{ vc } \frac{X_L^2}{R_L^2 + X_L^2} = \frac{Q_s^2 R_L^2}{R_L^2 + Q_s^2 R_L^2} = \frac{Q_s^2}{1 + Q_s^2}$$

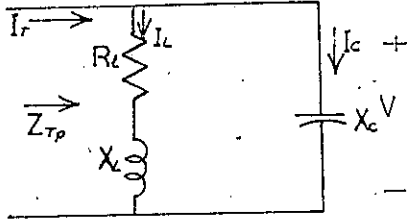
Böylece formül 8.20 aşağıdaki değeri alır.

$$f_p = \frac{1}{2\pi\sqrt{LC}} \sqrt{\frac{Q_s^2}{1 + Q_s^2}} \quad (\text{Her hangi bir } Q_s \text{ için}) \quad (8.38)$$

$Q_s \geq 10$ ,  $1 + Q_s^2 \approx Q_s^2$  vc  $Q_s / (1 + Q_s^2) \approx 1$  sonucu için

$$f_p = \frac{1}{2\pi\sqrt{LC}} \quad (Q_s \geq 10)$$

Seri devrelerden hatırlanacağı gibi  $V_L = V_C = Q E$  idi. Şekil 8.29 daki paralel devre gözülecek olursa seri devrelerde rezonans koşulları için elde edilen yukarıdaki değerler, yakın değerler elde edilebilir. Bu devrede  $I_T$  akımı kaynak akımı değildir. Bu akım tank devresine giriş akımıdır.  $R = \infty$  om (açık devre) koşulu için (bu koşul genellikle olur)  $I_T$  akımı kaynak akımı  $I$  ye eşittir. Rezonans anında  $Z_{Tp} = Q_s R_L$  idi. Om kanunu ile  $V = I_T Q_s^2 R_L$  dir.



Şekil 8.29

$I_L$  akımı ise

$$I_L = \frac{V}{Z_L} = \frac{I_T Q_s^2 R_L}{R_L + jX_L}$$

Pay ve paydayı  $R_L$  değerine bölersek

$$I_L = \frac{I_T Q_s^2}{1 + j \frac{X_L}{R_L}} = \frac{I_T Q_s^2}{1 + jQ_s}$$

$I_L$  akımının büyüklüğü aşağıdaki gibi bulunabilir.

$$I_L = \frac{I_T Q_s^2}{\sqrt{1 + Q_s^2}} \text{ ve } Q_s \geq 10 \text{ için}$$

$$I_L = \frac{I_T Q_s^2}{Q_s}$$

$$I_L = Q_s I_T$$

(8.39)

Paralel rezonans devrelerinde indüktif koldan geçen akımın büyüklüğü  $Q_s$  değerinin tank devreye giren akımla çarpımıdır. (Sadece rezonans devresi için)

$$I_C = \frac{V}{-jX_C} = \frac{I_T Q_s^2 R_L}{-jX_C}$$

Pay ve paydası  $R_L$  ye bölersek

$$I_C = \frac{I_T Q_s^2}{-j \frac{X_C}{R_L}} Q_s \geq 10 \text{ rezonans değerleri için}$$

$$X_L = X_C \text{ ve } \frac{X_C}{R_L} = \frac{X_L}{R_L} = Q_s$$

$$I_C = \frac{I_T Q_s^2}{-jQ_s}$$

$I_C$  akımının büyüklüğü ise

$$I_C = Q_s I_T \text{ (rezonans anında)}$$

(8.40)

### 8.11 ÖZET ve REAKTANS TABLOSU

Tablo 8.1: Paralel rezonans devresi

	Her hangi $Q_s$	$Q_s \geq 10$	$R_s = \infty \Omega$
Rezonans	$\frac{R_L^2 + X_L^2}{X_L} = X_L$	$X_L = X_C$	$X_L = X_C$
$f_p$	$\frac{1}{2\pi\sqrt{LC}} \sqrt{1 + \frac{R_L^2}{L^2}}$ , $\frac{1}{2\pi\sqrt{LC}} \sqrt{\frac{Q_s^2}{1 + Q_s^2}}$	$\frac{1}{2\pi\sqrt{LC}}$	$\frac{1}{2\pi\sqrt{LC}}$
$Z_{Tp}$	$R_s \parallel \frac{R_L^2 + X_L^2}{R_L}$ , $R_s \parallel \frac{L}{R_L C}$	$R \parallel Q_s^2 R_L$	$Q_s^2 R_L$
$Q_p$	$\frac{R}{X_{LP}}$ , $\frac{R}{X_C}$ veya $\omega_p C R$ , $R = R_s \parallel R_p$	$\frac{R}{\omega_p L}$ , $\omega_p C R$	$Q_s$
BW	$\frac{f_p}{Q_p}$	$I_L = I_C = Q_s I_T$ $\frac{f_p}{Q_p}$	$I_L = I_C = Q_p I_T$ $\frac{f_p}{Q_s}$

$Q_s \geq 10$  değeri için şekil 8.20'deki reaktans tablosunu kullanırsak

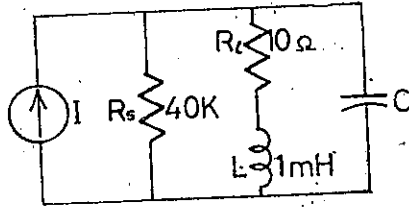
$$X_L = X_C \text{ ve } f_p = \frac{1}{2\pi\sqrt{LC}}$$

## 8.12 ÖRNEKLER

(Paralel rezonans)

## ÖRNEK: 8.7

Şekil 8.30 daki devrede aşağıdaki değerleri bulunuz.



Şekil 8.30

- a —  $Q_s$   
 b —  $R_p$   
 c —  $Z_{Tp}$   
 d — C (rezonans anında)  
 e —  $Q_p$   
 f — BW

Çözüm:

$$a - Q_s = \frac{X_L}{R_L} = \frac{2\pi f_p L}{R_L} = \frac{6.28 (0.4 \times 10^6) (10^{-3})}{10} = 251.2$$

b —  $Q_s \geq 10$  Bunun için

$$R_p = Q_s^2 R_L = (251.2)^2 10 = 631 \text{ K}$$

$$c - Z_{Tp} = R_s \parallel R_p = 40 \text{ K} \parallel 631 \text{ K} = 37.6 \text{ K}$$

d —  $Q_s \geq 10$ 

$$f_p = \frac{1}{2\pi \sqrt{L C}} \text{ ve}$$

$$C = \frac{1}{L (2\pi f)^2} = \frac{1}{(10^{-3}) (0.4 \times 10^6 \cdot 2)^2} = 159 \text{ pf}$$

e —  $Q_s \geq 10$ 

$$Q_p = \frac{R}{\omega_p L} = \frac{37.6 \text{ K}}{(6.28) (0.4 \times 10^6) (10^{-3})} = 15.93$$

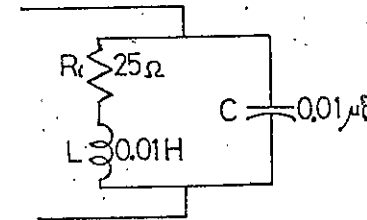
$$f - BW = \frac{f_p}{Q_p} = \frac{0.4 \times 10^6}{15.93} = 0.025 \times 10^6 = 25 \text{ kHz}$$

## ÖRNEK: 8.8

Şekil 8.31 daki devrede rezonans frekansını ve  $X_L$  yi bulunuz, ayrıca reaktans tablosundan gerekli denklemleri kullanarak bulunan sonuçları karşılaştırınız.

Çözüm:

Reaktans tablosundan  $f_p$  değeri 16 kHz ve  $X_L = 1000$  om olarak bulunur. Bu değerler gösteriyor ki  $Q_s = X_L/R_L = 1000/25 = 40$  bu değer  $Q_s \geq 10$  dan çok büyük olduğundan  $X_L = X_C$  dir. Başka bir ifadeyle tablo 8.1 den  $f_p$  yi tesbit ederek gerekli hesaplamalar yapılırsa aşağıdaki değerler bulunur.



Şekil 8.31

$$f_p = \frac{1}{2\pi \sqrt{L C}} = \frac{1}{6.28} \sqrt{(0.01) (0.01 \times 10^{-6})}$$

$$= \frac{1}{6.28 \sqrt{10^{-10}}} = \frac{1}{6.28 \times 10^{-5}}$$

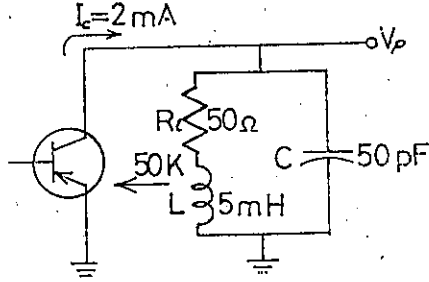
$$= \frac{10^5}{6.28} = 15.924 \text{ Hz veya}$$

$$= 15.924 \text{ kHz}$$

$$X_L = 2\pi f_p L = (6.28) (15.924 \times 10^3) (0.01) = 1000.03 \text{ om}$$

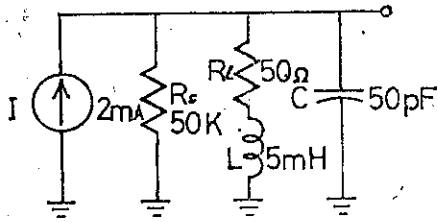
## ÖRNEK: 8.9

Şekil 8.32 de görülen transistör devresinin eş değer devresi şekil 8.33 de görülmektedir. Buna göre aşağıdaki değerleri bulunuz.



Şekil 8.32

- $f_p$  (reaktans tablosu kul.)
- $Q_p$
- $Q_p$
- BW
- $V_p$  (rezonans anında)
- $V_c$  eğrisini frekansa karşın çiziniz.



Şekil 8.33

## Çözüm:

a — Reaktans tablosundan

$$f_p = 320 \text{ kHz}$$

$$b - Q_p = \frac{X_L}{R_L} = \frac{2\pi f_p L}{R_L} = \frac{(6.28)(320 \times 10^3)(5 \times 10^{-9})}{50} = \frac{10.048}{50} = 201$$

$$c - Q_p = \frac{R}{\omega_p L} = \frac{R}{X_L}$$

$$R = R_s \parallel R_p = 50 \parallel Q_p^2 50$$

$$= 50K \parallel 2.02 \text{ M om}$$

$$= 50K$$

$$Q_p = \frac{50K}{10.048K} = 4.98$$

$$d - BW = \frac{f_p}{Q_p} = \frac{320 \times 10^3}{4.98} = 64.26 \text{ kHz}$$

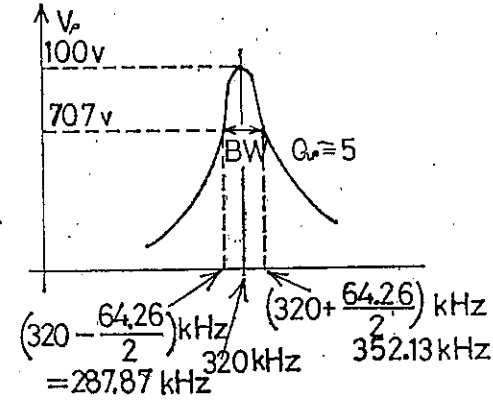
e — Rezonans anında

$$Z_{Tp} = R_s \parallel R_p = R = 50 \text{ K}$$

ve

$$V_p = IZ_{Tp} = (2 \times 10^{-3})(50 \times 10^{-3}) = 100 \text{ v.}$$

f — Bu değerlere göre çizilen eğri şekil 8.34 de görülmüştür.

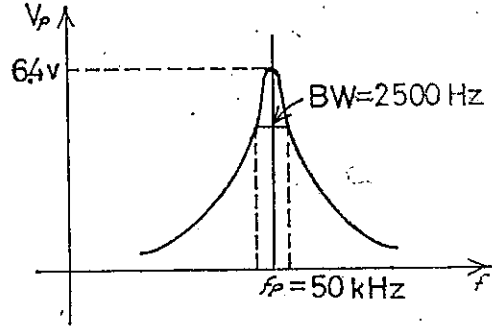


Şekil 8.34

## ÖRNEK: 8.10

Şekil 8.35 deki gibi bir eğri elde etmek için bir rezonans devresi yapınız. İndüktör için 1 mH, 10 om ve  $R_s = 40K$  değerleri kullanılacaktır.





Şekil 8.35

Çözüm:

$$BW = \frac{f_p}{Q_p}$$

$$Q_p = \frac{f_p}{BW} = \frac{50.000}{2500} = 20$$

$$X_L = 2\pi f_p L = (6.28) (50 \times 10^3) (10^{-3}) = 314 \text{ om}$$

$$Q_s = \frac{X_L}{R_L} = \frac{314}{10} = 31.4$$

$$R_p = Q_s^2 R_L = (31.4)^2 10 = 9860 \text{ om}$$

$$Q_p = \frac{R}{X_L} = \frac{R_s \parallel 9860}{314} = 20$$

$$\frac{(R_s) (9.86 \times 10^3)}{R_s + 9.86 \times 10^3} = 6280$$

$$9.86 \times 10^3 R_s = 6.28 \times 10^3 R_s + 61.92 \times 10^6$$

veya

$$9.96 R_s = 6.28 R_s + 61.92 \times 10^3$$

$$3.58 R_s = 61.92 \times 10^3$$

$$R_s = 17.296 \text{ K}$$

Kaynak direnci 40 K verildiğine göre bu değeri 17.296 K indirmek için buna paralel bir direnç bağlamak gerekir. Buna göre:

$$\frac{40 \text{ K } R'}{40 \text{ K} + R'} = 17.296 \text{ K}$$

$$40 \text{ K } R' = 17.296 \text{ K } R' + 691.94 \text{ K}^2$$

veya

$$22.7 R' = 691.84 \text{ K}$$

$$R' = 30.478 \text{ K}$$

Rezonans anında  $X_L = X_C$  ve  $\omega_p L = \frac{1}{\omega_p C}$

veya

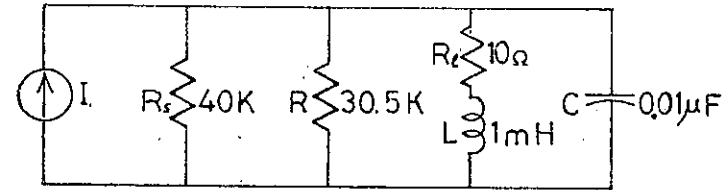
$$314 = \frac{1}{(6.28) (50 \times 10^3) (C)} = \frac{1}{314 \times 10^3 C}$$

ve

$$C = \frac{(314 \times 10^3) (314)}{1} = \frac{10^6}{98.596} = 0.01 \mu\text{f}$$

$$C = 0.01 \mu\text{f}$$

Bu sonuçlara göre çizilen devre şekil 8.36 daki gibidir.



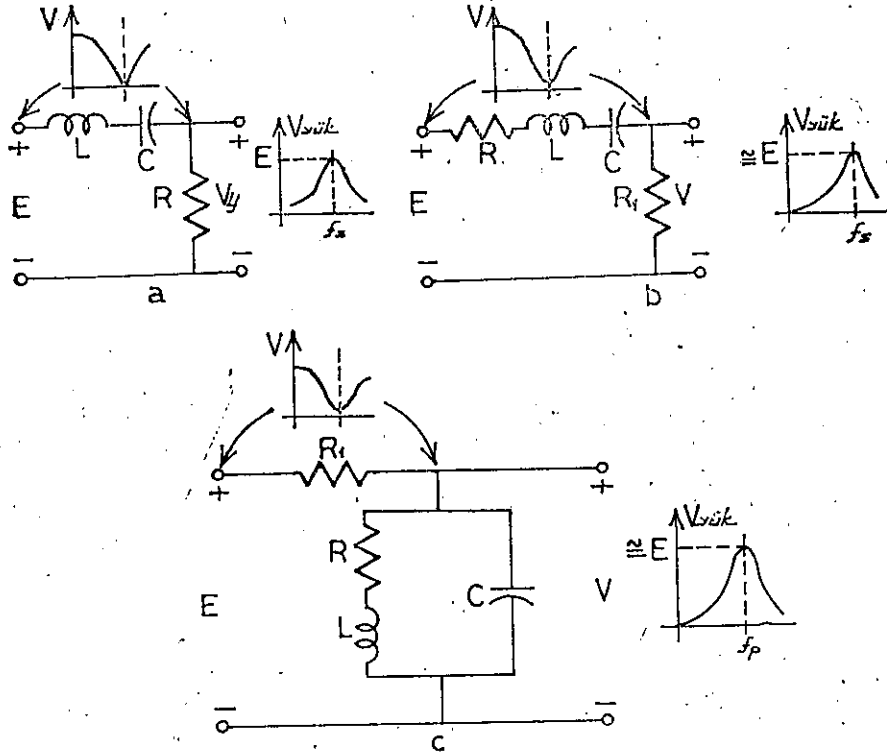
Şekil 8.36

### 8.13 FİLTRELER (SÜZGEÇLER)

Filtre devreleri belli bir miktar frekansı ya geçiren veya boğan (durduran) bir çeşit elektrik devreleridir. Bu bölümde filtrelerin esasını teşkil eden çok önemli olan Pass-band, band-stop ve double tuned (çift ayarlı) filtreler incelenecektir.

## PASS-BAND FİLTRELER

Pass-band filitrenin en çok kullanılan ve temel bağlantı şekli şekil 8.37 de görülmektedir. Bu şekillerde görülen filitrelerin her birinin bağlantı amacı  $V_y$  yük gerilimini giriş gerilimi  $E$  nin frekansının bir değeri için  $V_y$  yi maksimum değerde tutmaktır.



Şekil 8.37

Şekil 8.37 a daki devre için çıkış terminaline bağlanan yükün değeri  $R$  direnç değerinden büyük olduğunu varsayalım. Yani  $R_y \gg R$  dir. Bu durumda yaklaşık olarak  $R_y \parallel R = R$  yazılabilir. Böylece bu devrenin kalite faktörü  $Q_s$  aşağıdaki gibi hesaplanır.

$$Q_s = \frac{X_L}{R} \quad (8.41)$$

Gerilim bölme kaidesi uygulanırsa

$$V_y = \frac{R E}{R + j(X_L - X_C)}$$

Rezonans anında  $X_C = X_L$  olduğundan

$$V_y = \frac{R E}{R} = E$$

Rezonans frekansının sağ ve solundaki frekanslarda  $L$ ,  $C$  bağlantısının empedansı artar ve  $R$  değerini geçer ve sonuç olarak  $R$  direncindeki gerilim düşümü azalır. Bunun sonucu olarak meydana gelen eğri şekil 8.73 a daki gibidir. Bazı durumlar için  $R_y$  nin  $R$  den büyük olmadığı anda bütün formüllerde  $R$  nin yerine  $R \parallel R_y$  yazılır. Şekil 8.37 b deki devrede  $R_1$  değeri  $R$  değerinden çok büyük değerler için seçilir ve seri rezonans devresi ve  $R_y \gg R_1$  dir.

Rezonans anında

$$V_y = \frac{R_1 E}{R_1 + R + j(X_L - X_C)}$$

veya

$$V_y = \frac{R_1 E}{R_1 + R} \approx \frac{R_1 E}{R_1} = E \quad (R_1 \gg R \text{ dir})$$

$$Q_s = \frac{X_L}{R + R_1} \quad (8.42)$$

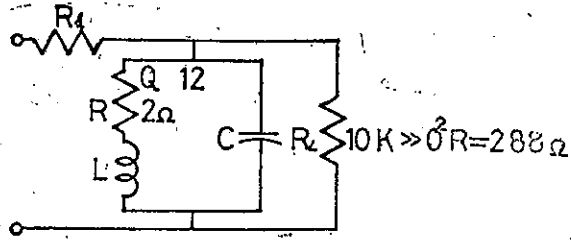
$R_y$  nin  $R_1$  den çok büyük olmadığı hallerde ( $R_y \gg R_1$ )

$$Q_s = \frac{X_L}{R + R_1 \parallel R_y} \quad (8.43)$$

Şekil 8.37 c de ise paralel bağlı filtre devresi görülmektedir. Bu bağlantı için rezonans anında büyük empedans değerinden dolayı  $V_y = E$  olur. Düşük ve yüksek frekans değerleri için paralel filtre devresinin empedansı  $R_1$  direnç değerinden oldukça küçüktür. Bu koşullarda meydana gelen eğri şekli 8.37 c dedir.

$R_y \gg Q_s R_L$  ( $Q_s \gg 10$  için şekil 8.38 den aşağıdaki formül elde edilir.

$$Q_p = Q_s = \frac{X_L}{R_L} \quad (8.44)$$



Şekil 8.38

$R_y$  nin  $R_1$  den çok büyük olmadığı hallerde ( $Q_s \geq 10$ ) iken

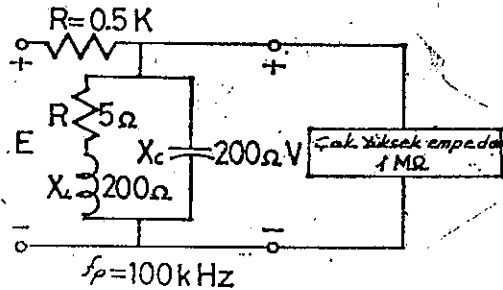
$$Q_p = \frac{R_p}{X_{Lp}} \text{ (yükü)}$$

$$Q_p = \frac{R_y \parallel Q_s^2 R_L}{X_L} \quad (8.45)$$

Bu formülden görüldüğü gibi  $R_1$  direnci kalite faktörünü etkilemez. Çünkü rezonans anına yakın değerlerde takın empedansı  $R_1$  değerinden çok büyük olduğu için  $R_1$  ihmal edilebilir.

#### ÖRNEK: 8.11

Şekil 8.39 daki pass-band filitre devresinin eğrisini  $V_y$  için çiziniz.



Şekil 8.39

**Çözüm:**

$$Q_s = \frac{200}{5} = 40 = Q_p \text{ (çünkü } R_s = \infty \text{ om dur)}$$

$Q_s = 40 \geq 10$  olduğundan

$$Z_{Tp} = Q_s^2 R = 40^2 \cdot 5 = 8 \text{ K}$$

$$V_y = \frac{8 \text{ K E}}{8 \text{ K} + 0.5 \text{ K}} = 0.94 \text{ E (rezonans anında)}$$

$$BW = \frac{f_p}{Q_p} = \frac{100000}{40} = 2500 \text{ kHz}$$

Bunun için

$$f_1 = 100 \text{ kHz} - 1.25 \text{ kHz} = 98.75 \text{ kHz}$$

$$f_2 = 100 \text{ kHz} + 1.25 \text{ kHz} = 101.25 \text{ kHz}$$

Yarı güç frekansında

$$Z_T = 0.707 Z_{Tp}$$

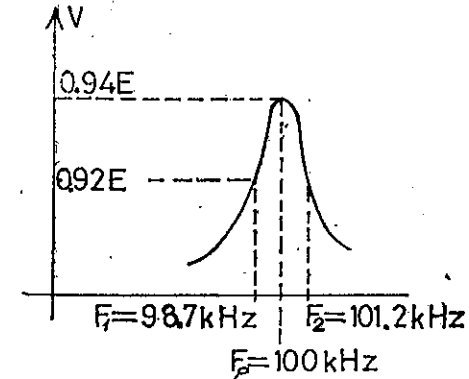
y.g.f.

$$= 0.707 (8 \text{ K})$$

$$= 5.66 \text{ K}$$

$$V_y = \frac{(5.66 \text{ K}) E}{5.66 \text{ K} + 0.5 \text{ K}} = 0.92 \text{ E}$$

$V_y$  değerinin eğrisi şekil 8.40 da görülmektedir.



Şekil 8.40

$f_p = 10 \text{ kHz}$  değerinde

$X_L = 20 \text{ om}$  ve  $X_C = 2 \text{ K}$

$$Z_T = (R + jX_L) \parallel X_C = R + jX_L = 5 + j20 = 20.6 / 76^\circ$$

$V_y$  yük geriliminin büyüklüğü ise

$$|V_y| = \frac{Z_T E}{Z_T + R_1} = \frac{(20.6) E}{5 + J20 + 0.5K} = \frac{20.6 E}{505 + J20}$$

$$= \frac{20.6 E}{505} = 0.041 E$$

E geriliminin 4.1 % değeri 94 % ve 92 % rezonans frekansında oranlarsa ve yarı güç frekansları sırayla şöyledir.

$R_y = 50 K$  için

$$Q_p = \frac{R_y \parallel Q_s^2 R}{X_L}$$

$$= \frac{50 K \parallel 8 K}{200} = \frac{6900}{200} = 34.5$$

Elde edilen bu sonuç yüksüz değer 40 ile oranlanabilir.

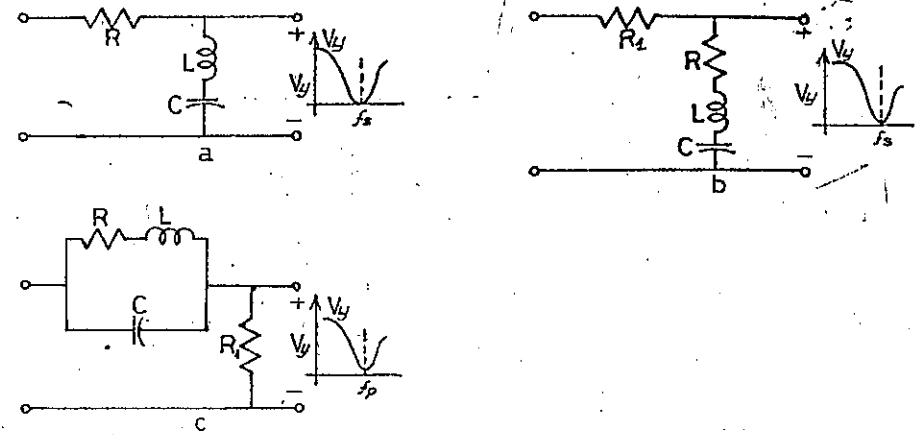
### BAND-STOP FİLTRESİ

Şekil 8.37 deki eğriler dikkatle incelenirse band-stop filtresinin bağlantısı anlaşılabilir. Örneğin şekil 8.37 a daki devre için bütün frekans değerleri L, C bağlantısında ve rezonans anındaki tepkisi çok yüksektir. Başka bir ifadeyle  $V_{L-C}$  değeri için rezonans anında veya buna çok yakın değerler dışında kalan bütün frekans değerleri geçer.

Band-stop karakteri için çıkış gerilimi  $V_y$ , L-C bağlantısının uçlarından alınmalıdır. Şekil 8.37 deki her bir bağlantı için band-stop çıkışı ( $V_y$ ) şekil 8.41 de görülen devre elemanlarının uçlarından alınmalıdır. Şekil 8.41 a daki devrede  $R_y$  değeri devredeki seri bağlı L-C değerleri ile paralel olduğundan devrenin  $Q_s$  değerini etkilemez. Çünkü  $Z_{L-C} = 0$  om veya rezonans anına yakın  $R_y \gg Z_{L-C}$  ve  $R_y$  değerinin paralel etkisi ihmal edilebilir. Bundan dolayı

$$Q_s = \frac{X_L}{R_L} \quad (8.46)$$

yüklü veya yüksüz



Şekil 8.41

Rezonans anında şekil 8.41 b deki gibi seri rezonans devresinde R toplam empedanstır.  $R_y \gg R$  değeri için  $R_y$  değeri  $Q_s$  değeri bulunurken ihmal edilebilir.  $R_y$  ve R değerleri seri olduğundan

$$Q_s = \frac{X_L}{R + R_1} \quad (8.47)$$

yüklü veya yüksüz

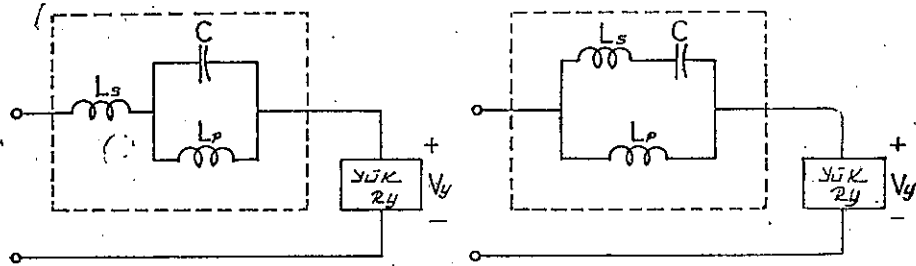
Şekil 8.41 c deki paralel rezonans devresi için  $R_y$  ve  $R_1$  m paralel bağlanmasında toplam empedans değeri  $R_1$  den çok küçük olur ve tank devrenin rezonans anındaki yüksek empedansı ihmal edilebilir. Bunun için  $R_y$  normal olarak rezonans devresinde kalite faktörünü etkilemez. Böylece

$$Q_p = Q_s = \frac{X_L}{R_L} \quad (8.48)$$

yüklü veya yüksüz

### DOUBLE-TUNED FİLTRELER

Bazı filtre devreleri vardır ki bu devreler her iki tip filtre devresinin (pass-band ve band-stop) karakteristiğini gösterir. Şekil 8.42 de böyle her iki karakteristiğe sahip filtre devrelerine double-tuned (çift ayarlı) filtreler denir. Şekil 8.42 a daki devre bir paralel rezonans devresi olup rezonans frekansında band-stop karakteristiği gösterir ve  $V_y$  değerinin teşkiline izin vermez. E uygulanan gerilimin büyük bir kısmı paralel rezonans devresinin uçlarından alınır ve bu frekans değerlerinde  $R_y$  ile oranlandığında çok yüksek empedansa sahiptir.



Double-tuned devre.

Şekil 8.42

Pass-band için paralel rezonans devresi kapasitif olarak yapılır. (İndüktif için C, yerine L<sub>s</sub> bağlanır.) Tank devrelerinin rezonans pass-band frekansında kapasitif reaktansın etkilerini yok etmek için L<sub>s</sub> indüktansı seçilir. Böylece seri rezonans devresi gibi rol oynar. Bu frekans değeri E giriş gerilimi R<sub>L</sub> uçlarındaki gerilime eşittir. Şekil 8.42 b deki devrede seri rezonans devresi hâla pass-band olarak tesbit edilir ve rezonans anında paralel indüktör uçlarındaki çok küçük empedans olarak rol oynar ve V<sub>y</sub> = E olur. Arzu edilen band-stop rezonans frekansında seri rezonans devresi kapasitiftir. Rezonans frekansında band-stop frekansı paralel rezonansı temin etmek için indüktans L<sub>p</sub> seçilir. Paralel rezonans devresinin yüksek empedansı çok küçük yük gerilimine V<sub>y</sub> ye neden olur. Pass-band değerinin altındaki frekansı geçirmemesi için devre şekil 8.42 deki gibi bağlanmalıdır. Bunun tersi durumlarda şekil 8.42 a L<sub>s</sub> ve L<sub>p</sub> değeri şekil 8.42 b deki gibi kondansatörle değiştirilir.

**ÖRNEK: 8.12**

Şekil 8.42 b deki devrede L<sub>s</sub> ve L<sub>p</sub> değerini C = 500 pf için tesbit ediniz. Eğer 200 kHz lik frekans reddedilip 600 kHz lik frekans geçirilirse.

**Cözüm:**

$$\text{Seri rezonans için } f_s = \frac{1}{2\pi \sqrt{L_s C}}$$

$$L_s = \frac{1}{4\pi^2 f_s^2 C} = \frac{1}{4 (3.14)^2 (600 \times 10^3)^2 (500 \times 10^{-12})}$$

$$= 141 \mu\text{H}$$

200 kHz de

$$X_L = \omega L = 2\pi f L = 6.28 (200 \times 10^3) (141 \times 10^{-6})$$

$$= 177.7 \text{ om}$$

$$X_C = \frac{1}{\omega C} = \frac{1}{(6.28) (200 \times 10^3) (500 \times 10^{-12})}$$

$$= 1.6 \text{ K}$$

Seri elemanlar için

$$J(X_L - X_C) = J(177.7 - 1600) = -J(1422.3) \text{ kapasitif}$$

Paralel rezonans (Q<sub>s</sub> ≥ 10) varsayılırsa

$$X_L = X_C$$

$$L_p = \frac{X_C}{\omega} = \frac{1422.3}{6.28 \cdot 200 \times 10^3}$$

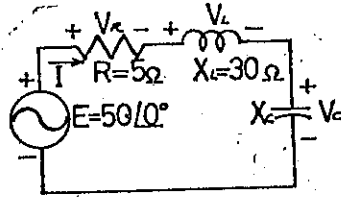
$$= 11.35 \text{ mH}$$

**PROBLEMLER**

Bölüm 8.1 den 8.8 e kadar.

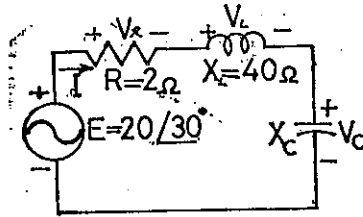
- 1 — Aşağıda verilen değerlere göre seri devrenin ω<sub>s</sub> ve f<sub>s</sub> değerlerini bulunuz.
 

a — R = 10 om,	L = 1 H,	C = 16 μf
b — R = 300 om,	L = 0.5 H,	C = 0.16 μf
c — R = 10 om,	L = 0.28 mH,	C = 7.46 μf
- 2 — a) Problem 1 reaktans tablosu kullanarak tekrarlayınız.  
 b) Tabloyu kullanarak kapasitif ve indüktif bağlantıyı 10 kHz deki rezonans X<sub>L</sub> = X<sub>C</sub> yi tesbit ediniz.  
 c) Tabloyu kullanarak seri rezonans devresinin elemanlarını X<sub>L</sub> = X<sub>C</sub> = 2 K ve f<sub>s</sub> = 100 kHz ve Q<sub>s</sub> = 50 bulunuz.
- 3 — Şekil 8.43 deki seri devrede
  - a — X<sub>C</sub> değerini rezonans için bulunuz.
  - b — Akım I ve gerilim V<sub>R</sub>, V<sub>L</sub> ve V<sub>C</sub> değerlerini vektör olarak bulunuz.
  - c — Akım ve gerilimler için vektör diyagramını çiziniz.
  - d — Rezonans devresinin güç üçgenini çiziniz.
  - e — Q<sub>s</sub> değerini bulunuz.



Şekil 8.43

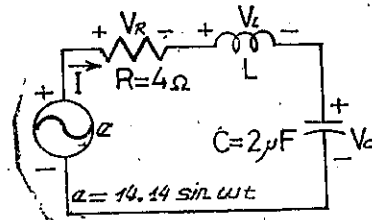
4 — Problem 3 ü şekil 8.44 deki devre için tekrarlayınız.



Şekil 8.44

5 — Şekil 8.45 deki devrede

- Rezonans frekansı 1800 Hz için L değerini mili henri olarak bulunuz.
- Problem 2 nin b ve e bölümlerini tekrarlayınız.
- Kesme (ayırma) frekanslarını hesaplayınız.
- Seri rezonans devresinin band genişliğini bulunuz.



Şekil 8.45

- Seri bir devrenin rezonans frekansı 10 kHz dir. Eğer devrenin direnci 5 oh ve  $X_C$  rezonansta 200 oh ise band genişliği ne olur.
- Ayrırma frekanslarını bulunuz.
- $Q_s$
- Giriş gerilimi  $30 \angle 0^\circ$  ise bobin ve kondansatör uçlarındaki gerilimi bulunuz.
- Rezonans anında sarfedilen gücü bulunuz.

- Seri rezonans devresinde kesme frekansları 5400 Hz ve 6000 Hz olduğuna göre
  - Devrenin band genişliğini bulunuz.
  - Eğer  $Q_s = 9.5$  ise devrenin rezonans frekansını bulunuz.
  - Devrenin direnci 2 om ise rezonans anında  $X_L$  ve  $X_C$  yi bulunuz.
  - L ve C değerlerini bulunuz.

Bölüm 8.9 dan 8.12 ye kadar

8 — Şekil 8.46 daki devrede

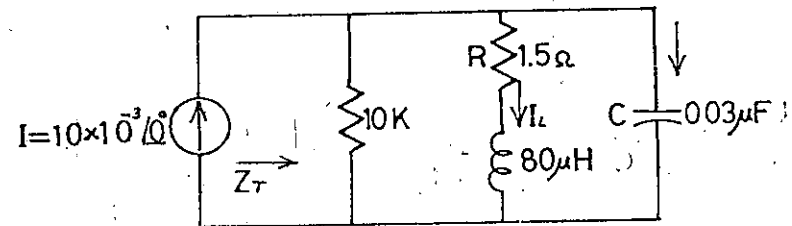
- $X_C$  değerini rezonans için bulunuz.
- Rezonans anında  $Z_T$  toplam empedansını
- Rezonans anında  $I_L$  ve  $I_C$  akımlarını
- Rezonans frekansı 20000 Hz ise L ve C değerlerini
- $Q_p$  ve BW değerlerini bulunuz.



Şekil 8.46

9 — Şekil 8.47 deki devrede

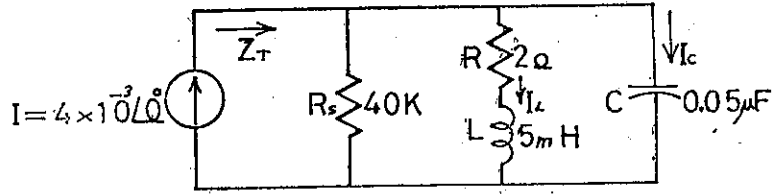
- Rezonans frekansını
- Rezonans anında  $X_L$  ve  $X_C$  değerlerini bulunuz.
- Rezonans anında bobin yüksek veya düşük Q değerini sahiptir?
- Rezonans anında toplam empedansı  $Z_T$  yi bulunuz.
- Rezonans anında  $I_L$  ve  $I_C$  değerlerini bulunuz.
- $Q_p$  ve BW değerlerini hesaplayınız.



Şekil 8.47

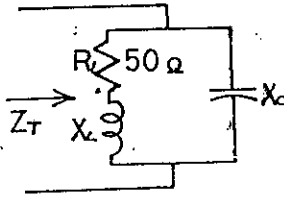
3

10 — Problem 9 u şekil 8.48 deki devre için tekrarlayınız.



Şekil 8.48

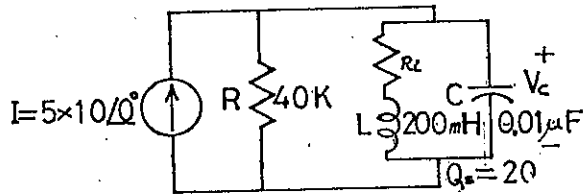
- 11 — Şekil 8.49 daki devrede  $Z_T$  empedansı rezonans frekansında 50 K omik olması arzu ediliyor.
- $X_L$  değerini bulunuz.
  - $X_C$  değerini bulunuz.
  - $L = 16$  mH iken rezonans frekansını bulunuz.
  - $C$  değerini mikro farad olarak bulunuz.



Şekil 8.49

12 — Şekil 8.50 deki devrede

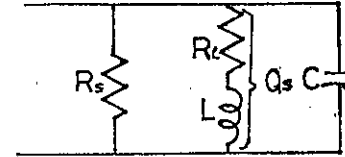
- $f_p$
- Rezonans anındaki  $V_C$  yi hesaplayınız.
- Rezonans anındaki gücü
- BW yi hesaplayınız.



Şekil 8.50

13 — Şekil 8.51 deki devrede verilen değerlere göre aşağıdaki istenenleri bulunuz.

- $f_p = 100$  kHz  
 $BW = 2500$  Hz  
 $L = 2$  mH  
 $Q = 80$  ise  
 $R_s$  ve  $C$  değerlerini bulunuz.

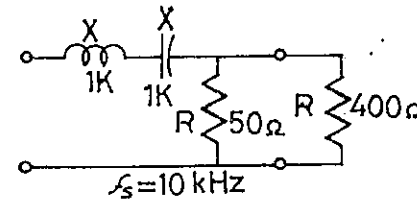


Şekil 8.51

Bölüm 8.13

14 — Şekil 8.52 deki pass-band devresinde

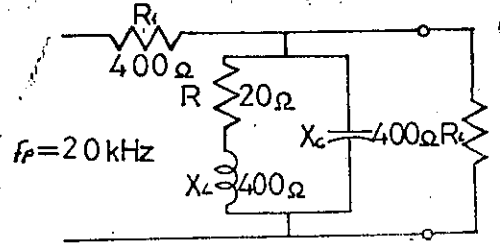
- $Q_s$  değerini
- Kesme frekanslarını
- Frekans karakterlerini çiziniz.
- $Q_s$  (yükli) değerini 200 om yük için bulunuz.



Şekil 8.52

15 — Şekil 8.53 deki pass-band devresinde

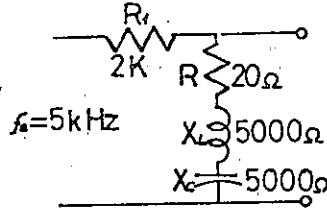
- $Q_p$  değerini ( $R_L = \infty$  om açık devre) için bulunuz.
- Frekans karakterini çiziniz.
- $Q_p$  iken  $R = 100$  K olduğuna göre  $R_L$  nin etkisi b bölümünde çizilen eğride gösteriniz.
- Bölüm c yi  $R_L = 20$  K için tekrarlayınız.



Şekil 8.53

16 — Şekil 8.54 deki band-stop devresinde

- $Q_s$  değerini
- BW ve yarı güç frekansını bulunuz.
- Frekans karakteristik eğrisini çiziniz.
- Yük direnci  $2K$  ise bobin c de çizilen eğriye bu yükün etkisi nedir?



Şekil 8.54

17 — Şekil 8.42a daki devrede

- $L_p = 400 \mu H$ , ( $Q_s \geq 10$ ),  $L_s = 60 \mu H$  ve  $C = 120$  pf ise red edilen (geçirilmeyen) ve kabul edilen (geçirilen) frekans değerlerini bulunuz.
  - Bölüm a için eğriyi çiziniz.
- 18 — a — Şekil 8.42b deki devrede red edilen frekans  $30$  kHz ve kabul edilen frekans ise  $100$  kHz olduğuna göre  $L_p$  değerini ve  $L_p$  ( $Q_p \geq 10$ ) ve  $C = 200$  pf için bulunuz.
- Bölüm a da elde edilen değerlere göre eğrisini çiziniz.

## ÜÇ FAZLI SİSTEMLER

### 9.1 GİRİŞ

Bölüm 1 de rotorun her dönüşünde sinüsoidal bir gerilimin meydana geldiğini, rotorda bir sargı varsa meydana gelen gerilimin bir fazlı olduğunu görmüştük. Eğer rotor üzerinde bulunan bobin sayısı arttırılırsa o genatörün faz sayısı da artar ve rotorun her dönüşü için her bobinde ayrı fazda bir gerilim meydana gelir. Bu bölümde, üç fazlı sistemin güç transfer işlerinde çok kullanıldığı için detaylı olarak incelenecektir.

Genel olarak üç fazlı sistemde güç transferi sabit bir güç kaybı için bir fazlı sistemden daha ekonomiktir. Bu ekonomik değer sistemin transmisyon hattındaki  $I^2 R$  değerinin küçüklüğünden ileri gelir. Transmisyon hatlarındaki bu güç kaybının azlığı iletkenin kesitinin küçülmesini ve bakır ağırlığını azaltır. Endüstride ticari amaçla kullanılan alternatörlerin hemen hepsi üç fazlı sisteme sahiptir. Bazı özel durumlarda bir fazlı veya iki fazlı alternatörler kullanılır. Bu özel durumların başında gaz motorlarıyla çalışan genaratörler ve hastahane tipi portatif genaratörler gelir. İki fazlı alternatörlerin kullanma yerlerinin başında ise özel demir yolu taşımacılığı, kontrol devrelerinde servomekanizm dediğimiz kontrol sistemlerinde, bu tip genaratörler çok kullanılır. Servomekanizm sistemi gemilerde ve uçaklarda hareket yönünü sabit tutmak için onları otomatik olarak kontrol işlerinde veya ısı devrelerinde ısı çıkışını regüle etmek için kullanılır. Uygulamaların pek çoğunda bir faz veya iki faz için gerekli yerlerde bir fazlı veya iki fazlı genaratörler kullanılabileceği gibi üç fazlı sistemden de bir veya iki faz elde etmek olasıdır.

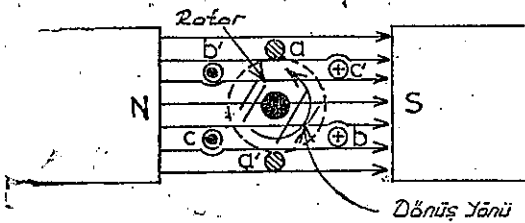


Çeşitli alternatörlerde üç fazlı sistemler kullanılabileceği gibi kullanılacak işin faz durumuna göre alternatörün faz sayısında artırılabilir. Yani alternatörler için faz sayısının üç olması şart değildir. Faz sayısını artırmak demek o alternatörün rotor kısmına sarılacak sargıların faz açılarını faz sayısına göre azaltmak demektir. Yani 6 fazlı alternatör rotoruna sarılacak sargıların arasındaki açının  $60^\circ$  olması gerekir. Bu gibi çok fazlı alternatörler özel amaçlar için yapılır ve bunlardan redresör devreleri ve konvertörler başlıca kullanma yerleridir.

Alternatif akımı doğru akıma çevirirken alternatif akımın faz sayısı yükseldikçe meydana gelen doğru akımın kalitesi de artar.

## 9.2 ÜÇ FAZLI ALTERNATÖR

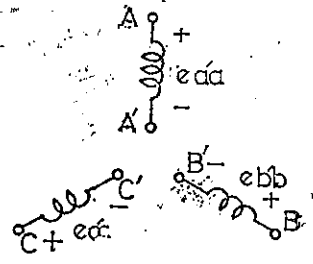
Üç fazlı alternatör şekil 9.1 de görüldüğü gibi alternatörün rotor kısmında, aralarında  $120^\circ$  faz farkı ile sarılan üç adet sargıdan meydana gelir. Rotor üzerine yerleştirilen bu üç adet sargının siper sayıları birbirine eşit olduğundan ve her bobin aynı değerinde açısal hızla döndüğünden her bir bobinde indüklenen elektro motor kuvvet (emk) aynı tepe noktası değerine sahiptir. Ayrıca bu emk ların şekilleri ve frekanslar bir birinin aynıdır. Her bir bobinde artarak indüklenen emk nın yönü şekil 9.1 a da görüldüğü gibi sağ el kaidesi ile bulunabilir. İndükleme emk gerilimi  $e_{A'A}$  pozitif maksimum değerine doğru yükselirken indüklenen  $e_{B'B}$  emk gerilimi negatif maksimum değerine doğru düşer. Çünkü  $e_{B'B} = -e_{B'B}$ . İndüklenen  $e_{C'C}$  gerilimi pozitif maksimum değerine yükselir ve dönmeyle birlikte sıfır değerine doğru düşer.



(a)

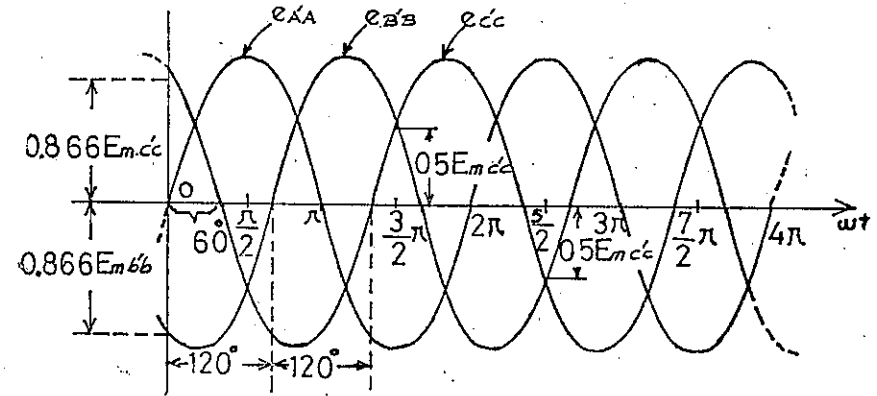
Üç fazlı generatör

Şekil 9.1



(b)

Alternatörün rotorunun dönüşü neticesinde indüklenen  $e_{A'A}$ ,  $e_{B'B}$ ,  $e_{C'C}$  gerilimlerini aynı ekseninde göstermek suretiyle eğrileri çizilecek olursa bu gerilim değerleri için şekil 9.2 deki eğriler elde edilir. Zamanın herhangi bir anı değeri için üç fazlı alternatif gerilimlerin cebirsel toplamı sıfırdır. Bu durum şekil 9.2 de  $t = 0$  için görülmektedir. Dikkat edilirse indüklenen gerilimlerden biri sıfır olduğu zaman diğer iki indüklenmiş gerilimlerin değeri  $86.6\%$  pozitif veya negatif maksimum değere eşittir. Başka bir ifadeyle indükleme gerilimlerinden herhangi ikisinin büyüklüğü ve işareti ( $0.5 E_m$ ) değerinde iken üçüncü indükleme gerilim zıt polariteye ve tepe noktası değerine sahiptir.



Şekil 9.2

İndüklenen gerilimlerin sinüsoidal ifadesi aşağıdaki gibidir.

$$e_{A'A} = E_m (A'A) \sin \omega t$$

$$e_{B'B} = E_m (B'B) \sin (\omega t - 120^\circ)$$

$$e_{C'C} = E_m (C'C) \sin (\omega t - 240^\circ) = E_m (C'C) \sin (\omega t + 120^\circ) \quad (9.1)$$

İndüklenen gerilimlere ait vektör diyagramı şekil 9.3 de görülmektedir.

$$E_{A'A} = 0.707 E_m (A'A)$$

$$E_{B'B} = 0.707 E_m (B'B)$$

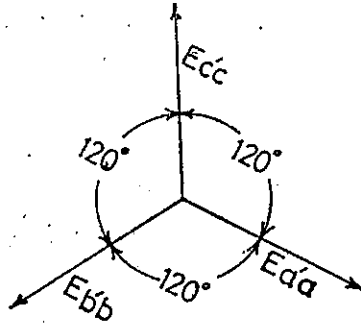
$$E_{C'C} = 0.707 E_m (C'C)$$

ve

$$E_{A'A} = E_{A'A} / 0^\circ$$

$$E_{B'B} = E_{B'B} / -120^\circ$$

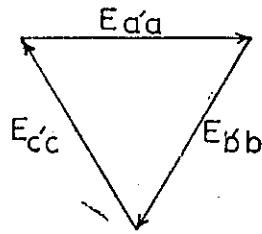
$$E_{C'C} = E_{C'C} / +120^\circ$$



Şekil 9.3

Faz diyagramları şekil 9.4 deki gibi yeniden çizersek ve vektör kuralını uygularsak aşağıdaki ifadeyi elde ederiz.

Her hangi bir sayıda çizilmiş vektörlerin toplamı her bir vektörün ok işaretli ucu ile diğer vektörün oksuz ucunu birleştirmek suretiyle elde edilen bağlantı zinciri son vektörün ok işaretli ucu ile ilk vektörün oksuz ucunun birleştirilmesiyle kapanmasından meydana gelen vektör kapalı devresi sıfıra eşittir.



Şekil 9.4

Üç fazlı sistemlerde vektörlerin toplamı sıfırdır. Bu formül olarak üç fazlı sistemler için aşağıdaki gibi ifade edilebilir.

$$\Sigma (E_{A'A} + E_{B'B} + E_{C'C}) = 0 \quad (9.2)$$

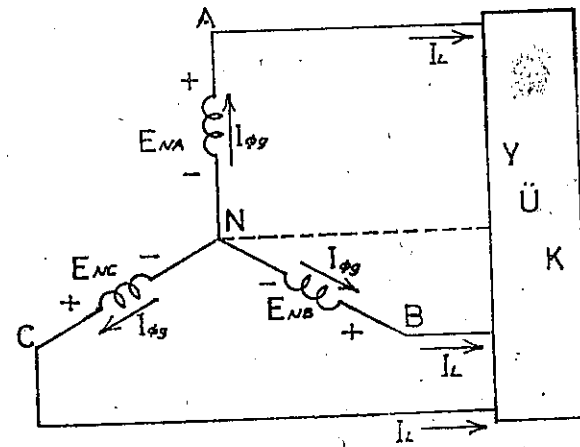
Üç fazlı bir sistem sembolik olarak şekil 9.1 b de görülmektedir. Rotor üzerindeki sarguların bobin şeklinde sembolik olarak nasıl gösterildiklerine dikkat ediniz.

### 9.3 Y (Yıldız) BAĞLI ALTERNATÖRLER

Şekil 9.1 b de görülen üç terminal A, B, C bir noktada üçü bir arada bağlanırsa bu alternatör yıldız (Y) bağlı üç fazlı alternatör olarak anılır. Şekil 9.5 de yıldız bağlı bir alternatör ve bu alternatöre bağlı bir yük görülmektedir. Alternatör faz sargılarının üçünün bir noktada bağlandığı yere nötr noktası denir. Eğer bu nötr noktası ile alternatörün uçlarına bağlanan yük arasında bir bağlantı yoksa böyle bağlantılara yıldız bağlı üç fazlı üç telli alternatör denir. Eğer bu nötr noktası ile alternatör arasında bir iletgenle bağlantı varsa böyle bağlantıya yıldız bağlı üç fazlı dört telli alternatör denir.

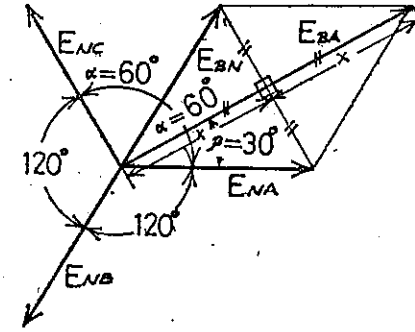
Sarguların A, B ve C noktaları nötr (N) noktasında birleşmesiyle her sargıda ki indüklenen gerilimle bu nötr noktası arasındaki gerilime faz gerilimi denir ve  $E_{NA}$  ve  $E_{NB}$ ,  $E_{NC}$  değerleri ile gösterilir. Alternatöre bağlanan yük ile alternatörün faz sargısı uçları arasındaki bağlantıya faz hatları denir. Yıldız bağlı sistemler için şekil 9.5 de görüldüğü gibi her bir hattan geçen akım alternatörün her bir fazından geçen akıma eşittir. Yani faz sargısının akımı hat akımına eşittir. Buna göre

$$I_L = I_{\phi_s} \quad (9.3)$$



Yıldız Bağlı Alternatör

Şekil 9.5



Şekil 9.7

$$E_{BA} = 2X = 2 \frac{\sqrt{3}}{2} E_{NA} = \sqrt{3} E_{NA}$$

Faz diyagramında görüldüğü gibi  $E_{BA}$  nın açısı  $\theta = 30^\circ$  dir.

$$E_{BA} = E_{BA} / \sin 30^\circ = \sqrt{3} E_{NA} / \sin 30^\circ$$

Bu formülün ifadesi aşağıdaki gibi ifade edilebilir. Yıldız bağlı alternatörlerde hat geriliminin büyüklüğü faz geriliminin  $\sqrt{3}$  katıdır.

$$E_H = \sqrt{3} E_F \quad (9.4)$$

Hat gerilimi ile buna bitişik faz gerilimi arasındaki faz açısı  $30^\circ$  dir. Bunu sinisoidal notasyon içerisinde yazarsak

$$e_{BA} = \sqrt{2} E_{BA} \sin(\omega t + 30^\circ) \text{ dir.}$$

Buna göre diğer hat gerilimlerinin durumunu yazarsak

$$e_{AC} = \sqrt{2} \sin(\omega t + 150^\circ)$$

$$e_{CB} = \sqrt{2} \sin(\omega t + 270^\circ)$$

Hat gerilimi ve faz gerilimlerine ait vektör diyagramı şekil 9.8 de görülmektedir. Eğer şekil 9.8 a da vektörler hat gerilimini gösterirse bu vektörler şekil 9.8 b deki gibi kapalı göz şeklinde çizilebilir. Bunun için hat gerilimlerinin vektörel toplamının sıfır olduğu sonucuna varılabilir.

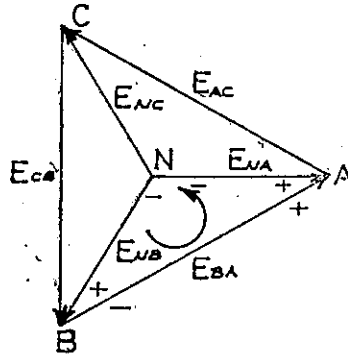
$$\Sigma (E_{BA} + E_{AC} + E_{CB}) = 0 \quad (9.5)$$

Hatların uçlarındaki gerilimlere hat gerilimi denir. Şekil 9.6 daki faz diyagramında vektör her hangi bir fazın sonunda saat ibresinin aksi yönde diğer faza çizmek suretiyle vektör tamamlanır. Şekil 9.6 da görülen faz diyagramının bir gözüne Kirchhoff'un gerilim kanununu uygularsak aşağıdaki değeri elde ederiz.

$$E_{BA} - E_{NA} + E_{NB} = 0$$

veya

$$E_{BA} = E_{NA} - E_{NB} = E_{NA} + E_{NB}$$



Yıldız bağlı üç fazlı alternatörün hat ve faz gerilimleri

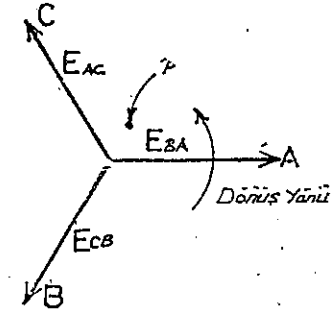
Şekil 9.6

$E_{BA}$  değerini bulmak için faz diyagramı şekil 9.7 daki gibi tekrar çizilir. Her hangi bir fazın değeri zıt yönde çizilirse ( $E_{NB}$ ) diğer iki faz arasındaki açıyı iki eşit parçaya böler. Yani  $\alpha = 60^\circ$  olur. Her hangi bir faz vektörünün çizilen tersiyle diğer iki fazlardan her hangi biriyle meydana getirilen paralel kenarda paralel kolların uzun köşegeni bu iki faz vektörü arasındaki  $60^\circ$  lik açıyı iki eşit parçaya böler. Yani  $\beta = 30^\circ$  dir.

Buna göre şekil 9.7 den

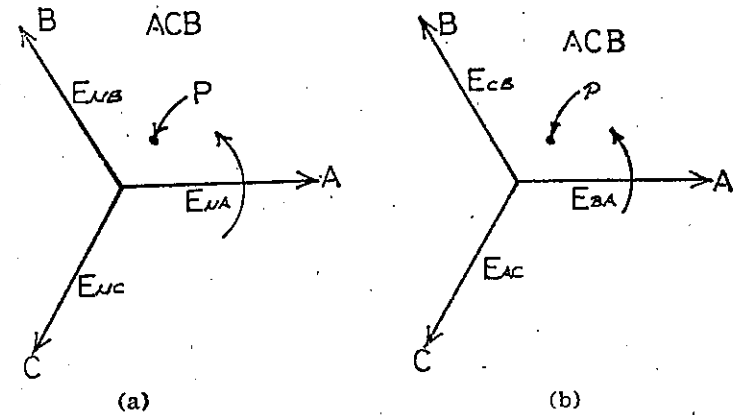
$$X = E_{NA} \cos 30^\circ = \frac{\sqrt{3}}{2} E_{NA} \text{ olur.}$$

Faz sırası kavramı hat gerilimi kavramı içinde de ifade edilebilir. Şekil 9.10 da görüldüğü gibi faz diyagramında hat gerilimleri çizilir ve vektörleri saat ibresinin dönüşünün aksi yönünde döndürmek suretiyle faz sırası yine tesbit edilebilir. Bu sistem içinde P noktasını ilk geçen A vektörüne göre faz sırası ABC, ikinci geçen B vektörü olduğuna göre BCA ve üçüncü geçen C vektörü olduğuna göre CAB olur. Dikkat edilirse faz sırasının faz vektörüne göre tesbiti ile faz vektörüne göre tesbiti bir birinin aymıdır.

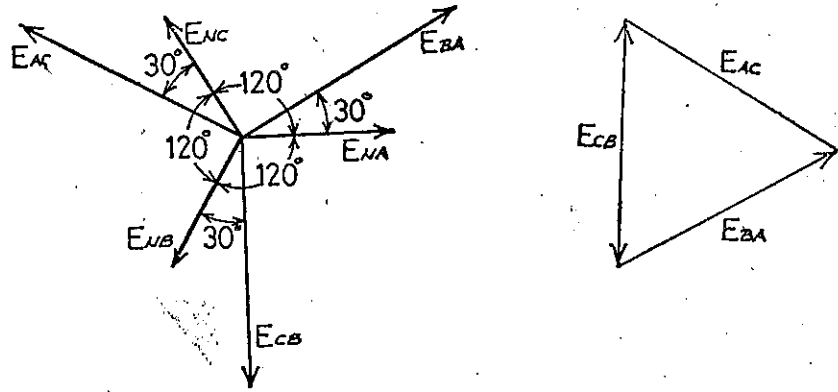


Şekil 9.10

Eğer bir sistemin faz sırasını verilirse faz diyagramı basit olarak bir noktayı referans olarak seçerek diğer faz gerilimlerini bu noktaya göre uygun açılar altında çizmekle bulunur. Faz sırası ABC için  $E_{BA}$  yi referans vektör olarak seçelim. Şekil 9.11 a. Eğer faz diyagramlarını hat gerilimi olarak bulmak istersek veya faz gerilimleri için  $E_{NA}$  şekil 9.11 b deki gibidir. Bu değerlere göre faz diyagramları şekil 9.11 deki gibi olur.



Şekil 9.11



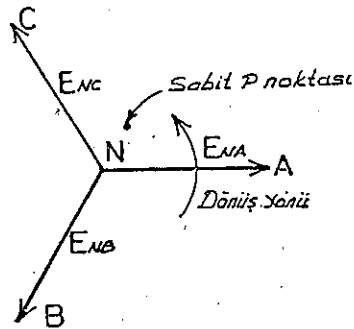
Şekil 9.8

## 9.4 FAZ SIRASI

(Yıldız Bağlı Alternatör)

Faz sırası faz diyagramında belli bir nokta için faz gerilimlerinin vektör olarak saat ibresinin dönüşünün aksi yönde olan bir vektör düzenidir. Örneğin şekil 9.9 da faz sırası ABC dir. Faz diyagramında sabit nokta ner hangi bir yerde seçildiğinden faz sırası çeşitli formlarda yazılabilir. Örneğin BCA veya CAB gibi.

Faz sırası üç fazlı güç dağıtım sistemlerinde oldukça önemlidir. Üç fazlı bir motorda eğer iki fazın gerilimleri (yerleri veya faz vektörleri) karşılıklı olarak değiştirilirse motorun devir yönü değişmiş olur.



Şekil 9.9

Vektör notasyonu olarak

$$E_{BA} = E_{BA} / 0^\circ \quad (\text{referans})$$

Hat  
erilimleri

$$E_{AC} = E_{AC} / -120^\circ$$

$$E_{CB} = E_{CB} / +120^\circ$$

$$E_{NA} = E_{NA} / 0^\circ \quad (\text{referans})$$

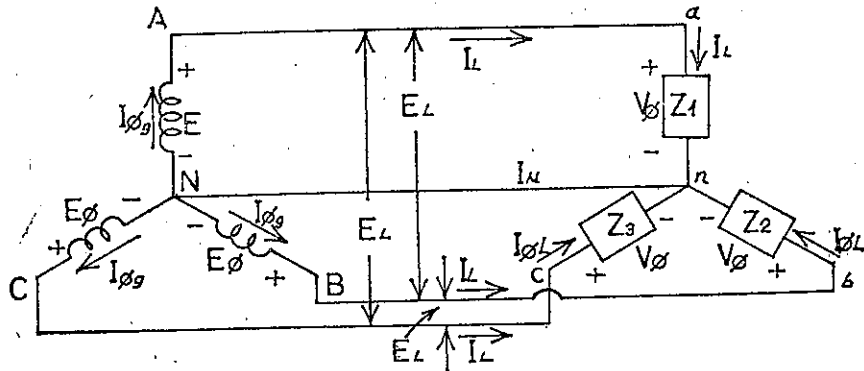
Faz  
erilimleri

$$E_{NC} = E_{NC} / -120^\circ$$

$$E_{NB} = E_{NB} / +120^\circ$$

### 9.5 YILDIZ BAĞLI ALTERNATÖR ile YILDIZ BAĞLI YÜK

Yıldız bağlı alternatörlere bağlanan yüklerin bağlantısı iki şekilde yapılabilir. Bunlar yıldız veya üçgen bağlantıdır. Eğer yıldız bağlı bir yük yıldız bağlı bir alternatöre bağlanırsa bu sistem yıldız-yıldız (Y-Y) olarak sembolize edilir. Bu sistemin bağlantı şeması şekil 9.12 de görülmektedir.



Yıldız bağlı Alternatör ve yıldız bağlı yük

Şekil 9.12

Eğer alternatöre bağlanan yük dengeli ise nötr hattı devreyi hiç bir şekilde etkilemeyeceğinden çıkarılabilir. Bu durumda

$$Z_1 = Z_2 = Z_3 \text{ dir.}$$

ve nötr hattından geçen akım ( $I_N$ ) sıfır olur.

Dikkat edilirse dengeli bir yüke sahip olmak için her bir empedansın faz açısının bir birine eşit olması gerekir. Bu koşul doğru akım devreleri için gerekli değildir. Pratikte veya bir fabrikada eğer üç fazlı sistem dengeli bir yüke sahipse nötr hattının olmaması bir problem yaratmaz. Böyle bir sistemde enerji nakli dört iletgen yerine üç iletgenle yapılabilir. Böylece daha ekonomiktir. Işık sistemi ve diğer pek çok cihazlar için faz gerilimlerinden birisi kullanılacağından yükler dengeli varsayılabilir. Çünkü bu koşul hiç bir zaman normal bir dengeli yük olmayacaktır. Çünkü gerek cihazlar gerekse lâmbaların aynı anda yakılmaları veya söndürülmeleri düşünülemez. Dolayısıyla bu gibi yüklerin denge durumu her an bozulabilir. Bu nedenlerle dengenin bozulmasından dolayı nötr noktasında meydana gelen dengesizlik akımını alternatöre taşımak için nötr hattına ihtiyaç vardır.

Yıldız-Yıldız bağlı sistemlerde alternatörün her bir fazından geçen akım o fazın hattından geçen akıma eşittir. Böylece alternatörün fazından geçen akımla bu faza simetrik olan yükün fazından geçen akım aynıdır. Buna göre

$$I_{\phi g} = I_h = I_{\phi y} \quad (9.6)$$

Dengeli veya dengesiz yükler için alternatör ve yük müşterek nötr hattına sahip olduklarından

$$V_{\phi} = E_{\phi} \text{ dir.} \quad (9.7)$$

Buna ilaveten  $I_{\phi y} = V_{\phi} / Z_{\phi}$  olduğundan her fazın akımının büyüklüğü dengeli yükler için bir birine eşit, dengeli olmayan yükler için ise bir birinden farklıdır. Hatırlanacağı gibi yıldız bağlı alternatörlerde hat geriliminin büyüklüğü faz geriliminin  $\sqrt{3}$  katıdır. Bu ilişki dengeli veya dengesiz dört telli yıldız bağlı yüklerle de uygulanabilir.

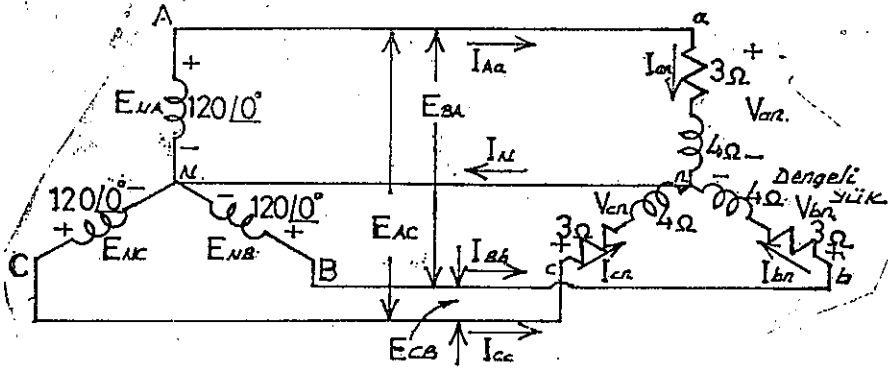
$$E_H = \sqrt{3} V_{\phi} \quad (9.8)$$

Yük elemanı uçlarında düşen gerilim için ilk harf akımın terkettiği terminali gösterir. Başka bir ifadeyle ilk harf tarife göre ikinciye bağlı olarak gerilimi düşümü için pozitifdir. Şekil 9.13 e dikkat edilirse kaynağın emk değerine ve gerilim düşümüne ait harfler görülmüyor.

## ÖRNEK: 9.1

Şekil 9.13 deki yıldız bağlı alternatörün faz sırası ABC dir.

- a —  $\theta_2$  ve  $\theta_3$  faz açılarını  
 b — Hat voltajının büyüklüğünü  
 c — Hat akımını  
 d — Yük dengeli olduğundan  $I_N = 0$  olduğunu gösteriniz.



Şekil 9.13

## Çözüm:

a — ABC faz sırası için  $\theta_2 = -120$  ve  $\theta_3 = +120$  dir.

b —  $E_H = \sqrt{3} E_\phi = 1.73 \cdot 120 = 208$  volt, dolayısıyla  
 $E_{BA} = E_{CB} = E_{AC} = 208$  volt.

c —  $V_\phi = E_\phi$  bunun için

$$V_{an} = E_{NA}, \quad V_{bn} = E_{NB}, \quad V_{cn} = E_{NC}$$

$$I_{aH} = I_{an} = \frac{V_{an}}{Z_{an}} = \frac{120 / 0^\circ}{3 + j4} = 24 / -53^\circ$$

$$I_{bn} = \frac{V_{bn}}{Z_{bn}} = \frac{120 / -120^\circ}{5 / 53^\circ} = 24 / -173^\circ$$

$$I_{cn} = \frac{V_{cn}}{Z_{cn}} = \frac{120 / +120^\circ}{5 / 53^\circ} = 24 / 67^\circ$$

$$I_H = I_{0L} \text{ olduğundan}$$

$$I_{Aa} = I_{an} = 24 / -53^\circ$$

$$I_{Bb} = I_{bn} = 24 / -173^\circ$$

$$I_{Cc} = I_{cn} = 24 / 67^\circ$$

d — Kirchoff'un akım kanununu uygularsak

$$I_N = I_{Aa} + I_{Bb} + I_{Cc}$$

Dik bileşenler formuyla

$$I_{Aa} = 24 / -53^\circ = 14.4 - j19.2$$

$$I_{Bb} = 24 / -173^\circ = -23.8 - j2.88$$

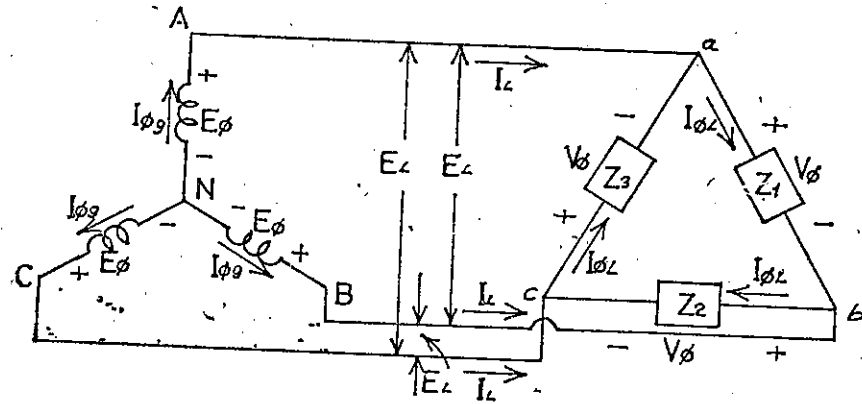
$$I_{Cc} = 24 / 67^\circ = 9.4 + j22.8$$

$$\Sigma I_{Aa} + I_{Bb} + I_{Cc} = 0 + j0$$

Buradan görüldüğü gibi  $I_N = 0$  dir.

## 9.6 YILDIZ-ÜÇGEN (Y-Δ) SİSTEMLER

Şekil 9.14 deki devrede yıldız-üçgen bağlantı görülmektedir. Bu devreden görüldüğü gibi devrenin nötr hattı yoktur. Faz empedansındaki her hangi bir değişme sistemde dengenin bozulmasına neden olur ve baskı sisteminin faz ve hat akımlarının değişmesine neden olur.



Yıldız bağlı alternatör ile üçgen bağlı yük

Şekil 9.14

Dengeli yük için  $Z_1 = Z_2 = Z_3$  (9.9)

ün her fazının uçlarındaki gerilim dengeli veya dengesiz yük için alternatörün hat gerilimine eşittir. Yani

$$V_0 = E_y \quad (9.10)$$

ngeli üçgen bağlı bir yükün faz akımı ve hat gerilimi arasındaki ilişki üm 9.3 deki bir yaklaşımla basitce bulunabilir. Bu bölümde yıldız bağlı bir alternatörün faz gerilimi ile hat gerilimi arasındaki ilişki bulun-  
tu.

Yıldız-Üçgen bağlı sistemler için Kirchhoff'un gerilim kanunu yer-  
akım kanunu uygulanırsa aşağıdaki eşitlik elde edilir.

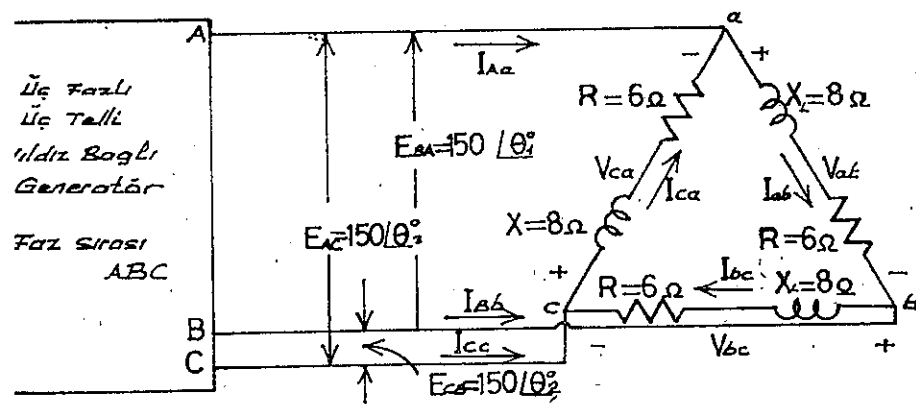
$$I_h = \sqrt{3} I_0 \quad (9.11)$$

z akımı ile hat akımı arasındaki açı  $30^\circ$  dir. Dengeli yük için hat akı-  
büyüklükleri eşittir ve faz akımları büyüklükleride bir birine eşittir.

### ÖRNEK: 9.2

Şekil 9.15 de görülen üç fazlı sistem için

- Faz açıları  $\theta_2$  ve  $\theta_3$  bulunuz.
- Yükün her fazının akımlarını bulunuz.
- Hat akımlarının büyüklüğünü bulunuz.



Şekil 9.15

### Çözüm:

a — ABC faz sırası için

$$\theta_2 = -120^\circ \text{ ve } \theta_3 = +120^\circ$$

b —  $V_\phi = E_y$  bunun için

$$V_{ab} = E_{BA}, \quad V_{ca} = E_{AC}, \quad V_{bc} = E_{CB}$$

Faz akımları ise

$$I_{ab} = \frac{V_{ab}}{Z_{ab}} = \frac{150 \angle 0^\circ}{6 + j8} = \frac{150 \angle 0^\circ}{10 \angle 53^\circ} = 15 \angle -53^\circ$$

$$I_{bc} = \frac{V_{bc}}{Z_{bc}} = \frac{150 \angle -120^\circ}{10 \angle 53^\circ} = 15 \angle -173^\circ$$

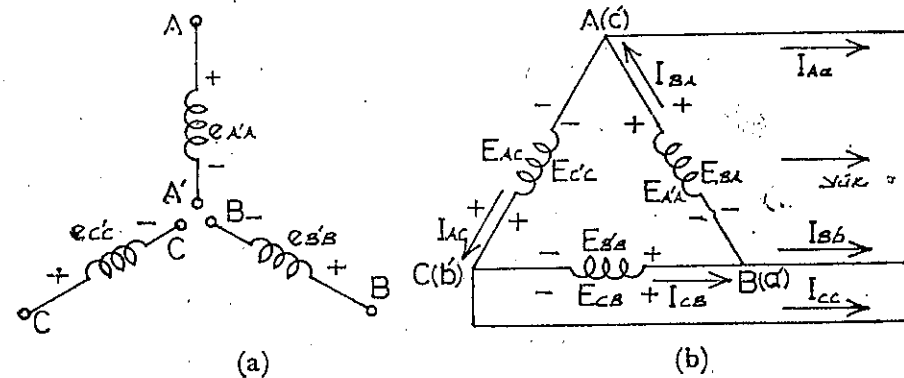
$$I_{ca} = \frac{V_{ca}}{Z_{ca}} = \frac{150 \angle +120^\circ}{10 \angle 53^\circ} = 15 \angle 67^\circ$$

c —  $I_y = \sqrt{3} I_\phi = \sqrt{3} 15 = 25.95$  onun için

$$I_{Aa} = I_{Bb} = I_{Cc} = 25.95 \text{ Amper}$$

### 9.7 ÜÇGEN ( $\Delta$ ) BAĞLI ALTERNATÖR

Eğer alternatörün rotorunda bulunan bobinler şekil 9.16 a ve 9.16 b de görüldüğü gibi düzenlenir ve A-C ile B-A ile C-B ile bağlanırsa sistem üç fazlı üç telli üçgen bağlı alternatör olarak anılır. Bu sistemde faz ve hat gerilimleri eş değerlidir ve alternatörün her bir bobininde indüklenen gerilime eşittir.



Şekil 9.16

İndüklenen bu gerilimler

$$E_{BA} = E_{A'A} \text{ ve } e_{A'A} = \sqrt{2} E_{A'A} \sin \omega t$$

$$E_{CB} = E_{B'B} \text{ ve } e_{B'B} = \sqrt{2} E_{B'B} \sin (\omega t - 120^\circ) \quad \text{Faz sırası } ABC \quad (9.12)$$

$$E_{AC} = E_{C'C} \text{ ve } e_{C'C} = \sqrt{2} E_{C'C} \sin (\omega t + 120^\circ)$$

Dikkat edilirse üçgen bağlı sistemlerde kullanılan sadece bir gerilim büyüklüğü vardır. Buna karşın yıldız bağlı sistemlerde iki ayrı büyüklükte gerilim vardır. Yıldız bağlı sistemle üçgen bağlı sistemin başka bir ayrıcalığıda üçgen bağlı sistemlerde faz akımı ile hat akımı bir birine eşit değildir. Bu akımlar arasındaki ilişkiyi bulmak için Kirchhoff'un akım kanunu düğüm noktalarından birine uygulanır ve hat akımı ile faz akımları bulunur.

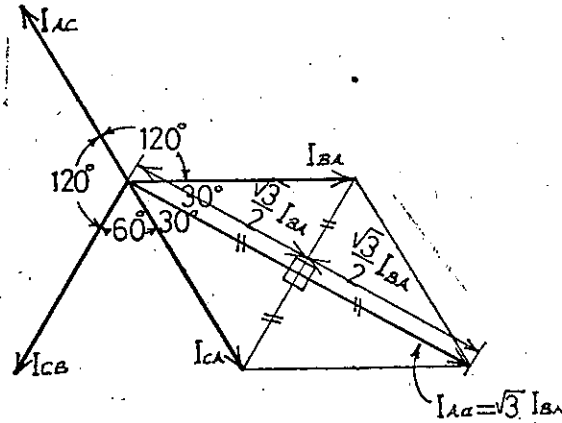
Düğüm noktası A da

$$I_{BA} = I_{Aa} + I_{Ac}$$

veya

$$I_{Aa} = I_{BA} - I_{AC} = I_{BA} + I_{CA}$$

Dengeli bir yük için faz diyagramı şekil 9.17 de görülmektedir.

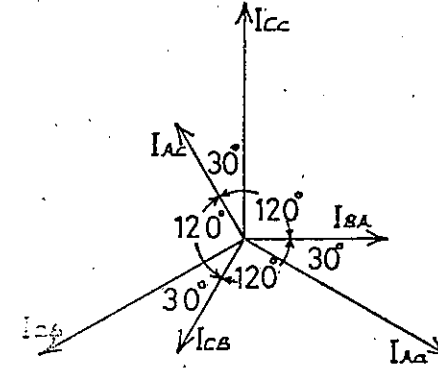


Şekil 9.17

Aynı yöntemi kullanarak yıldız bağlı alternatörlerde hat gerilimi ve hat akımının bulunmasına ait yöntemle üçgen bağlı sistemin hat akımı arasındaki bağıntı aşağıdaki gibi olur.

$$I_H = \sqrt{3} I_\phi \quad (9.13)$$

Hat akımı ile faz akımının yaklaşık değerleri arasındaki açı  $30^\circ$  dir. Akımlara ait faz diyagramları şekil 9.13 de görülmektedir.



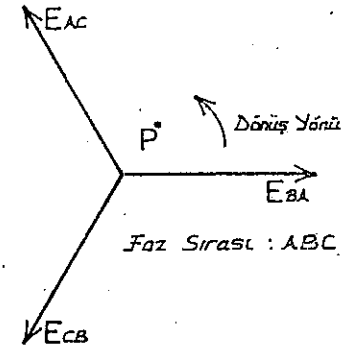
Şekil 9.18

Yıldız bağlı alternatörlerde uygulanan yöntemle hat akımlarının vektörel toplamı veya üçgen bağlı sistem için dengeli yüklerde faz akımları toplamı sıfırdır.

## 9.8 FAZ SIRASI

### (ÜÇGEN BAĞLI ALTERNATÖR)

Üçgen bağlı sistemlerin hat ve faz gerilimleri aynıdır. Bu özellik faz sırasını hat gerilimleri içinde tarif eder. Örneğin faz sırası ABC için hat gerilimlerinin faz diyagramı şekil 9.19 da görülmektedir.



Şekil 9.19



Vektör notasyonu olarak

$$E_{BA} = E_{BA} / 0^\circ$$

$$E_{CB} = E_{CB} / -120^\circ$$

$$E_{AC} = E_{AC} / 120^\circ$$

### 9.9 ÜÇGEN-ÜÇGEN, YILDIZ-YILDIZ

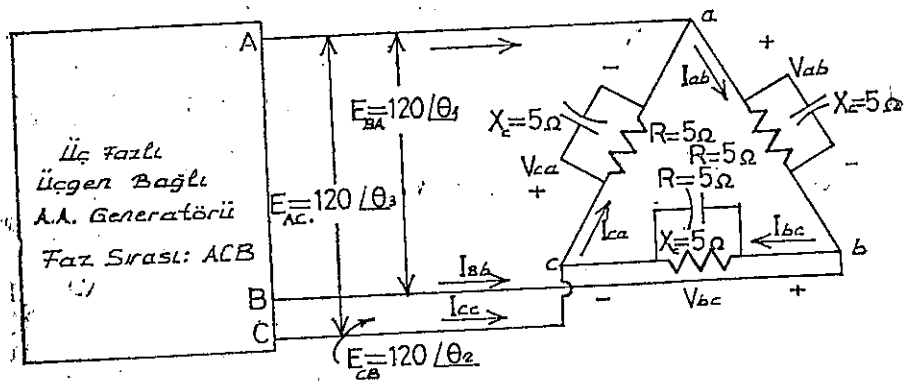
#### ÜÇ FAZLI SİSTEMLER

Gerek  $\Delta$ - $\Delta$  ve gerekse Y-Y sistemleri gereği gibi analiz edebilmek için bazı denklemler gereklidir. Bu bölümde üçgen bağlı yük ile yıldız bağlı yük anlatılacaktır.

#### ÖRNEK: 9.3

Şekil 9.20 deki  $\Delta$ - $\Delta$  bağlı sistem için

- Faç açıları  $\theta_2$  ve  $\theta_3$  belli faz sırası için bulunuz.
- Yükün her bir fazının akımını bulunuz.
- Hat akımının büyüklüğünü bulunuz.



$\Delta$ - $\Delta$  Sistem  
Şekil 9.20

#### Çözüm:

a — Faz sırası ABC için

$$\theta_2 = 120^\circ \text{ ve } \theta_3 = -120^\circ$$

b —  $V_\phi = V_Y$  bunun için

$$V_{ab} = E_{BA}, \quad V_{ca} = E_{AC} \text{ ve } V_{bc} = E_{CB}$$

Faz akımları

$$I_{ab} = \frac{V_{ac}}{Z_{ac}} = \frac{120 / 0^\circ}{(5 / 0^\circ) (5 / -90^\circ)} = \frac{120 / 0^\circ}{25 / -90^\circ} = \frac{120 / 0^\circ}{5 - j5} = \frac{120 / 0^\circ}{3.54 / -45^\circ} = 34 / 45^\circ$$

$$I_{bc} = \frac{V_{bc}}{Z_{bc}} = \frac{120 / 120^\circ}{3.54 / -45^\circ} = 34 / 165^\circ$$

$$I_{ca} = \frac{V_{ca}}{Z_{ca}} = \frac{120 / -120^\circ}{3.54 / -45^\circ} = 34 / -75^\circ$$

$$c — I_Y = \sqrt{3} I_\phi = 1.73 \cdot 34 = 58.8 \text{ Amper}$$

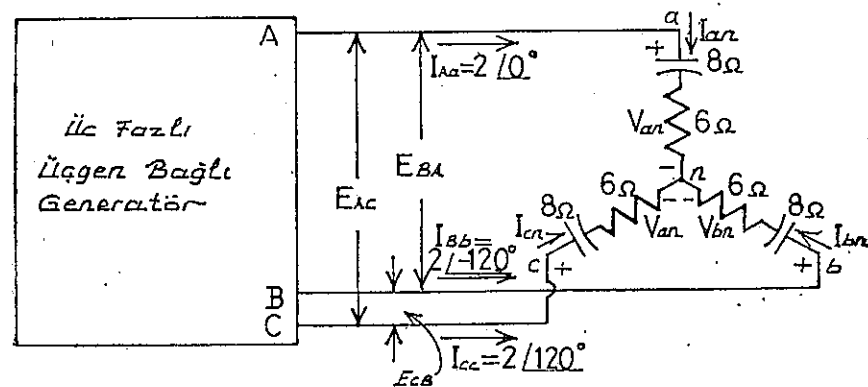
Böylece

$$I_{Aa} = I_{Bb} = I_{Cc} = 58.8 \text{ Amper}$$

#### ÖRNEK: 9.4

Şekil 9.21 deki  $\Delta$ -Y devrede

- Yükün her fazı uçlarındaki gerilim
- Hat geriliminin büyüklüğünü bulunuz.



Y- sistem  
Şekil 9.21

**Çözüm:**

a —  $I_{\phi h} = I_h$  onun için

$$I_{an} = I_{As} = 2 / 0^\circ$$

$$I_{bn} = I_{Bs} = 2 / -120^\circ$$

$$I_{cn} = I_{Cs} = 2 / +120^\circ$$

**Faz gerilimleri**

$$V_{an} = I_{an} Z_{an} = (2 / 0^\circ) (10 / -53^\circ) = 20 / -53^\circ$$

$$V_{bn} = I_{bn} Z_{bn} = (2 / -120^\circ) (10 / -53^\circ) = 20 / -173^\circ$$

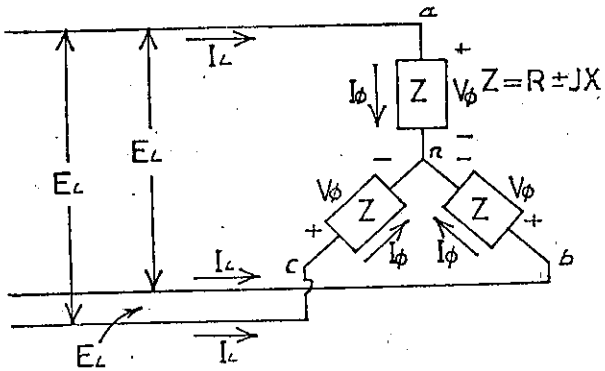
$$V_{cn} = I_{cn} Z_{cn} = (2 / +120^\circ) (10 / -53^\circ) = 20 / 67^\circ$$

b —  $E_h = \sqrt{3} V_\phi = (1.73) \cdot 20 = 34.6$  volt veya

$$E_{BA} = E_{CB} = E_{AC} = 34.6 \text{ volt}$$

**9.10 GÜÇ**

Yıldız bağlı dengeli yük şekil 9.22



Şekil 9.22

**Ortalama Güç**

Her fazda sarfedilen ortalama güç 9.14, 9.15, ve 9.16 daki formüllerle kolayca hesaplanabilir.

$$P_\theta = V_\phi I_\phi \cos \theta = I_\phi^2 R_\phi = \frac{V_\phi^2 R}{R_\phi} \text{ vat} \quad (9.14)$$

Formülde  $\theta$   $V_\phi$  ve  $I_\phi$  arasındaki faç açısıdır.

Dengeli yüklerde toplam güç

$$P_N = 3 P_\theta \text{ vat} \quad (9.15)$$

$V_\theta = \frac{E_h}{\sqrt{3}}$  ve  $I_\phi = I_h$  olduğundan

$$P_T = 3 \frac{E_h}{\sqrt{3}} I_h \cos \theta$$

$$\frac{3}{\sqrt{3}} (1) = \left( \frac{3}{\sqrt{3}} \right) \left( \frac{\sqrt{3}}{\sqrt{3}} \right) = \sqrt{3}$$

Onun için

$$P_T = \sqrt{3} E_h I_h \cos \theta = 3 I_h^2 R_\phi \text{ vat} \quad (9.16)$$

**Reaktif GÜÇ**

Her bir fazın reaktif gücü

$$P_{q\phi} = V_\phi I_\phi \sin \theta = I_\phi^2 X_\phi = \frac{V_\phi^2}{X_\phi} \text{ (var)} \quad (9.17)$$

Yükün toplam reaktif gücü

$$P_{qT} = 3 P_{q\phi} \text{ (var)} \quad (9.18)$$

veya yukarıda görülen yöntemle formül aşağıdaki gibi yazılabilir.

$$P_{qT} = \sqrt{3} E_h I_h \sin \theta = 3 I_h^2 X_\phi \text{ (var)} \quad (9.19)$$

**Görünen GÜÇ**

Her fazın görünen gücü

$$P_{a\phi} = V_\phi I_\phi \text{ (volt-Amper)} \quad (9.20)$$

Yükün toplam görünen gücü ise

$$P_{aT} = 3 P_{a\phi} \text{ (volt-Amper)} \quad (9.21)$$

$$P_{aT} = \sqrt{3} E_h I_h \text{ (volt-Amper)} \quad (9.22)$$

## GÜÇ FAKTÖRÜ

Verilen sistemin güç faktörü ise

$$F_p = \frac{P_T}{P_{aT}} \quad (9.23)$$

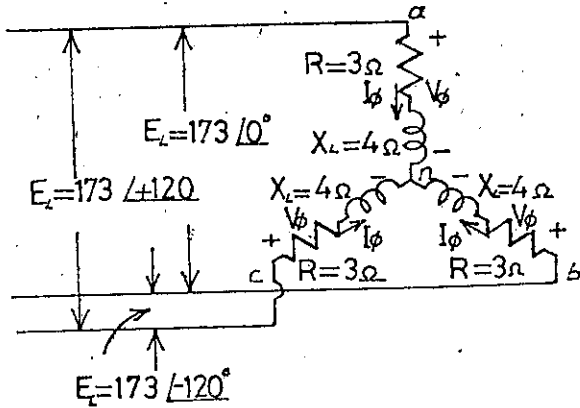
ÖRNEK: 9.5

Şekil 9.23 deki devrede

$$Z_\phi = 3 + j4 = 5 \angle 53^\circ$$

$$V_\phi = \frac{V_h}{\sqrt{3}} = \frac{173}{1.73} = 100 \text{ volt}$$

$$I_\phi = \frac{V_\phi}{Z_\phi} = \frac{100}{5} = 20 \text{ Amper}$$



Şekil 9.23

Ortalama güç

$$P_\phi = V_\phi I_\phi \cos \theta = 100 \cdot 20 \cos 53^\circ = 2000 \cdot 0.6 = 1200 \text{ vat.}$$

$$P_\phi = I_\phi^2 R_\phi = 20^2 \cdot 3 = 400 \cdot 3 = 1200 \text{ vat.}$$

$$P_\phi = \frac{V_R^2}{R_\phi} = \frac{60^2}{3} = \frac{3600}{3} = 1200 \text{ vat.}$$

$$P_T = 3 \cdot P_\phi = 3 \cdot 1200 = 3600 \text{ vat.}$$

veya

$$P_T = \sqrt{3} E_h I_h \cos \theta = 1.73 \cdot (173) \cdot (20) \cdot (0.6) = 3600 \text{ vat.}$$

Reaktif Güç

$$P_{p\phi} = V_\phi I_\phi \sin \theta = 100 \cdot 20 \sin 53^\circ = 2000 \cdot 0.8 = 1600 \text{ var.}$$

veya

$$P_{q\phi} = I_\phi^2 X_\phi = 20^2 \cdot 4 = 400 \cdot 4 = 1600 \text{ var.}$$

$$P_{qT} = 3 \cdot P_{p\phi} = 3 \cdot 1600 = 4800 \text{ var.}$$

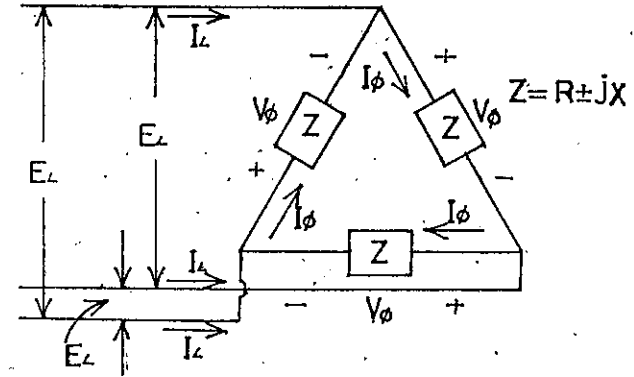
veya

$$P_{qT} = \sqrt{3} E_h I_h \sin \theta = 1.73 \cdot (173) \cdot (20) \cdot (0.8) = 4800 \text{ var.}$$

Güç Faktörü

$$F_p = \frac{P_T}{P_{aT}} = \frac{3600}{6000} = 0.6 \text{ (geri)}$$

Üçgen bağlı dengeli yük şekil 9.24



Şekil 9.24

Ortalama Güç:

$$P_\phi = V_\phi I_\phi \cos \theta = I_\phi^2 R_\phi = \frac{V_R^2}{R_\phi} = \quad (\text{vat}) \quad (9.24)$$

$$P_T = 3 P_\phi \quad (\text{vat}) \quad (9.25)$$

Reaktif Güç

$$P_{q\phi} = V_\phi I_\phi \sin \theta = I_\phi^2 X_\phi = \frac{V_X^2}{X_\phi} \quad (\text{var}) \quad (9.26)$$

$$P_{qT} = 3 P_{q\phi} \quad (\text{var}) \quad (9.27)$$

üçgen Güç

$$P_{a\phi} = V_{\phi} I_{\phi} \quad (\text{volt-Amper}) \quad (9.28)$$

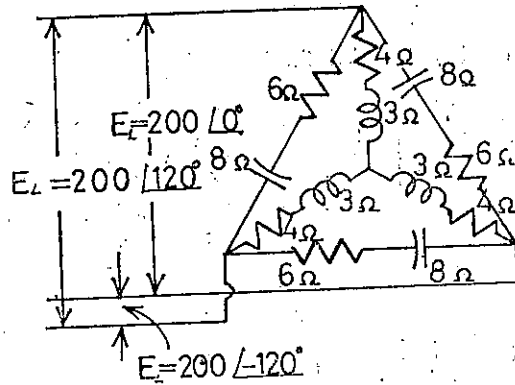
$$P_{aT} = 3 P_{a\phi} = \sqrt{3} E_h I_h \quad (\text{volt-Amper}) \quad (9.29)$$

g Faktörü

$$F_p = \frac{P_T}{P_{aT}} \quad (9.30)$$

### ÖRNEK: 9.5

Şekil 9.25 deki devrede toplam gücü vat, var, volt-Amper olarak bulunuz. Ayrıca bu yükün güç faktörünü hesaplayınız.



Şekil 9.25

**Çözüm:**

Δ ve Y bağlantıyı ayrı ayrı düşünürsek, üçgen bağlama için

$$Z = 6 - j8 = 10 \angle -53^\circ$$

$$I_{\phi} = \frac{200}{10} = 20 \text{ Amper}$$

$$P_T = 3 I_{\phi}^2 R_{\phi} = 3 \cdot 20^2 \cdot 6 = 7200 \text{ vat}$$

$$P_{qT} = 3 I_{\phi}^2 X_{\phi} = 3 \cdot 20^2 \cdot 8 = 9600 \text{ var (Kapasitif)}$$

$$P_{aT} = 3 V_{\phi} I_{\phi} = 3 \cdot 200 \cdot 20 = 12000 \text{ volt-Amper}$$

Yıldız bağlama için

$$Z = 4 + j3 = 5 \angle 37^\circ$$

$$I_{\phi} = \frac{200/\sqrt{3}}{5} = \frac{116}{5} = 23.2 \text{ Amper}$$

$$P_T = 3 I_{\phi}^2 R_{\phi} = 3 \cdot (23.2)^2 \cdot 4 = 6450 \text{ vat}$$

$$P_{qT} = 3 I_{\phi}^2 X_{\phi} = 3 \cdot (23.2)^2 \cdot 3 = 4842 \text{ var (indüktif)}$$

$$P_{aT} = 3 V_{\phi} I_{\phi} = 3 \cdot 116 \cdot (23.2) = 8040 \text{ volt-Amper}$$

$$P_T = P_{T\Delta} + P_{TY} = 7200 + 6450 = 13650 \text{ vat}$$

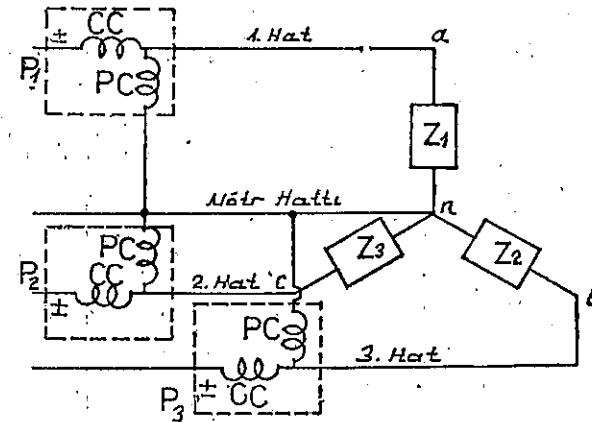
$$P_{qT} = P_{qT\Delta} - P_{qTY} = 9600 \text{ (kap.)} - 4842 \text{ (ind.)} \\ = 4758 \text{ var (kap.)}$$

$$P_{aT} = \sqrt{P_T^2 + P_{qT}^2} = \sqrt{(13650)^2 + (4758)^2} = 14400 \text{ v. A.}$$

$$F_p = \frac{P_T}{P_{aT}} = \frac{13650}{14400} = 0.95 \text{ ileri}$$

### 9.11 ÜÇ VATMETRE YÖNTEMİ

Dengeli veya dengesiz dört telli yıldız bağlı yüklerde sarfedilen güç üç adet vatmetre kullanmak suretiyle şekil 9.26 daki bağlantı yapılarak bulunabilir. Her bir vatmetre yükün her fazında sarfedilen gücü ölçer. Her vatmetrenin gerilim bobini yükü paralel ve akım bobini ise yük ile seri bağlanır. Sistemin ortalama gücü üç vatmetrede okunan değerlerin toplamına eşittir. Buna göre

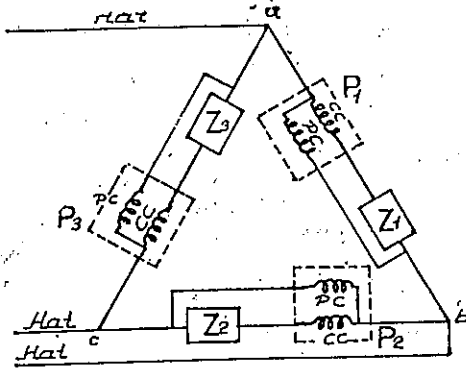


Şekil 9.26

$$P_T = P_1 + P_2 + P_3 \quad (9.31)$$

Dengeli ve dengesiz  $\Delta$  yükler için vatmetreler şekil 9.27 deki gibi bağlanır. Toplam güç vatmetrelerde okunan güçlerin toplamına eşittir. Buna göre toplam güç

$$P_{T\Delta} = P_1 + P_2 + P_3 \quad (9.32)$$

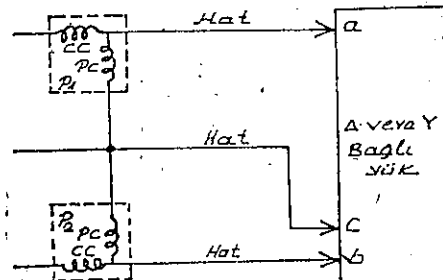


Şekil 9.27

Eğer toplam gücü ölçülecek yük dengeli ise bu gibi koşullarda toplam güç bir vatmetreden okunan gücün üç katına eşittir.

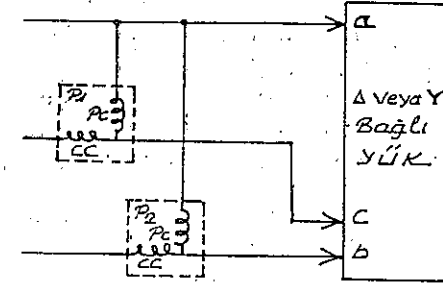
### 9.12 İKİ VATMETRE YÖNTEMİ

Dengeli veya dengesiz devrelerde üç fazlı üç telli yıldız veya üçgen yükte sarfedilen güç uygun bağlantı yapılmak suretiyle iki vatmetre yöntemiyle bu iki vatmetrenin gösterdiği değerler doğru değerlendirilmek koşuluyla ölçülebilir. İki vatmetre ile böyle bir devrenin gücünü ölçmek için şekil 9.28 deki bağlantı yapılır. Vatmetrelerin her ikisine de gerilim bobinlerinin birer ucu beraberce akım bobininin bağlı olmadığı faza bağlanır. Diğer iki faza ise vatmetrenin akım bobinleri bağlanır.



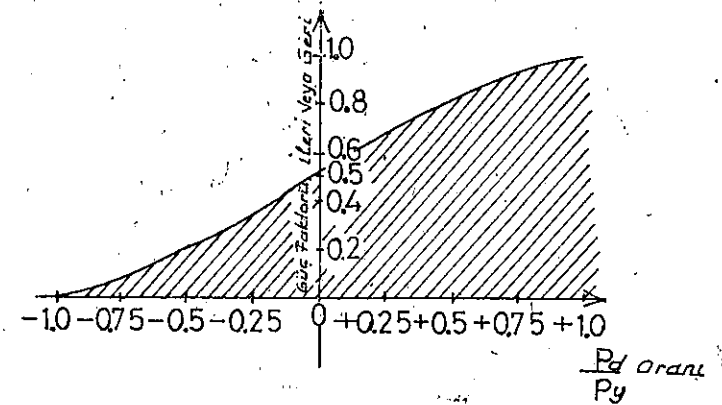
Şekil 9.28

İki vatmetre ile güç ölçmede şekil 9.29 da görülen bağlantıda doğrudur. Böyle bir gücü ölçmek için bu iki bağlantının dışında bir üçüncüsü daha düşünülebilir.



Şekil 9.29

İki vatmetre ile yapılan güç ölçmelerde devrenin toplam gücü vatmetrelerden okunan güçlerin cebirsel toplamına eşittir. Dengeli yük için burada iki yöntem düşünülecektir ki toplam güç ya iki vatmetrenin gösterdiği değerlerin toplamına veya farkına eşit olacaktır. Bu yöntemlerden birincisi güç faktörünün yükün her hangi bir fazında ileri veya geri durumu bilinirse bu bilgiler direkt olarak şekil 9.30 da görülen eğriye uygulanabilir.



Şekil 9.30

Şekil 9.30 da görülen eğri yükün bir fazının güç faktörüne karşın  $P_d/P_y$  oranına göre çizilmiştir. Formülde  $P_d$  ve  $P_y$  değeri vatmetrelerin okunan en düşük ve en yüksek değeri ifade eder. Güç faktörüne diktil edilirse (ileri veya geri) 0.5 den büyüktür ve oran pozitif değerlidir. şunu ifade eder. Her iki vatmetrenin okunan değerleri pozitifdir toplam güç her iki vatmetrede okunan bu değerlerin toplamına eşittir. Yani  $P_T = P_d + P_y$  dir. Güç faktörü 0.5 den küçük değerleri için (ileri veya geri) bu oran negatif değerlidir. Bu şunu ifade eder. Okunan geri küçük olan vatmetrenin gösterdiği değer negatiftir ve toplam güç bu iki vatmetreden okunan değerlerin farkına eşittir.

Yani  $P_T = P_y - P_d$  dir. Üçüncü bir durumda şu olabilir. Güç faktörü bir ise ( $\cos \theta = 1$ ) yük omiktir. ve  $P_d/P_y = 1$  veya  $P_d = P_y$  dir. gibi hallerde her iki vatmetrede aynı değeri gösterir. Güç faktörünün bir olması halinde ( $\cos 90^\circ = 0$ ) yani tamamen reaktif yük için  $P_d/P_y = -1$  veya  $P_d = -P_y$  olacaktır ve her iki vatmetre aynı değeri gösterecektir ama işaretleri ters olacaktır. Negatiften pozitive geç oranı yükün güç faktörü 0.5 veya  $\theta = \cos^{-1} 0.5 = 60^\circ$  dir. Bu güç faktöründe  $P_d/P_y = 0$  dir ve  $P_d = 0$  ken  $P_y$  değeri yükün toplam gücünü (sarfiyatını) gösterir.

Vatmetrelerin gösterdiği değerlerin toplanacağını veya çıkarılacağını gösteren ikinci yöntem ise basit bir laboratuvar deneyini gerektirir. u deneyi uygulamak için vatmetrelerin her ikisinde üst sapma değerine sahip olmalıdır. Eğer vatmetrelerden birisi sıfırın altındaki gösterge değerine sahipse üst sapma değeri vatmetrenin akım bobinin uçlarını değiştirmek suretiyle elde edilebilir. Bu deneyi yapmak için ilk önce düşük değer okunan vatmetrenin gerilim bobinin ucu hattan ayrılır. (Bu uç akım bobini olmayan hatta bağlı veya diğer vatmetrenin gerilim bobinin ucu hattan ayrılır. (Bu uç akım bobini olmayan hatta bağlı veya diğer vatmetrenin gerilim bobini ile müşterek olan uç olmalıdır.)

Hattan çıkarılan bu uç yüksek değer okunan vatmetrenin akım bobininin bağlı olduğu hatta temas ettirilir. Eğer düşük değer gösteren vatmetrenin ibresi yukarı doğru saparsa her iki vatmetrenin gösterdiği değerler toplanır. Eğer aletin ibresi sıfırın altındaki değerlere doğru saparsa düşük değer gösteren vatmetreden okunan değer yüksek değer gösteren vatmetreden okunan değerden çıkarılır.

Dengeli devreler için

$$P_T = P_y \pm P_d = \sqrt{3} E_h I_h \cos \theta \text{ dir.}$$

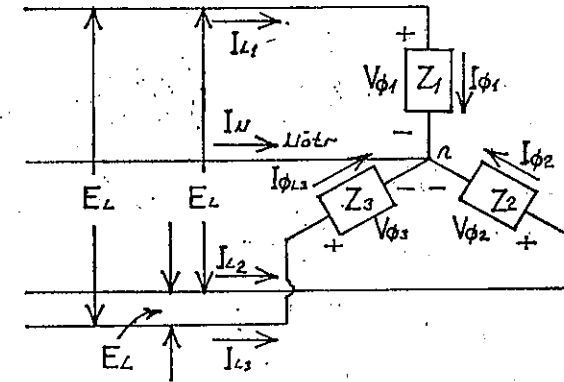
Yükün güç faktörü vatmetreden okunan değer ve hat akım ve geriliminin büyüklükleri yardımıyla aşağıdaki gibi bulunabilir.

$$F_p = \cos \theta = \frac{P_y \pm P_d}{\sqrt{3} E_h I_h} \quad (9.33)$$

### 9.13 DENGESİZ ÜÇ FAZLI DÖRT TELLİ YILDIZ BAĞLI YÜK

Üç fazlı dört telli yıldız bağlı dengersiz bir yük şekil 9.31 de görülmektedir. Dengersiz yüklerde

$$Z_1 \neq Z_2 \neq Z_3$$



Dengersiz yıldıza bağlı yük

Şekil 9.31

Nötr noktası yük ve kaynak için müşterek olduğundan yükün her bir fazının empedansı önemli değildir ve her faz uçlarındaki gerilim generatörün faz gerilimidir.

$$V_\phi = E_\phi \quad (9.34)$$

Böylece faz akımları om kanunu yardımıyla bulunabilir.

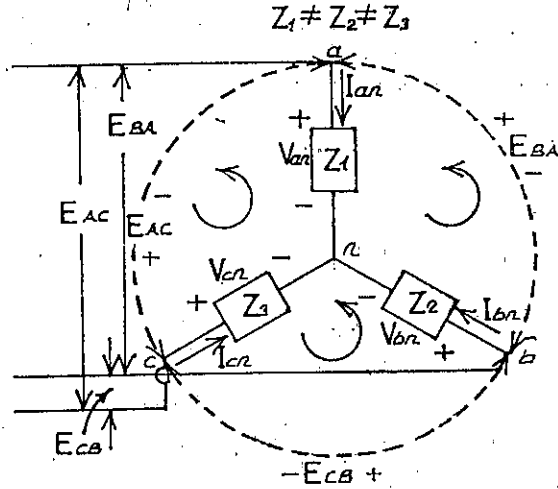
$$I_{\phi_1} = \frac{V_{\phi_1}}{Z_1} = \frac{E_{\phi_1}}{Z_1} \quad (9.35)$$

Dengersiz yüklü devrelerde nötr hattından geçen akım Kirchoff'un akım kanunu müşterek olan N noktasına uygulanır. Buna göre

$$I_N = I_{\phi_1} + I_{\phi_2} + I_{\phi_3} = I_{h_1} + I_{h_2} + I_{h_3} \quad (9.36)$$

### 9.14 DENGESİZ ÜÇ FAZLI ÜÇ TELLİ YILDIZ BAĞLI YÜK

Şekil 9.32 dkei sistem için gerekli denklemler Kirchoff'un gerilim nununu her bir kapalı göze uygulamak suretiyle bulunabilir.



Şekil 9.32

$$E_{BA} - V_{an} + V_{bn} = 0$$

$$E_{CB} - V_{bn} + V_{cn} = 0$$

$$E_{AC} - V_{cn} + V_{an} = 0$$

değerlerini yazarsak

$$V_{an} = I_{an} Z_1$$

$$V_{bn} = I_{bn} Z_2$$

$$V_{cn} = I_{cn} Z_3$$

$$E_{BA} = I_{an} Z_1 - I_{bn} Z_2 \quad (9.37 a)$$

$$E_{CB} = I_{bn} Z_2 - I_{cn} Z_3 \quad (9.37 b)$$

$$E_{AC} = I_{cn} Z_3 - I_{an} Z_1 \quad (9.37 c)$$

noktasına Kirchoff'un akım kanununu uygularsak

$$I_{an} + I_{bn} + I_{cn} = 0 \text{ ve } I_{bn} = -I_{an} - I_{cn}$$

$I_{bn}$  nin değerini denklem 9.37 a ve 9.37 b de yerine koyarsak

$$E_{BA} = I_{an} Z_1 - [- (I_{an} + I_{cn})] Z_2$$

$$E_{CB} = - (I_{an} + I_{cn}) Z_2 - I_{cn} Z_3$$

$$E_{BA} = I_{an} (Z_1 + Z_2) + I_{cn} Z_2$$

$$E_{CB} = I_{an} (-Z_2) + I_{cn} [- (Z_2 + Z_3)]$$

Determinant kullanarak

$$I_{an} = \frac{\begin{vmatrix} E_{BA} & Z_2 \\ E_{CB} & -(Z_2 + Z_3) \end{vmatrix}}{\begin{vmatrix} Z_1 + Z_2 & Z_2 \\ -Z_2 & -(Z_2 + Z_3) \end{vmatrix}}$$

$$= \frac{-(Z_2 + Z_3) E_{BA} - E_{CB} Z_2}{-Z_1 Z_2 - Z_1 Z_3 - Z_2 Z_3 - Z_2^2 + Z_2^2}$$

$$I_{an} = \frac{-Z_1 (E_{BA} + E_{CB}) - Z_2 E_{BA}}{-Z_1 Z_2 - Z_1 Z_3 - Z_2 Z_3}$$

Hat gerilimlerine Kirchoff'un gerilim kanunu uygulanırsa

$$E_{BA} + E_{AC} + E_{CB} = 0 \text{ veya } E_{BA} + E_{CB} = -E_{AC}$$

Yukarıdaki denklemde  $E_{BA} + E_{CB}$  yerine konursa

$$I_{an} = \frac{-Z_2 (E_{AC}) - Z_3 E_{BA}}{-Z_1 Z_2 - Z_1 Z_3 - Z_2 Z_3}$$

$$I_{an} = \frac{E_{BA} Z_3 - E_{AC} Z_2}{Z_1 Z_2 - Z_1 Z_3 - Z_2 Z_3} \quad (9.38)$$

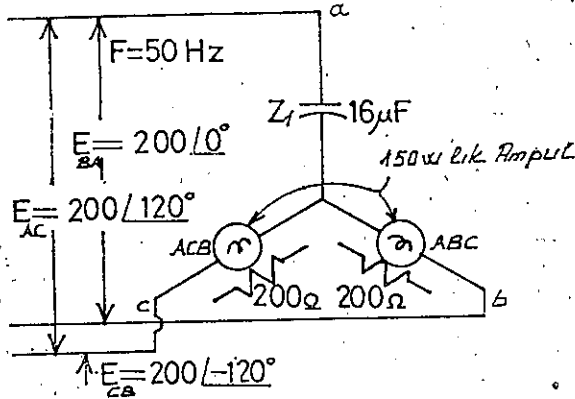
Aynı yöntemi uygularsak  $I_{cn}$  ve  $I_{bn}$  bulunabilir.

$$I_{cn} = \frac{E_{AC} Z_2 - E_{CB} Z_1}{Z_1 Z_2 + Z_1 Z_3 + Z_2 Z_3} \quad (9.39)$$

$$I_{bn} = \frac{E_{CB} Z_1 - E_{BA} Z_3}{Z_1 Z_2 + Z_1 Z_3 + Z_2 Z_3} \quad (9.40)$$

## ÖRNEK: 9.7

Şekil 9.33 deki devrede bir faz sırası aletine aittir. Normal faz sırası C dir. Üç fazlı bu sistemin faz sırasını tesbit ediniz.



Şekil 9.33

bu devre bir faz sırası aletiyle aynı fonksiyonu yaptığına göre verilen faz sırası ABC dir. Faz sırasına tekabül eden lâmba çok parlak yanar ve lâmba göstergesi ABC sırasıdır. Çünkü faz akım ABC lâmbasından geçer. az akımlarının hesaplanması, eğer bu durum oluyorsa gösterecektir.

$$X_c = \frac{1}{\omega C} = \frac{1}{314 (16 \times 10^{-6})} = 166 \text{ om}$$

Denklem 9.39 dan

$$I_{ca} = \frac{E_{AC} Z_2 - E_{CB} Z_1}{Z_1 Z_2 + Z_1 Z_3 + Z_2 Z_3}$$

$$= \frac{(200 \angle 120^\circ) (200 \angle 0^\circ) - (200 \angle -120^\circ) (199 \angle -90^\circ)}{(199 \angle -90^\circ) (200 \angle 0^\circ) + (199 \angle -90^\circ) (200 \angle 0^\circ) + (200 \angle 0^\circ) (200 \angle 0^\circ)}$$

$$= \frac{40000 \angle 120^\circ + 39800 \angle -30^\circ}{39800 \angle -90^\circ + 39800 \angle -90^\circ + 40000 \angle 0^\circ}$$

$$= \frac{(-20000 + J34641) + (34467 - J19900)}{0 - J39800 + 0 - J39800 + 40000}$$

$$= \frac{14467 + J14741}{40000 - J79600}$$

$$= \frac{20654 \angle 45.5^\circ}{89085 \angle -63.3^\circ}$$

$$I_{ca} = 0.231 \angle 108.8^\circ$$

Denklem 9.40 dan

$$I_{ba} = \frac{E_{CB} Z_1 - E_{BA} Z_3}{Z_1 Z_2 + Z_1 Z_3 + Z_2 Z_3}$$

$$= \frac{(200 \angle -120^\circ) (166 \angle -90^\circ) - (200 \angle 0^\circ) (200 \angle 0^\circ)}{89085 \angle -63.3^\circ}$$

$$= \frac{39800 \angle -210^\circ - 40000 \angle 0^\circ}{89085 \angle -63.3^\circ}$$

$$= \frac{-34467 + J19900 - 40000}{89085 \angle -63.3^\circ}$$

$$= \frac{-74467 + J19900}{89085 \angle -63.3^\circ}$$

$$= \frac{77080 \angle 165^\circ}{89085 \angle -63.3^\circ}$$

$$I_{ba} = 0.865 \angle 228.3^\circ$$

Böylece  $I_{ba} > I_{ca}$  dir. Lâmba ABC faz sırasını gösteriyor. Onun için lâmba bu büyük akımdan dolayı parlak yanar. Eğer faz sırası ACB olsa idi bunun tersi olurdu.

## PROBLEMLER

Bölüm: 9.5

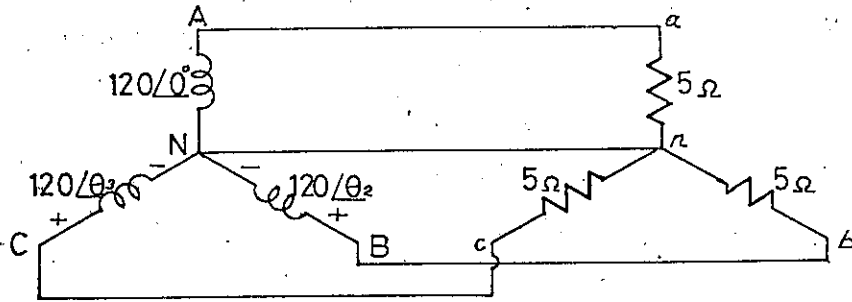
- 1 — Her bir kolun direnci 10 om olan yıldız bağlı üç fazlı dört telli bir yük hat gerilimi 208 v olan alternatöre bağlanırsa
  - a — Alternatörün faz gerilimini
  - b — Yükün faz gerilimini
  - c — Yükün faz akımını
  - d — Hat akımını bulunuz.



Problem 1 deki yükün bir koluna direnci 12  $\Omega$  ve buna seri bağlı 16 mH luk kapasitif reaktans ekleyerek problemi tekrarlayınız.

3 — Şekil 9.34 deki yıldız-yıldız bağlı sistemin faz sırası ABC olduğuna göre-

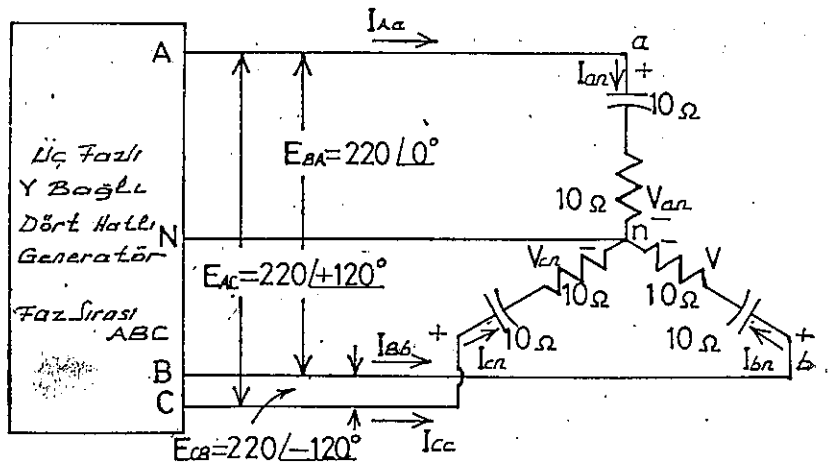
- Faz sırasına göre  $\theta_2$  ve  $\theta_3$  açılarını bulunuz.
- Faz empedansı uçlarındaki gerilimi vektör olarak bulunuz.
- Her faz empedansından geçen akımı vektör olarak bulunuz.
- c bölümünde bulunan akımların faz diyagramını çiziniz ve toplamalarının sıfır olduğunu gösteriniz.
- Hat akımlarının büyüklüğünü bulunuz.
- Hat gerilimlerinin büyüklüğünü bulunuz.



Şekil 9.34

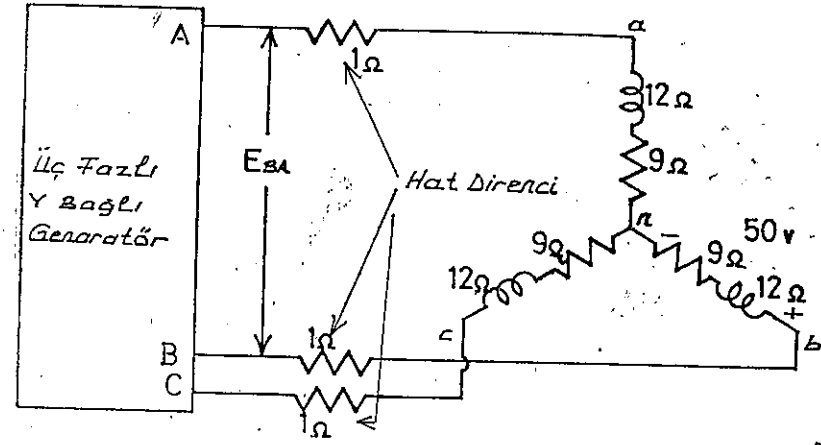
4 — Problem 3 ü faz empedansları 9  $\Omega$  ve indüktif reaktansları 12  $\Omega$  olarak değiştirerek tekrar ediniz.

5 — Şekil 9.35 deki dengeli üç fazlı sistemde gerilim ve akımların büyüklüğünü bulunuz.



Şekil 9.35

6 — Şekil 9.36 daki dengeli üç fazlı sistemde  $E_{BA}$  geriliminin büyüklüğünü bulunuz.



Şekil 9.36

Bölüm: 9.6

7 — Dengeli üçgen bağlı bir yükün kollarının direnci 20  $\Omega$  dur. Bu yük üç fazlı üç telli yıldız bir alternatöre bağlıdır ve hat gerilimi 208 V dur.

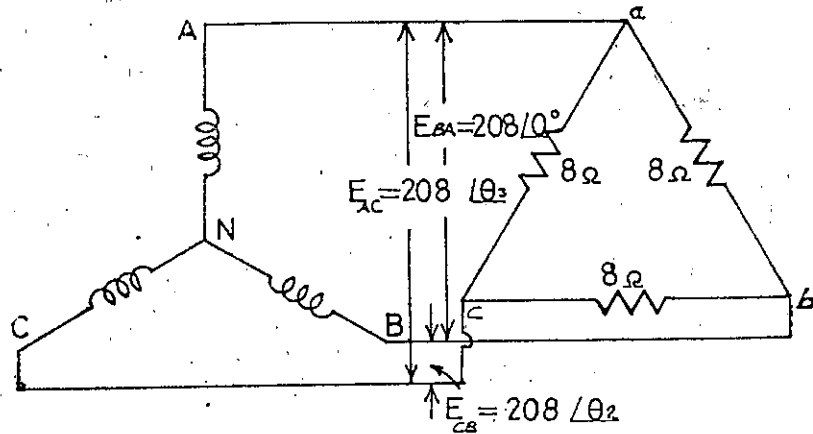
- Alternatörün faz gerilimi büyüklüğünü
- Yükün faz geriliminin büyüklüğünü
- Yükün faz akımının büyüklüğünü
- Hat akımının büyüklüğünü bulunuz.

8 — Problem 7 yi her faz empedansı 7  $\Omega$  dirençle 14  $\Omega$  indüktif reaktansla seri bağlı olduğuna göre tekrarlayınız.

9 — Problem 7 yi her faz empedansı 8  $\Omega$  dirençle 8  $\Omega$  kapasitif reaktans paralel bağlı olduğuna göre tekrarlayınız.

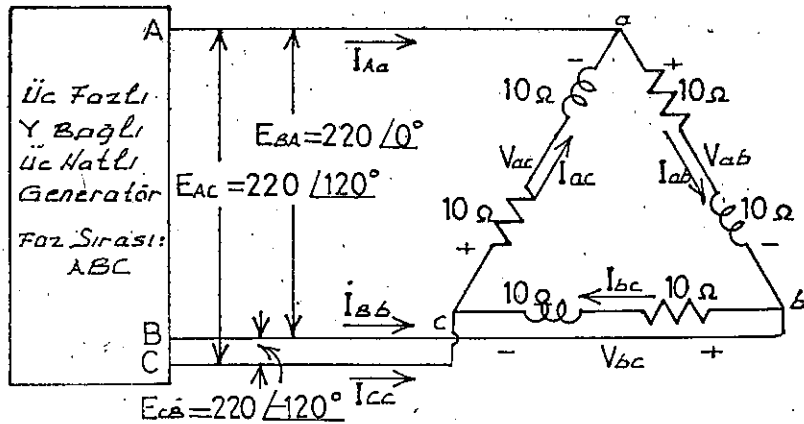
10 — Şekil 9.37 deki yıldız-üçgen sistem için faz sırası ABC dir.

- Faz sırası için  $\theta_2$  ve  $\theta_3$  açılarını bulunuz.
- Her faz empedansı uçlarındaki gerilimi vektör olarak bulunuz.
- b bölümünde bulunan gerilimlerin vektör diyagramını çiziniz ve bunların toplamının sıfır olduğunu gösteriniz.
- Her faz empedansından geçen akımı vektör olarak bulunuz.
- Hat akımının büyüklüğünü bulunuz.
- Alternatör faz geriliminin büyüklüğünü bulunuz.



Şekil 9.37

- 11 — Şekil 9.38 deki devrede bilinmeyen akım ve gerilimlerin büyüklüğünü bulunuz.



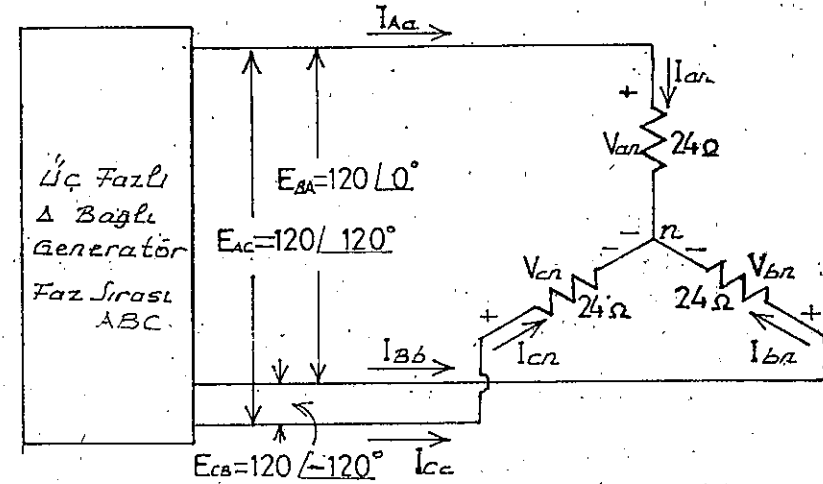
Şekil 9.38

## Bölüm: 9.9

- 12 — Her bir kolun direnci 6 om olan yıldız bağlı bir yük üç fazlı üçgen bağlı ve hat gerilimi 208 v olan bir alternatöre bağlanmıştır.

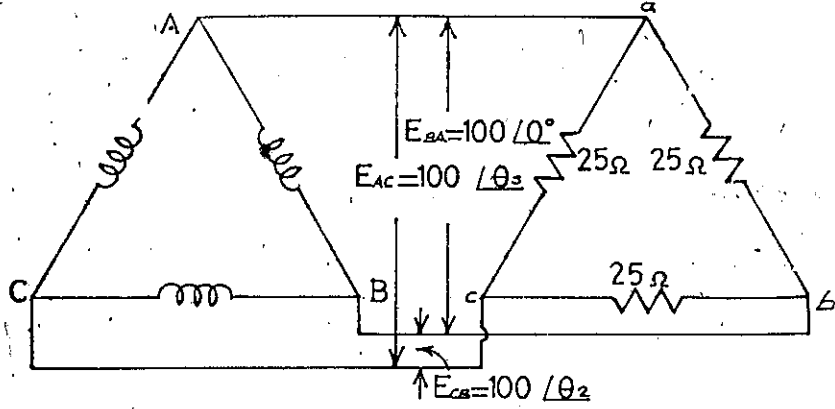
- a — Alternatörün faz geriliminin büyüklüğünü  
b — Yükün faz geriliminin büyüklüğünü  
c — Yükün faz akımının büyüklüğünü  
d — Hat akımını hesaplayınız.

- 13 — Problem 12 de her faz empedansı 9 om direnç ile 9 om luk indüktif reaktans seri bağlandığına göre tekrarlayınız.  
14 — Şekil 9.39 daki devrede bilinmeyen gerilim ve akımların büyüklüğünü bulunuz.



Şekil 9.39

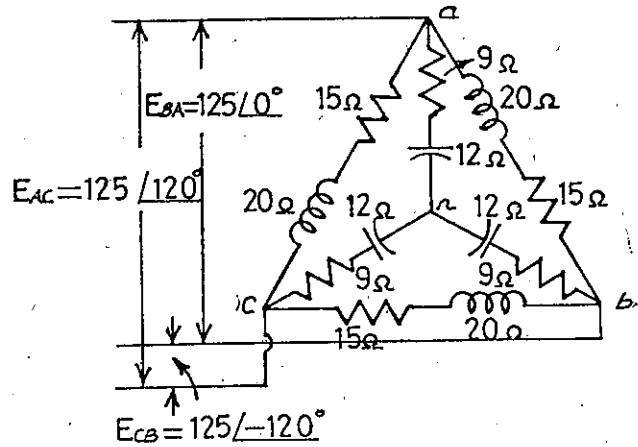
- 15 — Her bir kolun direnci 50 om olan dengeli üçgen bağlı bir yük hat gerilimi 440 v olan alternatöre bağlanıyor.  
a — Alternatörün faz geriliminin büyüklüğünü  
b — Yükün faz geriliminin büyüklüğünü  
c — Yükün faz akımının büyüklüğünü  
d — Hat akımını bulunuz.  
16 — Şekil 9.40 daki üçgen-üçgen devrenin faz sırası ABC olduğuna göre  
a — Faz sırasına göre  $\theta_2$  ve  $\theta_3$  açılarını bulunuz.  
b — Her faz empedansı uçlarındaki gerilimi vektör olarak bulunuz.  
c — b de bulunan gerilimlerin vektörlerini çiziniz ve üçgen yükün kapalı gözönünde vektör toplamının sıfır olduğunu gösteriniz.  
d — Her bir empedandan geçen akımı vektör olarak bulunuz.  
e — Hat akımlarının büyüklüğünün bulunuz.



Şekil 9.40

## Bölüm: 9.10

- 17 — Problem 3 teki devrede toplam vattı, var, v.A. ile üç fazlı sistemin  $F_p$  değerini bulunuz.
- 18 — Problem 11 deki devrede toplam vattı, var, v.A. ile sistemin  $F_p$  değerini bulunuz.
- 19 — Üçgen bağlı üç fazlı dengeli bir yükün hat gerilimi 200 v ve sarfedilen güç 4800 vat olup güç faktörü 0.8 geridir. Her fazın empedansını dik bileşenler formunda bulunuz.
- 20 — Şekil 9.41 deki devrenin toplam vat, var, v.A. ve güç faktörü  $F_p$  değerini bulunuz.

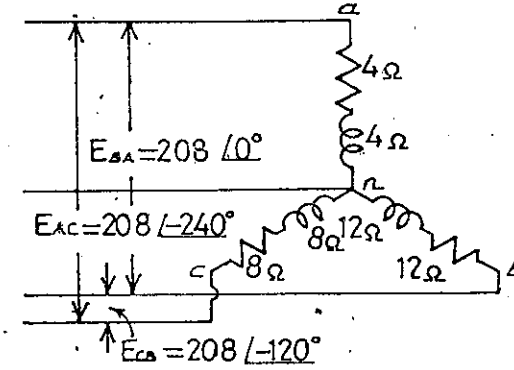


Şekil 9.41

## Bölüm: 9.13

- 21 — Şekil 9.42 deki devrede aşağıdaki değerlerin büyüklüklerini bulunuz.

- a — Yükün her fazı uçlarındaki gerilimin  
 b — Yükün her fazından geçen akımın  
 c — Toplam vat, var, v.A. ve güç faktörü  $F_p$  yi bulunuz.



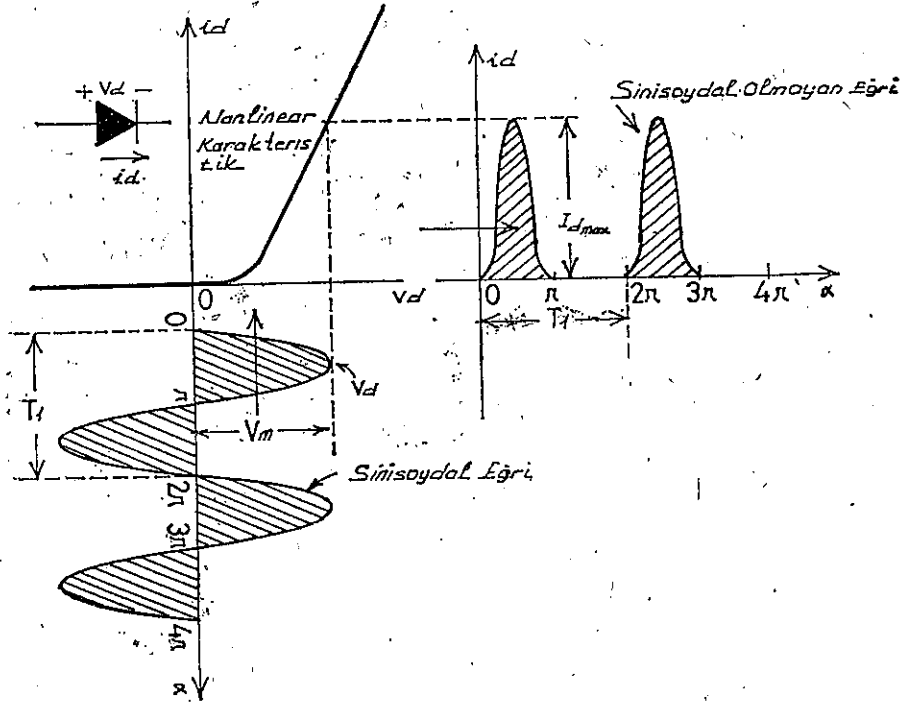
Şekil 9.42

## SİNÜSOİDAL OLMAYAN DEVRELER

### 10.1 GİRİŞ

Bölüm 1 de alternatif akım ve sinüs eğrisi anlatıldı. Alternatif akımın temel eğrisi olan sinüs eğrisinden farklı olan eğrilere sinüs olmayan (Nonsinusoidal) eğriler denir. Buradan anlaşıldığı gibi doğru akım veya gerilimin eğrileriyle, kaydedilen bir ses titreşimlerinin meydana getirdiği eğriler birer nonsinusoidal eğrilerdir.

Nonsinusoidal eğriler genellikle periyodiktir, fakat eğriyi meydana getiren kuvvet ses tonu ise bu tondaki değişme eğride bazı değişikliklere neden olur. Pek çok elektrik ve elektronik cihazların çıkış sinyali nonsinusoidal bir eğri meydana getirir, eğer bu cihaza uygulanan sinyal sinüsoidal ise. Örneğin bir diyodun sinüsoidal olmayan karakteristik eğri şekli 10.1 de görülmektedir.



Şekil 10.1

Eğer diyodun uçlarına sinüsoidal bir gerilim uygulanırsa diyottan geçen akımın eğrisi şekil 10.1 de görüldüğü gibi nonsinusoidal olur. Elde edilen akımın eğrilerine dikkat edilirse bu eğrilerin periyodik olduğu görülür. Meydana gelen bu periyot giriş sinyalinin periyodunun aynıdır. Periyodik bir nonsinusoidal çıkış her hangi bir nonlinear sisteme uygulanan giriş sinyali sinüsoidal ise bu nonsinusoidal eğriler sistemde kalıcı etkilere neden olmaz.

Bu bölümde periyodik nonsinusoidal girişe sistemin tepkisini elde etme yöntemlerini araştıracağız.

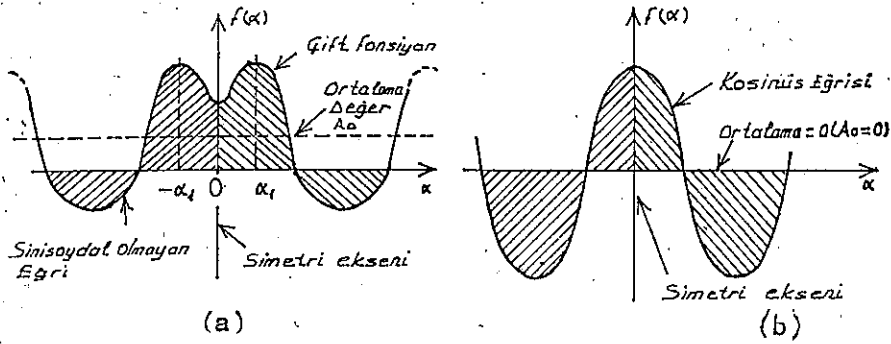
### 10.2 FOURIER SERİSİ

Fourier serisi, seri bir grup terim olup sinüsoidal olmayan eğrilerin ifadesinde kullanılır. Bu tip eğrilerin analizinde her terim Fourier serisi ile çözümler. Formül olarak Fourier serisi aşağıdaki gibidir.

$$F(\alpha) = A_0 + A_1 \cos \alpha + A_2 \cos 2\alpha + A_3 \cos 3\alpha + A_n \cos n\alpha + B_1 \sin \alpha + B_2 \sin 2\alpha + B_3 \sin 3\alpha + \dots + B_n \sin n\alpha \quad (10.1)$$

Dalga şekline bağlı olarak pek çok terimleri içeren formül devre analizinin amacına göre eğrinin yaklaşık değeri alınabilir. Fourier serisi üç temel bölüme ayrılabilir. Bunlardan birincisi doğru akım terimi için  $A_0$  dir.  $A_0$  değeri için eğrinin bir tam sayıklık süresinin ortalama değeridir. İkincisi ise cos ünüs terimi serileridir. Burada değerler sayısında bir sınırlama yoktur veya cos ünüs terimlerinin büyüklüğünün ilgili değerleridir, fakat her bir terim frekansa sahip olup birinci cos ünüs terimi serisinin çoğu tamsayıdır. Üçüncü bölüm ise sinüs terimleri serisidir.

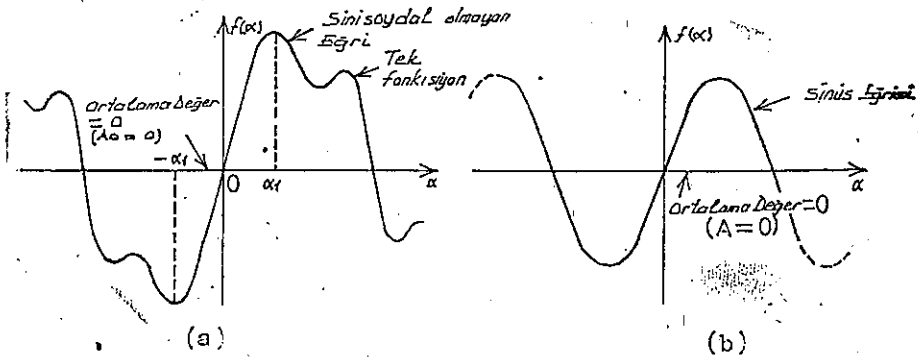
Özel bir eğri için büyük bir olasılıkla sinüs ve cos ünüs terimleri sıfır olabilir. Bu geçidin karakteristik değerleri nonsinusoidal eğrinin ve onun yatay eksenindeki pozisyonunu tesbit eder. Eğer eğri dikey eksene göre simetrik ise bu durum çift fonksiyon olarak anılır. Böyle bir eğri şekli 10.2 de görülmektedir. Bütün çift fonksiyonlar için  $B_1 \rightarrow n$  sabit değeri sıfır olur. Böylece eğri tamamen dc ve cos ünüs terimleri yardımıyla anlaşılabilir. Dikkat edilirse şekil 10.2 b de görülen her ikisi için aşağıdaki matematiki ifadeler kullanılabilir.



Şekil 10.2 a, b

$$F(\alpha) = f(-\alpha) \quad (\text{Çift fonksiyon}) \quad (10.2)$$

Bu formülün ifadesi şudur. Fonksiyonun büyüklüğü  $+\alpha$  da da  $-\alpha$  ( $\alpha_1$ ) iken şekil 10.3 a daki gibi aynıdır. Eğer bir eğri kendisinin  $+\alpha$  değeri için  $-\alpha$  nın negatif değerinde oluyorsa bu değer tek fonksiyon veya nokta simetri diye anılır ve bütün sabitler  $A_1 \rightarrow n$  sıfır olur. Bütün fonksiyonlar  $\alpha$  ve  $-\alpha$  sinüs terimleri içinde temsil edilebilirler. Buna göre dikkat edilirse sinüs eğrisi kendisinin tek fonksiyonudur.



Şekil 10.3

Noktaya göre simetrik

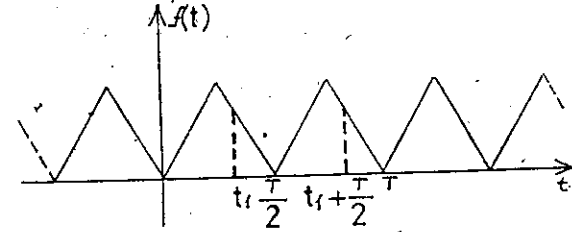
Şekil 10.3 de görülen bütün eğrilerin aşağıdaki matematiksel ilişkileri doğrudur.

$$F(\alpha) = -f(-\alpha) \quad (\text{Tek fonksiyon}) \quad (10.3)$$

Bu eşitliğin anlamı şudur.  $+\alpha$  değerinde fonksiyonun büyüklüğü  $-\alpha$  ( $\alpha_1$ ) değerindeki büyüklüğünün negatifine eşittir. Sinüs ve cosünüs serilerindeki ilk terim temel eleman olarak anılır. Bu minimum frekans terimin özel bir eğrisini temsil eder. Esas eleman terimi her hangi bir Fourier serisinde ifade edilmelidir. Yüksek dereceli frekanslarda diğer terimler harmonik terimler olarak anılır. Esas veya temel elemanın ikinci değerine sahip frekans değerine ikinci harmonik denir. Bu harmonikler dizisi üçüncü, dördüncü, beşinci harmonik olarak devam eder. Eğer eğri aşağıdaki gibi ise

$$F(t) = f\left(\frac{T}{2} + t\right) \quad (10.4)$$

sinüs ve cosünüs serilerinin tek harmonikleri sıfırdır. Şekil 10.4 deki eğri bu fonksiyon tipi bir örnektir.



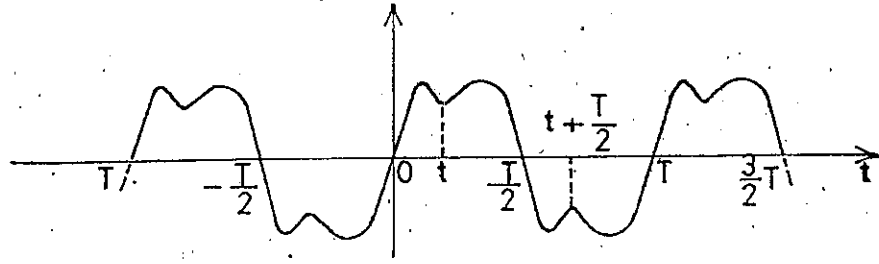
Şekil 10.4

Formül 10.4 ün ifadesi şöyledir. Bu tip bir denkleme sahip bir fonksiyon kendisini her  $T/2$  zaman aralığından sonra yeniler. Başka bir ifadeyle eğri kendisini her peryot sonunda tekrar eder. Genel olarak bu tip bir fonksiyon eğer  $T$  peryodu minimum peryot ( $T/2$ ) nin iki katı seçilirse tek harmonikler sıfır olur. Eğer eğri aşağıdaki gibi ise

$$F(t) = -f\left(\frac{T}{2} + t\right) \quad (10.5)$$

eğri yarım dalga veya ayna simetri olarak anılır ve sinüs ile cosünüs serilerinin çift harmonikleri sıfır olur. Şekil 10.5 deki eğri bu fonksiyon tipi bir örnektir. Formül 10.5 in anlamı şöyledir.  $T/2$  lik bir zaman aralığı içeren bir eğri kendisini  $T/2$  lik bir zaman sona tekrar edecektir. Yani eğri her  $T/2$  lik zaman aralıklarıyla tekrarlanacaktır.

Örneğin şekil 10.5 deki eğri sıfırdan  $T/2$  ye kadar kendisini  $T/2$  den  $T$  ye kadar zaman aralığında tekrar edecektir. Bu  $T/2$  den  $T$  ye kadar olan kısımdaki eğri yatay eksenin alt kısmında olur.



Şekil 10.5  
(Ayna simetri)

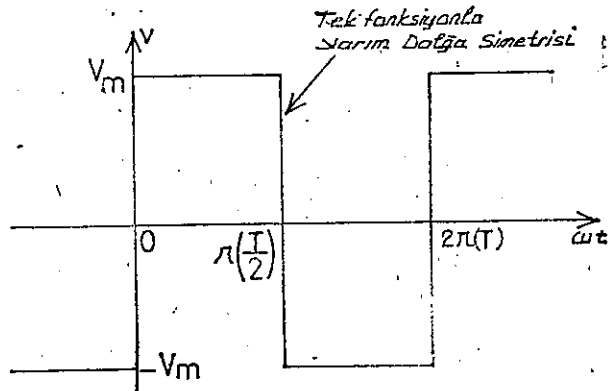
Sabit değerler  $A_0$ ,  $A_1 \rightarrow n$ ,  $B_1 \rightarrow n$  değerleri aşağıdaki integral formlerini kullanarak tesbit edilebilir.

$$A_0 = \frac{1}{T} \int_0^T f(t) dt = \frac{1}{2\pi} \int_0^{2\pi} f(\alpha) d\alpha \quad (10.6)$$

$$A_n = \frac{2}{T} \int_0^T f(t) \cos n\omega t dt = \frac{1}{\pi} \int_0^{2\pi} f(\alpha) \cos n\alpha d\alpha \quad (10.7)$$

$$B_n = \frac{2}{T} \int_0^T f(t) \sin n\omega t dt = \frac{1}{\pi} \int_0^{2\pi} f(\alpha) \sin n\alpha d\alpha \quad (10.8)$$

Fourier serilerinin uygulanmasına bir yaklaşım olarak şekil 10.6 deki kare dalgaları düşünelim. Bu eğrilerde ortalama değer sıfırdır. Böylece  $A_0 = 0$  dir. Bu ise bir tek fonksiyondur. Böylece bütün sabitler  $A_1 \rightarrow n$  sıfırdır. Sadece sinüs terimi seri değerler içinde ifade edilir.



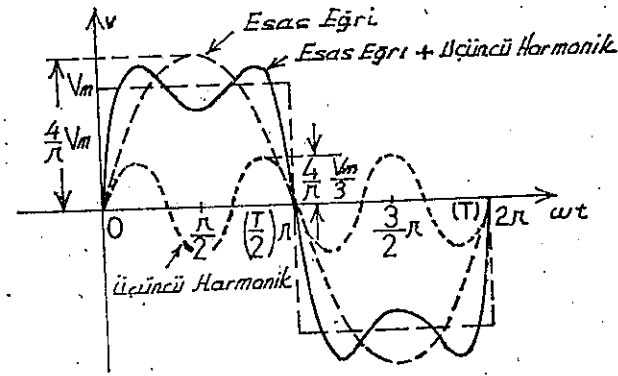
Şekil 10.6  
Kare dalga

Eğri  $F(t) = -f(T/2 + t)$  kriteri ile yeterli olduğundan çift harmonikler sıfır olur.

Formül 10.8 de çeşitli katsayıların değerlendirilmesinden sonra aşağıdaki ifade elde edilir.

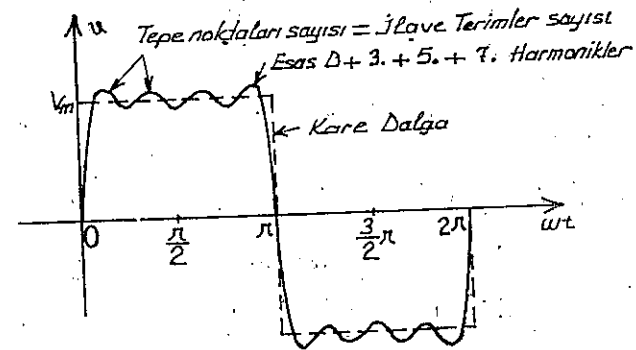
$$v = \frac{4}{\pi} V_m \left[ \sin \omega t + \frac{1}{3} \sin 3\omega t + \frac{1}{5} \sin 5\omega t + \frac{1}{7} \sin 7\omega t + \dots + \frac{1}{n} \sin n\omega t \right] \quad (10.9)$$

Dikkat edilirse esas eğri kare eğrinin frekansını meydana getiriyor. Eğer esas eğriyi ve üçüncü harmoniyi toplarsak şekil 10.7 deki eğriyi elde ederiz.



Şekil 10.7

Sadece çift ilk terimlerle eğri şekli tıpkı bir kare eğri şeklinde başlıyor. Eğer gelecek iki terimi eklersek şekil 10.8 deki titreşim (pulse) genişliği artar ve tepe noktaları sayısı çoğalır.



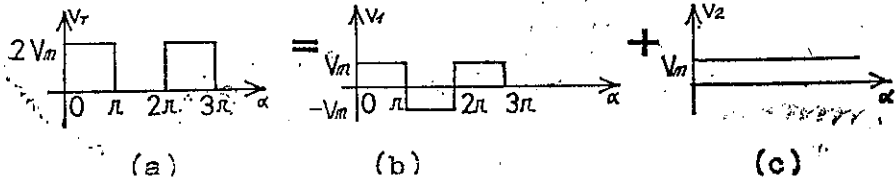
Şekil 10.8

Tek terimleri toplamaya devam edersek seri kare eğri şekline yaklaşmış oluruz. Dikkat edilirse her fazla terimin büyüklüğü bir noktaya doğru azalıyor ki bu ilk bir kaç terimle karşılaştırılırsa ihmal edilecek kadar küçüktür. İyi bir yaklaşımla eğri dokuzuncu harmonikte yekpare olarak oluşur,

Her hangi bir yüksek harmonik esas eğrinin 1/10 harmoniğinden az olacaktır. Eğer bu eğri yatay eksenin altına veya üstüne hareket ettirilirse Fourier serisi doğru akım terimi içerisinde değiştirilmiş olacaktır. Örneğin şekil 10.9 a daki eğri 10.9 b ve 10.9 c deki eğrilerin toplamıdır. Bunun için eğrinin Fourier serisi aşağıdaki gibidir.

$$v_T = V_m + \text{formül 10.9.}$$

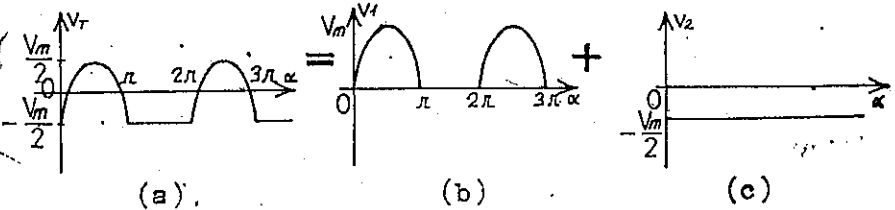
$$= V_m + \frac{4}{\pi} V_m \left( \sin \omega t + \frac{1}{3} \sin 3\omega t + \frac{1}{5} \sin 5\omega t + \frac{1}{7} \sin 7\omega t + \dots \right)$$



Şekil 10.9

Şekil 10.10b deki eğrinin titreşim formülü aşağıdaki gibidir.

$$v = 0.318 V_m + 0.500 V_m \sin \alpha - 0.212 V_m \cos 2\alpha - 0.0424 V_m \cos 4\alpha \dots (10.10)$$

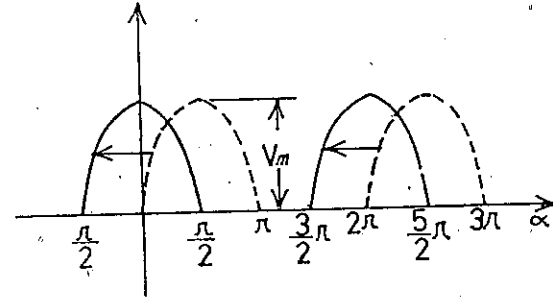


Şekil 10.10 a daki eğri şekil 10.10 b ve c deki iki eğrinin toplamına eşittir. Bu toplam eğri için Fourier serisi olarak ifadesi aşağıdaki gibidir.

$$v_T = -\frac{V_m}{2} + \text{formül 10.10}$$

$$= [-0.500 + 0.318] V_m + 0.500 V_m \sin \alpha - 0.212 V_m \cos 2\alpha - 0.424 V_m \cos 4\alpha + \dots$$

Eğer eğri sağa veya sola hareket ettirilirse hareket fazı sinüs veya cosünüs terimlerinden ya çıkarılır veya toplanır. Dc terimi sağa veya sola harekette değişmemelidir. Eğer doğrultulmuş yarım dalga sinyali 90° sola kaydırılırsa şekil 10.11 deki Fourier serisi aşağıdaki gibi olur.



Şekil 10.11.

$$v_o = 0.318 V_m + 0.500 V_m \sin (\alpha + 90^\circ) - 0.212 V_m \cos 2(\alpha + 90^\circ) - 0.0424 V_m \cos 4(\alpha + 90^\circ) + \dots$$

$$= 0.318 V_m + 0.500 V_m \sin (\alpha + 90^\circ) - 0.212 V_m \cos (2\alpha + 180^\circ) - 0.0424 V_m \cos (4\alpha + 360^\circ) + \dots$$

$$v_o = 0.318 V_m + 0.500 V_m \cos \alpha + 0.212 V_m \cos 2\alpha - 0.0424 V_m \cos 4\alpha + \dots$$

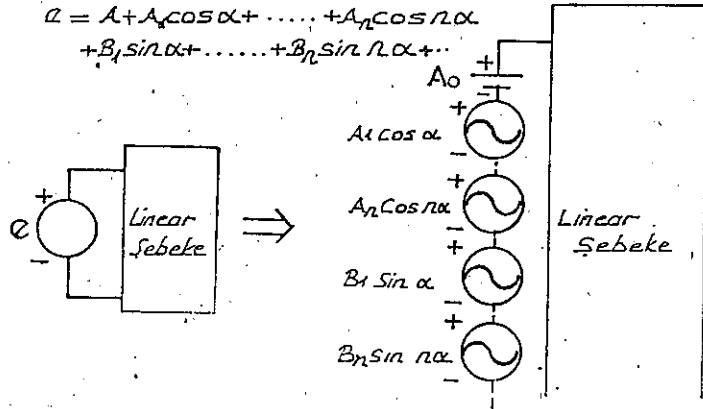
Eğer aynı eğri 90° sağa doğru kaydırılırsa Fourier serisi aşağıdaki gibi olur.

$$v_o = 0.318 V_m + 0.500 V_m \sin (\alpha - 90^\circ) - 0.212 V_m \cos 2(\alpha - 90^\circ) - 0.0424 V_m \cos 4(\alpha - 90^\circ) + \dots$$

$$= 0.318 V_m - 0.500 V_m \cos \alpha + 0.212 V_m \cos 2\alpha - 0.0424 V_m \cos 4\alpha + \dots$$

### 10.3 DEVRELERİN NONSİNUSİDAL GİRİŞE TEPKİSİ

Superposition teoremini kullanarak Fourier serisi ile ifade edilen nonsinüsoidal girişler lineer devrelere uygulanabilir. Hatırlanacağı gibi bu teorem devreye her bir kaynağın etkilerini müstakil olarak bulmamıza yarar. Pratik uygulamalar için eğer nonsinüsoidal girişi Fourier serisi varsayarak devreye bağlarsak superposition kullanarak şekil 10.12 deki devrenin her bir elemanın tepkisi bulunabilir.



Şekil 10.12

Sistemin toplam tepkisi her bir terim için elde edilen değerlerin cebirsel toplamıdır. Nonsinüsoidal devreler için bu teorem ile daha önceden anlatılan devrelerin ana değişikliği bu devrelerin frekanslarının nonsinüsoidal uygulamalarda her bir terim için farklı olmasıdır. Bunun için reaktanslarda

$$X_L = 2\pi f L \quad \text{ve} \quad X_C = \frac{1}{2\pi f C}$$

her bir terimin giriş voltaj veya akımı değişecektir.

Bölüm 1 de her hangi bir eğrinin efektif değeri aşağıdaki gibi bulunmuştur.

$$\sqrt{\frac{1}{T} \int_0^T [f(t)]^2 dt}$$

Şayet bu denklemi aşağıdaki Fourier serisini uygularsak

$$v(\alpha) = v_0 + V_{m1} \cos \alpha + \dots + V_{mn} \cos n\alpha + V'_{m1} \sin \alpha + \dots + V_{mn} \sin n\alpha$$

$$V_{\text{etkin}} = \sqrt{V_0^2 + \frac{V_{m1}^2 + \dots + V_{mn}^2 + V'^2_{m1} + \dots + V'^2_{mn}}{2}} \quad (10.11)$$

$$\frac{V_{m1}}{2} = \left(\frac{V_{m1}}{\sqrt{2}}\right) \left(\frac{V_{m1}}{\sqrt{2}}\right) = (V_{1 \text{ et.}}) (V_{1 \text{ et.}}) = V_{1 \text{ et.}}^2$$

$$V_{\text{et}} = \sqrt{V_0^2 + V_{1 \text{ et.}}^2 + \dots + V_{n \text{ et.}}^2 + V_{1 \text{ et.}}^2 + \dots + V_{n \text{ et.}}^2} \quad (10.12)$$

Aynı şekilde

$$i(\alpha) = I_0 + I_{m1} \cos \alpha + \dots + I_{mn} \cos n\alpha + I'_{m1} \sin \alpha + \dots + I'_{mn} \sin n\alpha$$

$$I_{\text{et}} = \sqrt{I_0^2 + \frac{I_{m1}^2 + \dots + I_{mn}^2 + I'^2_{m1} + \dots + I'^2_{mn}}{2}} \quad (10.13)$$

ve

$$I = \sqrt{I_0^2 + I_{1 \text{ et.}}^2 + \dots + I_{n \text{ et.}}^2 + I'^2_{1 \text{ et.}} + \dots + I'^2_{n \text{ et.}}} \quad (10.14)$$

Toplam sarfiyat gerilim ve akım elemanlarına tekabül eden sarfiyatların toplamına eşittir. Aşağıdaki denklemler akım ve gerilimlerin efektif değerleridir.

$$P_T = V_0 I_0 + V_1 I_1 \cos \theta_1 + \dots + V_n I_n \cos \theta_n + \dots \quad (10.15)$$

$$P_T = I_0^2 R + I_1^2 R + \dots + I_n^2 R + \dots \quad (10.16)$$

Veya

$$P_T = I_{\text{et.}}^2 R \quad (10.17)$$

Denklem 10.13 de  $I_{\text{et.}}$  değeri anlatıldığı gibi

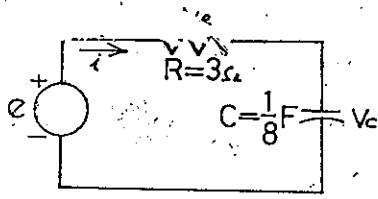
$$P_T = V_{\text{et.}}^2 / R \text{ dir.} \quad (10.18)$$

#### ÖRNEK: 10.1

Şekil 10.13 deki devrenin giriş değeri aşağıdaki gibidir.

$$e = 12 + 10 \sin 2t$$





Şekil 10.13

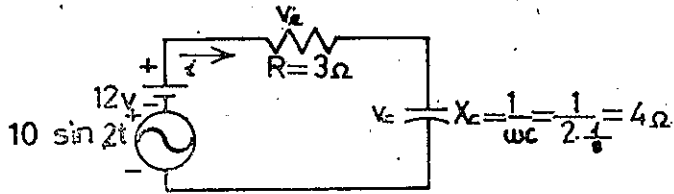
- a)  $i$  akımını,  $V_R$  ve  $V_C$  değerini bulunuz.  
 b)  $i$ ,  $V_R$  ve  $V_C$  nin efektif değerlerini bulunuz.  
 c) Devrede sarfedilen (W) gücü bulunuz.

**Çözüm:**

a) Bu devreyi eğer şekil 10.14 deki gibi yeniden çizer ve superposition teoremini uygularsak

1. 12 voltluk batarya için  $I = 0$  dir.

$V_C$  gerilimi kendisinin nihayi değerine yükselirken (steadystate) doğru akım devresinde kondansatör açık devredir.



Şekil 10.14

$$V_R = I \cdot R = 0 \text{ v}$$

$$V_C = 12 \text{ volt}$$

2. Alternatif akım uygulanırsa

$$Z = 3 + j4 = 5 \angle -53^\circ$$

$$I = \frac{E}{Z} = \frac{10}{\frac{\sqrt{2}}{5} \angle -53^\circ} = \frac{2}{\sqrt{2}} \angle 53^\circ$$

$$V_R = I \cdot R = \left( \frac{2}{\sqrt{2}} \angle 53^\circ \right) (3 \angle 0^\circ) = \frac{6}{\sqrt{2}} \angle 53^\circ$$

$$V_C = I \cdot X_C = \left( \frac{2}{\sqrt{2}} \angle 53^\circ \right) (4 \angle -90^\circ) = \frac{8}{\sqrt{2}} \angle -37^\circ$$

Zaman domaini içerisinde

$$i = 0 + 2 \sin(2t + 53^\circ)$$

Dikkat edilirse da. terimi bu ifade de giriş gerilimi da. için gösterilse bile da. terimi akım için bu devrede sıfırdır.

$$v_R = 0 + 6 \sin(2t + 53^\circ)$$

$$v_C = 12 + 8 \sin(2t - 37^\circ)$$

- b — Denklem 10.14 ü kullanarak

$$I_{ef} = \sqrt{0^2 + \frac{2^2}{2}} = \sqrt{2} = 1.41 \text{ Amper}$$

Denklem 10.12 ile

$$V_{R,ef} = \sqrt{0^2 + \frac{6^2}{2}} = \sqrt{18} = 4.24 \text{ volt}$$

Denklem 10.12 ile

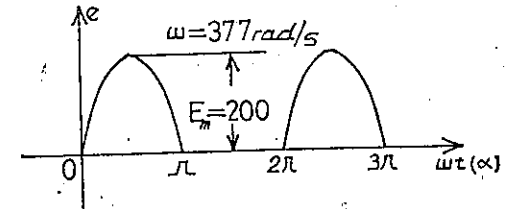
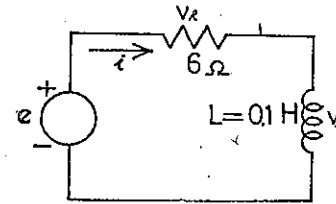
$$V_{C,ef} = \sqrt{12^2 + \frac{8^2}{2}} = \sqrt{176} = 13.27 \text{ volt}$$

c —

$$P = I_{ef}^2 \cdot R = (\sqrt{2})^2 \cdot 3 = 6 \text{ vat}$$

**ÖRNEK: 10.2**

Şekil 10.15 deki devrenin giriş değerine tepkisini bulunuz.



Şekil 10.15

$$e = 0.318 E_m + 0.500 E_m \sin \omega t - 0.212 E_m \cos 2\omega t - 0.0424 E_m \cos 4\omega t + \dots$$

**Cözüm:**

Tartışmak amacıyla sadece ilk üç terim e değerini göstermede kullanılacaktır. Cosünüs terimini sinüs terimine dönüştürür ve  $E_m$  için yerine konursa aşağıdaki değerler elde edilir.

$$e = 63.6 + 100 \sin \omega t - 42.4 \sin (\omega t + 90^\circ)$$

Vektör notasyonu kullanarak orjinal devre şekil 10.16 daki gibi çizilir ve bu devreye süperposition teoremi uygulanırsa,

Doğru akım terimleri için ( $E_0 = 63.6$  v)

$$X_L = 0 \text{ (D.C için kısa devre)}$$

$$Z_T = 6 / 0^\circ = R$$

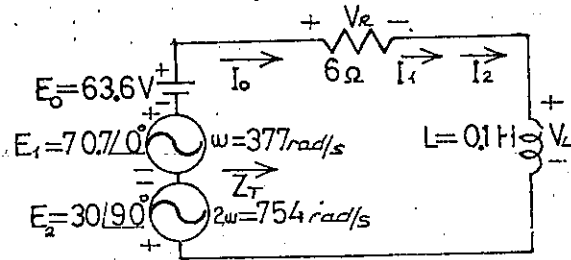
$$I_0 = \frac{E_0}{R} = \frac{63.6}{6} = 10.6 \text{ Amper}$$

$$V_{R_0} = I_0 R = E_0 = 63.6 \text{ volt}$$

$$V_{L_0} = 0$$

Ortalama güç

$$P_0 = I_0^2 R = (10.6)^2 = 675 \text{ vat}$$



Sekil 10.16

Esas terim (Fundamental) için ( $E_1 = 70.7 / 0^\circ$ ,  $\omega = 377$ )

$$X_{L_1} = \omega L = (377) (0.1) = 37.7 \text{ om}$$

$$Z_{T_1} = 6 + j37.7 = 37 / 80.7^\circ$$

$$I_1 = \frac{E_1}{Z_{T_1}} = \frac{70.2 / 0^\circ}{38.2 / 80.7^\circ} = 1.85 / -80.7^\circ$$

$$V_{R_1} = I_1 R = (1.85 / -80.7^\circ) (6 / 0^\circ) = 11.08 / -80.7^\circ$$

$$V_{L_1} = I_1 X_{L_1} = (1.85 / -80.7^\circ) (37.7 / 90^\circ) = 69.8 / 9.3^\circ$$

Ortalama değer ise

$$P_1 = I_1^2 R = (1.85)^2 \times 6 = 20.5 \text{ vat}$$

İkinci harmonik için ( $E_2 = 30 / 90^\circ$ ,  $\omega = 754$ )

$$X_{L_2} = \omega L = (754) (0.1) = 75 \text{ om}$$

$$Z_{T_2} = 6 + j75.4 = 76.6 / 84.5^\circ$$

$$I_2 = \frac{E_2}{Z_{T_2}} = \frac{30 / -90^\circ}{76.6 / 84.5^\circ} = 0.397 / -174.5^\circ$$

$E_2$  nin faz açısı  $-90^\circ$  ye aynı polariteyi vermesi için değiştirildi.

$$V_{R_2} = I_2 R = (0.397 / 174.5^\circ) (6 / 0^\circ) = 2.38 / -174.5^\circ$$

$$V_{L_2} = I_2 X_{L_2} = (0.397 / -174.5^\circ) (75.4 / 90^\circ) = 29.9 / -84.5^\circ$$

Ortalama güç

$$P_2 = I_2^2 R = (0.397)^2 \times 6 = 0.945 \text{ vat}$$

Fourier serisi (i) için yazılırsa

$$i = 10.6 + \sqrt{2} (1.85) \sin (377t - 80.7^\circ) + \sqrt{2} (0.397) \sin (754t - 174.5^\circ)$$

ve

$$I_{ef} = \sqrt{10.6^2 + 1.85^2 + 0.397^2} = 10.77 \text{ Amper}$$

$V_R$  için Fourier serisi yazılırsa

$$V_R = 63.6 + \sqrt{2} (11.08) \sin (377t - 80.7^\circ) + \sqrt{2} (2.38) \sin (754t - 174.5^\circ)$$

ve

$$V_{R ef.} = \sqrt{63.6^2 + 11.08^2 + 2.38^2} = 64.6 \text{ volt}$$

$V_L$  için Fourier serisi yazılırsa

$$V_L = \sqrt{2} (69.8) \sin(377t + 9.3^\circ) + \sqrt{2} (29.9) \sin(754t - 84.5^\circ)$$

ve

$$V_{L ef.} = \sqrt{69.8^2 + 29.9^2} \\ = 76 \text{ volt}$$

Toplam ortalama güç

$$P_T = I_{ef.} R = (10.77)^2 \times 6 = 696 \text{ vat} = P_0 + P_1 + P_2$$

#### 10.4 NONSİNÜSOİDAL EĞRİLERİN TOPLANMASI ve ÇIKARILMASI

İki nonsinüsoidal eğrinin toplanması veya çıkarılması Fourier serisi ifadesi olarak faz cebiri kullanarak eğer terimlerin frekansı aynı ise bulunabilir.

Örneğin toplamı ( $V_1 + V_2$ ) olan iki nonsinüsoidal eğrinin toplam değeri aşağıdaki yöntemi kullanarak bulunabilir.

$$v_1 = 30 + 20 \sin 20t + \dots + 5 \sin(60t + 30^\circ)$$

$$v_2 = 60 + 30 \sin 20t + 20 \sin 40t + 10 \cos 60t$$

1 — Doğru akım terimleri

$$v_{T_0} = 30 + 60 = 90$$

2 —  $\omega = 20$

$$v_{T_1(max)} = 30 + 20 = 50$$

ve

$$v_{T_1} = 50 \sin 20t$$

3 —  $\omega = 40$

$$v_{T_2} = 20 \sin 40t$$

4 —  $\omega = 60$

$$5 \sin(60t + 30^\circ) = (0.707) 5 / 30^\circ = 3.54 / 30^\circ$$

$$10 \cos 60t = 10 \sin(60t + 90^\circ) \Rightarrow (0.707) (10) / 90^\circ$$

$$= 7.07 / 90^\circ$$

$$v_{T_3} = 3.54 / 30^\circ + 7.07 / 90^\circ$$

$$= 3.06 + j1.77 + j7.07 = 3.06 + j8.84$$

$$v_{T_3} = 9.3 / 71^\circ$$

ve

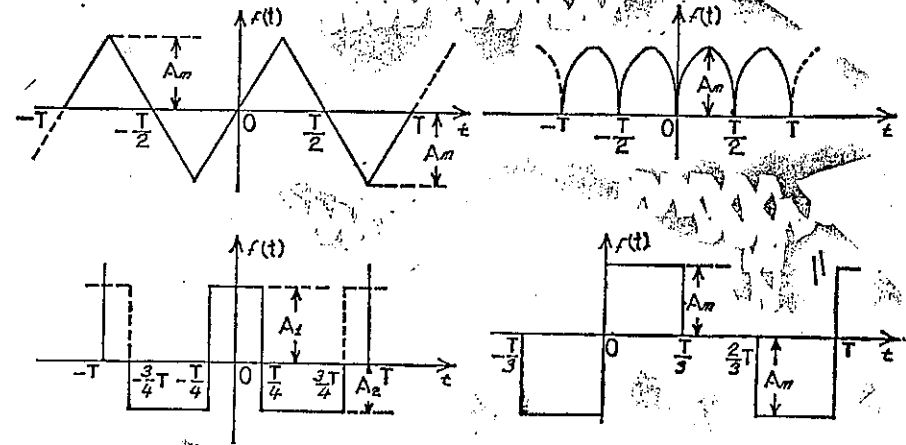
$$v_{T_3} = 13.1 \sin(60t + 71^\circ)$$

$$v_1 + v_2 = v = 90 + 50 \sin 20t + 20 \sin 40t + 13.1 \sin(60t + 71^\circ)$$

### PROBLEMLER

Bölüm: 10.2

1 — Şekil 10.17'deki eğriler için aşağıdaki değerlerin Fourier serisiyle gösterilip gösterilmeyeceğini gösteriniz.



Şekil 10.17

a — Dc terimleri

b — Cosinüs terimleri

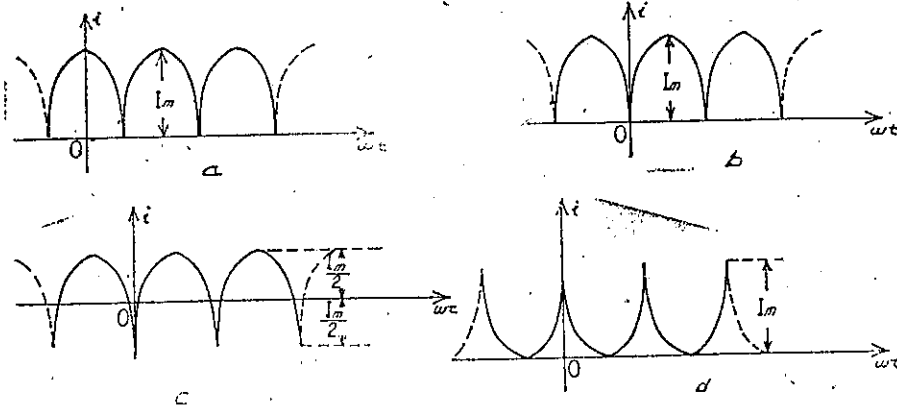
c — Sinüs terimleri

d — Çift düzenli (tertipli) harmonikler

e — Tek düzenli harmonikler.

- 2 — Şekil 10.18 a daki eğrinin Fourier serisi aşağıdaki ise b, c, d eğrilerinin Fourier serisi ifadelerini bulunuz.

$$i = \frac{2I_m}{\pi} \left( 1 + \frac{2}{3} \cos 2\omega t - \frac{2}{15} \cos 4\omega t + \frac{2}{35} \cos 6\omega t \dots \right)$$



Şekil 10.18

- 3 — Aşağıdaki değerlerin nonsinusoidal eğrilerini  $\omega t$  ile çiziniz.

a —  $e = 100 + 50 \sin \omega t$   
 b —  $e = 100 \sin \omega t + 50 \sin 2\omega t$

Bölüm: 10.3

- 4 — Aşağıdaki nonsinusoidal eğrilerin ortalama ve efektif değerlerini bulunuz.

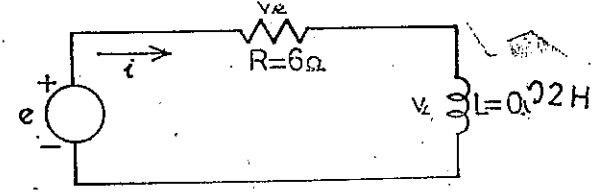
a —  $v = 100 + 50 \sin \omega t + 25 \sin 2\omega t$   
 b —  $i = 3 + 2 \sin (\omega t - 53^\circ) + 0.8 \sin (2\omega t - 70^\circ)$

- 5 — Problem 4 deki akım ve gerilim için devrenin ortalama gücünü ( $w$ ) bulunuz.

- 6 — Şekil 10.19 daki devrenin giriş gerilimini Fourier serisi olarak

$$e = 20 + 30 \sin 400t \text{ için}$$

- a —  $i$  akımının nonsinusoidal ifadesini bulunuz.  
 b — Akımın efektif değerini bulunuz.  
 c — Direnç uçlarındaki gerilimin ifadesini  
 d — Direnç uçlarındaki gerilimin efektif değerini  
 e — Reaktif elemanlar uçlarındaki gerilimin ifadesini  
 f — Reaktif elemanlar uçlarındaki gerilimin efektif ifadesini  
 g — Dirençte sarfedilen ortalama gücü bulunuz.

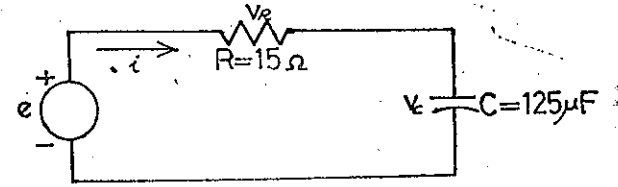


Şekil 10.19

- 7 — Problem 6 yı aşağıdaki giriş değeri için tekrarlayınız.

$$e = -60 + 20 \sin 300t - 10 \sin 600t$$

- 8 — Problem 6 yı şekil 10.20 deki devre için tekrarlayınız.



Şekil 10.20

Bölüm: 10.4

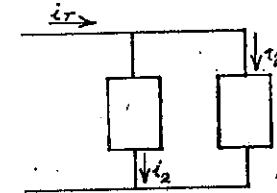
- 9 — Nonsinusoidal bir eğri için aşağıdaki değerleri çözünüz.

a —  $[60 + 70 \sin \omega t + 20 \sin (2\omega t + 90^\circ) + 10 \sin (3\omega t + 60^\circ) + 20 + 30 \sin \omega t - 20 \cos 2\omega t + 5 \cos 3\omega t]$   
 b —  $[20 + 60 \sin \omega t + 10 \sin (2\omega t - 180^\circ) + 5 \cos (3\omega t + 90^\circ)] - [5 - 10 \sin \omega t + 4 \sin (3\omega t - 30^\circ)]$

- 10 — Şekil 10.21 deki devrenin  $i_T$  akımı için nonsinusoidal ifadesini bulunuz.

$$i_2 = 10 + 30 \sin 20t - 0.5 \sin (40t + 90^\circ)$$

$$i = 20 + 4 \sin (20t + 90^\circ) + 0.5 \sin 40t + 30^\circ$$

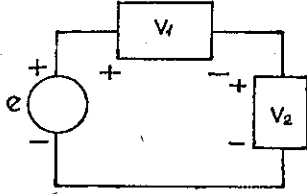


Şekil 10.21

11 — Şekil 10.22'deki devrenin  $e$  gerilimi için nonsinüsoldal ifadesini bulunuz.

$$v_1 = 20 - 200 \sin 600t + 100 \cos 1200t + 75 \sin 1800t$$

$$v_2 = -10 + 150 \sin (600t + 30^\circ) + 50 \sin (1800t + 60^\circ)$$



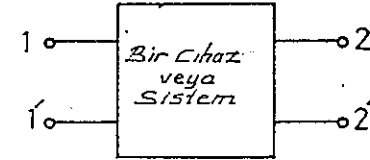
Şekil 10.22

## İKİ UÇLU PARAMETERLER

( $z, y, h,$ )

### 11.1 GİRİŞ

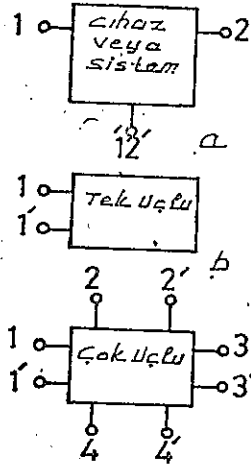
Elektrik ve elektronik alandaki derslerin pek çoğunda cihazların ve sistemlerin modelini çıkarma gereksinmesi gittikçe artan bir gereksinime olup, bu modellerin çok büyük sistemlerin analizi ve sentezlerine uygulanması bazı yetenekleri gerektirir. Bu bölüm çok kullanılan sistemlerin modellerini çıkarma tekniklerine ayrılmış olup, şekil 11.1'de basit bir iki uçlu devre görülmektedir. Bu şekle dikkat edilecek olursa şeklin iki giriş ucu olup her bir bölüm iki terminali içermektedir. Transistör ve triyot lâmba gibi cihazlar şekil 11.1'deki gibi iki uçlu devre olarak, şekil 11.2'deki gibi gösterilebilir.



Şekil 11.1

Şekil 11.2'de de görüldüğü gibi 1 ve 2 terminalleri otaktır. Bu ise özel tip bir devredir. Şekil 11.2'de tek uçlu ve çok uçlu devreler görülmüyor. Bu bölümün başlıca amaçlarından biride kapalı devre özelliğine sahip sistemlerin veya cihazların modelini çıkarmak için gerekli formüller geliştirmektir.

Bu bölümün analizi, lineer (sabit değerli) iki uçlu elemanlar ve sistemler olarak sınırlıdır. İki uçlu yapıya sahip devreler için üç çeşit parameter kullanılacaktır. Bu parameterlerden Empedans ( $Z$ ), Geçirgenlik ( $Y$ ) ve Hybrid ( $h$ )'dir. Bu parameterlerin değerleri ve bunların bir birine dönüşümüne ait formüller bu bölümün sonundaki tabloda görülmektedir.



Şekil 11.2

## 11.2 Z PARAMETERLERİ

Şekil 11.3 deki gibi iki uçlu bir sistem dört çeşit değişkenle ifade edilebilir. Çeşitli durumlarda eğer bu dört değişkenden ikisi bilinirse diğer iki değişken hesaplanabilir. Bu dört değişken parametre aşağıdaki gibi iki denklemlerle ilgili olabilir.

$$E_1 = Z_{11} I_1 + Z_{12} I_2 \quad (11.1 a)$$

$$E_2 = Z_{21} I_1 + Z_{22} I_2 \quad (11.1 b)$$

Empedans parametreleri  $Z_{11}$ ,  $Z_{12}$ ,  $Z_{21}$  ve  $Z_{22}$  om olarak ölçülebilir. Kapalı kutu modelinde her empedans parametresi tesbit edilmelidir. Bu parametreler tesbit edilirken devre ile ilgili bazı değişkenler sifıra indirgenir.

$Z_{11}$  :

$Z_{11}$  parametresi için eğer  $I_2$  akımı sifıra indirgenirse formül 11.1 a

aşağıdaki gibi olur.

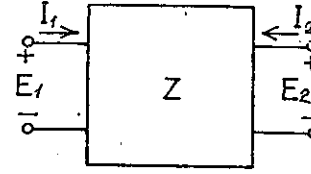
$$E_1 = Z_{11} I_1 + Z_{12} (0)$$

$$Z_{11} = \frac{E_1}{I_1} \Big|_{I_2 = 0} \quad (\text{om}) \quad (11.2)$$

Formül 11.2 den görüldüğü gibi  $I_2$  akımı sifıra indirgenmiş de empedans parametresi  $E_1$  in  $I_1$  e oranı olur.

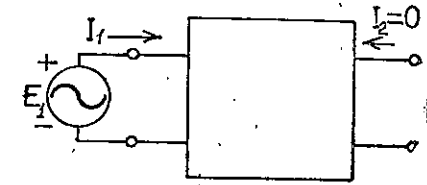
$E_1$  ve  $I_1$  değişkenlerinin her ikisinde girişe ait değerler olduğundan  $I_2$  akımının sifıra indirgenmesiyle  $Z_{11}$  parametresi aşağıdaki gibi ifade edilebilir.

$Z_{11}$  = Açık devre, giriş empedans parametresi.



Şekil 11.3

iki uçlu empedans parametresi



Şekil 11.4

$Z_{11}$  tesbiti

$Z_{12}$  :

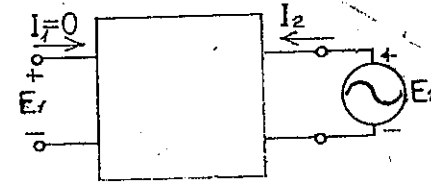
$Z_{12}$  parametresi için eğer  $I_1$  akımı sifıra indirgenirse 11.1 a daki formül aşağıdaki gibi olur.

$$Z_{12} = \frac{E_1}{I_2} \Big|_{I_1 = 0} \quad (\text{om}) \quad (11.3)$$

Sistemlerde genellikle giriş ve çıkış değerlerini oranlamak suretiyle bir değer elde edilir ve bu değer çıkışın girişe oranı şeklindedir.

$Z_{12}$  = Açık devre, Ters-Transfer empedans parametresi.

Burada transfer sözcüğü  $Z_{12}$  değeri,  $I_1 = 0$  iken giriş ve çıkış değerleri ile ilgilidir.  $Z_{12}$  parametresini tesbit etmek için gerekli devre bağlantısı şekil 11.5 de görülmektedir.  $E_2$  uygulama gerilimi için  $E_1/I_2$  oranı,  $I_1 = 0$  iken  $Z_{21}$  değerini teşkil eder.



Şekil 11.5

$Z_{12}$  tesbiti

$Z_{21}$  :

$Z_{21}$  parameterini tesbit etmek için  $I_2$  akımı sıfıra indirgenir ve  $E_2/I_1$  oranı formül 11.1 b den hesaplanır.

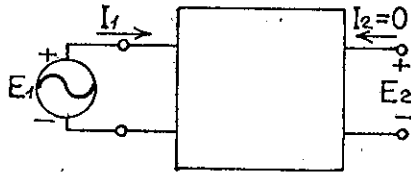
Buna göre:

$$Z_{21} = \left. \frac{E_2}{I_1} \right|_{I_2 = 0} \quad (\text{om}) \quad (11.4)$$

Bu durumda giriş ve çıkış değerleri tesbit değişkenleridir. Çıkış değerinin giriş değerine oranı doğru transfer (forward transfer) olarak anılır.

$Z_{22}$  = Açık devre, doğru-transfer empedans parameteri

$Z_{21}$  parameterini tesbit etmek için gerekli devre şekil 11.6 da görülmektedir.  $E_1$  giriş gerilimi için bu değer  $E_2/I_1$  oranıyla  $I_2$  akımı sıfıra indirgenerek tesbit edilir.



Şekil 11.6

$Z_{21}$  tesbiti

$Z_{22}$  :

$Z_{22}$  empedans parameteri 11.1 b formülünde  $I_1$  akımı sıfıra indirgenerek bulunur.

Buna göre:

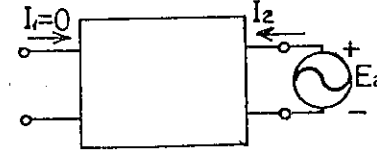
$$Z_{22} = \left. \frac{E_2}{I_2} \right|_{I_1 = 0} \quad (\text{om}) \quad (11.5)$$

Formülden görüldüğü gibi  $Z_{22}$  empedans parameteri  $I_1$  akımı sıfıra indirgenirken çıkış geriliminin çıkış akımına oranıdır.

Buna göre:

$Z_{22}$  = Açık devre, çıkış empedans parameteri.

$Z_{22}$  empedans parameterini tesbit etmek için gerekli devre teşkili şekil 11.7 de görüldüğü gibidir. Uygulanan gerilim  $E_2$  için  $Z_{22}$  değeri  $I_1 = 0$  ken  $E_2/I_2$  oranına eşittir.

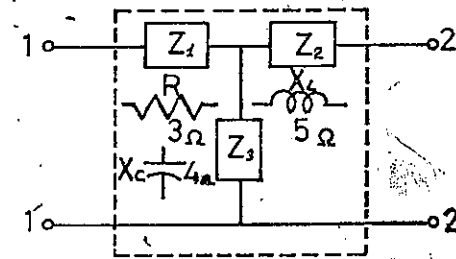


Şekil 11.7

$Z_{22}$  tesbiti

### ÖRNEK: 11.1

Şekil 11.8 deki devrede (Z) empedans parameterlerini tesbit ediniz.

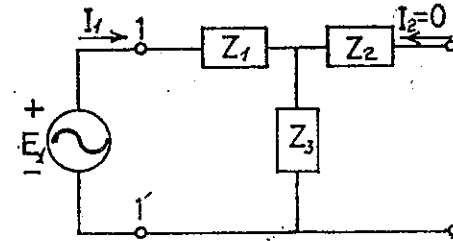


Şekil 11.8

T bağlantı

### Çözüm:

$Z_{11}$  dvre teşkili şekil 11.9 da görülmektedir.



Şekil 11.9

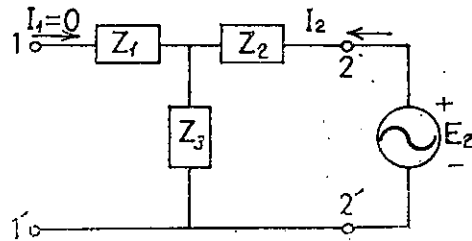
$$I_1 = \frac{E_1}{Z_1 + Z_3}$$

$$Z_{11} = \left. \frac{E_1}{I_1} \right|_{I_2 = 0} = Z_1 + Z_3 \quad (11.6)$$

$Z_{12}$  için gerekli devre teşkili şekil 11.10 da görülmektedir.

$$E_1 = I_2 Z_3$$

$$Z_{12} = \left. \frac{E_1}{I_2} \right|_{I_1 = 0} = \frac{I_2 Z_3}{I_2} = Z_3 \quad (11.7)$$

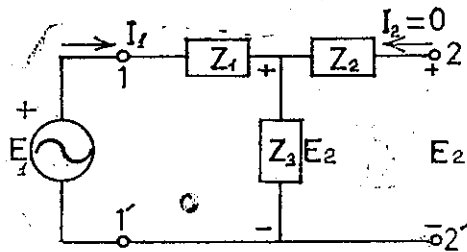


Şekil 11.10

$Z_{21}$  için gerekli devre teşkili şekil 11.11 deki gibidir.

$$E_{21} = I_1 Z_3$$

$$Z_{21} = \left. \frac{E_{21}}{I_1} \right|_{I_2 = 0} = \frac{I_1 Z_3}{I_1} = Z_3 \quad (11.8)$$

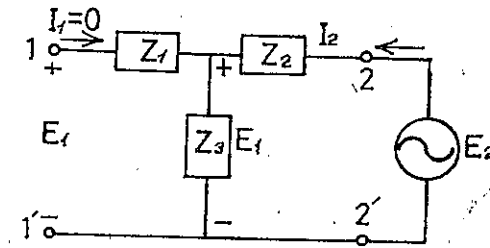


Şekil 11.11

$Z_{22}$  için gerekli devre teşkili şekil 11.12 deki gibidir.

$$I_2 = \frac{E_2}{Z_2 + Z_3}$$

$$Z_{22} = \left. \frac{E_2}{I_2} \right|_{I_1 = 0} = \frac{I_2 (Z_2 + Z_3)}{I_2} = Z_2 + Z_3 \quad (11.9)$$



Şekil 11.12

Dikkat edilirse T devre teşkilinde  $Z_{12} = Z_{21}$  dir.

$$Z_1 = 3 \angle 0^\circ$$

$$Z_2 = 5 \angle 90^\circ$$

$$Z_3 = 4 \angle -90^\circ$$

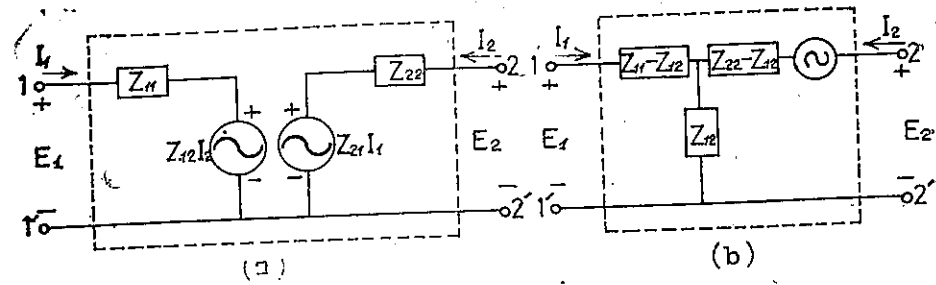
$$Z_{11} = Z_1 + Z_3 = 3 - j4$$

$$Z_{12} = Z_{21} = Z_3 = 4 \angle -90^\circ = -j4$$

$$Z_{22} = Z_2 + Z_3 = 5 \angle 90^\circ + 4 \angle -90^\circ = 1 \angle 90^\circ = -j1$$

Bir takım empedans parametreleri için cihazın veya kapalı kutulu devrenin terminal karakteri şekil 11.1 de ki gibi bir devreden tesbit edilir. Her hangi bir kapalı kutunun eş değer devresi ile empedans parametreleri formül 11.1 a ile 11.1 b yi kullanarak bulunabilir. Empedans parametreleri ile ilgili olası iki devre şekil 11.13 de görülmektedir.





Şekil 11.13

İki uçlu Z parametre eş değer devresi

Kirchhoff'un gerilim kanununu şekil 11.13 a daki devrenin giriş ve çıkış gözlemlerine uygularsak

$$E_1 - Z_{11} I_1 - Z_{12} I_2 = 0$$

$$E_2 - Z_{22} I_2 - Z_{21} I_1 = 0$$

veya

$$Z_1 = Z_{11} I_1 + Z_{12} I_2$$

$$E_2 = Z_{21} I_1 + Z_{22} I_2$$

Bu formüllere dikkat edilirse formül 11.1 a ve 11.1 b deki formüllerin aynıdır.

Şekil 11.13 b deki devre için

$$E_1 - I_1 (Z_{11} - Z_{12}) - Z_{12} (I_1 + I_2) = 0$$

$$E_2 - I_1 (Z_{21} - Z_{12}) - I_2 (Z_{22} - Z_{12}) - Z_{12} (I_1 + I_2) = 0$$

veya

$$E_1 = I_1 (Z_{11} - Z_{12} + Z_{12}) + I_2 Z_{12}$$

$$E_2 = I_1 (Z_{21} - Z_{12} + Z_{12}) + I_2 (Z_{22} - Z_{12} + Z_{12})$$

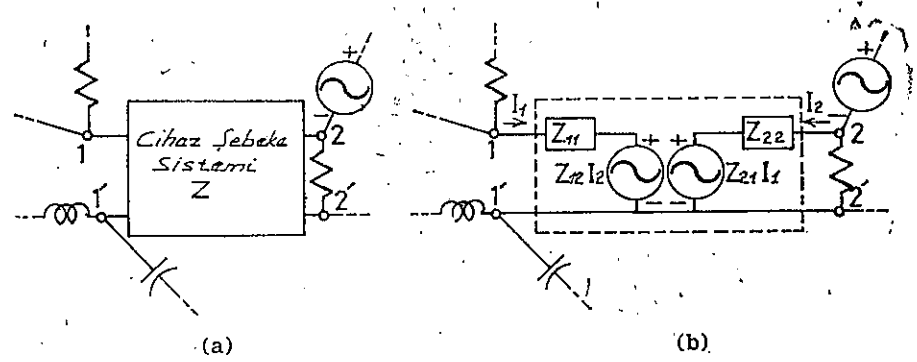
ve

$$E_1 = Z_{11} I_1 + Z_{12} I_2$$

$$E_2 = Z_{21} I_1 + Z_{22} I_2$$

Dikkat edilirse her devrede akıf kontrollü gerilim kaynağı gereklidir ki bir gerilim kaynağının büyüklüğü devrenin belli bir akım değerine göre tesbit edilir.

Empedans parametreleri ve eş değer devrelerin faydaları şekil 11.14 deki devreleri incelemekle çok açık bir şekilde anlaşılabilir. Bu devrelerin içerdiği cihaz veya sistemler için empedans parametreleri tesbit edilmiştir. Şekil 11.14 b de görüldüğü gibi eşdeğer devre, cihaz veya sistem için değiştirilebilir ve çevre akımları, düğüm noktaları gibi devre çözüm tekniklerini kullanarak değerleri bilinmeyen değişkenle hesaplamak olasıdır. Bu yöntem transistör ve lâmba devreleri için çok faydalıdır. Transistör ve lâmbalara ait eşdeğer devreleri çizilmek suretiyle arzulanan çözüm direkt olarak bulunabilir.



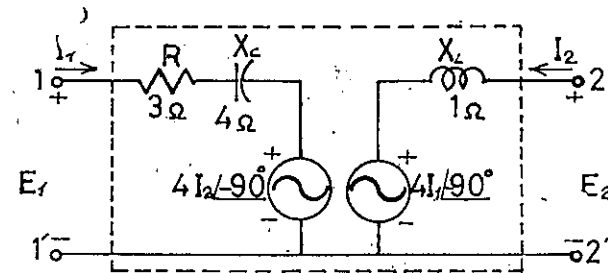
Şekil 11.14

**ÖRNEK: 11.2**

Şekil 11.13 a daki devrenin eşdeğer diyagramını empedans parametreleri kullanarak çiziniz. Empedans parametreleri örnek 11.1 de tesbit edilmiştir.

**Çözüm:**

Eşdeğer devre şekil 11.15 de görülmektedir.



Şekil 11.15

### 11.13 GEÇİRGENLİK PARAMETERLERİ

Şekil 11.1 deki devrede dört terminalle ilgili formüller aşağıdaki şekilde yazılabilirler.

$$I_1 = Y_{11} E_1 + Y_{12} E_2 \quad (11.10 a)$$

$$I_2 = Y_{21} E_1 + Y_{22} E_2 \quad (11.10 b)$$

Dikkat edilirse bu durumda yukarıdaki formüllerin her terimi formül 11.1 a ve 11.1 b deki formüllerin her terimin gerilim birimi ile karşılıklı olduğunda akım birimine sahip olduğu anlaşılır. Buna ilaveten her terimin katsayısının birimi empedans parameterlerinde om iken burada ise mho dur.

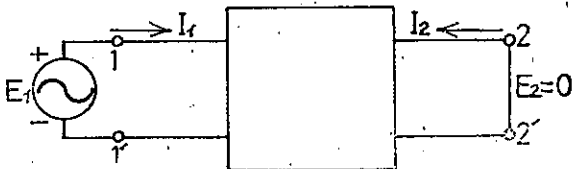
Empedans parameterleri belli bir akım değerini açık devre koşulunda sıfıra indirgemekle bulunuyordu. Formül 11.10 a ve 11.10 b deki geçirgenlik parameterleri için gerilim kısa devre koşullarında sıfıra indirgeir. Her bir geçirgenlik parameteri için formüller direkt olarak formül 11.10 a ve 11.10 b den belli bir gerilim değeri sıfıra indirgemekle çıkarılabilir.

$Y_{11}$  :

$$Y_{11} = \frac{I_1}{E_1} \Big|_{E_2 = 0} \quad (\text{mho}) \quad (11.11)$$

$Y_{11}$  = Kısa devre, Giriş-Geçirgenlik parameteri.

Tesbit edilen devre şekil 11.16 da görülmektedir.



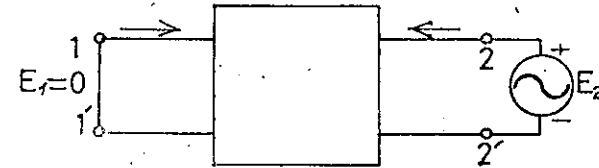
Şekil 11.16  
 $Y_{11}$  tesbiti

$Y_{12}$  :

$$Y_{12} = \frac{I_1}{E_2} \Big|_{E_1 = 0} \quad (\text{mho}) \quad (11.12)$$

$Y_{12}$  = Kısa devre, Ters-transfer Geçirgenlik parameteri.

$Y_{12}$  yi tesbit etmek için gerekli devre bağlantısı şekil 11.17 de görülmektedir.



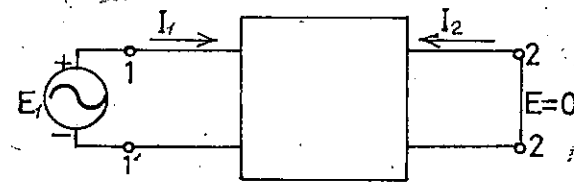
Şekil 11.17  
 $Y_{12}$  tesbiti

$Y_{21}$  :

$$Y_{21} = \frac{I_2}{E_1} \Big|_{E_2 = 0} \quad (\text{mho}) \quad (11.13)$$

$Y_{21}$  = Kısa devre, Doğru-transfer geçirgenlik parameteri

$Y_{21}$  parameterini tesbit etmek için gerekli devre bağlantısı şekil 11.18 de görülmektedir.



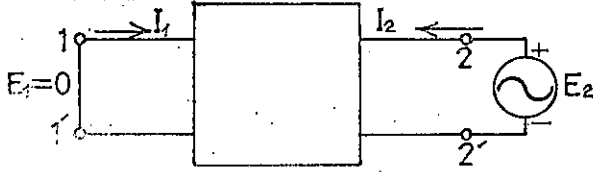
Şekil 11.18  
 $Y_{21}$  tesbiti

$Y_{22}$  :

$$Y_{22} = \frac{I_2}{E_2} \Big|_{E_1 = 0} \quad (\text{mho}) \quad (11.14)$$

$Y_{22}$  = Kısa devre, Çıkış geçirgenlik parametresi.

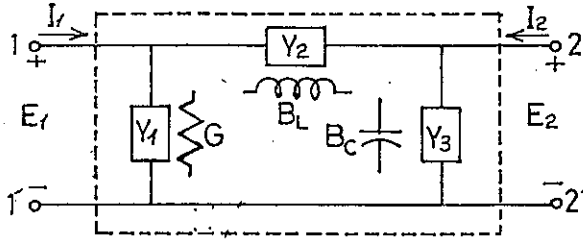
$Y_{22}$  yi tesbit etmek için gerekli devre bağlantısı şekil 11.19 da görülmektedir.



Şekil 11.19

 $Y_{22}$  tesbiti**ÖRNEK: 11.3**

Şekil 11.20 deki  $\pi$  devresinde geçirgenlik parametrelerini tesbit ediniz.



$$G = 0,2 \times 10^{-3} \quad B_L = 0,02 \times 10^{-3} \quad B_C = 0,25 \times 10^{-3}$$

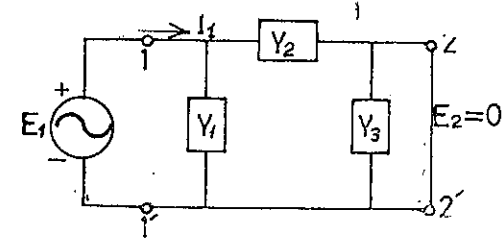
Şekil 11.20

 $\pi$  Devre**Çözüm:**

$Y_{11}$  değerini bulmak için gerekli devre şekil 11.21 de görülmektedir.

$$I_1 = E_1 Y = E_1 (Y_1 + Y_2)$$

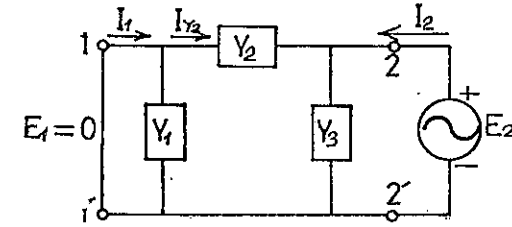
$$Y_{11} = \left. \frac{I_1}{E_1} \right|_{E_2 = 0} = Y_1 + Y_2 \quad (11.15)$$



Şekil 11.21

$Y_{12}$  yi tesbit etmek için şekil 11.12 deki devrede  $Y_1$  kısa devredir ve  $I_{Y2} = I_1$  dir.

$$I_{Y2} = I_1 = -E_2 Y_2$$



Şekil 11.22

Formüldeki negatif (—) işareti şekil 11.22 deki devrede  $I_1$  akımının yönünün gerçek akımın yönüne zıt olduğu içindir.

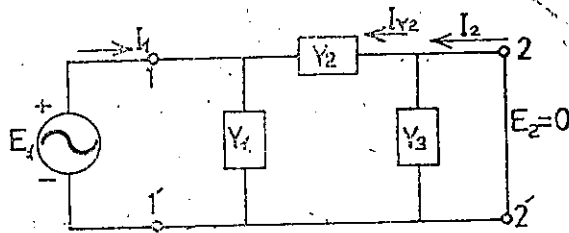
$$Y_{12} = \left. \frac{I_1}{E_2} \right|_{E_1 = 0} = -Y_2 \quad (11.16)$$

$Y_{21}$  tesbit etmek için gerekli devre şekil 11.23 de görülmektedir. Bu durumda  $Y_2$  kısa devredir. Sonuç olarak

$$I_{Y2} = I_2$$

$$I_{Y2} = I_2 = -E_1 Y_2$$

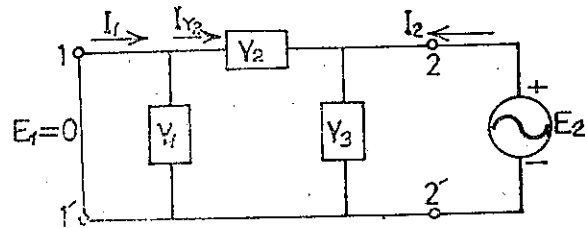
$$Y_{21} = \left. \frac{I_2}{E_1} \right|_{E_2=0} = -Y_2 \quad (11.17)$$



Şekil 11.23

Dikkat edilirse  $\pi$  devre teşkilinde  $Y_{12} = Y_{21}$  dir. Çünkü T devresinin empedans parametrelerinde  $Z_{12} = Z_{21}$  idi. T devreleri direkt olarak yıldız-gen dönüşüm yöntemleriyle  $\pi$  devre şekline dönüştürülebilir.

$Y_{22}$  parametresi için tesbit edilen devre şekil 11.24 de görülmektedir.



Şekil 11.24

$$Y_{22} = Y_2 + Y_3 \quad \text{ve} \quad I_2 = E_2 (Y_2 + Y_3)$$

$$Y_{22} = \left. \frac{I_2}{E_2} \right|_{E_1=0} = Y_2 + Y_3 \quad (11.18)$$

Değerler sayısal olarak ifade edilirse

$$Y_1 = 0.2 \times 10^{-3} / 0^\circ$$

$$Y_2 = 0.02 \times 10^{-3} / -90^\circ$$

$$Y_3 = 0.25 \times 10^{-3} / 90^\circ$$

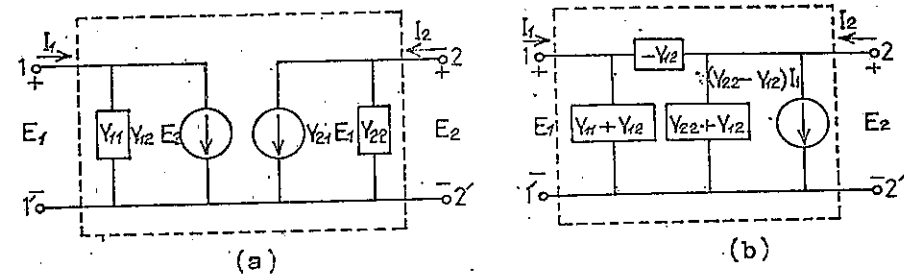
$$Y_{11} = Y_1 + Y_2 = 0.2 \times 10^{-3} - j0.02 \times 10^{-3} \quad (\text{İndüktif})$$

$$Y_{12} = Y_{21} = -Y_2 = (-0.02 \times 10^{-3}) = j0.02 \times 10^{-3} \quad (\text{Kapasitif})$$

$$Y_{22} = Y_2 + Y_3 = -j0.02 \times 10^{-3} + j0.25 \times 10^{-3} \\ = j0.23 \times 10^{-3} \quad (\text{Kapasitif})$$

Yukarıdaki sonuçlardan  $\pi$  devre için  $Y_{11}$  ve  $Y_{12}$  ile T devrelerden elde edilen  $Z_{11}$  ve  $Z_{22}$  arasındaki benzerliğe dikkat ediniz.

Formül 11.10 a ve 11.10 b ye göre çizilen eşdeğer devrenin şekli şekil 11.25 de görülmektedir.



Şekil 11.25

iki uçlu Y parametre eşdeğer devresi

Paralel kolların kullanılmasına dikkat edilirse formül 11.10 a ve 11.10 b nin her terimi akım birimine sahiptir. Empedans parametrelerinde ise her terimin birimi volt idi. Böylece elemanların eşdeğer devresini bulmak için Kirchhoff'un gerilim kanunu uygulanır.

Şekil 11.25 b deki devreye Kirchhoff'un akım kanunu uygulanırsa aşağıdaki formüller elde edilir.

$$\text{Düğüm a: } I_1 = Y_{11} E_1 - Y_{12} E_2$$

$$\text{Düğüm b: } I_2 = Y_{22} E_2 - Y_{21} E_1$$

#### 11.4 HYBRID (h) PARAMETERLER

Hybrid (h) parametreler daha çok transistör devrelerinin analizinde kullanılır. Hybrid sözcüğü parametrelerin karışık birim sistemine sahip olduğundan ileri gelmektedir, Yani hybrid parametrelerde birim sistemi olarak hem volt hemde amper kullanılır. Bu parametrelere ait formüller aşağıdaki gibidir.

$$E_1 = h_{11} I_1 + h_{12} E_2 \quad (11.19 a)$$

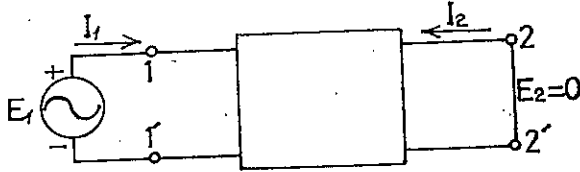
$$I_2 = h_{21} I_1 + h_{22} E_2 \quad (11.19 b)$$

Hybrid parameterleri tesbit etmek için kısa devre ve açık devre koşullarını teşkil etmek gereklidir. Bu koşullar parameterin cinsine bağlıdır.

$$h_{11} : \quad h_{11} = \left. \frac{E_1}{I_1} \right|_{E_2 = 0} \quad (\text{om}) \quad (11.20)$$

$h_{11}$  = Kısa devre, Giriş empedans parameteri.

$h_{11}$  parameterini tesbit etmek için gerekli devre bağlantısı şekil 11.26 görülmektedir.

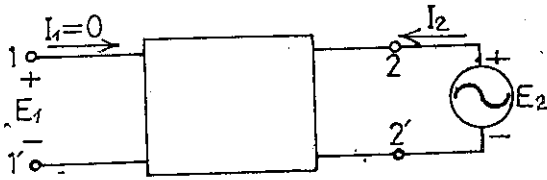


Şekil 11.26  
 $h_{11}$  tesbiti

$$h_{12} : \quad h_{12} = \left. \frac{E_1}{E_2} \right|_{I_1 = 0} \quad (\text{Birimsiz}) \quad (11.21)$$

$h_{12}$  = Açık devre, Ters-transfer voltaaj oran parameteri.

$h_{12}$  yi tesbit etmek için gerekli devre bağlantısı şekil 11.27 de görülmektedir.

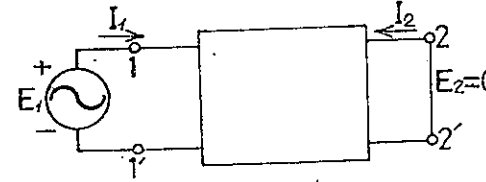


Şekil 11.27  
 $h_{12}$  tesbiti

$$h_{21} : \quad h_{21} = \left. \frac{I_2}{I_1} \right|_{E_2 = 0} \quad (\text{Birimsiz}) \quad (11.22)$$

$h_{21}$  = Kısa devre, Doğru-Transfer akım oran parameteri.

$h_{21}$  in değerini tesbit etmek için gerekli devre bağlantısı şekil 11.28 de görülmektedir.



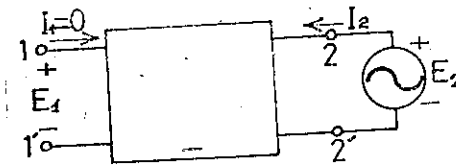
Şekil 11.28  
 $h_{21}$  tesbiti

$$h_{22} : \quad h_{22} = \left. \frac{I_2}{E_2} \right|_{I_1 = 0} \quad (\text{mho}) \quad (11.23)$$

$h_{22}$  = Açık devre, Çıkış geçirgenlik parameteri.

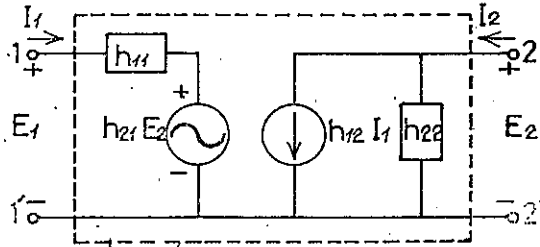
$h_{22}$  yi tesbit etmek için gerekli devre şekil 11.29 da görülmektedir. Hybrid parameterler yukarıda görüldüğü gibi  $h_{11}$ ,  $h_{12}$ ,  $h_{22}$ , notasyonlarıyla gösterildiği gibi harflerle de gösterilebilir. Bunlar

$$\begin{aligned} h_{11} &= h_i \\ h_{12} &= h_r \\ h_{21} &= h_f \\ h_{22} &= h_o \end{aligned}$$



Şekil 11.29  
 $h_{22}$  tesbiti

Hybrid eşdeğer devresi şekil 11.30 daki gibidir. Formül 11.19 a daki her bir terimin ölçü birimi volt olduğundan Kirchoff'un gerilim kanununu devrenin giriş serilerinin tersini elde etmek için uygulanır. Eğer hybrid parameteri akım birimine sahipse o takdirde Kirchoff'un akım kanunu uygulanır. Şekil 11.30 daki devreye dikkat edilirse giriş devresi voltaj kontrollü gerilim kaynağına sahiptir ki kontrol voltajı terminalin çıkış voltajıdır. Çıkış devresi akım kontrollü akım kaynağına sahip olup kontrol akımı devrenin giriş akımıdır.

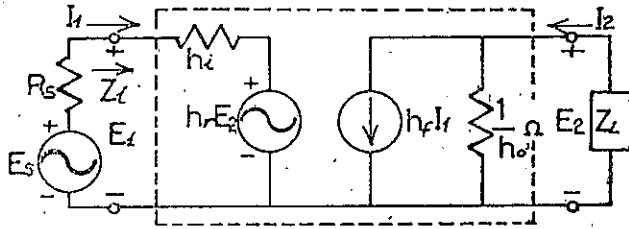


Şekil 11.30

iki uçlu hybrid parameter eşdeğer devresi

## ÖRNEK: 11.4

a — Şekil 11.31 deki hybrid devre için akım oranı  $I_2/I_1$  i bulunuz.



Şekil 11.31

$$I_2 = \frac{(1/h_0) h_f I_1}{(1/h_0) + Z_L} = \frac{h_f I_1}{1 + h_0 Z_L}$$

ve

$$A_i = \frac{I_2}{I_1} = \frac{h_f}{1 + h_0 Z_L} \quad (11.24)$$

b — Giriş devresine Kirchoff'un gerilim kanununu uygularsak

$$E_1 - h I_1 - h_r E_2 = 0$$

$$I_1 = \frac{E_1 - h_r E_2}{h_i}$$

Çıkış devresine Kirchoff'un akım kanununu uygularsak

$$I_2 = h_f I_1 + h_0 E_2$$

$$I_2 = - \frac{E_2}{Z_L}$$

$$- \frac{E_2}{Z_L} = h_f I_1 + h_0 E_2$$

$I_1$  akımının değeri yerine konursa

$$- \frac{E_2}{Z_L} = h_f \left( \frac{E_1 - h_r E_2}{h_i} \right) + h_0 E_2$$

veya

$$h_i E_2 = - h_f Z_L E_1 + h_r h_f Z_L E_2 - h_i h_0 Z_L E_2$$

$$E_2 (h_i - h_r h_f Z_L + h_i h_0 Z_L) = - h_f Z_L E_1$$

Sonuç olarak:

$$A_v = \frac{E_2}{E_1} = \frac{- h_f Z_L}{h_i (1 + h_0 Z_L) - h_r h_f Z_L} \quad (11.25)$$

## ÖRNEK: 11.5

Özel bir transistör için  $h_i = 1K$ ,  $h_{re} = 4 \times 10^{-4}$ ,  $h_{fe} = 50$ ,  $h_0 = 25 \times 10^{-6}$  mho dur. Devrenin  $Z_L = 2K$  omik yük iken devrenin akım ve gerilim kazancını bulunuz.

Çözüm:

$$a - A_i = \frac{h_f}{1 + h_0 Z_L} = \frac{50}{1 + (25 \times 10^{-6}) (2 \times 10^3)}$$

$$A_i = \frac{50}{1 + 50 \times 10^{-3}} = \frac{50}{1.050} = 47.6$$

$$b - A_v = \frac{-h_r Z_L}{h_i (1 + h_o Z_L) - h_r h_f Z_L}$$

$$= \frac{-50 (2 \times 10^3)}{(1 \times 10^3) (1.050) - (4 \times 10^{-4}) (50) (2 \times 10^3)}$$

$$A_v = \frac{-100 \times 10^3}{1.050 \times 10^3 - 0.04 \times 10^3} = -\frac{100}{1.01} = -99$$

Örnekteki negatif (—) işareti  $E_2$  ile  $E_1$  arasındaki açının  $180^\circ$  olduğunu gösterir.

### 11.5 GİRİŞ ve ÇIKIŞ EMPEDANSLARI

Giriş ve çıkış empedansları, hybrid eşdeğer devreleri ve Z parametre eşdeğer devreleri için tesbit edilebilir. İki uçlu bir devrenin giriş empedansı daima giriş geriliminin çıkış akımına oranıyla yüklü veya yüksüz olarak tesbit edilir. Çıkış empedansı ise kaynak gerilimini veya akımını sıfıra indirmek suretiyle bulunur. Şekil 11.31 deki devrenin hybrid eşdeğeri için daha önceden aşağıdaki değerler bulunmuştur.

$$E_1 = h_i I_1 + h_r E_2$$

$$E_2 = -I_2 Z_L$$

$$-\frac{I_2}{I_1} = \frac{h_r}{1 + h_o Z_L}$$

İkinci formülde  $I_2$  nin değerini yerine koymakla aşağıdaki formül elde edilir.

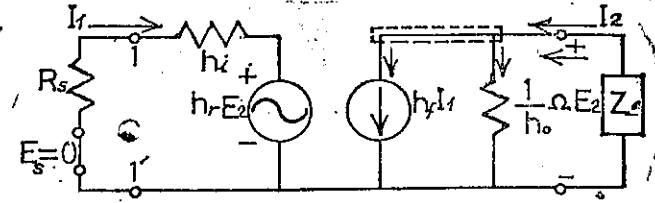
$$E_2 = -\left(\frac{h_r}{1 + h_o Z_L}\right) Z_L$$

$$E_1 = h_i I_1 + h_r \left(-\frac{h_r I_1 Z_L}{1 + h_o Z_L}\right)$$

$$E_1 = I_1 \left(h_i - \frac{h_r h_f Z_L}{1 + h_o Z_L}\right)$$

$$Z_i = \frac{E_1}{I_1} = h_i - \frac{h_r h_f Z_L}{1 + h_o Z_L} \quad (11.26)$$

Çıkış empedansını bulmak için kaynağın gerilimi sıfıra indirgenirken bu kaynağın iç direnci şekil 11.32 de görüldüğü gibi yerinde muhafaza edilir.



Şekil 11.32

Yukarıdaki devrede

$$E_s = 0 \text{ olduğundan}$$

$$I_1 = -\frac{h_r E_2}{h_i + R_s}$$

Çıkış devresinden

$$I_2 = h_f I_1 + h_o E_2$$

$$I_2 = h_f \left(-\frac{h_r h_f E_2}{h_i + R_s}\right) + h_o E_2$$

$$I_2 = \left(-\frac{h_r h_f}{h_i + R_s} + h_o\right) E_2$$

$$Z_o = \frac{E_2}{I_2} = \frac{1}{h_o - \frac{h_r h_f}{h_i + R_s}} \quad (11.27)$$

ÖRNEK: 11.6

Örnek 11.5 deki devrede eğer  $R_s = 1K$  olursa  $Z_i$  ve  $Z_o$  parameterini hesaplayınız.

Çözüm:

$$Z_i = h_i - \frac{h_r h_f Z_L}{1 + h_o Z_L} = 1 \times 10^3 - \frac{0.04 \times 10^3}{1.050}$$

$$= 1 \times 10^3 - 0.38 \times 10^3 = 962 \text{ om}$$

$$Z_o = \frac{1}{h_o - \frac{h_r h_f}{h_i + R_s}} = \frac{1}{25 \times 10^{-6} - \frac{(4 \times 10^{-4}) 50}{1K + 1K}}$$

## 11.6 PARAMETERLER ARASINDAKİ DÖNÜŞÜMLER

Z ve Y parameterleriyle ilgili formüller direkt olarak formül 11.1 ve 11.10 dan hesaplanabileceği daha evvelden belirtilmişti. Formül 11.10 a ve 11.10 b için

$$I_1 = Y_{11} E_1 + Y_{12} E_2$$

$$I_2 = Y_{21} E_1 + Y_{22} E_2$$

$E_1$  değerini hesaplamak için determinant kullanılırsa

$$E_1 = \frac{\begin{vmatrix} I_1 & Y_{12} \\ I_2 & Y_{22} \end{vmatrix}}{\begin{vmatrix} Y_{11} & Y_{12} \\ Y_{21} & Y_{22} \end{vmatrix}} = \frac{Y_{22} I_1 - Y_{12} I_2}{Y_{11} Y_{22} - Y_{12} Y_{21}}$$

Başka bir ifadeyle payda determinantını bulursak

$$\Delta y = Y_{11} Y_{22} - Y_{12} Y_{21}$$

$$E_1 = \frac{Y_{22}}{\Delta y} I_1 - \frac{Y_{12}}{\Delta y} I_2$$

Formül 11.1 a ile ilgili olarak

$$E_1 = Z_{11} I_1 + Z_{12} I_2$$

$$Z_{11} = \frac{Y_{22}}{\Delta y} \quad \text{ve} \quad Z_{12} = \frac{Y_{12}}{\Delta y}$$

Aynı şekilde

$$Z_{21} = \frac{Y_{21}}{\Delta y} \quad \text{ve} \quad Z_{22} = \frac{Y_{11}}{\Delta y}$$

Z parameterlerinin geçirgenlik domainine dönüşümü için formül 11.1 a ve 11.1 b ye determinant uygulanır ve empedans parameteri hybrid parameterleri terimi içerisinde bulunabilir. Bunun için hybrid parameterlerin terimleri ilk önce hybrid parameterleri formülünden  $I_1$  için determinant şekline sokulur.

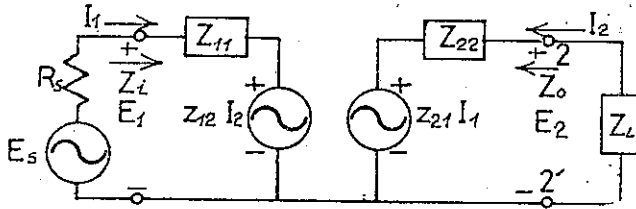
$$E_1 = h_{11} I_1 + h_{12} I_2$$

$$I_2 = h_{21} I_1 + h_{22} I_2$$

$$Z_0 = \frac{1}{25 \times 10^{-6} - \frac{200 \times 10^{-4}}{2 \times 10^3}} = \frac{1}{25 \times 10^{-6} - 10 \times 10^{-6}}$$

$$Z_0 = \frac{1}{15 \times 10^{-6}} = 66.6K$$

Z parameterleri için çizilen eşdeğer devre şekil 11.33 de görülmektedir.



Şekil 11.33

$$I_2 = \frac{Z_{21} I_1}{Z_{22} + Z}$$

$$I_1 = \frac{E_1 - Z_{12} I_2}{Z_{11}}$$

veya

$$E_1 = Z_{11} I_1 + Z_{12} I_2 = Z_{11} I_1 + Z_{12} \left( \frac{-Z_{21} I_1}{Z_{22} + Z_L} \right)$$

$$Z_i = \frac{E_1}{I_1} = Z_{11} - \frac{Z_{12} Z_{21}}{Z_{22} + Z_L} \quad (11.28)$$

Çıkış empedansı için  $E_s = 0$  idi

$$I_1 = \frac{Z_{12} I_2}{R_s + Z_{11}} \quad \text{ve} \quad I_2 = \frac{E_2 - Z_{21} I_1}{Z_{22}}$$

veya

$$E_2 = Z_{22} I_2 + Z_{21} I_1 = Z_{22} I_2 + Z_{21} \left( \frac{Z_{12} I_2}{R_s + Z_{11}} \right)$$

$$E_2 = Z_{22} I_2 \frac{Z_{12} Z_{21} I_2}{R_s + Z_{11}}$$

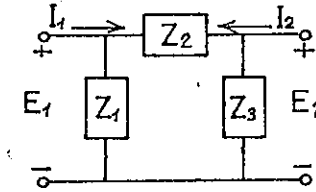
$$Z_0 = \frac{E_2}{I_2} = Z_{22} - \frac{Z_{12} Z_{21}}{R_s + Z_{11}} \quad (11.29)$$



## PROBLEMLER

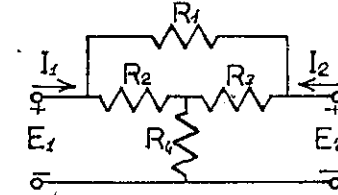
Bölüm: 11.2

- 1 — a) Şekil 11.34 deki  $\pi$  devre için Z empedans parameterlerini bulunuz.  
b) Z parameter eşdeğer devresini çiziniz.



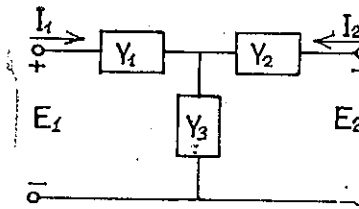
Şekil 11.34

- 2 — a) Şekil 11.35 deki devrenin Z empedans parameterini bulunuz.  
b) Z parameter eşdeğer devresini çiziniz.



Şekil 11.35

- 3 — a) Şekil 11.36 daki devrenin geçirenlik (Y) parameterlerini bulunuz.  
b) Y parameter eşdeğer devresini çiziniz.



Şekil 11.36

$$I_1 = \frac{\begin{vmatrix} E_1 & h_{12} \\ I_1 & h_{22} \end{vmatrix}}{\begin{vmatrix} h_{11} & h_{12} \\ h_{21} & h_{22} \end{vmatrix}} = \frac{h_{22}}{\Delta h} E_1 - \frac{h_{12}}{\Delta h} I_2$$

$$\frac{h_{22}}{\Delta h} E_1 = I_1 - \frac{h_{12}}{\Delta h} I_2$$

veya

$$E_1 = \frac{\Delta h I_1}{h_{22}} - \frac{h_{12}}{h_{22}} I_2$$

Empedans parameterleri ile ilgili olduğu zaman

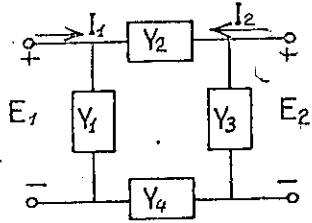
$$E_1 = Z_{11} I_1 + Z_{12} I_2$$

$$Z_{11} = \frac{\Delta h}{h_{22}} \quad \text{ve} \quad Z_{12} = -\frac{h_{12}}{h_{22}}$$

<i>Buradan</i>	$\rightarrow$ [Z]	[Y]	[h]
<i>Buraya</i>			
$\downarrow$ [Z]	$Z_{11} \quad Z_{12}$	$\frac{Y_{22}}{\Delta y} \quad \frac{-Y_{12}}{\Delta y}$	$\frac{\Delta h}{h_{22}} \quad \frac{h_{12}}{h_{22}}$
[Y]	$Z_{21} \quad Z_{22}$	$\frac{-Y_{21}}{\Delta y} \quad \frac{Y_{11}}{\Delta y}$	$\frac{-h_{21}}{h_{22}} \quad \frac{1}{h_{22}}$
[h]	$\frac{Z_{22}}{\Delta z} \quad \frac{-Z_{12}}{\Delta z}$	$Y_{11} \quad Y_{12}$	$\frac{1}{h_{11}} \quad \frac{-h_{12}}{h_{11}}$
	$\frac{-Z_{21}}{\Delta z} \quad \frac{Z_{11}}{\Delta z}$	$Y_{21} \quad Y_{22}$	$\frac{h_{21}}{h_{11}} \quad \frac{\Delta h}{h_{11}}$
	$\frac{\Delta z}{Z_{22}} \quad \frac{Z_{12}}{Z_{22}}$	$\frac{1}{Y_{11}} \quad \frac{-Y_{12}}{Y_{11}}$	$h_{11} \quad h_{12}$
	$\frac{-Z_{21}}{Z_{22}} \quad \frac{1}{Z_{22}}$	$\frac{Y_{21}}{Y_{11}} \quad \frac{\Delta y}{Y_{11}}$	$h_{21} \quad h_{22}$

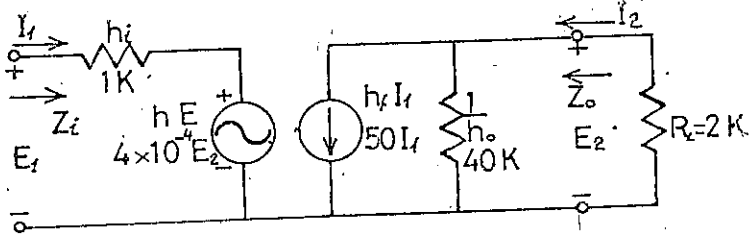
Tablo: 11.1

- 4 — a) Şekil 11.37 deki devrenin (Y) parameterini bulunuz.  
b) Y parameteri eşdeğer dveresini çiziniz.



Şekil 11.37

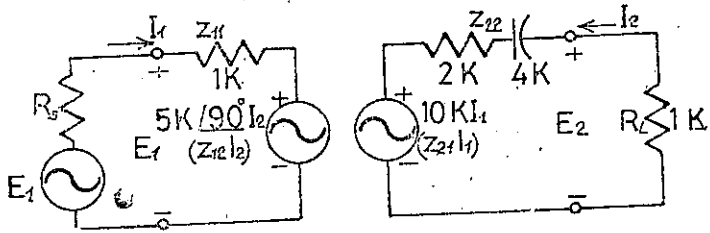
- 5 — a) Şekil 11.34 deki devrenin (h) parametrelerini bulunuz.  
b) Aynı dverenin hybrid eşdeğerini çiziniz.
- 6 — Şekil 11.33 deki hybrid eşdeğer devresinde  
a) Akım kazançını  $A_i = I_2/I_1$   
b) Voltaj kazançını  $A_v = E_2/E_1$  bulunuz.



Şekil 11.38

## Bölüm: 11.5

- 7 — Şekil 11.39 daki dverde giriş ve çıkış empedanslarını bulunuz.



Şekil 11.39

## Bölüm: 11.6

- 8 — Aşağıdaki Z parameterlerin (h) parameterini bulunuz.

$$Z_{11} = 4 \text{ K}$$

$$Z_{12} = 2 \text{ K}$$

$$Z_{21} = 3 \text{ K}$$

$$Z_{22} = 4 \text{ K}$$

- 9 — a) Aşağıdaki (h) parameterlerin Z parameterini bulunuz.

$$h_{11} = 1 \text{ K}$$

$$h_{12} = 2 \times 10^{-4}$$

$$h_{21} = 100 \text{ om}$$

$$h_{22} = 20 \times 10^{-6} \text{ A/V}$$

- b) Yukarıda hybrid parameterlerin (Y) parameterlerini bulunuz.

